



universität
wien

DIPLOMARBEIT

N-(3,4-Dichlorbenzyl)azole als potentielle Sigmazeptor-Liganden: Synthese und spektroskopische Charakterisierung

zur Erlangung des akademischen Grades
Magistra Pharmaciae (Mag.pharm.)
an der Fakultät für Lebenswissenschaften
der Universität Wien

Verfasserin: Bettina Brandstätter

Matrikelnummer: 8901117

Studienrichtung: Pharmazie(A449)

Begutachter: ao. Univ.-Prof. Dr.techn. Dipl.-Ing. Wolfgang Holzer

Wien, im Dezember 2010

Er (der Geist) pflegt von Natur aus unter den Formen des Seins zu wandern, wobei die Formen des Seins bei seinem Wandern mitlaufen. Aber er ist überall er selbst; sein Wandern ist also ein gleichbleibendes. Und: Sein Wandern findet im *Gefilde der Wahrheit* statt, aus dem er niemals heraustritt. Er hält es ganz umfasst und hat es sich quasi als Ort für seine Bewegung erschaffen, und der Ort ist dabei mit dem identisch, dessen Ort er ist. Und das besagte Gefilde ist reich variiert, damit überhaupt ein Durchgehen von ihm möglich ist; wenn es nicht überall in ihm und unaufhörlich Variationen gäbe, würde der Geist, insofern er keine Variationen mehr hätte, stillstehen müssen; wenn er aber stillsteht erkennt er nicht; so dass also, wenn er zum Stillstand kommt, auch sein geistiges Erkennen aufhört, und wenn das der Fall ist, *ist* er auch nicht mehr. Also er ist geistiges Erkennen, und dieses ist die gesamte, das Sein als ganzes erfüllende Bewegung; und das Sein als ganzes ist das Erkennen als ganzes und umfasst in sich das Leben als ganzes, immer eins nach dem anderen, und alles, was bei ihm identisch ist, ist auch etwas anderes, und das jeweilige andere kommt zum Vorschein, wenn man eine Dihärese vornimmt. Aber die gesamte Reise geht immer durch Leben und immer durch Lebewesen, so wie für jemanden, der die Erde durchreist, alles, wo er hindurchkommt, Erde ist, auch wenn die Erde Differenzen enthält.

Plotin

Den praktischen Teil meiner Diplomarbeit führte ich während des Sommersemesters 1996 an der Universität Wien am Institut für pharmazeutische Chemie durch.

[Vorstand: O. Univ. Prof. Mag. Dr. Wilhelm Fleischhacker]

Den theoretischen Teil meiner Diplomarbeit verfasste ich im Studienjahr 2008/09 unter dem Vorstand von O. Univ. Prof. Mag. Dr. Christian Noe.

Ao. Univ. Prof. Dr.techn. Dipl.-Ing. Wolfgang Holzer danke ich herzlich für die Ermöglichung der Durchführung dieser Arbeit, für seine wissenschaftliche Anleitung und besonders für die professionelle Aufnahme sämtlicher Spektren.

Mein Dank gilt auch

Mag. Dr. Christine Jäger für die kollegiale Unterstützung und aufmerksame Betreuung,

Dr. Leo Jirowetz für die Aufnahme der Massenspektren und

Ao. Univ. Prof. Christian Studenik für die inhaltliche Überprüfung des Einleitungsteiles meiner Diplomarbeit.

Meinen Eltern danke ich für ihre Großzügigkeit, die mir dieses Studium ermöglichte.

INHALTSVERZEICHNIS

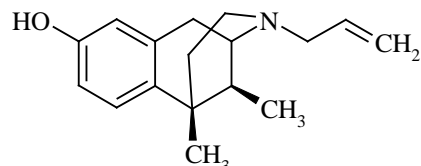
1 Einleitung und Problemstellung	1
1.1 Entdeckung des Sigmarezeptors	1
1.2 Die physiologische Rolle des Sigmakomplexes	4
1.3 Die pharmakologische Rolle des Sigmakomplexes	5
1.4 Pharmakophormodelle	8
1.5 Problemstellung	9
2 Literaturverzeichnis	11
3 Untersuchungen zur Synthese, NMR-Spektroskopie und Experimenteller Teil	13
4 Anhang	30
4.1 Einteilung der Spektren	30
4.1.1 ^1H und ^{13}C Spektren	30
4.2 Zusammenfassung (deutsch und englisch)	136
4.3 Lebenslauf	137

1 Einleitung und Problemstellung

1.1 Entdeckung des Sigmarezeptors

1976 wurde der Sigma (σ)-Rezeptor von Martin et al. entdeckt.[1] NANM, N-allyl-Normetazocin (SKF 10047), ein Benzomorphan-Derivat, wurde als potentielles Analgetikum klinisch geprüft. Dabei beobachtete man von den traditionell-opioiden Wirkungen abweichende Effekte wie untypisches Auftreten von Wahn und Dysphorie sowohl bei Tieren als auch beim Menschen. Darauffolgende Studien beschrieben drei Rezeptorinteraktivitäten der beiden optischen Antipoden von SKF 10,047, welches als Testverbindung eingesetzt wurde.

Abbildung 1



SKF 10,047(NAMN)

Das (-)-Isomer bindet in erster Linie an die Opioidrezeptoren μ und κ .

Das (+)-Isomer an die PCP(Phencyclidin)-Bindungsstelle des Glutamat-Rezeptors des NMDA(N-methyl-D-aspartat)-Typs und zusätzlich an eine nicht-opioide Bindungsstelle, die daraufhin als Sigma-Rezeptor bezeichnet wurde.[2]

Es folgten Untersuchungen, um den σ -Rezeptor klassifizieren zu können. Dazu wurde die unterschiedliche Affinität von (+), und (-) NANM-Analogen zu μ -, PCP- und Dopaminrezeptoren getestet. Der nicht-opioide Charakter konnte bewiesen werden, da die σ -Bindung enantioselektiv für (+)-Isomere ist, und der spezifische Opiatantagonist Naloxon keine Wirkung zeigte, während die μ - und κ -Bindungen hochaffin für (-)-Isomere sind. Die σ -Bindungsstellen weisen auch keine dopaminerge Rezeptoraktivität auf.[3]

Zurzeit unterscheidet man zwei Subtypen von Sigmarezeptoren: σ_1 und σ_2 . Sie unterscheiden sich im Molekulargewicht, in der Stereospezifität und im pharmakologischen Profil.

σ_1 -Rezeptor:

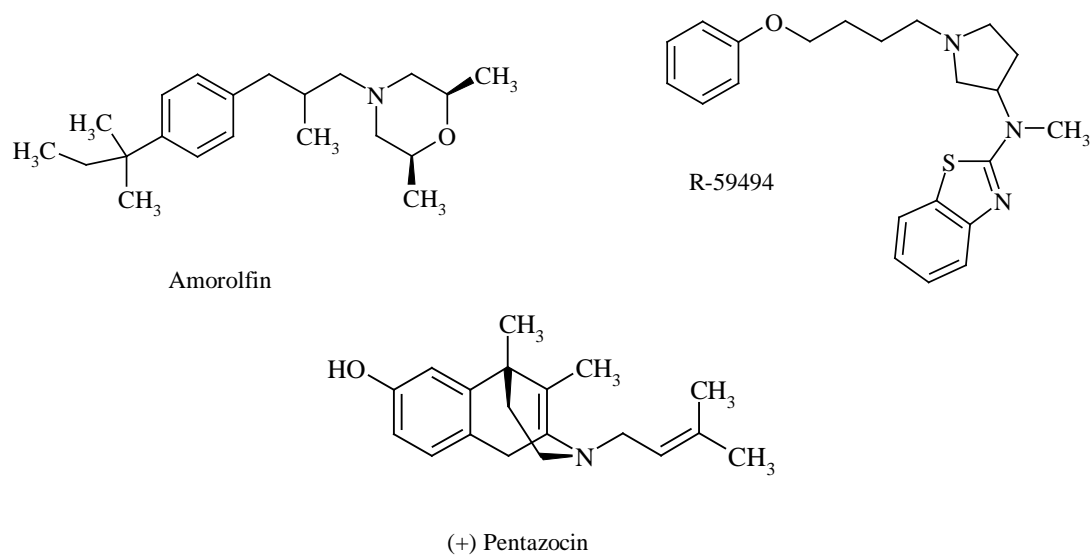
Der σ_1 -Rezeptor wird von Wirbeltieren genetisch exprimiert und steht in keiner Beziehung zu sämtlich bekannten Rezeptoren. Er wurde 1996 isoliert und seine cDNA kloniert.[4] Eine weitere, genauere Identifizierung des σ_1 -Rezeptors wurde durch seine Gegenüberstellung mit den Proteinen EBP und ERG2 erreicht. EBP (Emopamil binding protein), von Säugetieren, und ERG2, von der Hefe exprimiert,

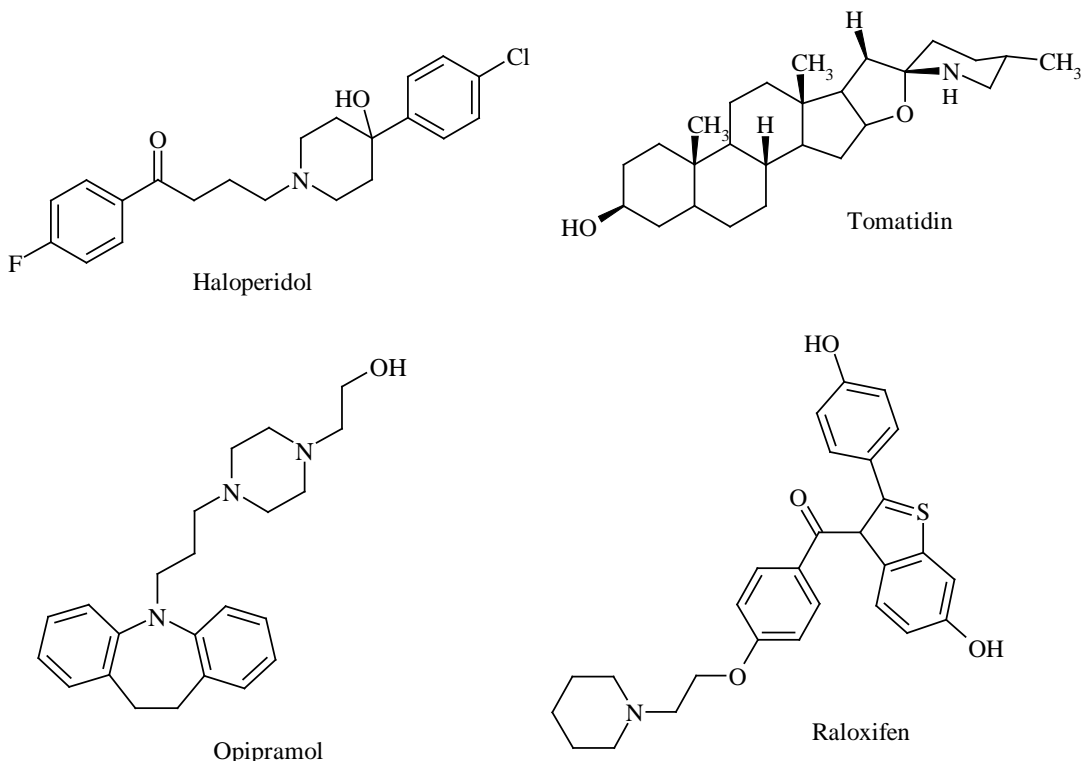
sind Isomerasen an der Doppelbindung C₈₋₉ am 3 β -OH-Steroidgerüst und integrierte Membranproteine des Endoplasmatischen Reticulums. Der σ_1 -Rezeptor besitzt keine entsprechende Isomeraseaktivität, zeigt zu EBP strukturell keine Übereinstimmung, wohl aber eine 30%ige bezüglich Aminosäuresequenz zu ERG2, was zu der Annahme führt, dass er eine wichtige Rolle im Sterolmetabolismus, speziell in dem von Neurosteroiden spielt. Auch nach endogenen σ_1 -Rezeptorliganden auf Basis der entsprechenden Enzyminhibitoren wurde gesucht, welche sich als geeignete Screening-Verbindungen herausstellten. Es gelang außerdem eine ausgezeichnete Darstellung von σ_1 -Pharmakophormodellen, von hochaffinen Liganden erfasst: Wie EBP und ERG2 trägt auch das σ_1 -Protein vier hydrophobe und eine ionisierbare Bindungsstelle.[5]

Die Mehrheit aller Sigmaliganden bindet an den σ_1 -Rezeptor:
(siehe Strukturen in Abb.2)

- Benzomorphane wie (+)-Pentazocin, ein Opioidanalgetikum
- Butyrophenon-Neuroleptika wie Haloperidol oder Trifluperidol
- Dibenzazepinderivate wie Opipramol, ein Antidepressivum
- Raloxifen, ein selektiver Estrogenrezeptoragonist
- Steroidhormone und Steroidalkaloide wie Tomatidin und Solanidin
- Sterolbiosynthesehemmer wie Triparanol (Triphenylethanolstruktur)
- Emopamil, ein Kalziumkanalblocker und die Testverbindung R-59494, ein hochselektiver Kalziumantagonist
- Morpholinderivate wie das Amorolfin und Fenpropiomorph, Fungizide
- (+)-3-Phenyl-1-Propylpiperidine, 3-PPP, ein häufig verwendet Radioligand
- Arylcyclohexylamine, einschließlich des Phenylcyclohexylpiperidins, PCP, ein Halluzinogen.[5]

Abbildung 2





σ_2 -Rezeptor:

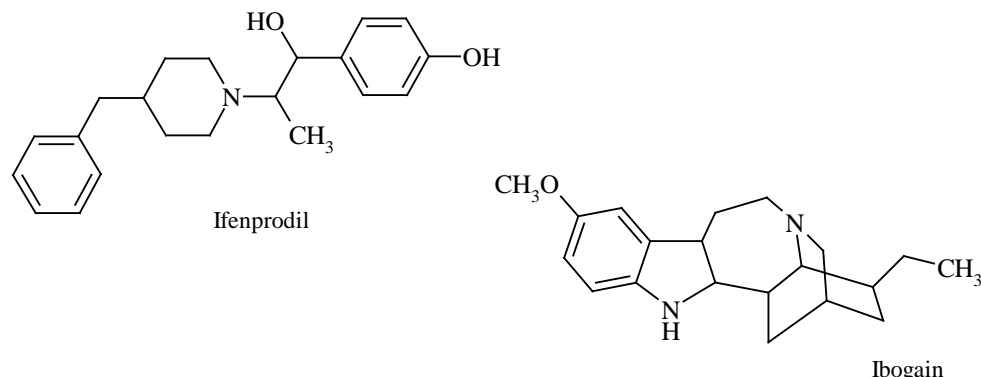
Dieser ist schwerer zu identifizieren, da es noch an hochselektiven Liganden fehlt. Er kommt intrazellulär im Endoplasmatischen Reticulum und in den Mitochondrien vor, wo er im Stadium schnellerer Zellproliferation eine Ca^{2+} -Freisetzung bewirkt und zur Apoptose führt. Der σ_2 -Rezeptor wird demzufolge in Tumorzellen in höherem Ausmaß exprimiert als in gesunden Zellen, wo er eine Kontrollfunktion in der Zellentwicklung übernimmt. Es wird auch vermutet, dass spezifisch die σ_2 -Rezeptoren bei chronischer Neuroleptikabehandlung (Up-Regulation) an dem Verlust neuronaler Zellen beteiligt sind.[6]

An der σ_2 -Bindungsstelle zeigen die meisten Sigmaliganden nur schwache Affinität.

Selektive σ_2 -Liganden sind:

- Ifenprodil, ein selektiver Antagonist am NMDA-Rezeptor; findet Verwendung als cerebraler Vasodilatator.[13] (Abb.3)
- Ibogain, ein Indolalkaloid, erhöht die intrazelluläre Kalziumkonzentration, besitzt halluzinogene Wirkung und ist stimulierend nur in geringen Konzentrationen.[6]

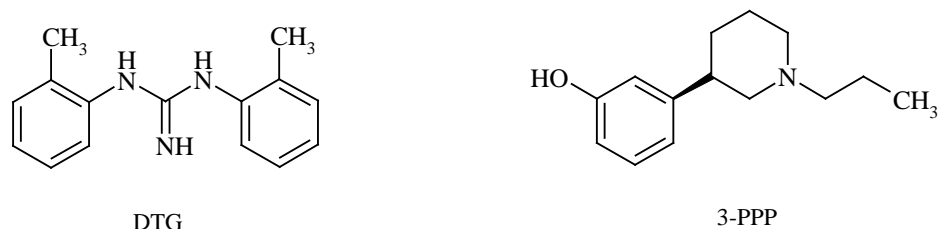
Abbildung 3



In Studien fand man außerdem heraus, dass besonders für die σ_2 -Bindung das zentrale basische N-Atom der Liganden für die NH-Bindung erforderlich ist.

Das zweifach substituierte Guanidin DTG entfaltet gleiche Affinität zu σ_1 als auch zu σ_2 -Rezeptoren, während (+)-3-PPPs und Butyrophenen-Neuroleptika bevorzugt an σ_1 -Rezeptoren binden.

Abbildung 4



Interessant ist die Feststellung, dass über σ_1 -Rezeptoren neuroprotektive und antiamnesische, hingegen über σ_2 -Rezeptoren neurotoxische Wirkungen vermittelt werden.

1.2 Die physiologische Rolle des Sigmakomplexes

Bei Identifizierungsversuchen der Sigma-Bindungsstelle entdeckte man nach deren Depolarisation negativ rückkoppelnde Peptide (wie NYP oder YY), was für die Rezeptoraktivität spricht. Weiters stellte man in der Leber auch metabolisierende Effekte an der Sigmabindung fest, die man daher als Teil des mikrosomalen Enzymsystems P450 annahm.

Die biochemischen Nachforschungen ergaben, dass es sich um Rezeptoren handelt, die an G(Guaninnukleotidbindende)-Proteine koppeln und eine Signalinduktion bewirken. Sigmarezeptoren sind demnach Neuromodulatoren von Acetylcholin, Noradrenalin, und Serotonin:[3]

- An cholinergen Rezeptoren (M-Ach) setzen sie die durch Acetylcholin bewirkte Stimulation herab.
- An α_1 -Rezeptoren hemmen sie die adrenerge Reaktion.
- In beiden Fällen reduzieren die Sigmarezeptoren die Signalübertragung des IP₃-second-messenger-Systems, indem sie die Bildung aller drei Inositphosphatide blockieren, die für die Umwandlung in IP₃ nötig sind.
- Die elektrisch bzw. die durch 5-HT₄ hervorgerufene Ileumkontraktion beim Meerschweinchen, wird durch die Sigmareaktion eindeutig antagonisiert.
- Biochemische Untersuchungen zeigen auch, dass Sigmaliganden eine Freisetzung von Dopamin aus zentralen Neuronen bewirken.

Das physiologische Vorkommen von Sigmabindungsstellen wurde mit Hilfe von autoradiographischen Verfahren detektiert. Die Sigmabindungsstellen befinden sich in den Membranen der Zellorganellen, vor allem im Endoplasmatischen Retikulum. Sehr zahlreich sind sie in Hirnregionen, die für die Motorik zuständig sind wie Kleinhirn (Cerebellum), Stammhirn (Striatum) und Mittelhirn (Substantia nigra, Nucleus ruber). Hier wird die wichtige Rolle des σ -Rezeptors in der Regulierung von Körperhaltung und Bewegung ersichtlich. Man findet sie außerdem im limbischen System, welches zuständig für Emotionen und kognitive Fähigkeiten ist, im Radix dorsalis des Rückenmarks, das sensorische Funktionen steuert, und im endokrinen System (Hypothalamus, Adenohypophyse). Die σ -Radioliganden binden auch an Organe des Immunsystems wie Milz und Blutleukozyten, und in großer Dichte an Leber, Niere und Eierstöcke.[3]

1.3 Die pharmakologische Rolle des Sigmarezeptors:

Der Sigma-Komplex bindet eine große Vielfalt an chemischen Substanzklassen und zeichnet sich somit auch durch hohe Strukturtoleranz aus. Der Nachteil vieler Sigmaliganden zeigt sich in der mangelhaften Selektivität und in der Überlappung der Wirkungskreise von Sigmabindungsstellen mit denen von Opioid-, PCP-, Dopamin- und auch EBP-Rezeptoren. So werden die Nebenwirkungen der klassischen Neuroleptika (Phenothiazine und Butyrophenone) auch dem Wirkungskreis der σ -Bindung zugeschrieben. Diese Arzneimittel rufen über die Sigmarezeptoren einen dopaminfreisetzenden Effekt und somit erhöhte motorische Aktivität bzw. Dystonien hervor. Als Spätfolge treten tardive Dyskinesien auf. Was den Sterolmetabolismus anbelangt, wird auch untersucht, ob gebräuchliche Medikamente, wie der partielle Östrogenrezeptoragonist Raloxifen, mit σ_1 beziehungsweise EBP interagieren und an Nebenwirkungen bzw. an biochemischen Veränderungen beteiligt sind. Das Antiöstrogen Tamoxifen bewirkt eine Senkung des Cholesterolspiegels und weist somit auf eine mögliche Interaktion mit EBP- oder σ_1 -Proteinen in deren Funktion als Cholesterinbiosynthesehemmer hin.[5]

Naheliegend war die Erforschung von Sigmiliganden mit antagonistischer Wirkkomponente im Bereich der Antipsychotika mit auftretenden motorischen Störungen. Dazu zählen Dystonien, das Tourette-Syndrom, und Chorea Huntington. Die Präsenz von Sigmarezeptoren in der Substantia nigra zeigt die Möglichkeit der Therapie von Morbus Parkinson, da Sigmiliganden auch in den Dopaminhaushalt eingreifen. Auch der Einsatz von Sigmaagonisten als effiziente Antipsychotika, Antidepressiva und Anxiolytika ist erfolgsversprechend. Vor allem konnte gezeigt werden, dass Antipsychotika über den σ -Wirkungskreis und nicht nur als Dopaminantagonisten fungieren: σ -Bindungsstellen sind in limbischen und kortikalen Hirnarealen anzutreffen, können die glutamat- und dopaminabhängigen Neuronenübertragungen bei Schizophrenie modulieren, und auch ihr eigener selektiver Untergang im Krankheitsverlauf ist festzustellen.

Letztlich stellen die σ_2 -Rezeptoren Angriffspunkte dar, die im Kampf gegen Krebs eingesetzt werden können.

Intensive Studien und klinische Prüfungen führten zur Entdeckung von Sigmiliganden, die selektiv und auch mit hoher Affinität an Sigmarezeptorsubtypen binden:

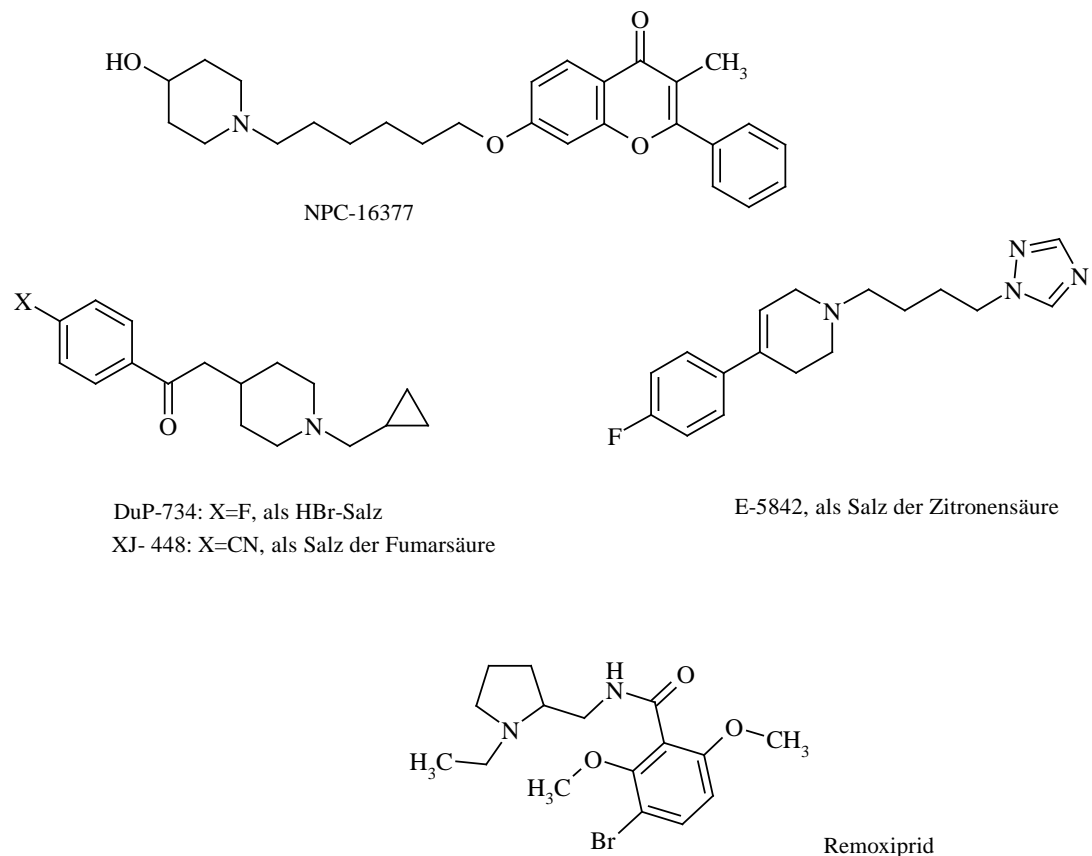
I Sigmiliganden mit antipsychotischer Wirkung:

Sie besitzen kaum Affinität zu Dopaminrezeptoren und rufen somit auch keine motorischen Störungen hervor:

(siehe Abbildung 5)

- NPC-16377, ein Aminoalkoxychromon [7]
- DuP 734 und XJ 448 sind hochselektive σ_1 -Liganden. Obwohl sich die beiden Verbindungen nur durch einen Substituenten am Aromaten unterscheiden, zeigen sie ein anderes pharmakologisches Profil: DuP 734 ist ein kombinierter Antagonist sowohl an Sigma- als auch an 5 HT₂-Rezeptoren, XJ 448 ist sigmaselektiv.[8]
- E-5842 ist σ_1 -selektiv, zeigt Wirkkraft als atypisches Antipsychotikum und Anxiolytikum und induziert kaum extrapyramidal-motorische Symptome.[9]
- Analoge von DTG, die auch neuroprotektive Wirksamkeit in Zellkulturen zeigen.
- Remoxiprid, ein atypisches Neuroleptikum;[9]

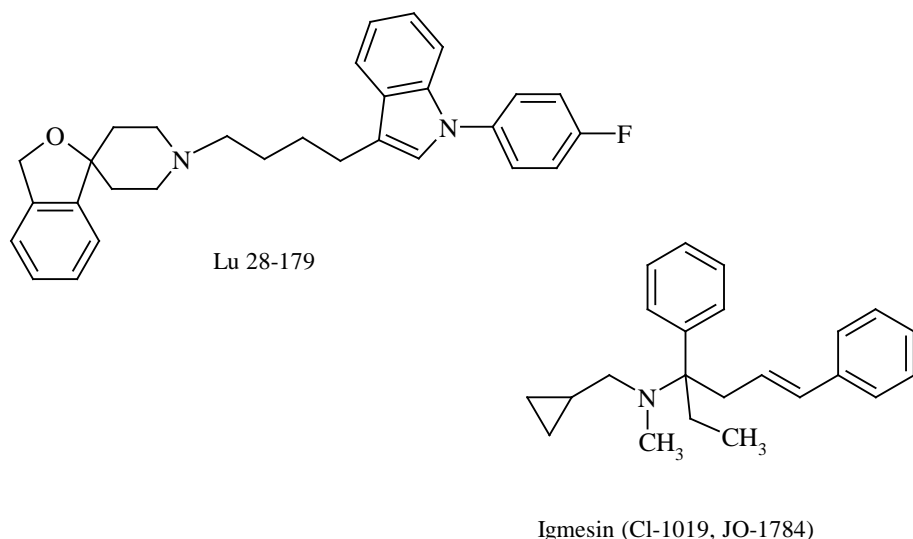
Abbildung 5



II Sigmaliganden mit angstlösender und antidepressiver Wirkung:

- Lu 28-179 (Siramesin) ist ein σ_2 -Agonist und zeigte im Licht/Dunkel-Experiment bei Ratten hohe Wirksamkeit.[10]
- CI-1019, JO-1784 (Igmesin) ist ein σ_1 -Agonist und wurde als Antidepressivum klinisch geprüft.

Abbildung 6



III Sigmaliganden als σ_2 -Agonisten mit cytostatischer und cytotoxischer Wirkung:

Sie induzieren apoptotischen Zelltod. Aussichtsreich zeigten sich klinische Prüfungsergebnisse mit radiomarkierten Sigmaliganden an Patienten, die an Melanomen oder Brustkrebs erkrankt waren. Weitere Untersuchungen ergaben, dass σ_2 -Liganden in der Lage sind, die cytotoxischen Effekte von Actinomycin-D und Doxorubicin an Brusttumorzellen einer „wilden Form“ zu potenzieren.

σ_2 -Agonisten setzen außerdem die Expression des p-Glykoproteins herab, eines Transporters, der Fremdstoffe aus der Zelle pumpt, und für die Resistenzentwicklung von Cytostatika verantwortlich ist. Das Ausschalten dieses Exportproteins wäre vor allem bei therapieresistenten Tumoren von Vorteil.[6]

1.4 Pharmakophormodelle

Das Arbeitsteam um Thierry Langer und Christian Lagner erstellte Pharmakophormodelle von σ_1 , EBP und ERG2, um Kriteritätsmerkmale für die Selektivität von Sigmaliganden herauszufinden.[5] Die Testung vorhandener bzw neu designter Verbindungen in Bezug auf σ -Affinität brachte folgendes Ergebnis:

- Alle drei Modelle tragen vier hydrophobe und eine positiv ionisierbare Pharmakophorgruppe, wobei aber nur eine hydrophobe und die positiv ionisierbare Gruppe für eine Sigmabindung erforderlich sind.
- Die Anordnung der Bindungsstellen ist linear, was eine höhere Bindungsaffinität zu linearen Verbindungen bewirkt(z.B. Haloperidol oder Fenpropiomorph).

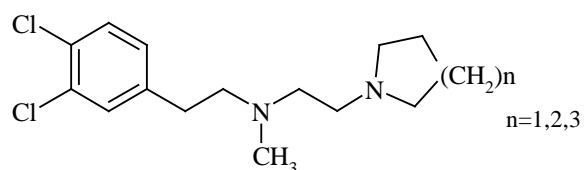
- Die σ_1 -unselektiven Verbindungen tragen an der basischen Aminogruppe lange lipophile Ketten, die σ_1 -selektiven kürzere lipophile Seitengruppierungen und weisen insgesamt eine kleinere Molekülgröße auf. Daraus kann man schließen, dass der σ_1 -Rezeptor an entfernteren Stellen zum ionisierbaren Zentrum keine hydrophoben Bindungskräfte aufweist im Gegensatz zum ERG2-Protein, welches lange und gestreckte Moleküle binden kann. So weist Zuclomifen (die lineare cis-Form) gegenüber Enclomifen (der runderen trans-Form) eine spezifische Bindungsfähigkeit am ERG2-Protein auf.

Das ermittelte σ_1 -Pharmakophormodell entspricht auch der Annahme von Glennon et al. von einem basischen Aminstickstoff zwischen zwei hydrophoben Gruppierungen.[5]

1.5 Problemstellung

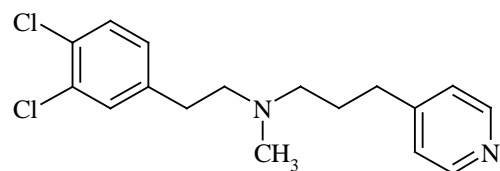
Um selektiv wirksame Sigmaliganden ausfindig zu machen, erstellte man Pharmakophormodelle, was sich aufgrund der vielfältigen Bindungsfähigkeit des Sigmarezeptors als sehr komplex herausstellte. Die Arbeitsgruppe um Wayne D. Bowen am National Institute of Diabetes and Digestive and Kidney Diseases, in Bethesda, Maryland, testete im Zuge ihres "drug-design"-Programmes viele Strukturen bezüglich ihrer Sigmaaffinität und Selektivität.[11] Sie prüften unter anderem disubstituierte Ethylendiamine wie 1-Phenylpiperazine, Cyclohexylamin- oder Piperidinderivate und stellten eine bemerkenswerte Sigmaaffinität derselben fest. 3,4-Dichlorphenylethyl-substituierte Ethylendiamine folgender Form kristallisierten sich zunehmend als Substanzen mit hoher Affinität zum σ -Rezeptor heraus:

Abbildung 7



Unsere Arbeitsgruppe um Wolfgang Holzer und Christine Jäger synthetisierte eine Vielzahl von Verbindungen ähnlicher Struktur, um Aufschluss über Selektivitätsverhalten zu bekommen. Es wurden interessante Ergebnisse bezüglich σ_1/σ_2 -Selektivität erzielt, wie bei der hier angeführten Verbindung, die an σ_1 -Rezeptoren eine um den Faktor 30 höhere Selektivität aufweist:

Abbildung 8



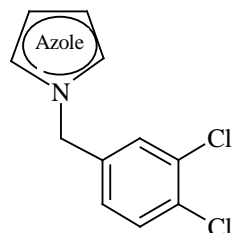
$$Ki(\sigma_1) = 1.2 \text{ nM}, Ki(\sigma_2) = 36.5 \text{ nM}$$

Ziel der vorliegenden Diplomarbeit war es, die minimal erforderlichen Strukturelemente für einen potentiellen Sigmazeptor-Liganden einzugrenzen durch:

- massives Kürzen der lipophilen Kette der in Abbildung 7 beschriebenen Modellverbindung, was zu einer Reduktion der Moleküllänge bzw. -größe der neu synthetisierten Substanzen führte.
- Einbauen des ionisierbaren Zentrums (zentrales N-Atom) in eine Serie von substituierten bzw. unsubstituierten N-Heterocyclen als auch N-Heteroaromatien.

Meine Zielmoleküle stellten daher die in Abbildung 9 allgemein dargestellten 3,4-Dichlorbenzylazole dar.

Abbildung 9



Die dabei verwendeten Azole waren Pyrazol, Imidazol, 4-Nitroimidazol, 1,2,3-Triazol, 1,2,4-Triazol, Tetrazol, Pyrrolidinyltetrazol, Tetrazolylmorpholin.

2 Literaturverzeichnis

- [1] B. R. de Costa, K. C. Rice, W. D. Bowen, A. Thurkauf, R. B. Rothman, L. Band, A.E. Jacobson, L. Radesca, P. C. Contreras, N. M. Gray, I.Daly, S.Iyengar, D. T. Finn, S. Vazirani, and J. M. Walker
Synthesis and Evaluation of N-Substituted cis-N-Methyl-2-(1-pyrrolidinyl)cyclohexylamines as High Affinity σ -Receptor Ligands. Identification of a New Class of Highly Potent and Selective σ Receptor Probes
J. Med. Chem. 1990, **33**: 3100-3110
- [2] F. I. Carroll, P. Abraham, K. Parham, X. Bai, X. Zhang, G. A. Brine, S. W. Mascarella, B. R. Martin, E. L. May, C. Sauss, L. Di Paolo, P. Wallace, J. M. Walker, and W. D. Bowen;
Enantiomeric N-Substituted N-Normetazocines: A Comparative Study of Affinities at σ , PCP, and μ Opioid Receptors
J. Med. Chem. 1992, **35**: 2812-2818
- [3] J. M. Walker, W. D. Bowen, F. O. Walker, R. R. Matsumoto, B. de Costa and K. C. Rice;
Sigma Receptors: Biology and Function.
Pharmacol. Rev. 1990, **42**: 355-402
- [4] F. F. Moebius, J. Striessnig und H. Glossmann;
The mysteries of σ -receptors: new family members reveal a role in cholesterol synthesis.
Trends Pharmacol. Sci. 1997, **18**: 67-70 ; und dort zitierte Literatur
- [5] C. Laggner, C. Schieferer, B. Fiechtner, G. Poles, R. D. Hoffmann, H. Glossmann, T. Langer, and F. F. Moebius;
Discovery of High-Affinity Ligands of σ_1 Receptor, ERG2, and Emopamil Binding Protein by Pharmacophore Modeling and Virtual Screening.
J. Med. Chem. 2005, **48**: 4754-4764
- [6] W. D. Bowen
Sigma receptors: recent advances and new clinical potentials.
Pharm. Acta Helv. 2000 , **74**: 211-8
- [7] R. H. Erickson, K. J. Natalie, W. Bock, Z. Lu, F. Farzin, R. G. Sherrill, D. J. Meloni, R. J. Patch, W. J. Rzesotarski, J. Clifton, M. J. Pontecorvo, M. A. Bailey, K. Naper and W. Karbon;
(Aminoalkoxy)chromones. Selective sigma receptor ligands.
J. Med. Chem 1992, **35**: 1526-35
- [8] P. J. Gilligan, G. A. Cain, T. E. Christos, L. Cook, S. Drummond, A. L. Johnson, A. A. Kergaye, J. F. McElroy, K. W. Rohrbach, W. K. Schmidt and S. W. Tam;
Novel piperidine sigma ligands as potential antipsychotic drugs.
J. Med. Chem. 1992, **35**: 4344-61

- [9] X. Guitart, M. Ballarin, X. Codony, A. Dordal, A. J. Farre, Frigola and R. Mercè;
E-5842; Antipsychotic σ -Receptor Ligand.
Drugs of the Future 1999, **24**: 386-392
- [10] E. K. Moltzen, J. Perregaard, E. Meier, C. Sanchez, J. Arnt and J. B. Nielsen;
Spirocyclic isobenzofuran derivatives: A new class of high affinity sigma
ligands with potent anxiolytic activities.
12th Int Symp. Med.Chem. 1992, Abst P-105. A.
- [11] B. R. de Costa, L. Radesca, L. di Paolo and W. D. Bowen;
Synthesis, Characterization, and Biological Evaluation of a Novel class of N-
(Arylethyl)-N-alkyl-2-(1-pyrrolidinyl)ethylamines: Structural Requirements
and Binding Affinity at the σ Receptor.
J. Med. Chem. 1992, **35**: 38-47
- [12] F. Eiden, und H. Lentzen;
Wirkstoffentwicklung in den letzten Jahren; Antipsychotika
Pharmazie in unserer Zeit 1996, **25**: 250-257 ; und dort zitierte Literatur
- [13] Christine Jäger, 2000, Dissertation, Universität Wien
- [14] Michael Kaun, 1999, Diplomarbeit, Universität Wien

3 UNTERSUCHUNGEN ZUR SYNTHESE, SPEKROSKOPISCHE UNTERSUCHUNGEN UND EXPERIMENTELLER TEIL

Die im Rahmen dieser Diplomarbeit durchgeführten Untersuchungen und der dazugehörende Experimentelle Teil sind bereits in einer Publikation veröffentlicht worden:

N-(3,4 -Dichlorobenzyl)azoles – Investigations Regarding Synthesis, NMR-Spectroscopy and Affinity Towards Sigma-1 and Sigma-2 Receptors.
Wolfgang Holzer, Bettina Brandstätter, Christine Jäger, Michael Kaun, Thierry Langer, and Wayne D. Bowen
Sci. Pharm. 2004, **72**: 197-211

Diese Publikation ist im Folgenden angeführt. Die von mir synthetisierten Substanzen tragen dabei die Nummern **1, 2, 3a, 3b, 4, 5a, 5b, 10a, 10b, 11** und **12**;

N-(3,4-Dichlorobenzyl)azoles – Investigations
Regarding Synthesis, NMR-Spectroscopy and Affinity
Towards Sigma-1 and Sigma-2 Receptors

Wolfgang Holzer^{*1}, Bettina Brandstätter¹, Christine Jäger¹, Michael Kaun¹, Thierry Langer², and Wayne D. Bowen³

¹ Department of Pharmaceutical Chemistry, University of Vienna,
Althanstrasse 14, A-1090 Vienna, Austria

² Institute of Pharmacy, University of Innsbruck, Innrain 52, A-6020
Innsbruck, Austria

³ Unit on Receptor Biochemistry and Pharmacology, Laboratory of
Medicinal Chemistry, National Institutes of Diabetes and Digestive and
Kidney Diseases, National Institutes of Health, Bethesda, MD 20892-
0815, USA

Abstract

A series of azoles and aminoazoles with a 3,4-dichlorobenzyl moiety attached to a ring nitrogen atom was synthesized via reaction of the parent systems with 3,4-dichlorobenzyl chloride. Regioisomeric products were discriminated on the basis of ¹³C-NMR data or by NOE-difference spectroscopy. The affinities of some representatives towards sigma-1 and sigma-2 receptors were determined by receptor binding assays.

1 Keywords

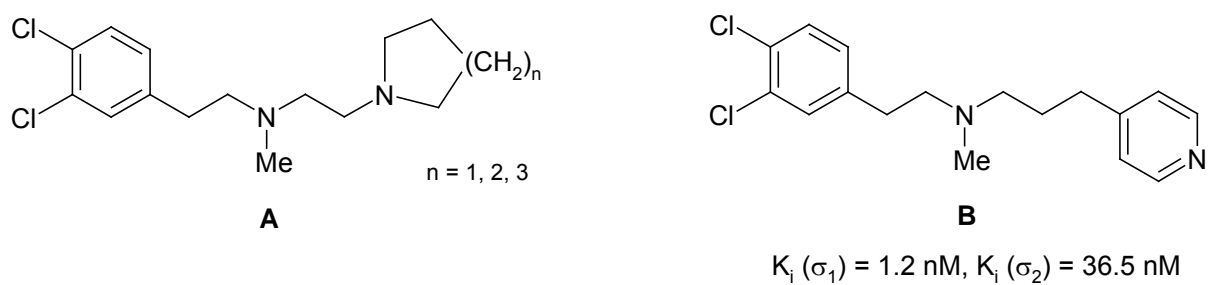
Sigma Receptors, Azoles, Alkylation, ¹³C-NMR Spectroscopy,
NOE-Difference Spectroscopy

2 Introduction

Since their discovery in 1976 sigma receptors – initially proposed as a subtype of opioid receptor – and their physiological role have been investigated extensively; several reviews provide condensed information in this regard [1-6]. Two subclasses of sigma receptors have been identified, designated as sigma-1 and sigma-2 receptors [3]. Sigma receptors are distributed in the central nervous system but also in many peripheral tissues such as in liver and kidney and, moreover, are highly expressed in various tumor cells [3]. They represent high affinity binding sites for many psychotropically active compounds and thus sigma receptor ligands are anticipated to play a potential role as antipsychotics and antidepressants.

A considerably large variety of structurally unrelated compounds were found to be able to bind to sigma receptors. Amongst these structures 3,4-dichlorophenethyl substituted ethylenediamines of type **A** (Figure 1) deserve special interest as they were found to exhibit high affinities and – additionally – to be selective for sigma receptors over other systems [7].

Figure 1



In the course of a program dedicated to the development of more potent and, particularly more selective sigma receptor ligands we synthesized a variety of compounds related to structure **A** [8]. Thus, for instance, leaving the left part of the molecule unchanged, the saturated N-heterocyclic

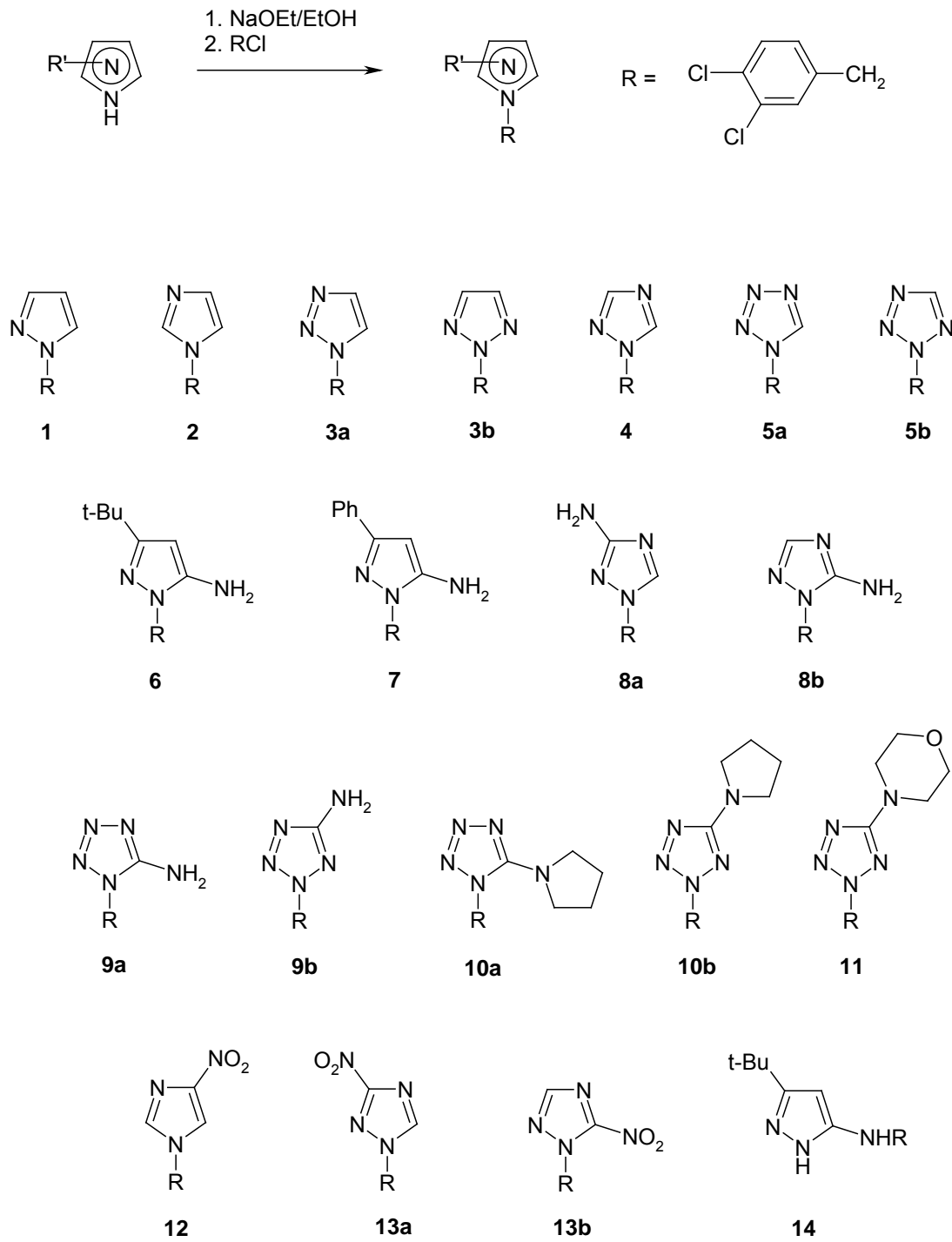
system in **A** was replaced by other heterocyclic and also heteroaromatic moieties or even by longer carbon chains. Moreover, the length of the central aliphatic part in **A** was systematically varied. Some of the thus obtained compounds – e.g. the pyridine derivative **B** – not only showed high affinities but also interesting sigma-1/sigma-2 selectivities (Figure 1) [8]. Within these investigations also the minimal requirements for sigma receptor affinity of more or less related compounds became a matter of interest. In this regard, we here report on the synthesis of various 3,4-dichlorobenzylazoles (Scheme 1) and their affinity towards sigma-1 and sigma-2 receptors. The envisaged structures result from a drastic reduction of the structural elements in molecules of type **A** or **B**, only leaving (a) slightly basic azole nitrogen atom(s) as well as the lipophilic 3,4-dichlorophenyl moiety.

3 Results and Discussion

Chemistry

Compounds **1-14** were prepared in single step reactions upon prolonged refluxing of the sodium salt of the appropriate parent azole with 3,4-dichlorobenzyl chloride in dry ethanol. Except with pyrazole and imidazole, the formation of regioisomeric alkylation products is possible and this was observed in most cases as well. The separation of the thus obtained isomeric mixtures was achieved by column chromatography. Accordingly, compounds **1-5** could be prepared in satisfying yields. In contrast, the isomeric mixtures resulting from alkylation of compounds carrying an amino substituent at the azole core were difficult to purify. In these cases clean separation of the regioisomers by column chromatography was not always possible or resulted in low yields of the pure compounds (mixed fractions predominating). Upon reaction of 3-*tert*-butyl-pyrazol-5-amine with 3,4-dichlorobenzyl chloride also alkylation at the exocyclic amino function was observed (formation of compound **14**).

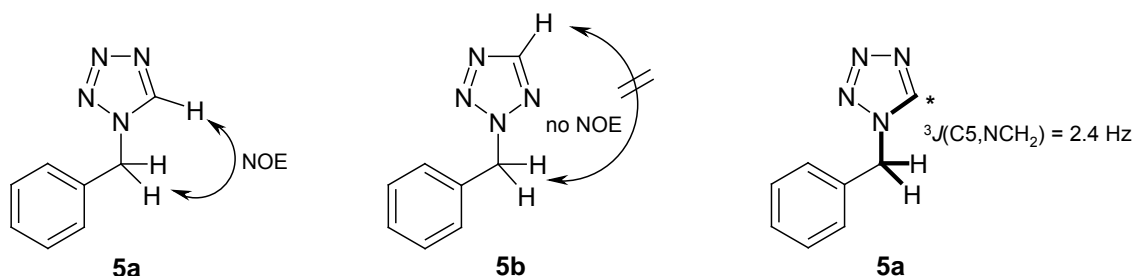
Scheme 1. Investigated Compounds



NMR Spectroscopic Investigations

The NMR data of all investigated compounds are given in Tables 1-3. According to refs. [9-12] unequivocal discrimination between regioisomeric structures was achieved by application of NOE-difference spectroscopy and considering $^{13}\text{C},^1\text{H}$ coupling information. Thus, for instance, the 1-substituted tetrazole **5a** can be easily distinguished from its 2-substituted congener **5b** *via* an NOE on the azole-H signal upon irradiation of the NCH_2 transition (Figure 2). Moreover - in contrast to compound **5b** - the azole C-atom in **5a** exhibits a vicinal $^{13}\text{C},^1\text{H}$ coupling to the NCH_2 protons ($^3J = 2.4$ Hz) indicating this CH fragment to be located adjacent to the *N*-substituent (Figure 2).

Figure 2. Discrimination Between Regioisomeric Tetrazoles



Biological Testing

Radioligand binding assays for both sigma-1 and sigma-2 receptors for compounds **1**, **2**, **3a**, **3b**, **4**, **5a**, **5b**, **10a**, **10b**, **11**, and **12** were carried out according the procedure given in lit. [7]. None of the compounds showed a significant sigma-receptor affinity ($K_i > 6000$ nM). In conclusion, simple azoles, aminoazoles or nitroazoles carrying a 3,4-dichlorobenzyl group at an azole nitrogen atom obviously do not meet the minimum structural requirements for sigma receptor ligands.

Table 1. ^1H -NMR Data of Investigated Compounds

No.	Solvent	Azole-H	3,4-Dichlorobenzyl ^a				Other H
			NCH ₂	Ph-2	Ph-5	Ph-6	
1	CDCl ₃	7.55 (3) ^b , 6.30 (4), 7.40 (5)	5.25	7.26	7.38	7.00	--
2	CDCl ₃	7.50 (2), 7.07 (4), 6.86 (5)	5.05	7.19	7.38	6.93	--
3a	CDCl ₃	7.71 (4) ^c , 7.54 (5)	5.51	7.33	7.41	7.07	--
3b	CDCl ₃	7.64 (4,5)	5.55	7.39	7.40	7.13	--
4	CDCl ₃	7.95 (3), 8.09 (5)	5.27	7.31	7.40	7.05	--
5a	CDCl ₃	8.70 (5)	5.58	7.41	7.45	7.15	--
5b	CDCl ₃	8.52 (5)	5.74	7.46	7.43	7.20	--
6	CDCl ₃	5.48 (4)	5.10	7.19	7.37	6.93	1.28 (<i>tert</i> .Bu), 3.30 (NH ₂)
7	CDCl ₃	5.94 (4)	5.20	7.30	7.39	7.04	7.76 (Ph-2,6), 7.38 (Ph-3,5), 7.29 (Ph-4), 3.41 (NH ₂)
8a	DMSO-d ₆	8.11 (5)	5.13	7.51	7.60	7.23	5.29 (NH ₂)
8b	DMSO-d ₆	7.38 (3)	5.12	7.42	7.60	7.16	6.37 (NH ₂)
9a	DMSO-d ₆	--	5.38	7.53	7.64	7.19	6.89 (NH ₂)
9b	DMSO-d ₆	--	5.65	7.62	7.64	7.29	6.07 (NH ₂)
10a	CDCl ₃	--	5.44	7.22	7.38	6.95	1.92 (pyrr-3,4), 3.47 (pyrr-2,5)
10b	CDCl ₃	--	5.48	7.42	7.38	7.15	1.94 (pyrr-3,4), 3.43 (pyrr-2,5))
11	CDCl ₃	--	5.50	7.43	7.41	7.17	3.78 (morph-2,6), 3.44 (morph-3,5)
12	CDCl ₃	7.50 (2) ^d , 7.73 (5)	5.15	7.34	7.51	7.07	--
13a	CDCl ₃	8.21 (5)	5.40	7.45	7.49	7.20	--
13b	CDCl ₃	8.00 (3)	5.73	7.46	7.44	7.21	--
14	CDCl ₃	5.38	4.29	7.47	7.36	7.19	1.26 (<i>tert</i> .Bu), 3.90 (NH)

^a 3,4-Dichlorophenyl system: $^3J(\text{H-5,H-6}) = 8.2\text{-}8.3 \text{ Hz}$, $^4J(\text{H-2,H-6}) = 2.1\text{-}2.2 \text{ Hz}$.

^b Pyrazole system: $^3J(\text{H-3,H-4}) = 1.7 \text{ Hz}$, $^3J(\text{H-4,H-5}) = 2.2 \text{ Hz}$. ^c 1,2,3-Triazole system: $^3J(\text{H-4,H-5}) = 1.0 \text{ Hz}$. ^d Imidazole system: $^4J(\text{H-2,H-5}) = 1.5 \text{ Hz}$.

Table 2. ^{13}C -NMR Chemical Shifts (δ , ppm) of Investigated Compounds^a

No.	Azole-C	3,4-Dichlorobenzyl System								Other C
		NCH ₂	Ph-1	Ph-2	Ph-3	Ph-4	Ph-5	Ph-6		
1	140.0 (3), 106.3 (4), 129.3 (5)	54.5	136.9	129.3	132.8	132.0	130.6	126.7	--	
2	137.2 (2), 130.1 (4), 119.0 (5)	49.4	136.3	128.9	133.0	132.3	130.8	126.3	--	
3a	134.4 (4), 123.4 (5)	52.5	134.8	129.7	133.2	132.9	131.0	127.0	--	
3b	134.9 (4, 5)	57.2	135.2	130.0	132.9	132.6	130.7	127.3	--	
4	152.4 (3), 143.1 (5)	52.0	134.7	129.7	133.1	132.8	130.9	127.0	--	
5a	142.5 (5)	50.7	133.0	130.1	133.5	133.7	131.3	127.4	--	
5b	153.3 (5)	55.3	132.9	130.4	133.2	133.5	131.0	127.6	--	
6	161.4 (3), 89.3 (4), 144.3 (5)	50.0	137.6	128.7	132.8	131.6	130.7	126.0	30.4 (Me), 32.1 (<u>C</u> -Me)	
7	150.5 (3), 90.0 (4), 145.3 (5)	50.4	137.0	128.8	133.0	131.9	130.9	126.2	Ph-C:133.6 (1), 125.4 (2,6), 128.5 (3,5), 127.7 (4)	
8a	164.5 (3), 143.0 (5)	50.2	137.9	129.8	131.0	130.3	130.6	128.1	--	
8b	148.9 (3), 155.3 (5)	47.7	138.1	129.3	130.9	130.0	130.7	127.7	--	
9a	155.5 (5)	46.4	136.4	129.8	131.2	130.7	130.9	128.0	--	
9b	167.3 (5)	53.8	135.5	130.3	131.2	131.0	130.9	128.6	--	
10a	155.9 (5)	49.0	135.4	128.3	133.2	132.5	131.0	125.7	49.5 (pyrr-2,5), 25.5 (pyrr-3,4)	
10b	167.7 (5)	54.9	133.9	130.0	132.9	132.8	130.7	127.3	47.7 (pyrr-2,5), 25.4 (pyrr-3,4)	
11	169.7 (5)	55.2	133.5	130.2	133.0	133.1	130.8	127.5	66.1 (morph-2,6), 46.8 (morph-3,5)	
12	136.0 (2), 148.4 (4), 119.1 (5)	50.9	133.8	129.7	133.8	133.8	131.5	126.9	--	
13a	162.9 ^b (3), 144.7 (5)	54.0	132.4	130.4	133.7	134.1	131.4	127.6	--	
13b	149.9 (3) ^c C-5 not found	54.7	133.0	130.3	133.3	133.6	131.0	131.4	--	
14	154.7 (3), 87.7 (4), 156.7 (5)	47.8	140.6	129.3	132.4	130.7	130.3	126.7	30.0 (Me), 31.0 (<u>C</u> -Me)	

^a Solvents as given in Table 1. ^b Broad signal.

Table 3. ^{13}C , ^1H -Spin Coupling Constants (Hz) of Investigated Compounds^a

No.	Azole-C	$^1J(\text{NCH}_2)$	Other Couplings
1	$^1J(\text{C}3,\text{H}3) = 185.6$; $^2J(\text{C}3,\text{H}4) = 5.8$; $^3J(\text{C}3,\text{H}5) = 8.2$; $^1J(\text{C}4,\text{H}4) = 177.1$; $^2J(\text{C}4,\text{H}3) = 10.6$; $^2J(\text{C}4,\text{H}5) = 8.5$	140.2	
2	$^1J(\text{C}2,\text{H}2) = 206.6$; $^1J(\text{C}4,\text{H}4) = 190.0$; $^2J(\text{C}4,\text{H}5) = 10.4$; $^3J(\text{C}4,\text{H}2) = 10.4$; $^1J(\text{C}5,\text{H}5) = 188.9$; $^2J(\text{C}5,\text{H}4) = 16.4$; $^3J(\text{C}5,\text{H}2) = 3.3$	140.2	
3a	$^1J(\text{C}4,\text{H}4) = 195.2$; $^2J(\text{C}4,\text{H}5) = 10.8$; $^1J(\text{C}5,\text{H}5) = 193.9$; $^2J(\text{C}5,\text{H}4) = 15.8$; $^3J(\text{C}5,\text{NCH}_2) = 2.7$	142.1	
3b	$^1J(\text{C}4,\text{H}4) = 193.1$; $^2J(\text{C}4,\text{H}5) = 12.9$	142.1	
4	$^1J(\text{C}3,\text{H}3) = 208.2$; $^3J(\text{C}3,\text{H}5) = 12.1$; $^1J(\text{C}5,\text{H}5) = 209.7$; $^3J(\text{C}5,\text{H}3) = 7.5$; $^3J(\text{C}5,\text{NCH}_2) = 2.7$	141.4	
5a	$^1J(\text{C}5,\text{H}5) = 215.9$; $^3J(\text{C}5,\text{NCH}_2) = 2.4$	143.9	
5b	$^1J(\text{C}5,\text{H}5) = 214.1$	143.9	
6		139.2	$^1J(\text{Me}) = 126.0$
7	$^1J(\text{C}4,\text{H}4) = 174.1$; $^2J(\text{C}3,\text{H}4) = 4.3$; $^2J(\text{C}5,\text{H}4) = 6.7$	139.5	
8a	$^3J(\text{C}3,\text{H}5) = 13.0$; $^1J(\text{C}5,\text{H}5) = 208.6$; $^3J(\text{C}5,\text{NCH}_2) = 3.0$	141.7	
8b	$^1J(\text{C}3,\text{H}3) = 202.3$; $^3J(\text{C}5,\text{H}3) = 8.4$; $^3J(\text{C}5,\text{NCH}_2) = 2.3$	140.9	
9a	$^3J(\text{C}5,\text{NCH}_2) = 2.0$	143.1	
9b		144.6	
10a		142.0	
10b		142.9	
11		143.2	
12	$^1J(\text{C}2,\text{H}2) = 214.7$; $^3J(\text{C}2,\text{H}5) = 8.2$; $^3J(\text{C}2,\text{NCH}_2) = 3.7$; $^1J(\text{C}5,\text{H}5) = 200.0$; $^3J(\text{C}5,\text{NCH}_2) = 3.2$	142.2	
13a	$^1J(\text{C}5,\text{H}5) = 216.7$; $^3J(\text{C}5,\text{NCH}_2) = 3.2$	143.6	
13b	$^1J(\text{C}3,\text{H}3) = 215.5$	145.3	
14	$^1J(\text{C}4,\text{H}4) = 173.1$	137.0	$^1J(\text{Me}) = 126.5$

^a Solvents as given in Table 1.

4 Experimental

Melting points were determined on a Reichert-Kofler hot-stage microscope and are uncorrected. Mass spectra were obtained either on a Shimadzu QP5000 or on a Hewlett Packard 5890A/5970B-MSD instrument (both EI, 70 eV). The NMR spectra were recorded on a Varian

UnityPlus spectrometer (299.95 MHz for ^1H , 75.43 MHz for ^{13}C) at 28°C. The center of the solvent signal was used as an internal standard which was related to TMS with δ 7.26 ppm (^1H , CDCl_3), δ 2.49 ppm (^1H , DMSO-d_6), δ 77.0 ppm (^{13}C , CDCl_3) and δ 39.5 ppm (^{13}C , DMSO-d_6). Digital resolution were 0.27 Hz/data point for $^1\text{H-NMR}$ spectra, 0.5 Hz/dat point for the $^{13}\text{C-NMR}$ spectra (^1H broad-band decoupled) and 0.33 Hz/data point for the ^1H -coupled $^{13}\text{C-NMR}$ spectra. Unambiguous assignment of all ^1H and ^{13}C resonances was achieved by combined application of standard NMR techniques such as NOE-difference spectroscopy, attached proton test (APT), fully ^1H -coupled $^{13}\text{C-NMR}$ spectra (gated decoupling), TOCSY, HMQC and long-range INEPT spectra with selective excitation [13]. Elemental analyses were performed by ‘Mikroanalytisches Laboratorium’, Institute of Physical Chemistry, University of Vienna. Column chromatographic separations were performed on Merck Kieselgel 60 (70-230 mesh). As the described syntheses were devoted to obtain some material for the biological testings no attempts were made to optimize the yields.

N-(3,4-Dichlorobenzyl)azoles, General Procedure

To a solution of sodium ethylate prepared from sodium (345 mg, 15 mmol) in dry ethanol (23 mL) was added the azole (15 mmol) and the mixture was stirred for 30 min. Then 3,4-dichlorobenzyl chloride (2.932 g, 15 mmol) was added and the mixture was heated to reflux for 12–36 h. After filtration of the sodium chloride formed during the reaction the solvent was removed under reduced pressure and the residue was purified as given below.

1-(3,4-Dichlorobenzyl)-1H-pyrazole (1)

The crude product was purified by column chromatography (silica gel, light petroleum – ethyl acetate 3:2) to afford 1.70 g (50%) of a yellowish

oil which slowly solidified on standing to afford crystals of mp 31-32 °C. MS (m/z, %): 226/228/230 (M^+ , 47/29/5), 225/227/229 (100/72/10), 159 (81). Anal. Calcd. for $C_{10}H_8Cl_2N_2$ (227.09): C, 52.89; H, 3.55; N, 12.34. Found: C, 53.00; H, 3.77; N, 12.28.

1-(3,4-Dichlorobenzyl)-1H-imidazole (2)

The crude product was purified by column chromatography (silica gel, ethyl acetate – methanol 9:1) to afford 1.60 g (47%) of colorless crystals, mp 57-59 °C (lit. [14] mp: 50-51 °C). MS (m/z, %): 226/228/230 (M^+ , 64/41/7), 159 (100).

1-(3,4-Dichlorobenzyl)-1H-1,2,3-triazole (3a) and 2-(3,4-Dichlorobenzyl)-2H-1,2,3-triazole (3b)

The crude reaction product was subjected to column chromatography (silica gel, light petroleum – ethyl acetate 7:3) to give 718 mg (21%) of **3b** (faster eluted component) and 1.54 g (45%) of **3a** (slower eluted component).

3a: mp 86-87 °C (lit. [15] mp: 85-87 °C); MS (m/z, %): 227/229/231 (M^+ , 13/8/1), 159 (100). Anal. Calcd. for $C_9H_7Cl_2N_3$ (228.08): C, 47.40; H, 3.09; N, 18.42. Found: C, 47.61; H, 2.90; N, 18.42.

3b: mp 60-62 °C; MS (m/z, %): 227/229/231 (M^+ , 53/34/5), 159 (100). Anal. Calcd. for $C_9H_7Cl_2N_3$ (228.08): C, 47.40; H, 3.09; N, 18.42. Found: C, 47.65; H, 3.00; N, 18.44.

1-(3,4-Dichlorobenzyl)-1H-1,2,4-triazole (4)

The raw product was purified by Kugelrohr-distillation (250 °C) followed by recrystallization from light petroleum – diisopropyl ether 10:1 to give 1.16 g (34%) of colorless crystals of mp 69-71 °C [16]. MS (m/z, %): 227/229/231 (M^+ , 48/32/5), 159 (100). Anal. Calcd. for $C_9H_7Cl_2N_3$ (228.08): C, 47.40; H, 3.09; N, 18.42. Found: C, 47.69; H, 3.10; N, 18.44.

1-(3,4-Dichlorobenzyl)-1H-tetrazole (5a) and 2-(3,4-Dichlorobenzyl)-2H-tetrazole (5b)

The crude reaction product was subjected to column chromatography (silica gel, light petroleum – ethyl acetate 7:3) to give **4b** as the faster eluted component. Recrystallization from light petroleum – diisopropyl ether 9:1 gave 1.51 g (44%) of **4b** as colorless crystals. The more retarded component **4a** was eluted from the column with pure ethyl acetate and was then recrystallized from diisopropyl ether – ethyl acetate 7:3 to afford 1.55 g (45%) of colorless crystals.

4a: mp 112-113 °C; MS; (m/z, %): 228/230/232 (M^+ , 33/21/), 159 (100).

Anal. Calcd. for $C_8H_6Cl_2N_4$ (229.07): C, 41.95; H, 2.64; N, 24.46. Found: C, 42.18; H, 2.53; N, 24.33.

4b: mp 50-52 °C; MS (m/z, %): 228/230/232 (M^+ , 320/13/2), 159 (100).

Anal. Calcd. for $C_8H_6Cl_2N_4$ (229.07): C, 41.95; H, 2.64; N, 24.46. Found: C, 42.25; H, 2.78; N, 24.51.

3-tert-Butyl-1-(3,4-dichlorobenzyl)-1H-pyrazol-5-amine (6) and 3-tert-Butyl-N-(3,4-dichlorobenzyl)-1H-pyrazol-5-amine (14)

The reaction mixture was poured onto an excess of water and was then exhaustively extracted with dichloromethane. The red, viscous oil remaining after evaporation of the combined dichloromethane phases was subjected to column chromatography (silica gel, ethyl acetate). Besides predominating mixed fractions also small amounts of **6** (134 mg, 3%) (faster eluted component) and **14** (358 mg, 8%) could be isolated.

6: red-brown oil which solidified to an amorphous mass with time; MS (m/z, %): 297/299/301 (M^+ , 31/21/3), 159 (82). Anal. Calcd. for $C_{14}H_{17}Cl_2N_3$ (298.21): C, 56.39; H, 5.75; N, 14.09. Found: C, 56.68; H, 5.87; N, 14.08.

14: red-brown oil which solidified to an amorphous mass with time; MS (m/z, %): 297/299/301 (M^+ , 100/64/11), 159 (100). Anal. Calcd. for

$C_{14}H_{17}Cl_2N_3$ (298.21): C, 56.39; H, 5.75; N, 14.09. Found: C, 56.62; H, 5.61; N, 13.94.

1-(3,4-Dichlorobenzyl)-3-phenyl-1H-pyrazol-5-amine (7)

Column chromatography (silica gel, light petroleum – ethyl acetate 3:2) afforded – beneath large amounts of mixed fractions – also 477 mg (10%) of pure **7** as a brownish oil which solidified on long standing to give crystals of mp 117-119 °C. MS (m/z, %): 317/319/321 (M^+ , 68/40/7), 130 (100). Anal. Calcd. for $C_{16}H_{13}Cl_2N_3$ (318.21): C, 60.39; H, 4.12; N, 13.21. Found: C, 60.28; H, 3.95; N, 13.23. HRMS: Calcd. for $C_{16}H_{13}Cl_2N_3$: 317.0487. Found: 317.0481 ± 0.0032.

1-(3,4-Dichlorobenzyl)-1H-1,2,4-triazol-3-amine (8a) and 1-(3,4-Dichlorobenzyl)-1H-1,2,4-triazol-5-amine (8b)

The crude product (**8a**:**8b** ~ 1:1 according to 1H -NMR) was subjected to column chromatography (silica gel, dichloromethane – methanol – triethylamin 40:2:1). However, a complete separation of the isomers was not possible. The middle fractions were evaporated and recrystallized from toluene to afford **8a**/**8b** (800 mg, 22%) as colorless crystals of mp 124-127 °C. MS of 1:1 mixture (m/z, %): 242/244/246 (M^+ , 25/16/2), 159 (100). HRMS: Calcd. for $C_9H_8Cl_2N_4$: 242.0126. Found: 242.0124 ± 0.0024.

1-(3,4-Dichlorobenzyl)-1H-tetrazol-5-amine (9a) and 2-(3,4-Dichlorobenzyl)-2H-tetrazol-5-amine (9b)

The crude product was washed with hot water and – after drying – with cold light petroleum to afford a mixture of **9a** and **9b** (2.125 g, 58%, pure according 1H -NMR, **9a**:**9b** ~ 1:2). Column chromatography (silica gel, light petroleum – 2-propanol 17:3) gave – besides far predominating amounts of mixed fractions – also some pure **9b** as the faster eluted component (109 mg, 3%).

9b: mp 142-144 °C; MS (m/z, %): 243 (M⁺, 5), 159 (100). HRMS: Calcd. for C₈H₇Cl₂N₅: 243.0079. Found: 243.0072 ± 0.0024.

1-(3,4-Dichlorobenzyl)-5-pyrrolidin-1-yl-1H-tetrazole (10a) and 2-(3,4-Dichlorobenzyl)-5-pyrrolidin-1-yl-2H-tetrazole (10b)

The reaction mixture was poured onto water and was then exhaustively extracted with ether. The combined ether extracts were dried (Na₂SO₄) and evaporated under reduced pressure. The residue was subjected to column chromatography (silica gel, light petroleum – ethyl acetate 7:3) to give **10b** as the faster eluted component. Recrystallization from light petroleum – diisopropyl ether 4:1 gave 2.10 g (47%) of **10b** as colorless crystals. The more retarded component **10a** was then eluted from the column with pure ethyl acetate and recrystallized from 1-propanol to afford 581 mg (13%) of colorless crystals.

10a: mp 138 °C; MS (m/z, %): 297/299/301 (M⁺, 27/17/3), 55 (100). Anal. Calcd. for C₁₂H₁₃Cl₂N₅ (298.17): C, 48.34; H, 4.39; N, 23.49. Found: C, 48.64; H, 4.35; N, 23.32.

10b: mp 122 °C; MS (m/z, %): 297/299/301 (M⁺, 18/11/2), 55 (100). Anal. Calcd. for C₁₂H₁₃Cl₂N₅ (298.17): C, 48.34; H, 4.39; N, 23.49. Found: C, 48.44; H, 4.46; N, 23.33.

4-[2-(3,4-Dichlorobenzyl)-2H-tetrazol-5-yl]morpholine (11)

The reaction mixture was poured onto water and was then exhaustively extracted with ether. The combined ether extracts were dried (Na₂SO₄) and evaporated under reduced pressure. The residue was subjected to column chromatography (silica gel, light petroleum – ethyl acetate 4:1) to give 3.02 g (64%) of **11** as colorless crystals, mp 95 °C. MS (m/z, %): 313 (M⁺, 2), 85 (100). Anal. Calcd. for C₁₂H₁₃Cl₂N₅O (314.17): C, 45.88; H, 4.17; N, 22.29. Found: C, 46.08; H, 4.02; N, 22.33.

1-(3,4-Dichlorobenzyl)-4-nitro-1H-imidazole (12)

The reaction mixture was refluxed for 3 days, poured onto water and was then exhaustively extracted with ethyl acetate. The combined ether extracts were dried (Na_2SO_4) and evaporated under reduced pressure. The residue was subjected to column chromatography (silica gel, light petroleum – 1,4-dioxane 1:1) The crude product was recrystallized from diisopropyl ether – ethyl acetate 9:1 to give 2.24 g (55%) of **12** as colorless crystals, mp 130 °C. MS (m/z, %): 271/273/275 (M^+ , 36/23/3), 159 (100). Anal. Calcd. for $\text{C}_{10}\text{H}_7\text{Cl}_2\text{N}_3\text{O}_2$ (272.09): C, 44.14; H, 2.59; N, 15.44. Found: C, 44.05; H, 2.44; N, 15.28.

1-(3,4-Dichlorobenzyl)-3-nitro-1H-1,2,4-triazole (13a)

The residue was subjected to column chromatography (silica gel, light petroleum – acetone 4:1) to afford 1.43 g (35%) of colorless crystals, mp 108-111 °C. MS (m/z, %): 272/274/276 (M^+ , 29/18/3), 159 (100). Anal. Calcd. for $\text{C}_9\text{H}_6\text{Cl}_2\text{N}_4\text{O}_2$ (273.08): C, 39.59; H, 2.21; N, 20.52. Found: C, 39.84; H, 2.07; N, 20.52.

From the mixed fractions the NMR spectroscopic data of the minor reaction product, i.e. the isomeric 1-(3,4-dichlorobenzyl)-5-nitro-1H-1,2,4-triazole (**13b**) could be derived and assigned unambiguously (Tables 1-3).

3-tert-Butyl-N-(3,4-dichlorobenzyl)-1H-pyrazol-5-amine (14)

5 See preparation of compound **6**.

6 References

- [1] Walker J M, Bowen, W D, Walker F O, Matsumoto R R, de Costa B, Rice K C.
Sigma Receptors: Biology and Function.
Pharmacol. Rev. 1990;42:355-402.
- [2] Itzhak Y, editor.
Sigma Receptors.
In: Neuroscience Perspectives.
London:Academic Press, 1994:1-233.

- [3] Bowen W D.
Sigma receptors: recent advances and new clinical potentials.
Pharm. Acta Helv. 2000;74:211-8.
- [4] Maurice T, Phan V-L, Urani A, Kamei H, Noda Y, Nabeshima T.
Neuroactive neurosteroids as endogenous effectors for the sigma1 (σ_1) receptor: Pharmacological evidence and therapeutic opportunities.
Jpn. J. Pharmacol. 1999;81:125-55.
- [5] Maurice T, Lockhart B P.
Neuroprotective and anti-amnesic potentials of sigma (σ) receptor ligands.
Prog. Neuro-Psychopharmacol. Biol. Psychiat. 1997; 21:69-102.
- [6] Maurice T, Urani A, Phan V-L, Romieu P.
The interaction between neuroactive steroids and the σ_1 receptor function: behavioral consequences and therapeutic opportunities.
Brain Res. Rev. 2001;37:116-32.
- [7] de Costa B R, Radesca L, Di Paolo L, Bowen W D.
Synthesis, Characterization, and Biological Evaluation of a Novel Class of *N*-(Arylethyl)-*N*-alkyl-2-(1-pyrrolidinyl)ethylamines: Structural Requirements and Binding Affinity at the σ Receptor
J. Med. Chem. 1992;35:38-47.
- [8] Bowen W D, Hauer K, Holzer W, Jäger C, Laggner C, Langer T.
Manuscript in preparation.
- [9] Holzer W.
NOE difference spectroscopy as a versatile tool for spectral and structural assignment in various N-1 substituted pyrazoles.
Tetrahedron 1991;47:1393-8.
- [10] Holzer W.
On the application of NOE difference spectroscopy for spectral and structural assignments with substituted 1,2,3-triazoles.
Tetrahedron 1991;47:9783-92.
- [11] Holzer W.
Spectral and structural assignments with various N-substituted 1,2,4-triazoles: NOE difference spectroscopy as a powerful tool.
Tetrahedron 1991;47:5471-80.
- [12] Holzer W, Jäger C.
On the discrimination of tetrazole regioisomers by NOE difference spectroscopy.
Monatsh. Chem. 1992;123:1027-36.
- [13] Bax A.
Structure Determination and Spectral Assignment by Pulsed Polarization Transfer via Long-Range ^1H - ^{13}C Couplings.
J. Magn. Reson. 1984;57:314-8.
- [14] Baggaley K H, Heald M, Hindley R M, Morgan B, Tee J L, Green J.
Hypolipidemic imidazoles.
J. Med. Chem. 1975;18:833-6.

- [15] Miller A D
Triazoles.
Ger. Offen. 1977;DE 2648826 (Chem. Abstr. 1977;87:102338).
- [16] Patil S G, Nicholls P H, Chamberlain K, Briggs G G, Bromilow, R H.
Degradation rates in soil of 1-benzyltriazoles and two triazole
fungicides.
Pestic. Sci. 1988;22:333-42.

4 ANHANG

Einteilung der Spektren

4.1.1 ^1H und ^{13}C Spektren

1-(3,4-Dichlorbenzyl)-1H-pyrazol [1]	Tafel	1-13
1-(3,4-Dichlorbenzyl)-1H-imidazol [2]	Tafel	14-23
1-(3,4-Dichlorbenzyl)-1H-1,2,3-triazol [3a]	Tafel	24-30
2-(3,4-Dichlorbenzyl)-2H-1,2,3-triazol [3b]	Tafel	31-35
1-(3,4-Dichlorbenzyl)-1H-1,2,4 -triazol [4]	Tafel	36-49
1-(3,4-Dichlorbenzyl)-1H-tetrazol [5a]	Tafel	50-54
2-(3,4-Dichlorbenzyl)-2H-tetrazol [5b]	Tafel	55-62
1-(3,4-Dichlorbenzyl)-5-pyrrolidin-1-yl-1H-tetrazol [10a]	Tafel	63-73
2-(3,4-Dichlorbenzyl)-5-pyrrolidin-1-yl-2H-tetrazol [10b]	Tafel	74-83
4-[2-(3,4-Dichlorbenzyl)-2H-tetrazol-5-yl]morpholin [11]	Tafel	84-94
1-(3,4-Dichlorbenzyl)-4-nitro-1H-imidazol [12]	Tafel	95-105

TAFEL 1

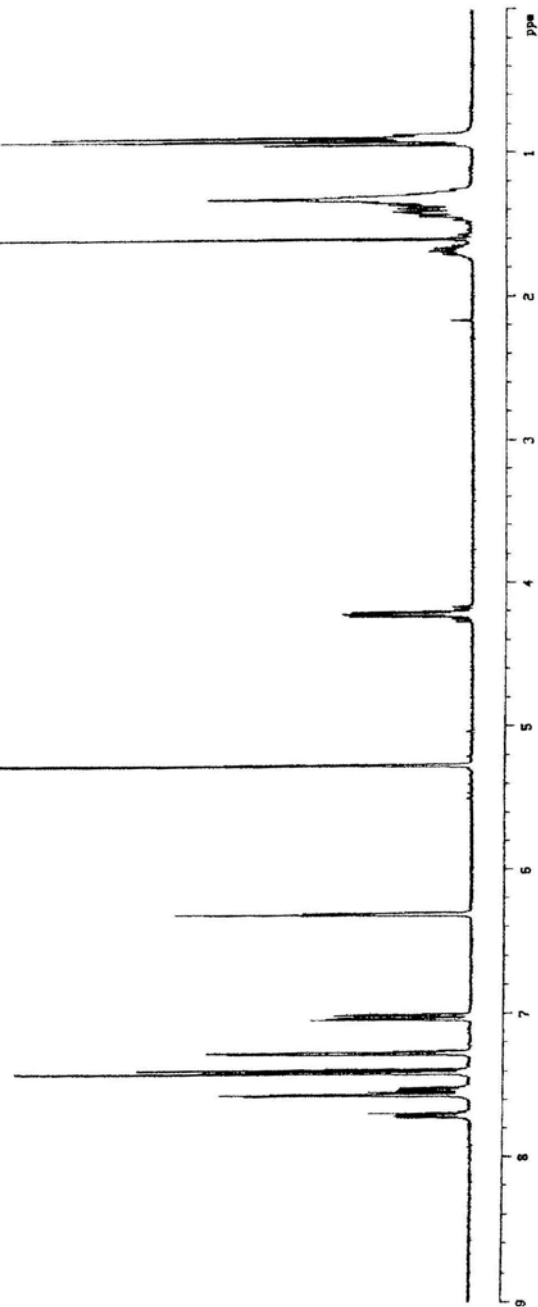
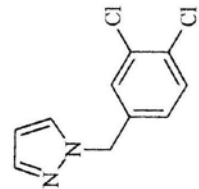
Bettina, Pyrazol plus "Benzyl-Cl"

expt pulse sequence: *slish*

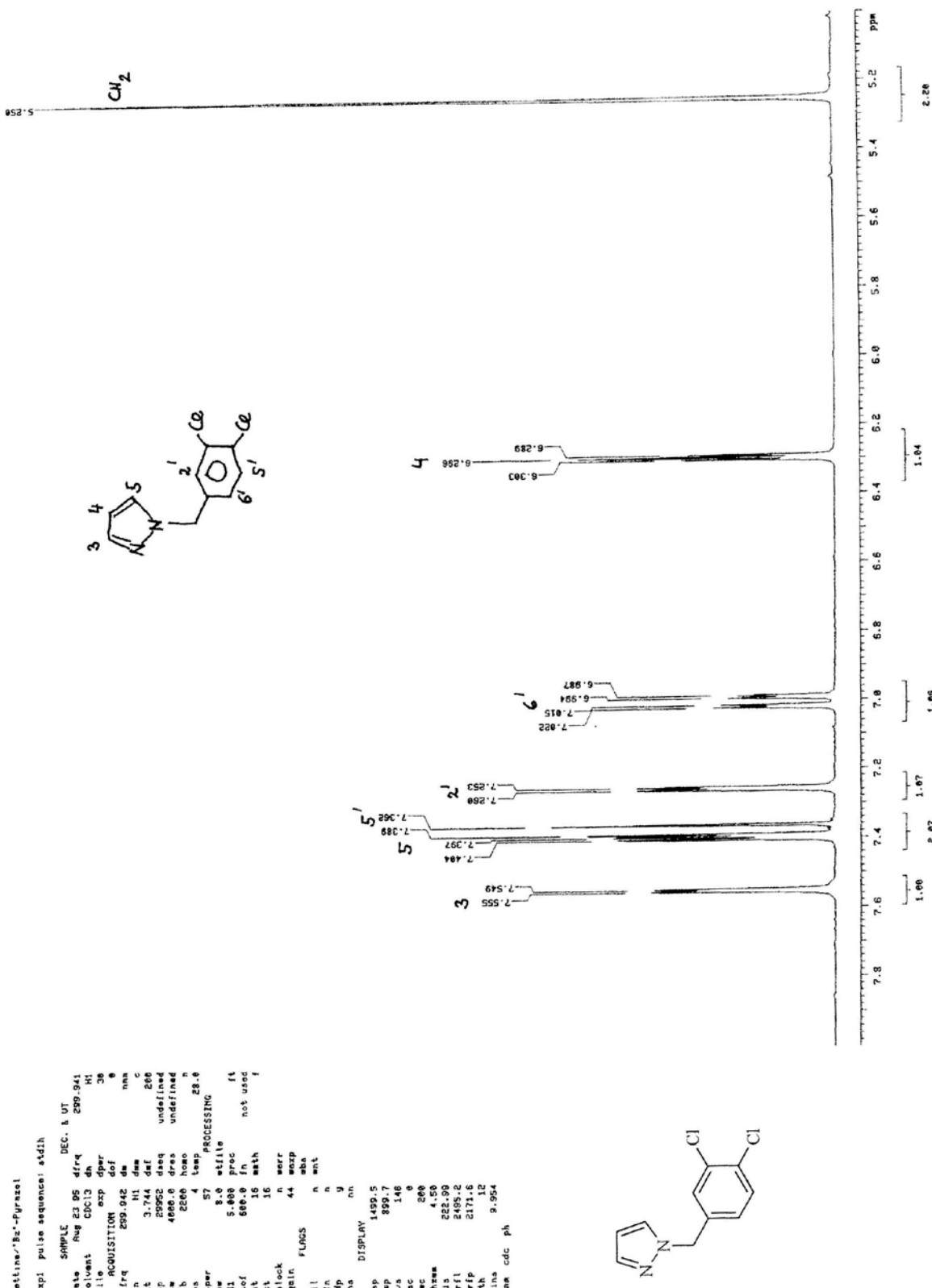
```

SAMPLE      Ang  2 NS  dprq   DEC.  k  UT
date        299.941
solvent     CDCl3  dn      H1
file        exp    dprq   36
ACQUISITION def    def    0
            259.942  dn      nnn
            th     H1    dn      c
            3.744  dprq  200
            st     dswg  undefined
            np     299.942  dswg  undefined
            sw     4699.0  dswg  undefined
            fb     2200  homo  n
            bs     4      temp  22.0
            tpr    57      PROCESSING
            pw    8.0  width
            d1    5.000  proc   f1
            tof   600.0  In     not used
            nt    10      math  f
            ct     0
            slck   n      warr
            gain   46      wexp
            FIDGS   abs
            i1     n      ent
            ih     n
            dp     y
            ha     nn
            DISPLAY ~0.1
            sp
            up    2699.4
            us    144
            sc    0
            nc    200
            hawm  13.59
            la    3182.62
            r1t   2489.2
            rip   2171.6
            th    17
            lns   1.593
            nw   cdc ph

```



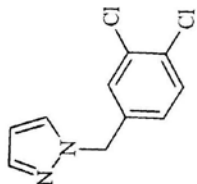
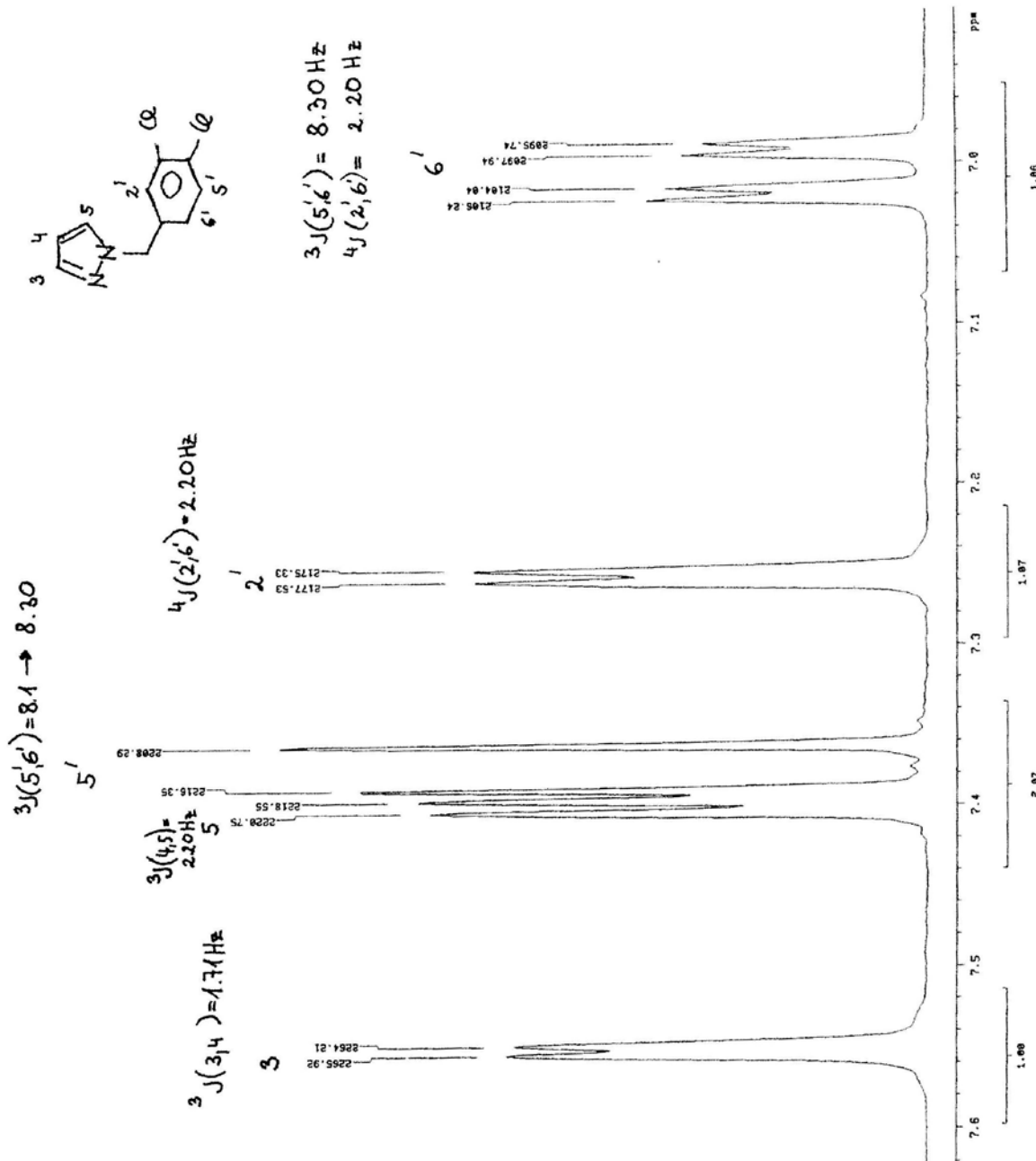
TAFEL 2



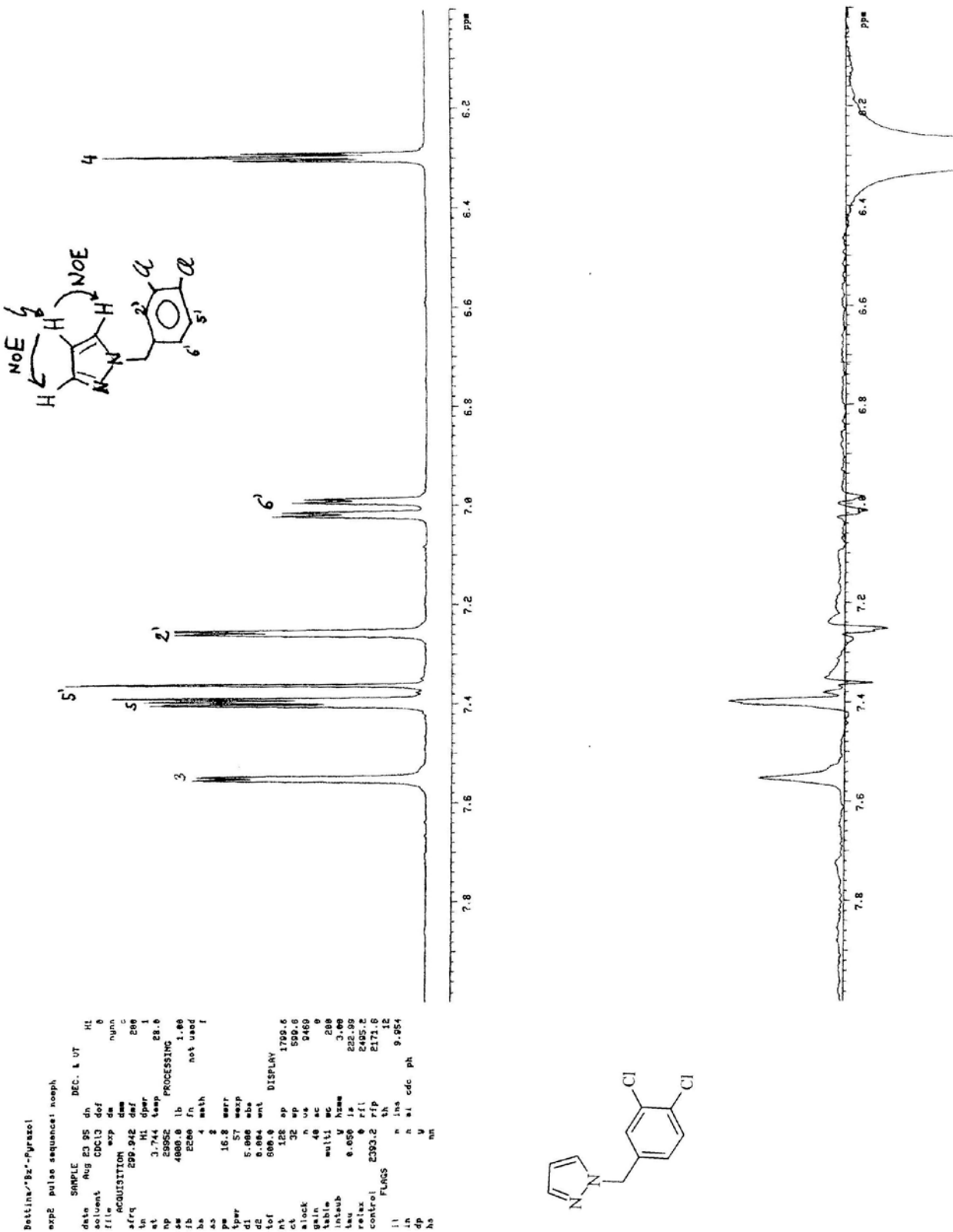
TAFEL 3

POLYMER LETTERS EDITION

WIRTSCHAFTS WISSENSCHAFTEN 1/2011



TAFEL 4

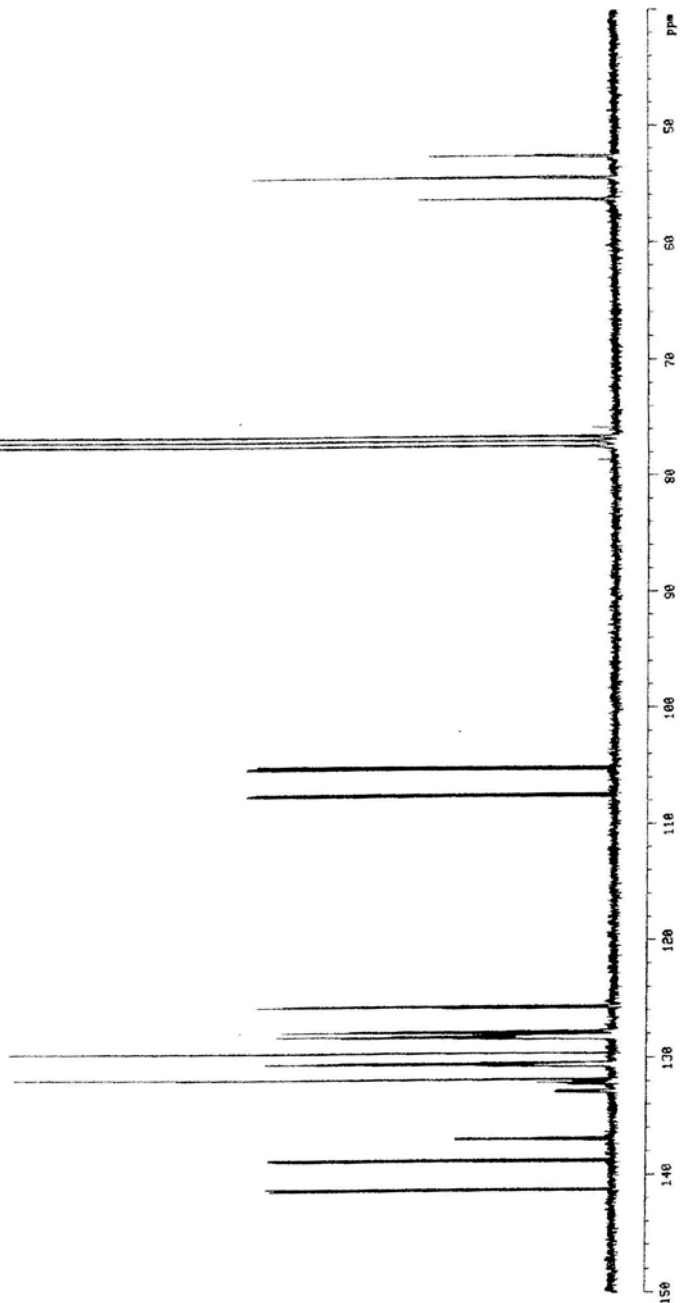
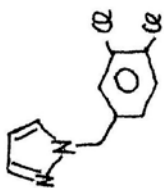


TAFEL 5

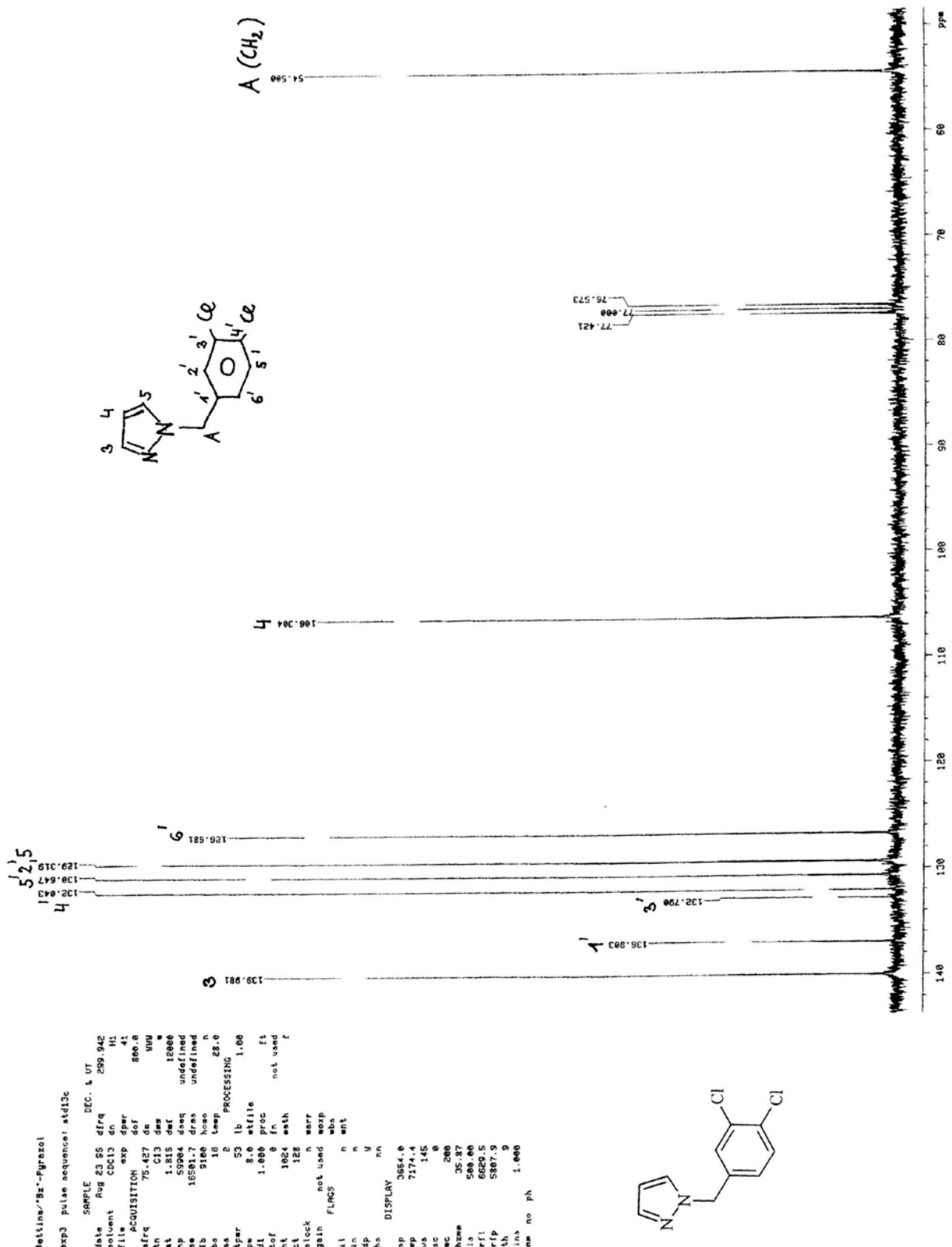
Biotin-N₃-Pyraxol

exps pulse sequence st412c

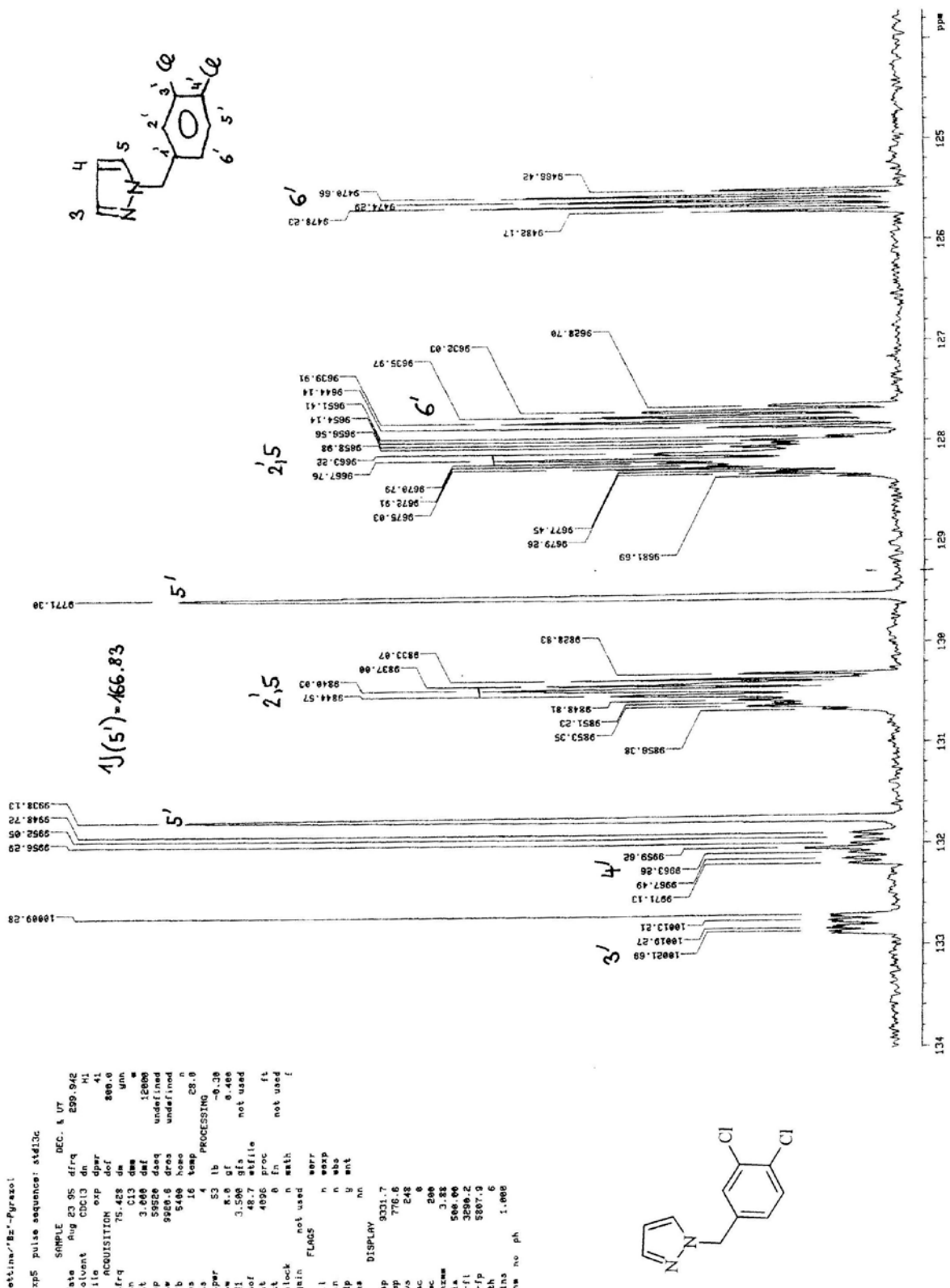
SAMPLE	DEC. 4 UT
date	Aug 23 95
solvent	CDCl ₃ dm
file	H1
HCOR3D	41
sfreq	800.0
tn	128000
et	3.000 daw
np	59520 dsq
aw	5928.6 daw
tb	5400 homo
bs	16 tsep
ss	4 PROCESSING
tear	53 lb
pe	3.0 9f
d1	3.500 9f
tof	48.7 wtille
nt	4096 proc
ct	9 fh
stck	n msh
gain	not used
FLAGS	err
ii	n wexp
in	n ebs
dp	y ent
hs	nn
DISPLAY	
sp	3017.0
wp	8286.9
vi	169
xc	6
nc	200
hsize	41.49
ls	500.00
rl1	3298.2
rlp	5897.9
th	9
ins	1.000
nm	no ph



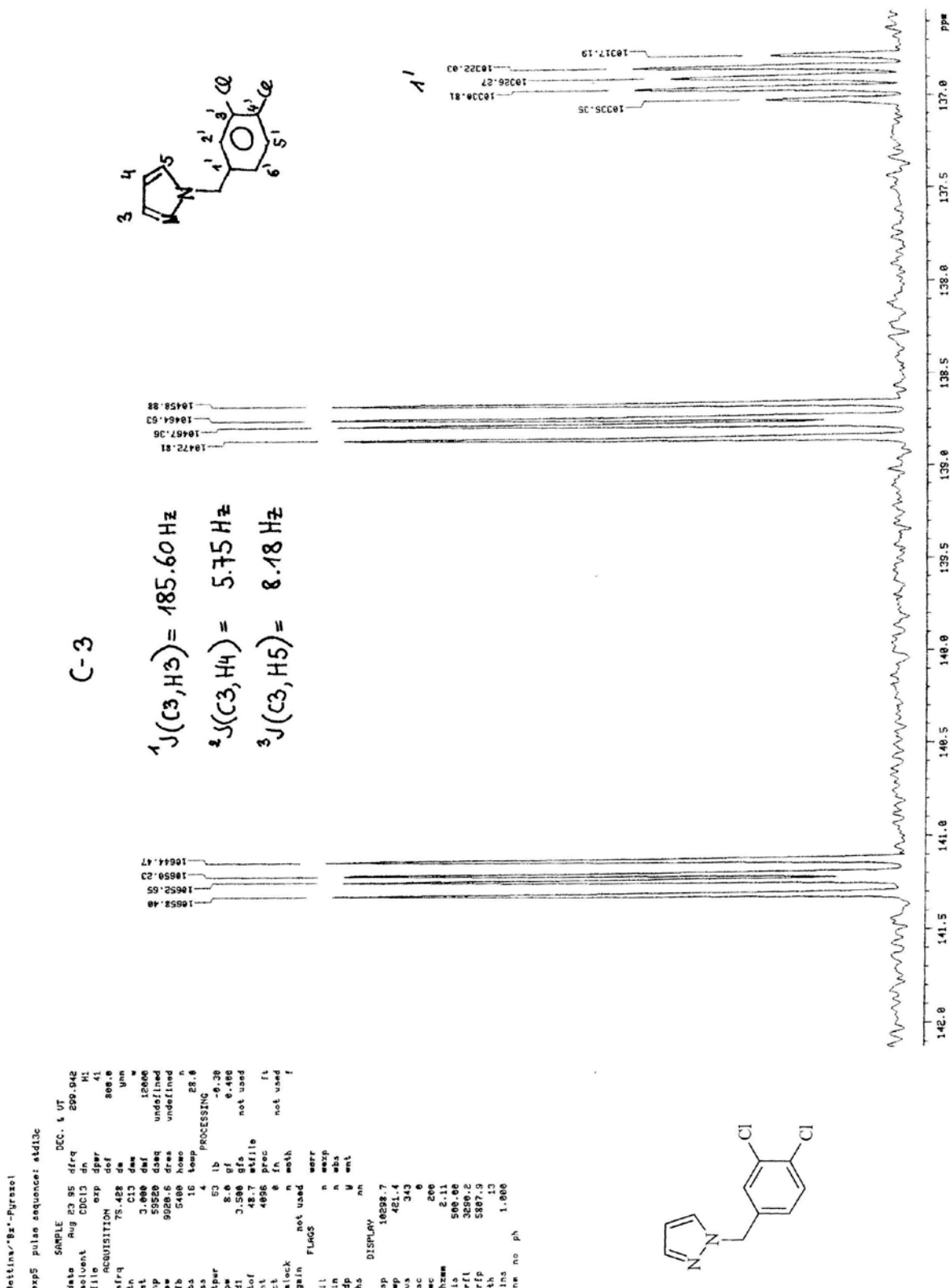
TAFEL 6



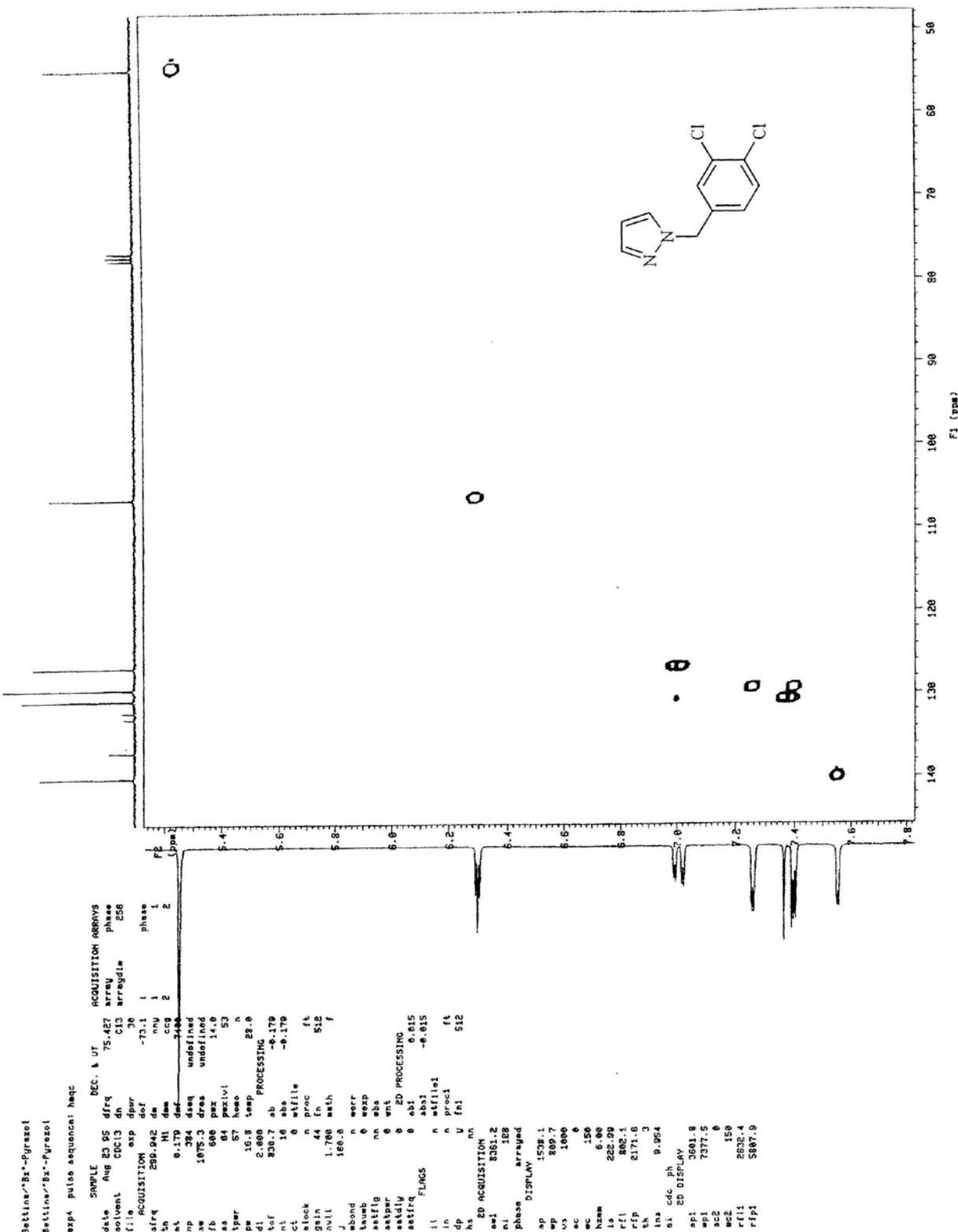
TAFEL 7



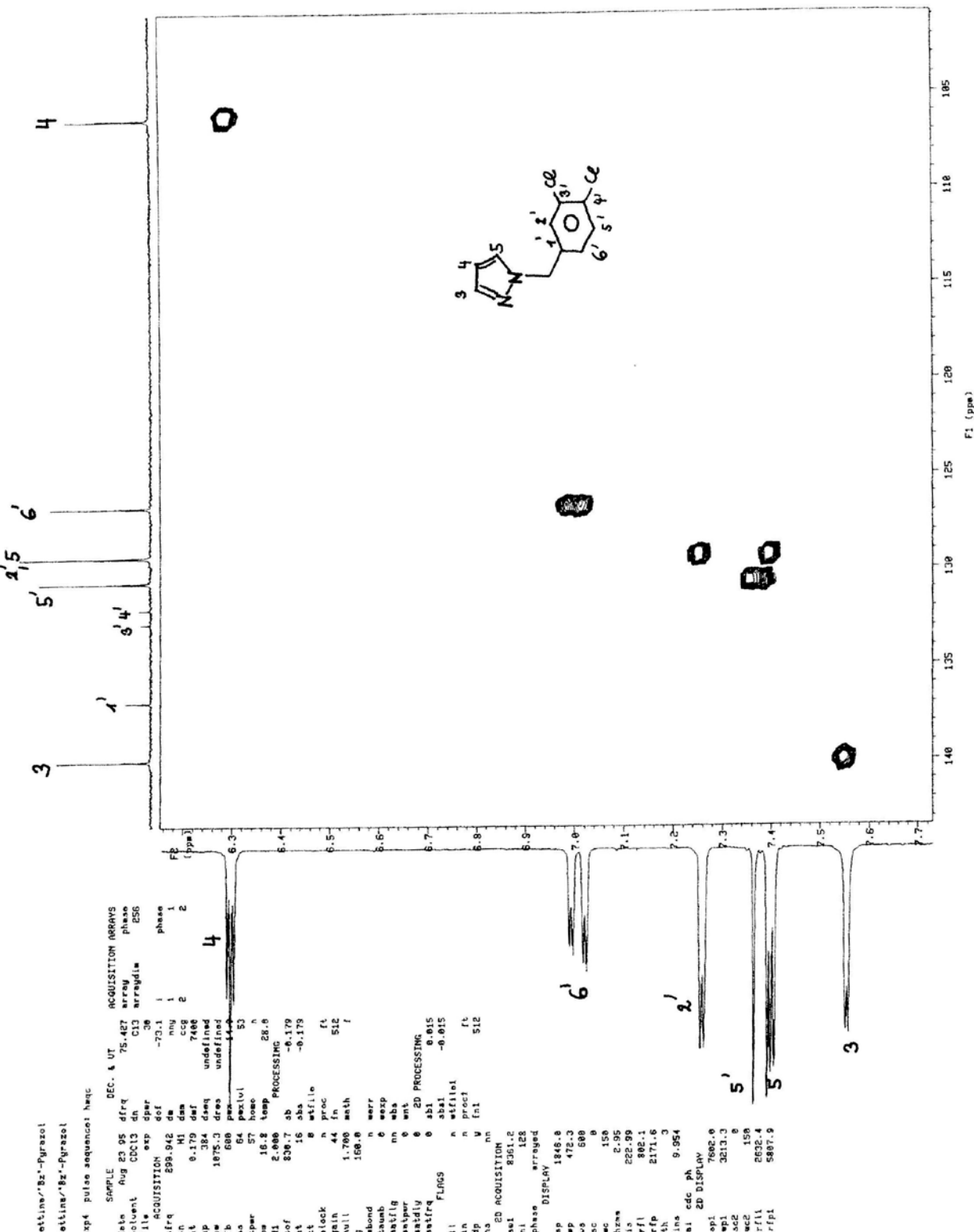
TAFEL 8



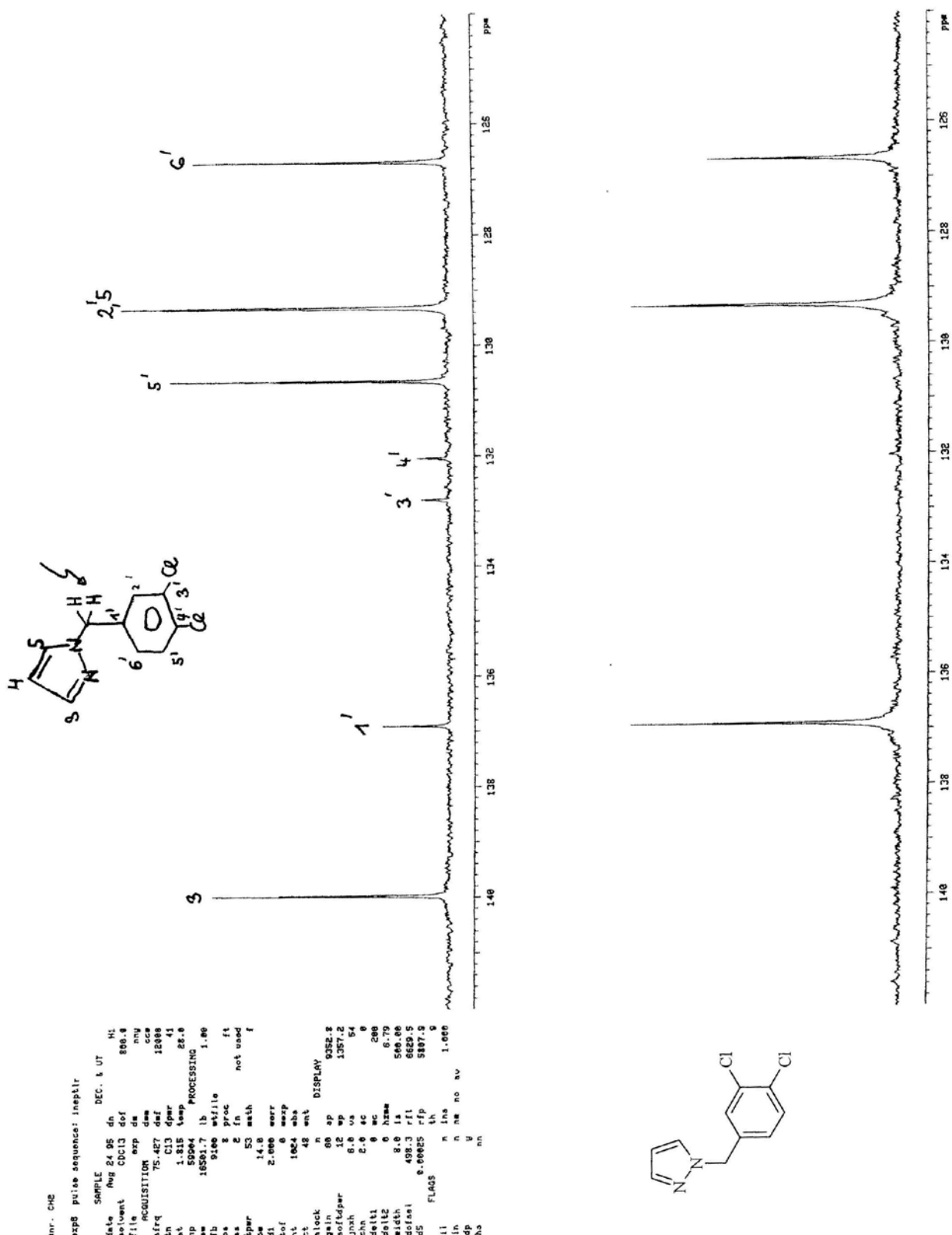
TAFEL 10



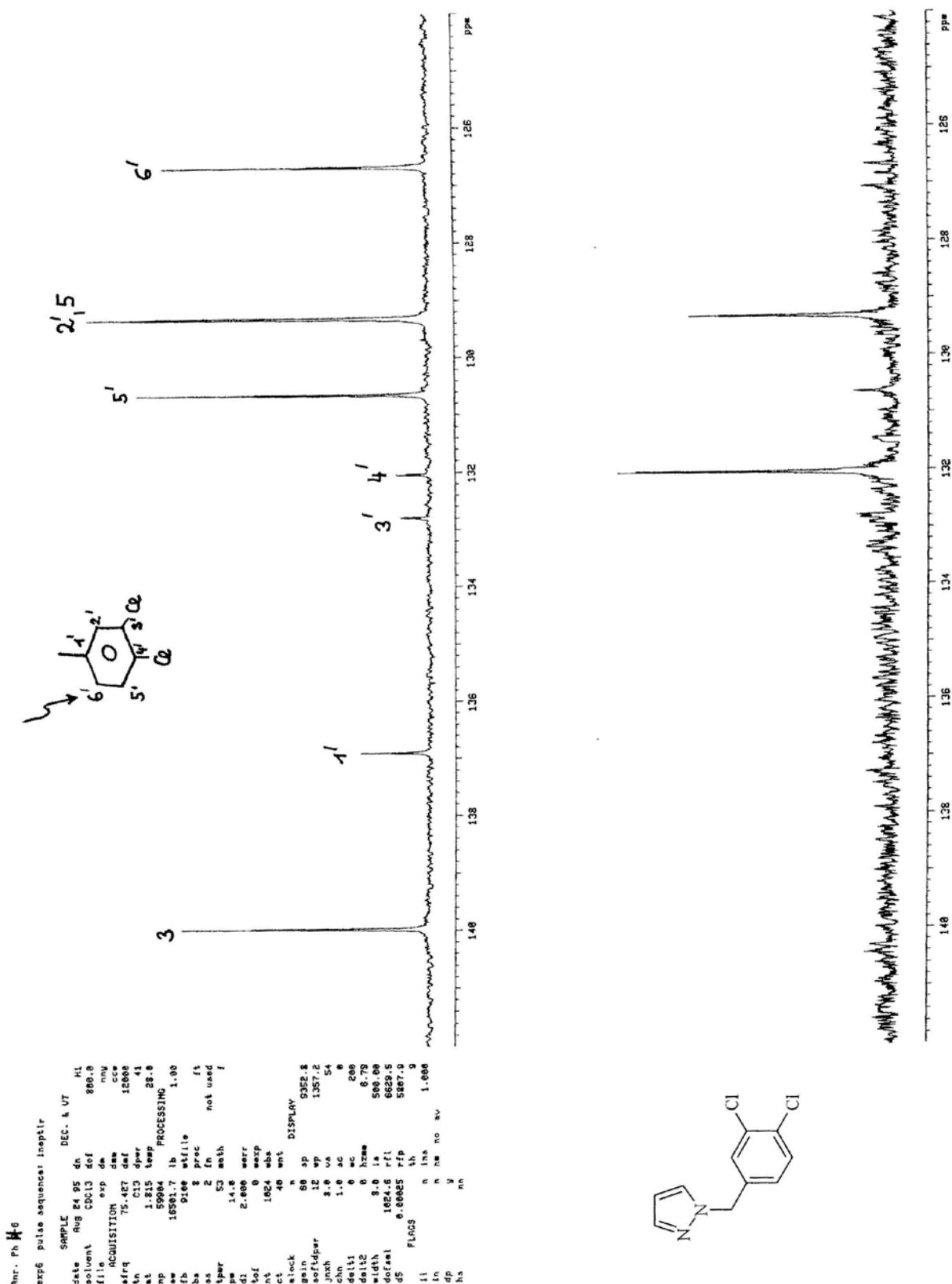
TAFEL 11



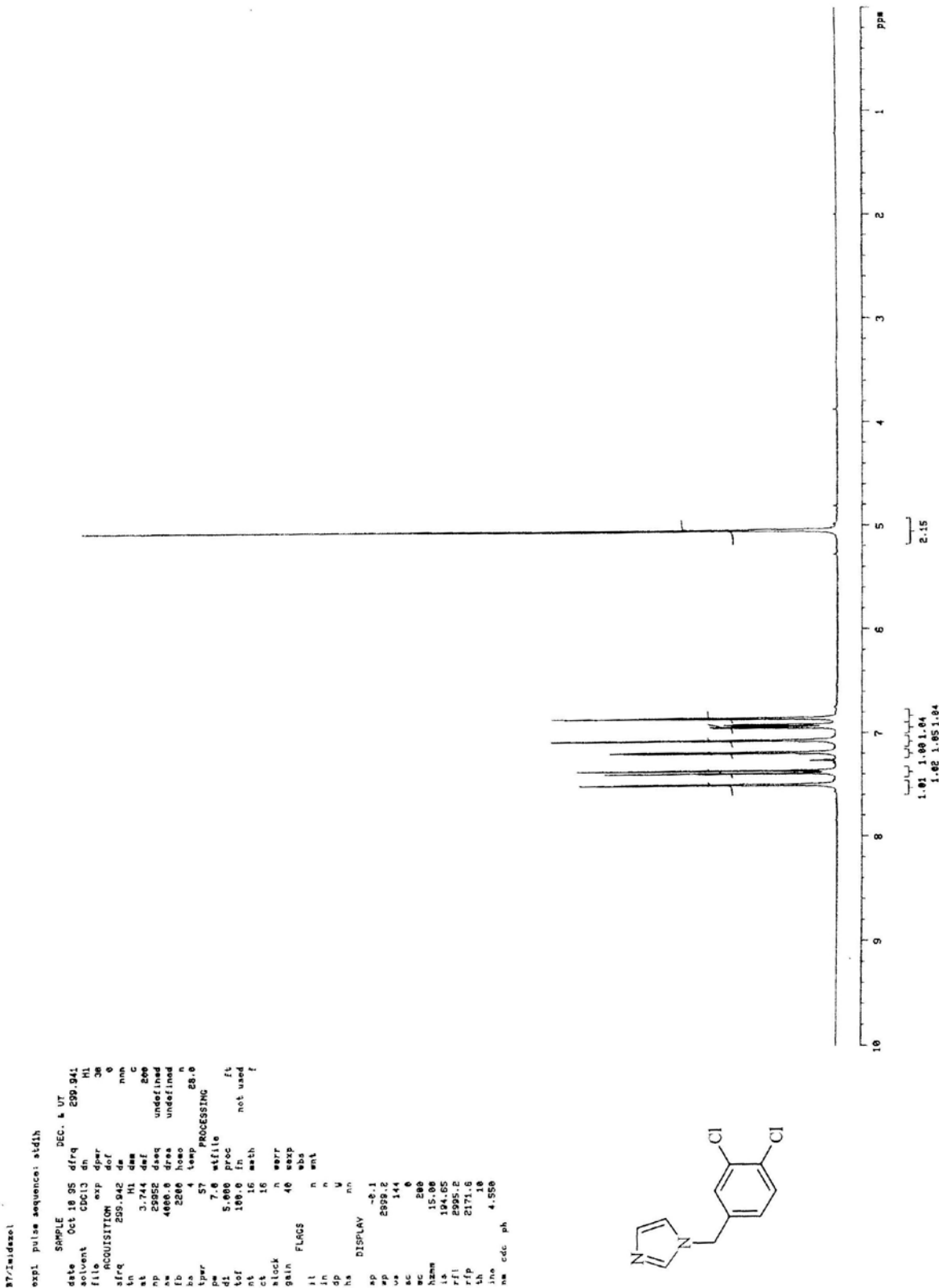
TAFEL 12



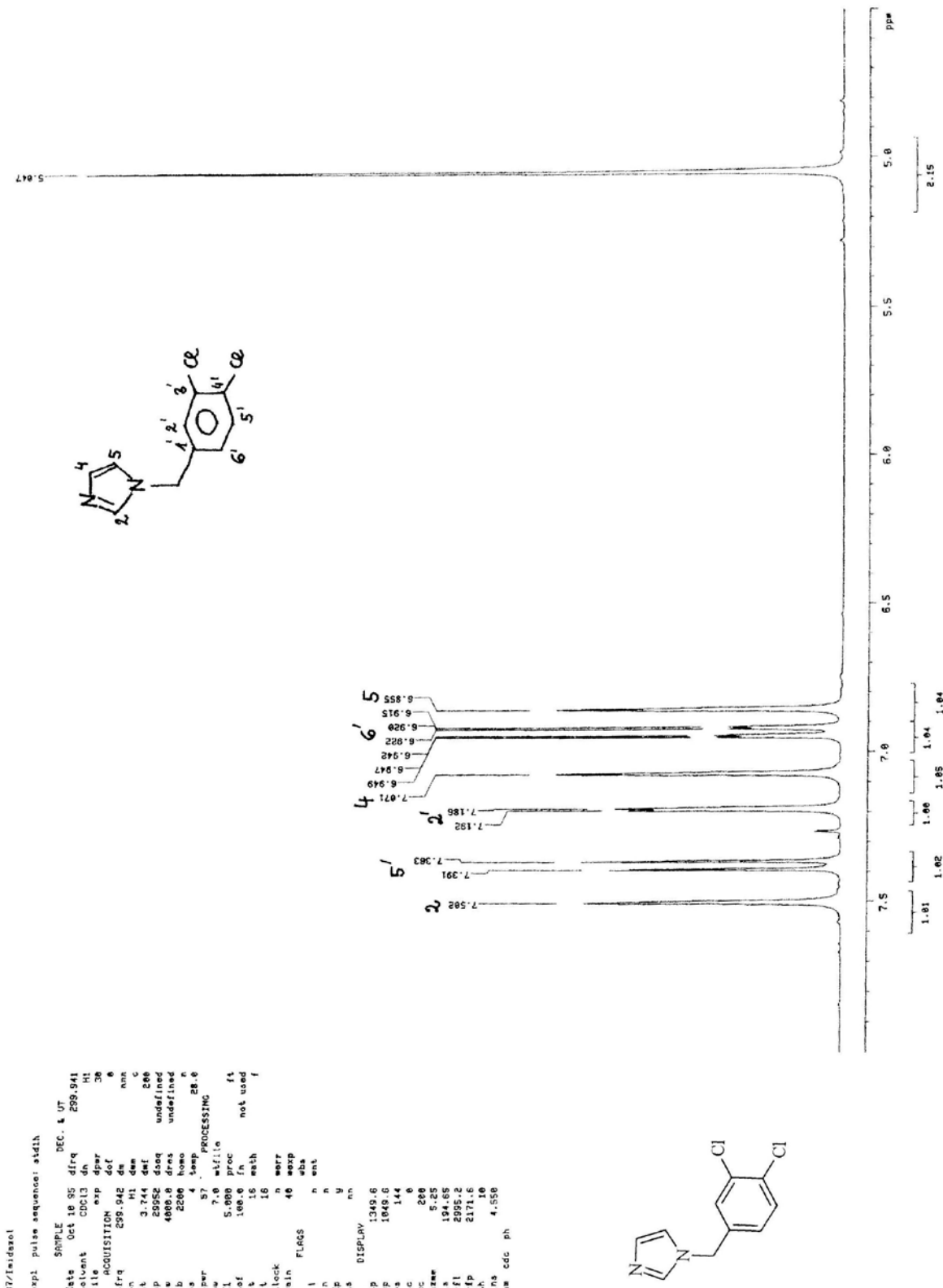
TAFEL 13



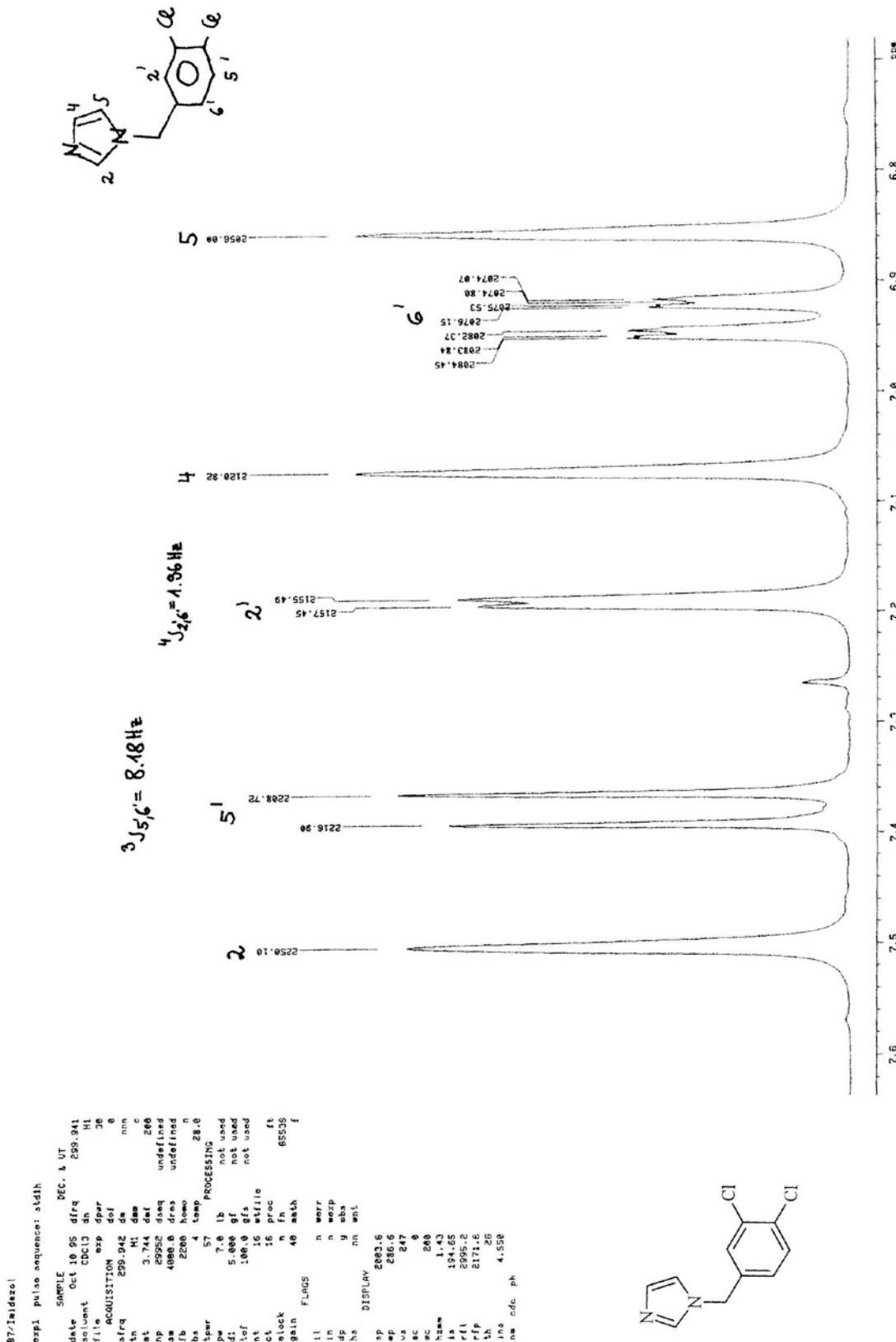
TAFEL 14



TAFEL 15



TAFEL 16



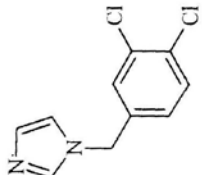
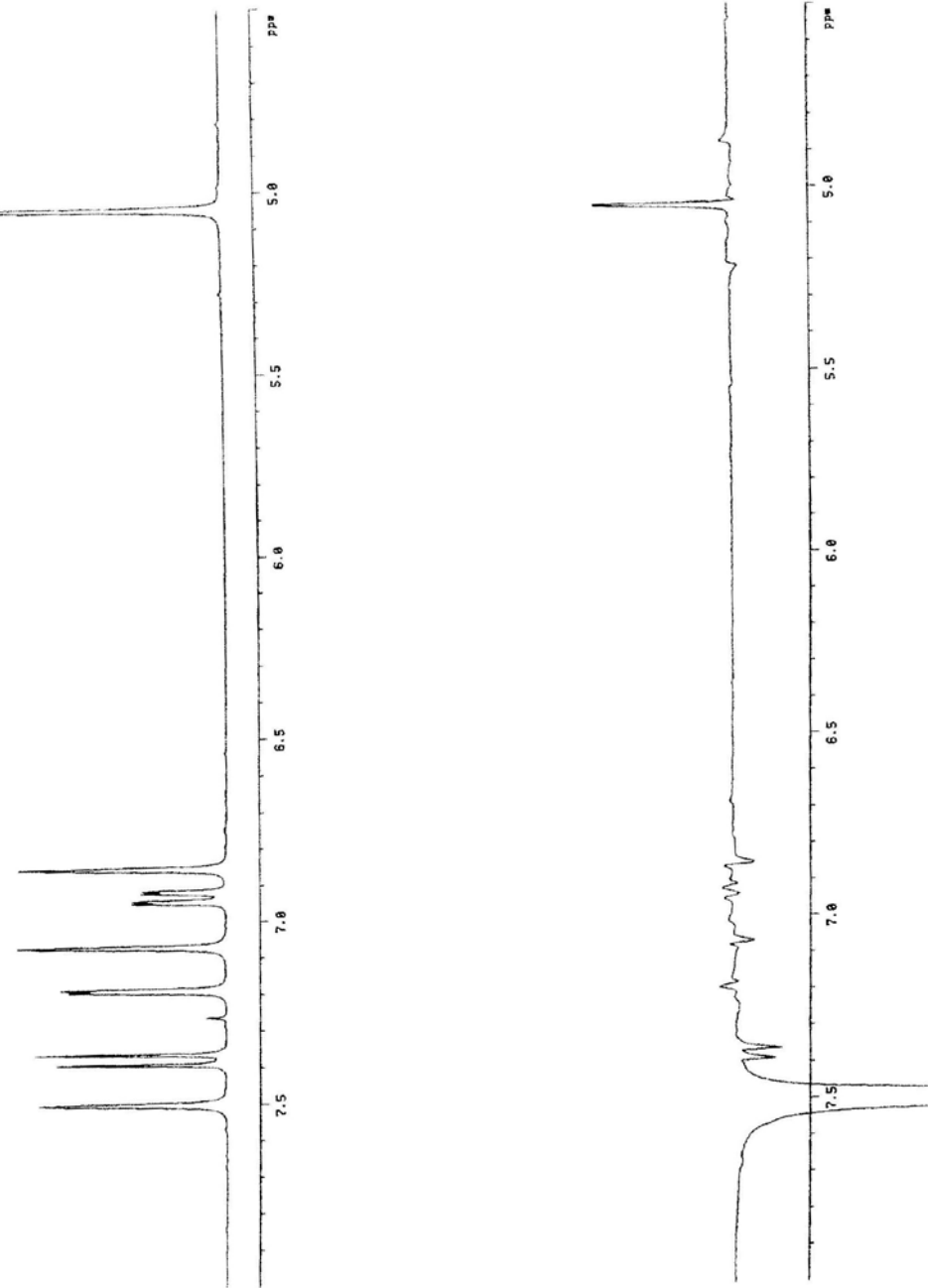
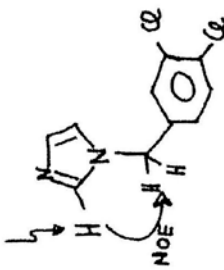
TAFEL 17

```

87/Indole
exp2 pulse sequence: noesq

SAMPLE Oct 18 95 dn   DEC. & VT   H1   ACQUISITION ARRAYS
date   solvent CDCl3 dft   array 0   array 4
file   exp  de   array 0   array 4
ACQUISITION dft   1   table
d1   exp  de   1   table
d1q   ESR: 642   1   table
      1H dipur
      3.744   1   white
      t1p   28.8   2   white
      np   29552   4   white
      aw   4880.6   1b   white
      fb   2280   fn   not used
      bs   4   white
      s.s   64   f
      pw   16.8   white
      t1w   57   white
      d1   5.000   ent
      d2   0.004   ent
      tof   108.6   DISPLAY
      n1   128   sp   1340.6
      c1   6   sp   1869.6
      clock
      gain   40   ac   6
      table   arrayed   sc   200
      intub   v   hasm   5.25
      tau   6.058   1a   194.85
      relax   0   r11   2995.2
      control   -642.3   r1p   2171.8
      FIDRS   4h   18
      l1   h   ins   4.558
      ln   h   si
      dp   y   ph
      hs   nn

```

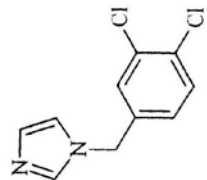
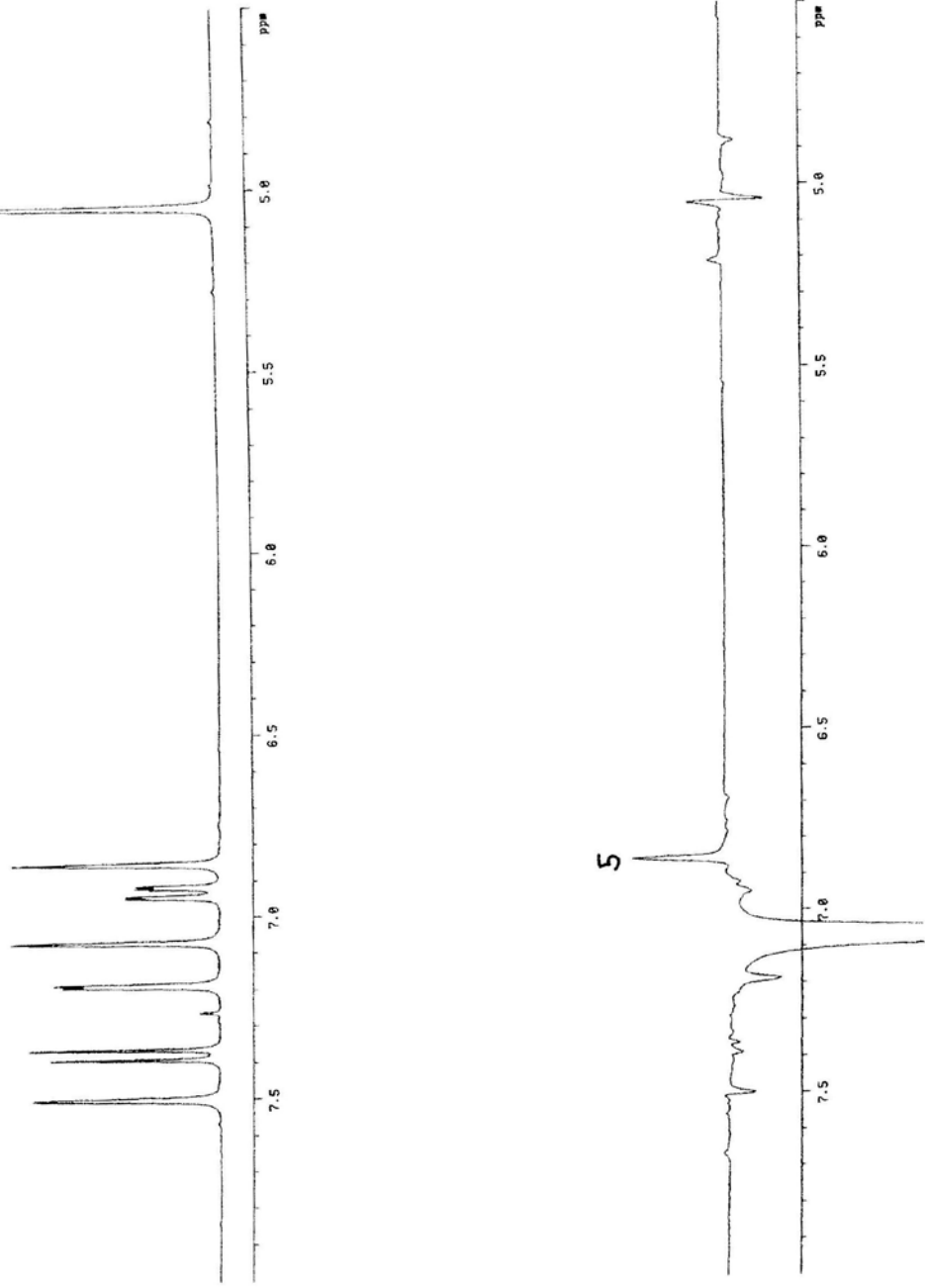
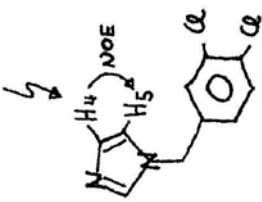


TAFEL 18

```

B771w1d1c01
exp2 pulse sequence: noph
SAMPLE          DEC. & UT      H1      ACQUISITION ARRAYS
date   Oct 18 95 dn        arr4      arr4      table 4
solvent    CDCl3      dof       0        arr4d1m
file      esp      de        num      arr4d1m
ACQUISITION      esp      daw      num      table 4
sfreq     250.942    das      c        num      table 4
th      1        200      1        200      1
t1      1        200      1        200      1
t2      3.744      tpar      28.6      28.6      3
t3      259.92      tppm      1.00      1.00      4
t4      489.0      lb      not used
t5      228.0      fr      not used
t6      64      not used
t7      16.8      warr
t8      57      warr
t9      5.689      abs
d1      0.004      wnt
d2      100.0      DISPLAY
t0f      128      sp      1340.6
nt      0      sp      1040.6
ct      0      sp      5900.6
clock      n      os
gain      40      ac      0
arrayed      wc      200
table      y      hexam      5.25
intsub      y
tau      0.050      ls      194.65
relax      0      r1l      2995.2
control      -642.3      r1p      2171.6
FLQDS      th      16
i1      n      tms      4.559
in      n      al      ph
dp      y
hs      nn

```



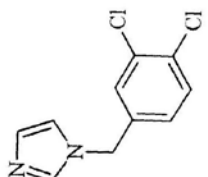
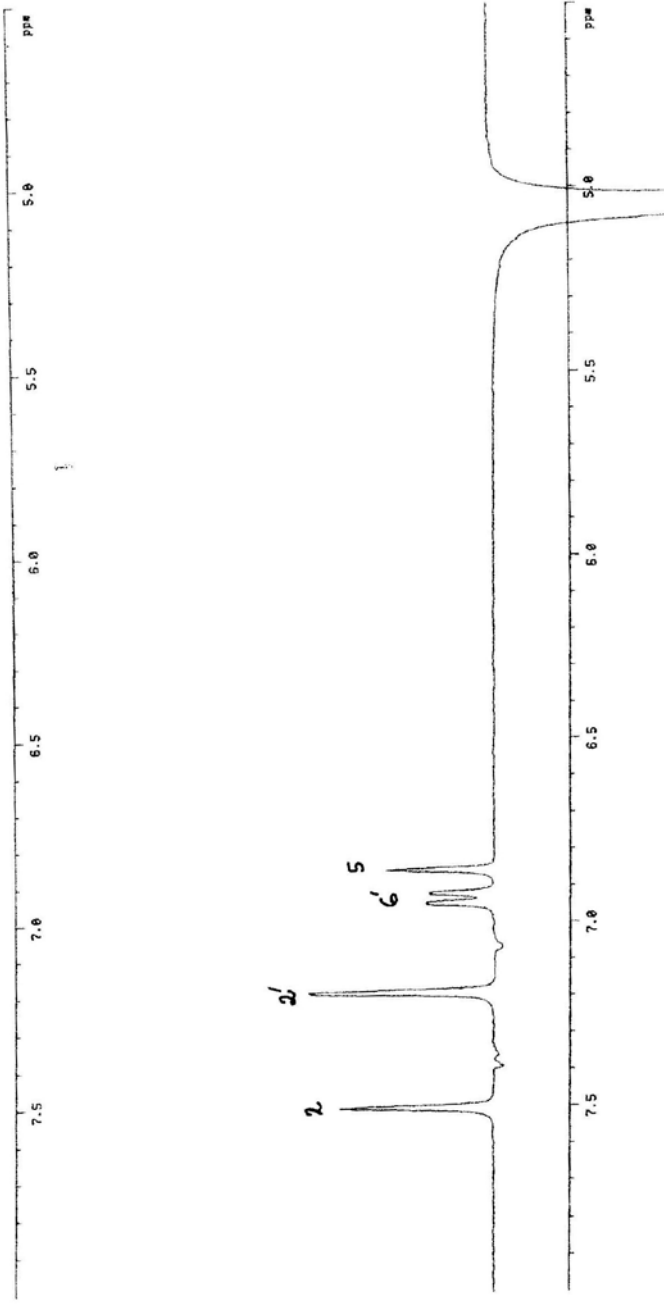
TAFEL 19

87/Imidoprol

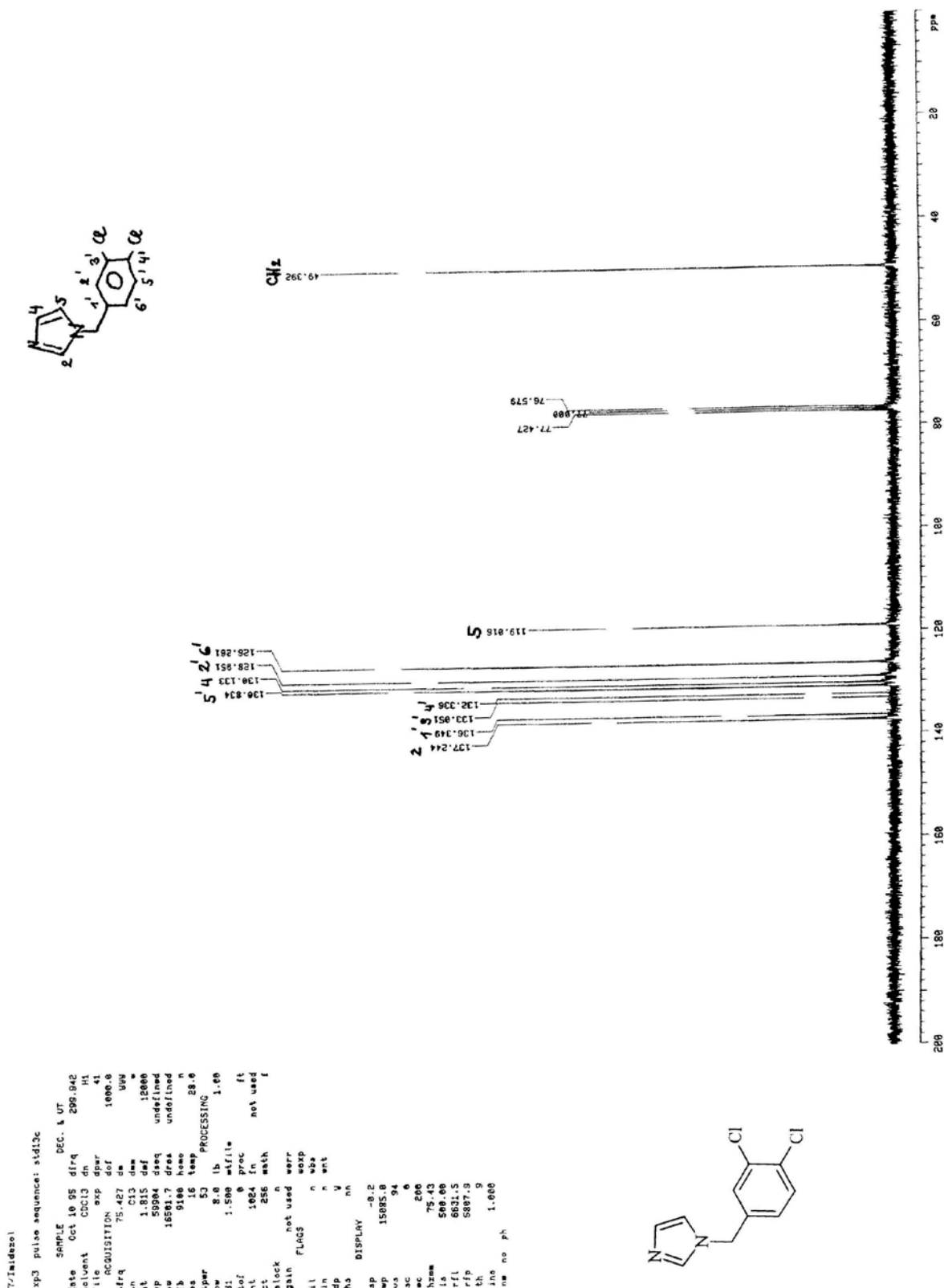
exp2 pulse sequence: noesq

SAMPLE	DEC.	UT	H1	ACQUISITION ARRAYS
date Oct 18 95	dn	0	array1	table
solvent CDCl3	dof	0	array2	4
file exp	de	array3		
Acquisition exp	de	array4		
sfreq 259.942	af1	c	table	
tn 1H	dpr	200	1	table
tt 3.744	temp	1	1	table
np 25952	PROCESSING	28.0	3	table
sw 4000.0	lb	1.00	4	table
fb 2280	fin	not used		
bs 4	asrh	f		
ss 64				
ps 16.3				
tpr 57				
d1 5.000	scwp			
d2 0.004	abs3			
tof 100.0	ent.			
rt 128	dp	1340.8		
ct 0	ep	140.6		
cl		590.6		
lock n		0		
gain 46	sc	0		
arayed sc		288		
table intsub y	hsw	5.25		
tbu 0.050	ls	194.65		
relax 0	r1l	2095.2		
control -642.3	r1p	2171.6		
FL4G3 th		1.16		
:1 in	n	1.15	4.550	
dp	n	0.1	ph	
hs	m	mm		

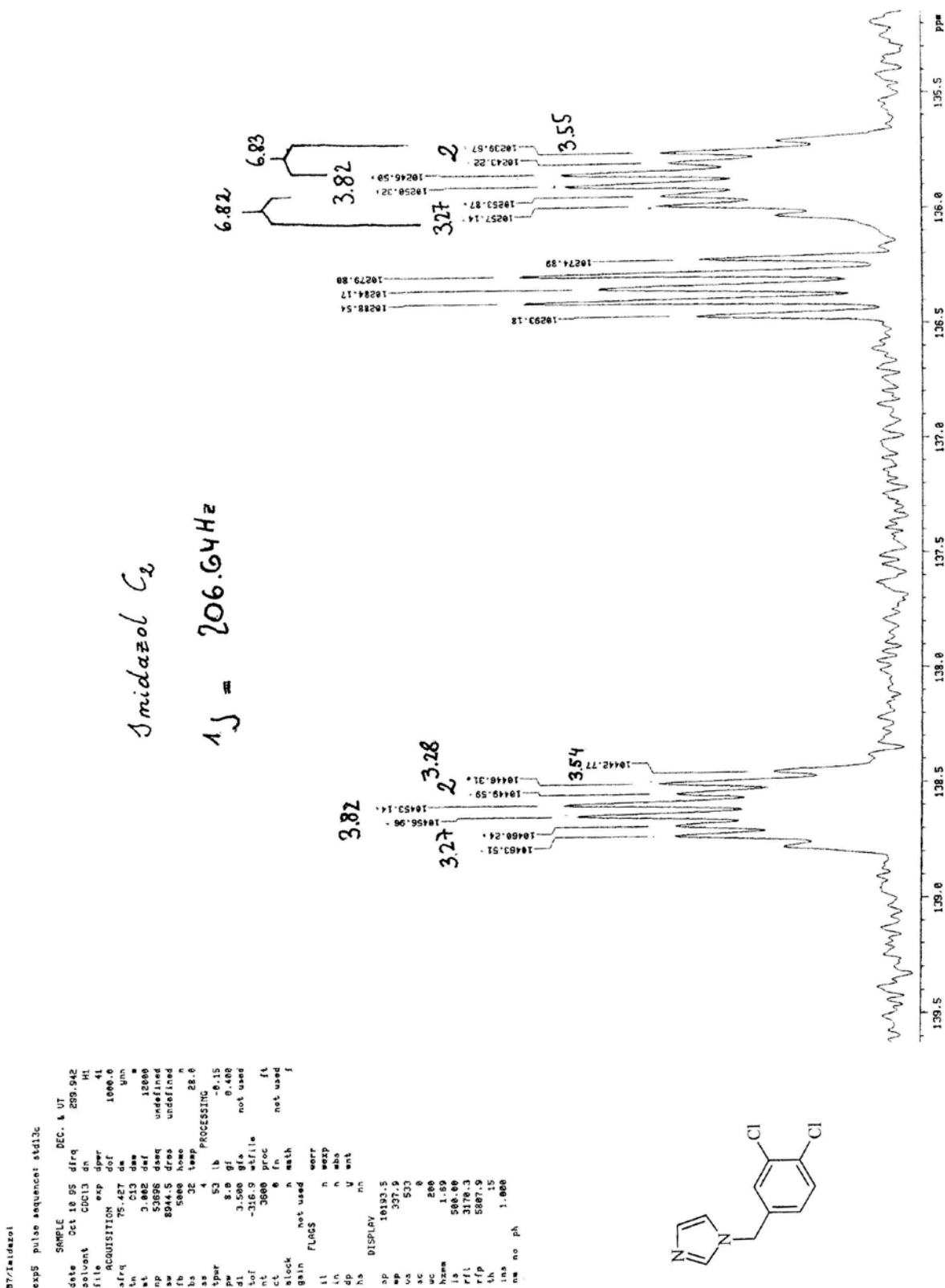
DISPLAY



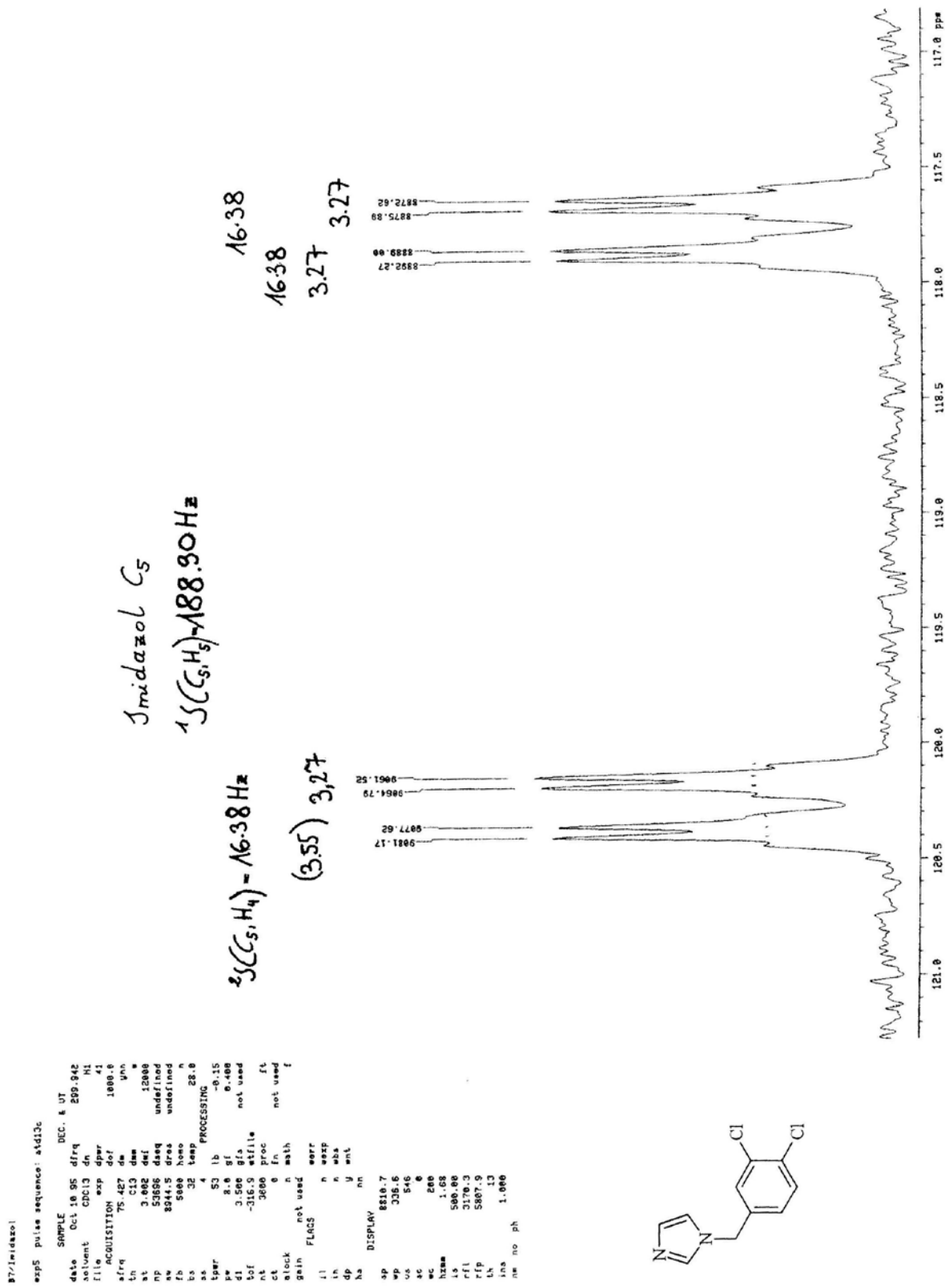
TAFEL 20



TAFEL 21



TAFEL 22

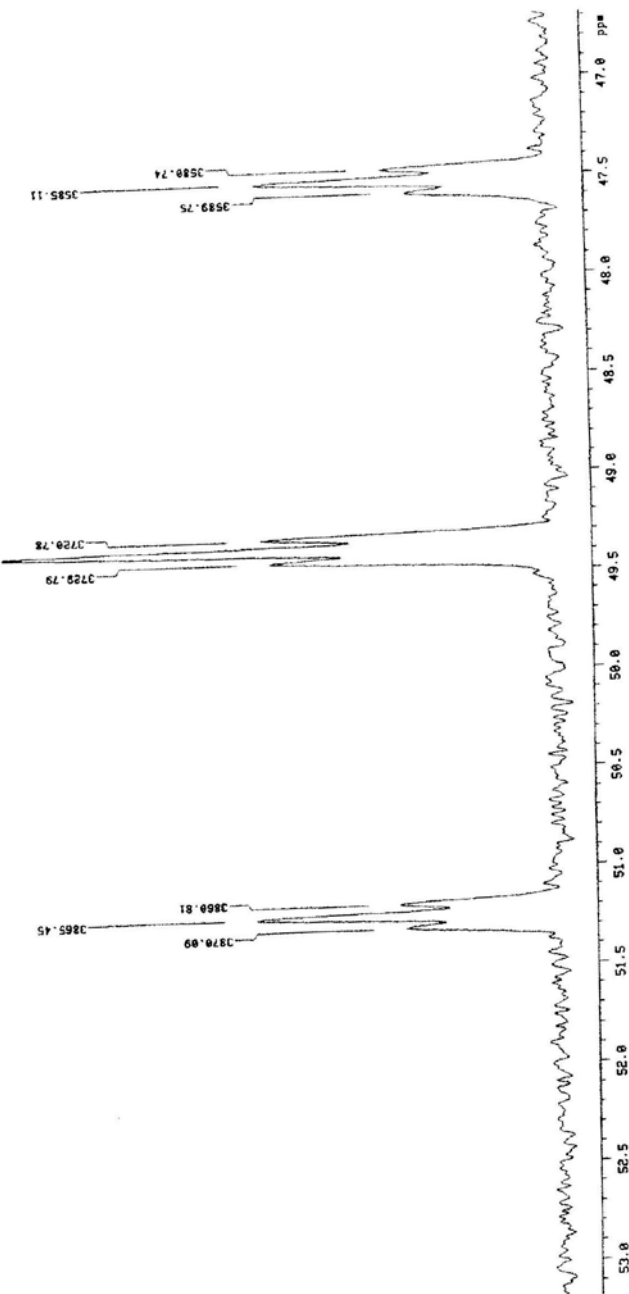
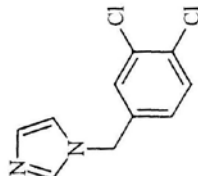


TAFEL 23

$$\delta_{\text{CH}_2} = 140.17 \text{ Hz}$$

B7/fluoradexol

```
expS pulse sequence: std12c
SAMPLE          DEC. & UT    299.9d
date            Oct 10 95   dfrq
solvent          CDCl3      dn
file             exp        H1
               RCU1111CH   dpr      41
               RCU1111CH   exp      1000.0
               RCU1111CH   dfr      1000.0
               RCU1111CH   dfr      1000.0
               RCU1111CH   gnm
strq           75.427     de
t1              C13       ssm
t2              3.002     daf
t3              50896     dafq
aw              8944.5    dsw
aw              undefined
aw              undefined
fb              5000     hom
fb              32       temp
ba              28.0
ss              4        PROCESSING
tpar           53       lb
ps              8.0      sf
d1              3.500     g1s
d1              3.500     g1s
not used
tcf             -216.9    wtf1e
nt              36000    proc
et              0        f1
et              0        not used
ct              0        not used
lock            n        not used
gain            not used
warr            n        warr
fl405           n        wexp
in              n        abs
in              n        abs
dp              n        w1k
h3              nn
h3              nn
h3              nn
DISPLAY
sp              3621.2
sp              490.0
sp              217
un              9
sc              205
sc              2.15
hzwave         500.00
r1f             3170.3
r1p             5807.0
th              13
lma             1.000
nra             no ph
```



TAFEL 24

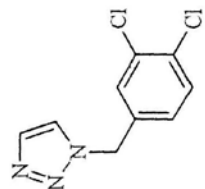
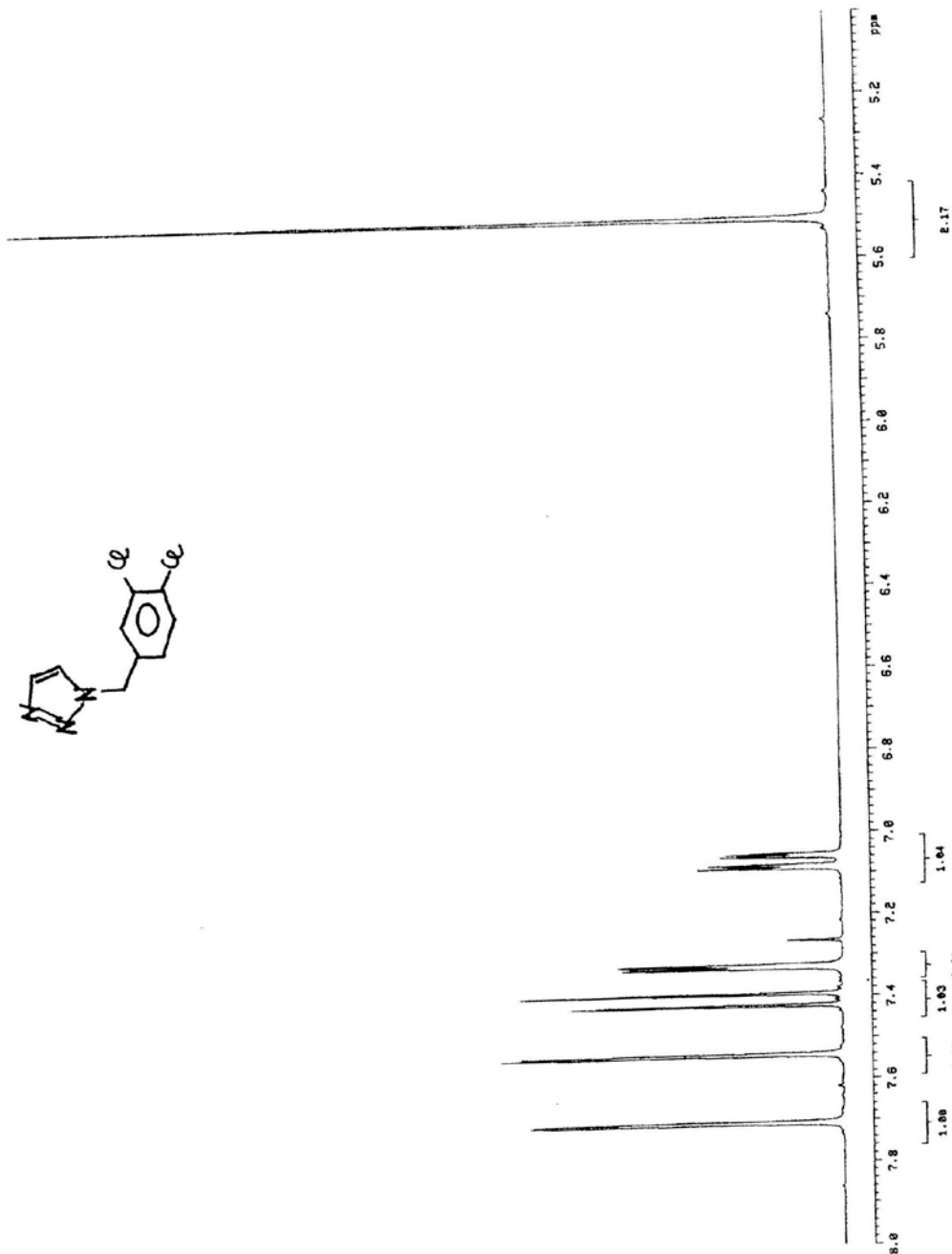
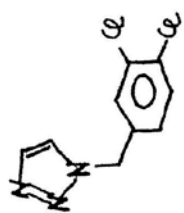
Battina,-Br⁻¹,2,3-trisubl 2/ 1-subst. P
rod.

exp1 pulse sequence: aldh

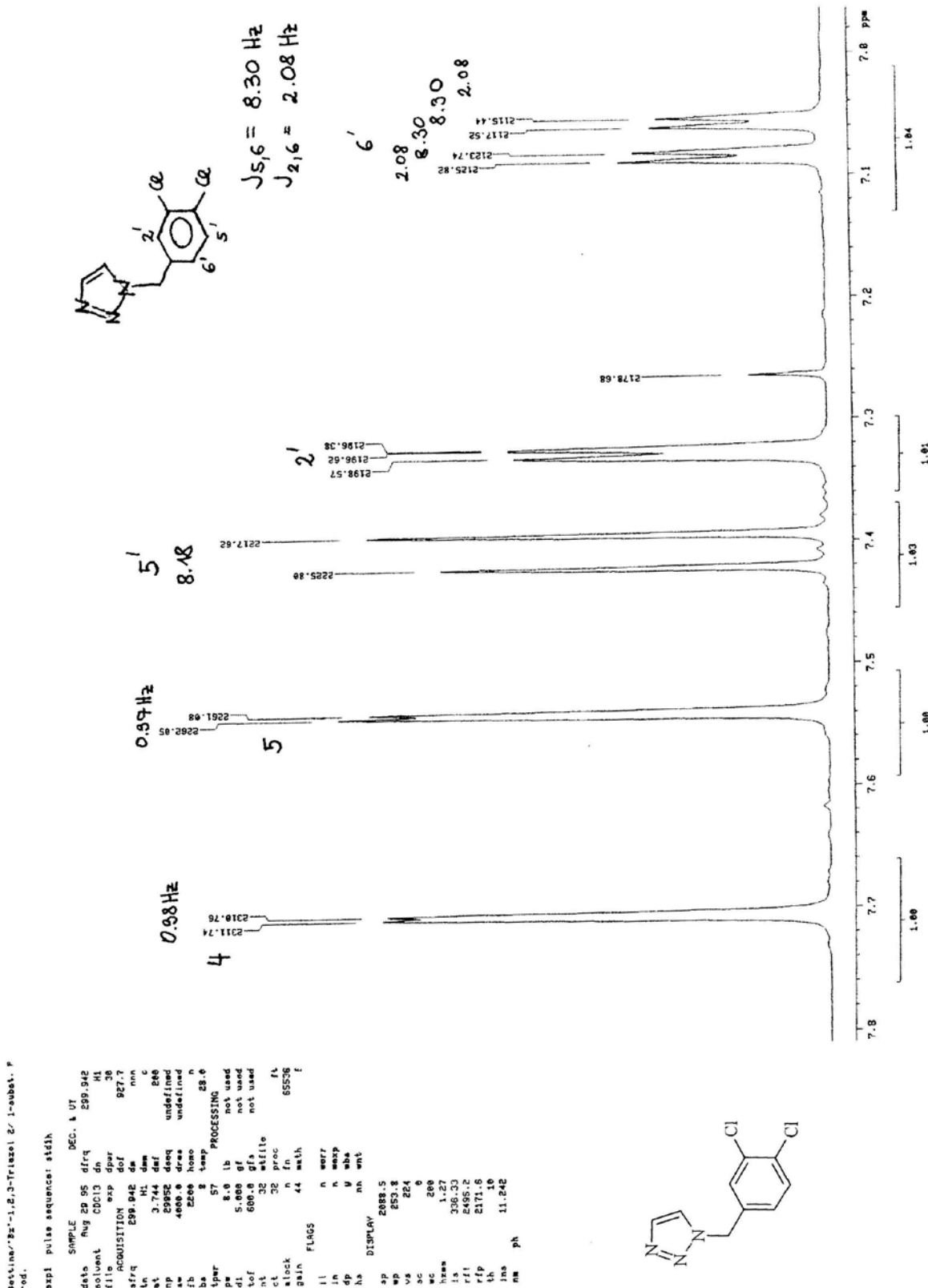
```

SAMPLE   DEC. & UT
date   Aug 29 95 dfrq    293.042
solvent  CDCl3 dn      H1
file      exp dprw    36
          def      nnn
          987.7
ACQUISITION def      299.942 dm
dfrq      299.942 dm
t1       H1 dam      c
st       3.744 dfr  269
nt      25952 dseq undefined
npp     4880.0 dres undefined
sw      2208 hzoo      n
f1      2208 hzoo      28.0
sb      8 taud      57
spgr      5.6 lb      not used
pw      5.000 g1      not used
d1      500.0 gfs      not used
sof      32 w1le      not used
nt      32 proc      tt
ct      32 proc      65536
clock      h fn      f
gain      44 asinh      f
FLQOS      n warr
l1      n mscp
in      n wbs
dp      n wnt
he      n wnt
DISPLAY
          1489.7
ap      888.3
sp      131
va      6
sc      286
ec      4.58
hawk      336.33
ls      2495.0
rf1      2171.6
r1p      10
lns      11.242
nm      ph

```



TAFEL 25



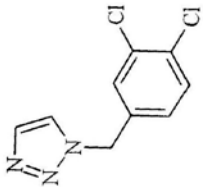
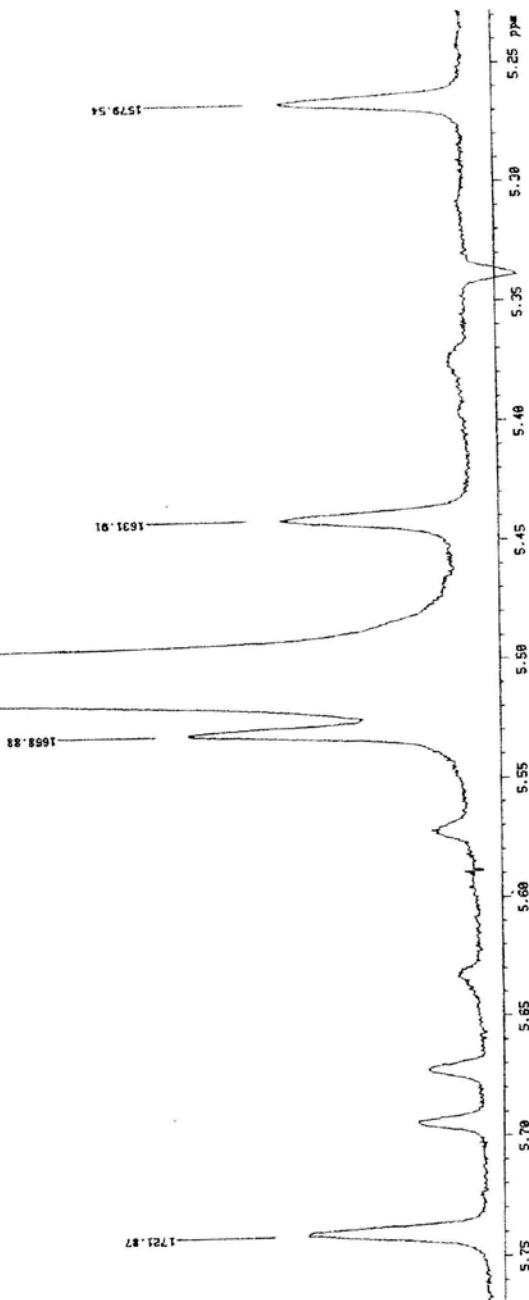
TAFEL 26

Betaine/Ba⁺-1,2,3-Triaxol 2/-1-subst. P
rod.

expt pulse sequence: stdth

SAMPLE	AUG 29 05	dtfq	DEC. 4 UT	280.042
solvent	CDC13	dh	H1	
file	exp	dprw	JW	
POSITION	def		927.7	
sfreq	259.042	def	nan	
th	1.1	dmw	c	
st	3.744	dav	200	
np	20952	dswq	undefined	
sw	4666.0	dssw	undefined	
tb	2280	hswc	n	
ba	8	temp	23.0	
tpr	57	PROCESSING		
ps	8.0	lb	not used	
d1	5.000	gf	not used	
k1	600.0	glw	not used	
n1	32	swf1s		
ct	32	proc	ff	
clock	n	fh	65536	
gain	4.4	width	1	
FLQCS				
l1	n	wvarr		
in	n	wexp		
dp	u	wha		
hs	nn	ent		
DISPLAY				
ap	1569.4			
sp	162.1			
us	5355			
sc	6			
sc	889			
hswm	6.41			
ls	306.33			
r1	2495.2			
rfp	2171.6			
th	11.19			
tsa	11.242			
nm	Ph			

$$^1J(\text{NCH}_2) = 142.33 \text{ Hz}$$

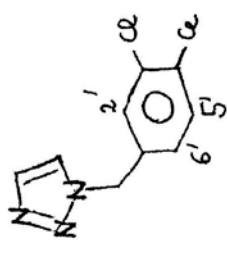


TAFEL 27

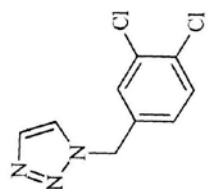
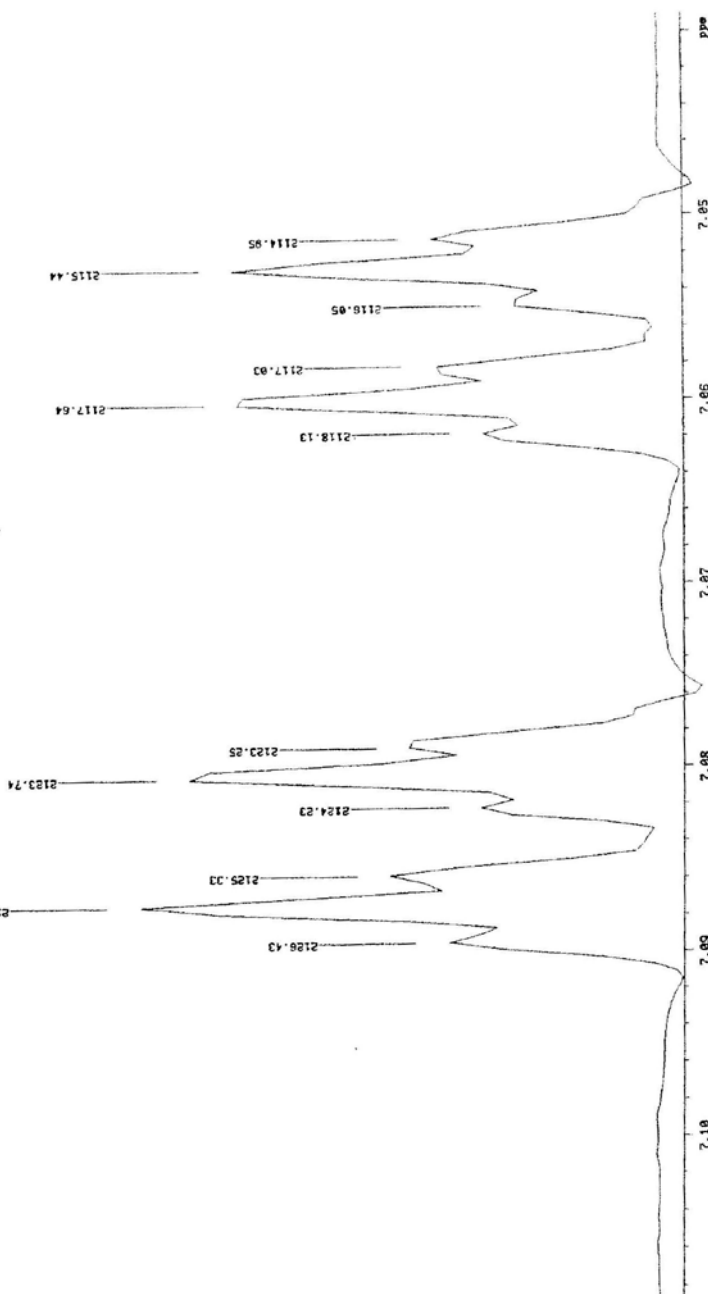
Betaine/³-Bz⁺-1,2,3-Triazol-2'-1-subst. P
rot.

expt pulse sequence: stdth

SAMPLE	Ang 29.95	DEC. % UT	295.942
solvent	CDCl ₃	dn	H1
file	exp	dpar	J0
ACQUISITION	exp	def	927.7
sfreq	299.942	de	nnn
tn	H1	dmw	C
nt	3.744	def	200
np	29952	dseq	undefined
sw	4000.0	dres	undefined
rb	2200	hawc	n
ba	8	temp	28.8
spgr	57	PROCESSING	
ps	8.0	lb	-0.85
dt	5.000	gf	1.123
tof	600.0	gfs	not used
nt	32	effile	
ct	32	proc	ft
block	n	fn	65536
gain	44	math	i
fmns			
l1	n	n	more
ln	n	n	more
dp	y	y	abs
hs	nn	nn	ant
DISPLAY			
sp	2111.0		
sp	20.0		
vs	355		
sc	0		
ec	200		
hsnm			
la	336.33		
rfl	205.2		
rfp	217.6		
th	13		
ina	11.242		
nm	ph		



⁴J(Ph H-6, NCH₂) = 0.55 Hz

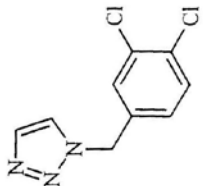
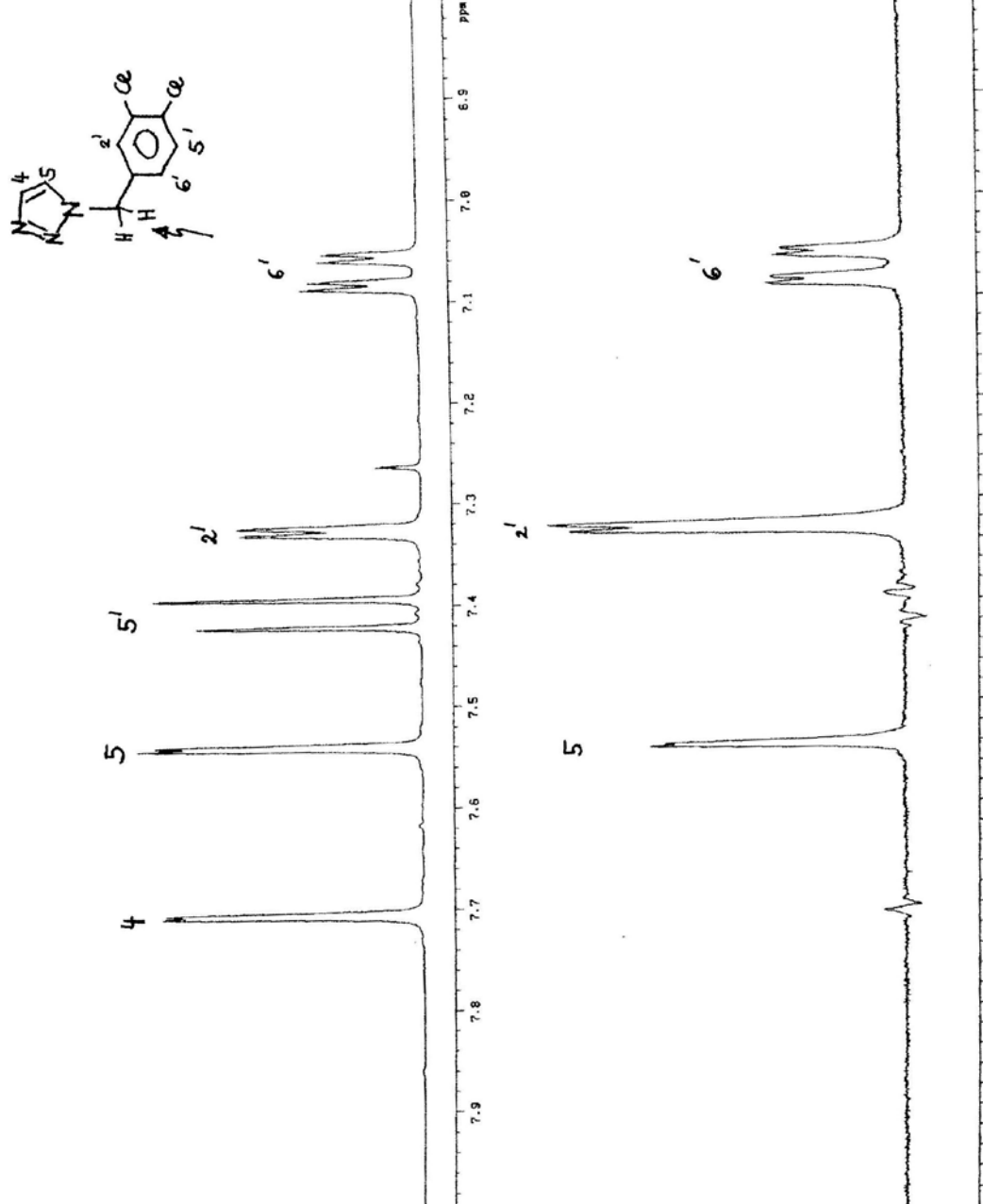
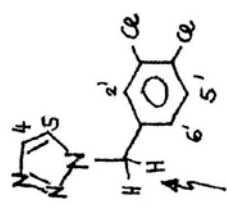


TAFEL 28

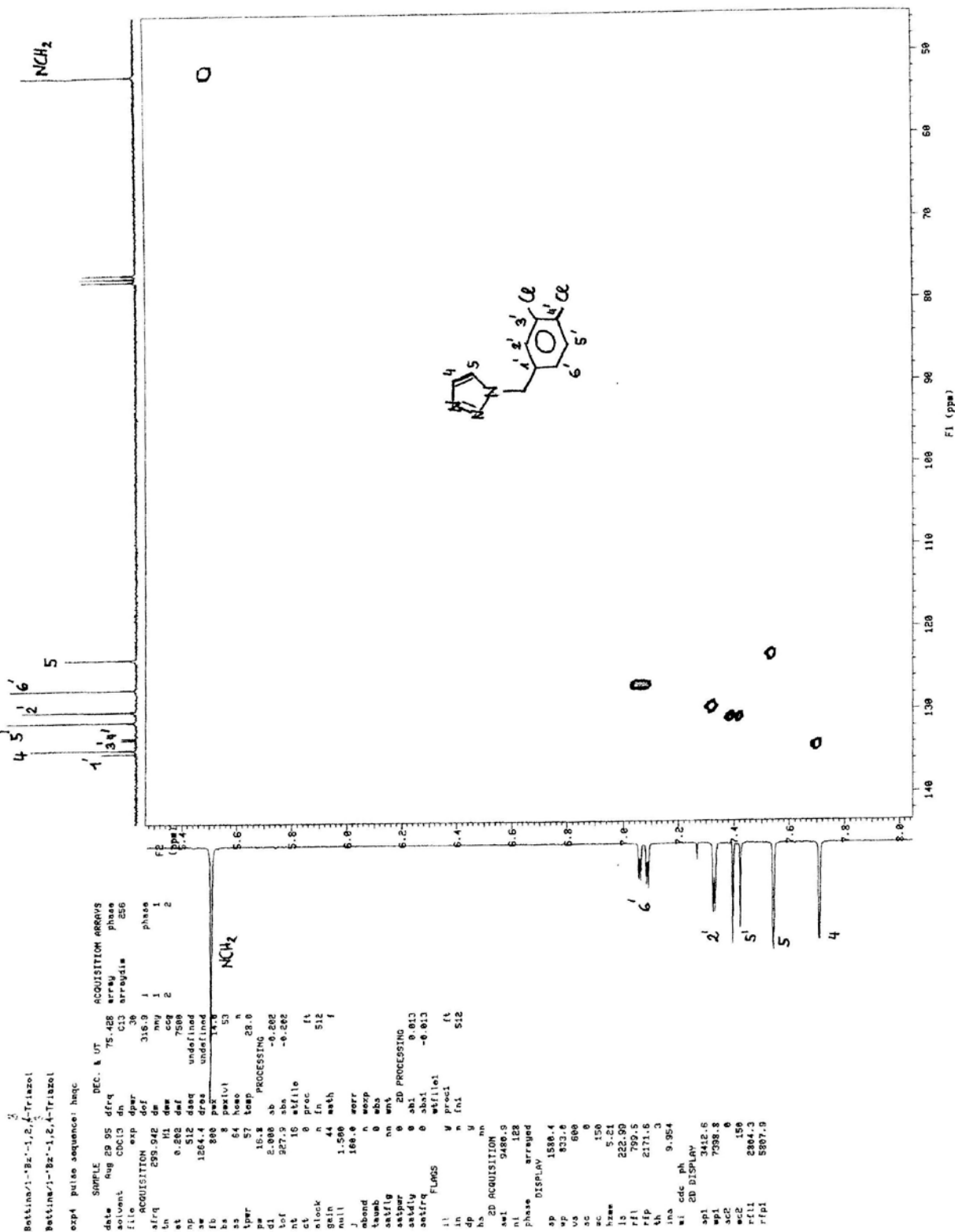
BettineⁿBz⁻1,2,3-Triazol 2/ 1-subst. P
red.

exp2 pulse sequence: nosphi

SAMPLE	date	Aug 29 95	dn	DEC.	1.4T	H1
	solvent	CDCl ₃	dif			527.7
	file		exp	da		
ACQUISITION			dmw			
	afrs	298.942	dif			c
	tn		dmw			
nt	3.744	H1	dprv	1		
	29852	temp				
np	4000.0	lb	PROCESSING	28.0		
aw						
nt						
fb	2200	fn				
bs	8	multch				
ss	16					
ps	16.4	swrr				
tpar	5.57	swrp				
d1	5.000	shdp				
d2	0.004	ent				
tof	600.0	DISPLAY				
nt	256	sp				
ct	0	wp				
block	0	us				
gain	44	ac				
table	multi	sc				
intub	0	ham				
tau	0.050	ta				
		308.33				
relax	0	r11				
center1	-1015.0	r1p				
ii	in	th				
dp	n	lma				
ha	y	ph				
	nn					



TAFEL 29



TAFEL 30

Bettina/Bru-1,2,3-Triisoc 2/-1-¹³C-NMR, P
rod.

exp3 pulse sequence: #133c

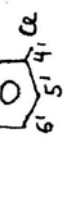
SAMPLE	PGM	DEC.	UT
solvent	CDCl ₃	d1	299.94C
file	exp	dpar	41
ACQUISITION	exp	dpar	1000.0
freq	75.427	dis	
tr	1.13	data	YUV
st	1.815	def	12000
np	59864	daq	undefined
sw	16581.7	pres	undefined
tb	81.0	hsep	n
bs	16	temp	28.0
ss	2	PROCESSING	
tppw	53.1b	lb	1.60
pw	8.0	width	
dt	1.000	proc	TL
tof	0	fn	not used
st	1024	math	f
ct	304	corr	
clock	n	sepp	
gain	not used	sepp	
FLQDS	seba	sepp	
l1	h	sent	
ln	h		
dp	y		
hs	nn		
DISPLAY			
sp	3771.3		
pp	6788.1		
vi	115		
sc	6		
sc	200		
hcsm	23.34		
ls	5868.06		
r11	6629.4		
rip	5897.9		
th	16		
ins	1.000		
ns	no ph		

CH₂

— 25.510

— 75.573
— 77.421
— 77.386

ppm



— 123.416 C1

— 127.042 C2

— 129.712 C3

— 130.981 C4

— 131.151 C5

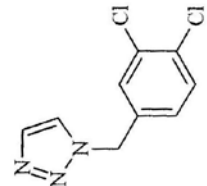
— 132.037 C6

— 133.151 C7

— 134.233 C8

— 135.833 C9

ppm



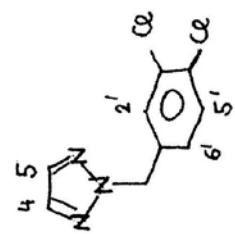
TAFEL 31

Bottina's "Bz"-1,2,3-Triazolo 1

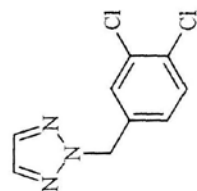
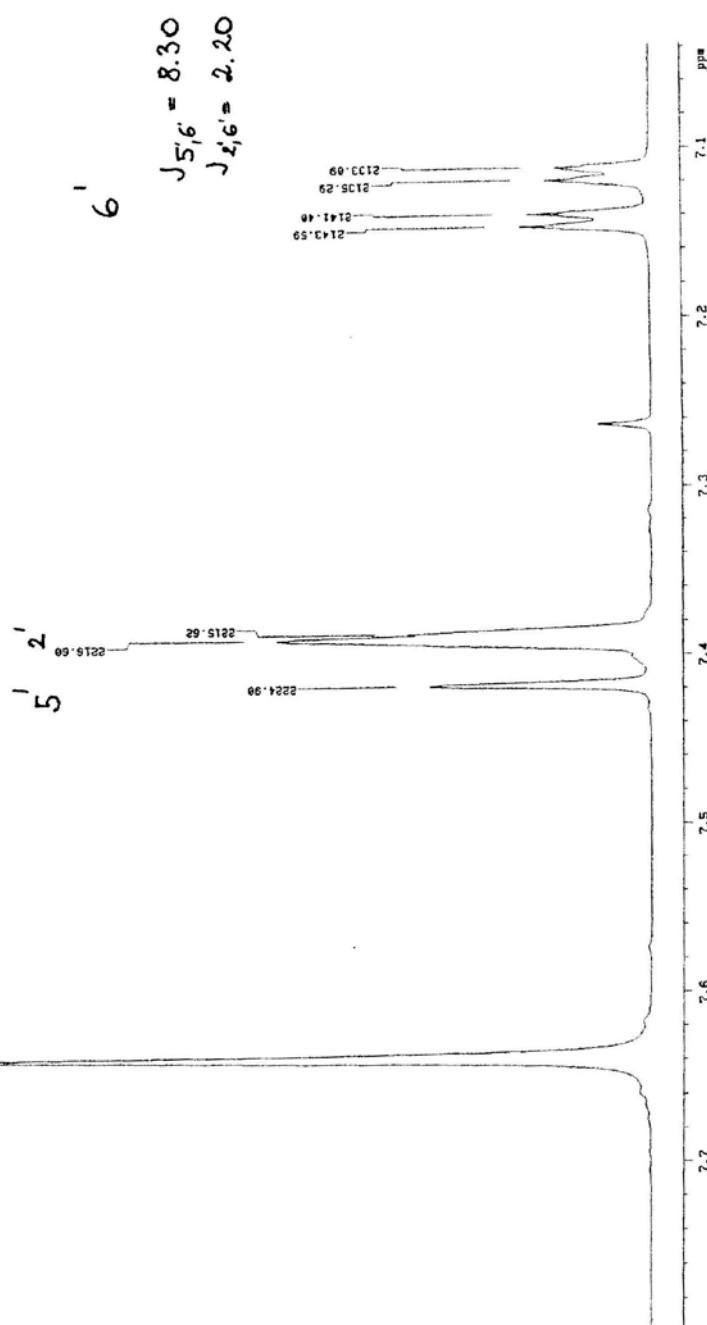
expt pulse sequence: std1h

	DEC. & VT
date	Aug 28 95
prog	290.942
solvent	CDCl ₃
file	dn
ACQUISITION	dpr
drq	dof
tn	290.942
et	3.744
rf	29952
sw	4000.0
sb	2200
hs	3
temp	57
spw	8.0
d1	5.488
tol	600.0
nt	32
ct	asth
block	9
gain	44
FLQGS	whs
i1	n
i2	n
dp	U
hs	nm
01SPGRAV	nm
sp	2111.1
wp	227.6
us	119
sc	6
ec	200
hsw	1.14
ls	395.87
rfl	2495.2
rfp	2171.6
th	9
lns	10.924
nm	ph

4,5



90.1622



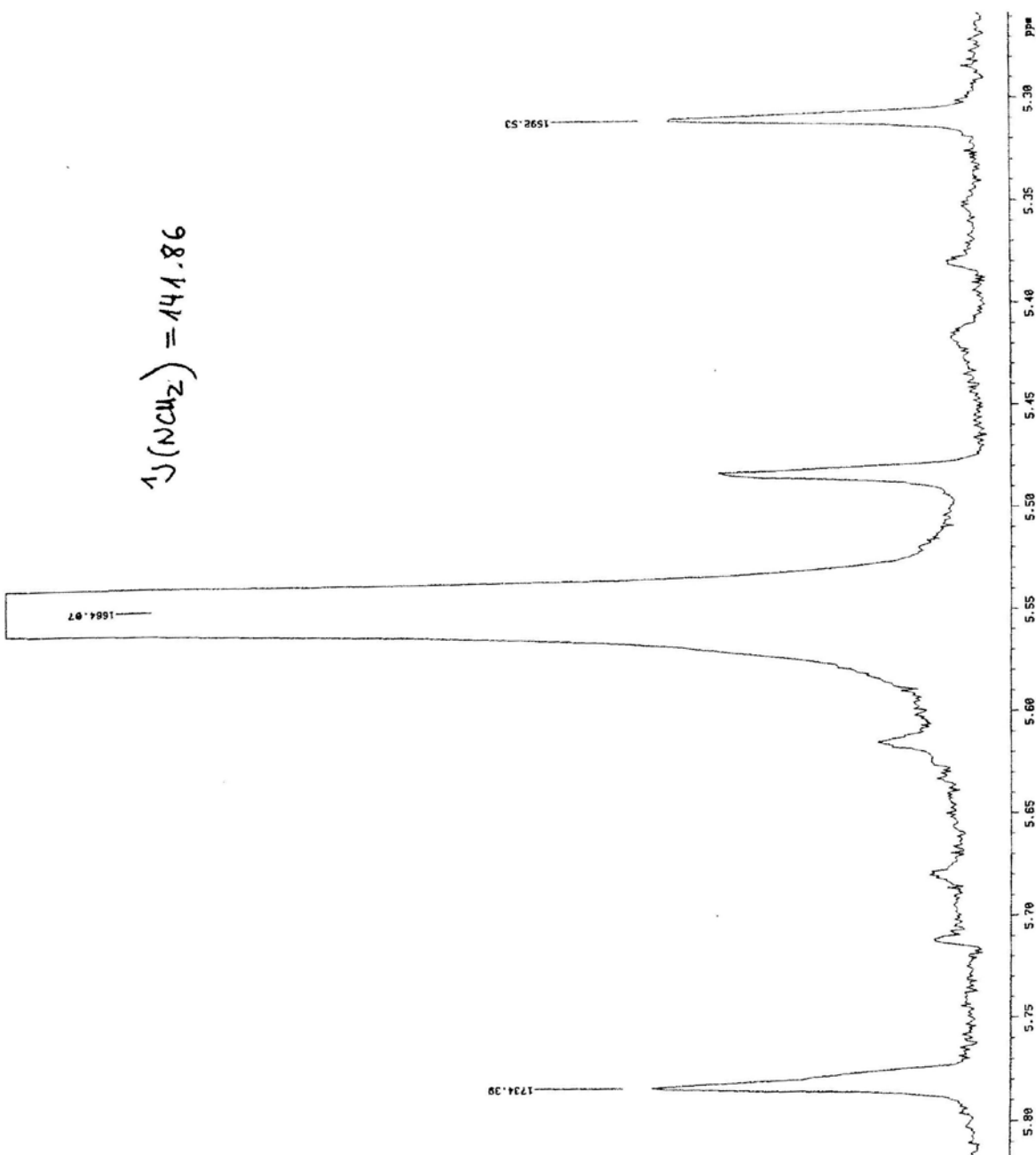
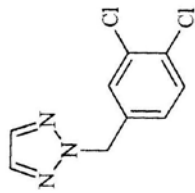
TAFEL 32

Setting/-¹³C-1,2,3-Triazol 1

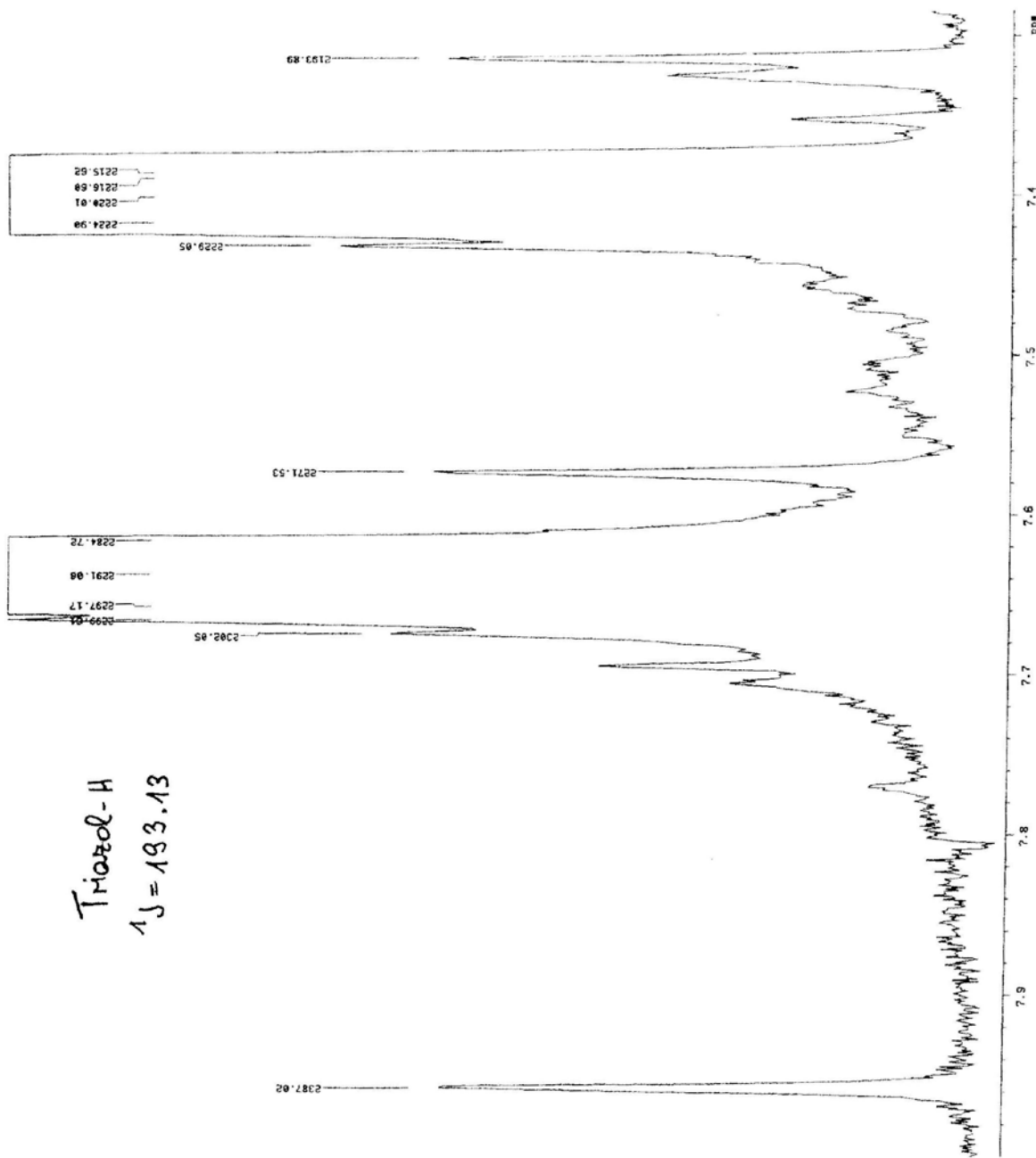
```

expt pulse sequence, stddh
SAMPLE DEC. 4 VT
date Aug 28 95 dfrq 259.942
solvent CDCl3 dn H1
file exp dpar 36
ACQUISITION exp dof 927.7
dfrq 259.942 da mn
tn H1 das c
st 3.744 daf 200
np 29952 dswq undefined
es 4000.0 dres undefined
fb 2280 hom n
ha 3 tms 28.0
tsp 57 PROCESSING
par 8.0 afile
d1 5.000 proc ft
tof 600.0 fm not used
nt 32 swth f
ct 0
clock n warr
gain 44 wexp
f1 FIDAS eba
l1 n wrk
in n
dp n
h1 nn
DISPLAY 15727.2
sp 165.6
c1 16337
ac 0
uc 286
hsw 6.84
ls 305.27
r1 295.2
rfp 2171.6
th 49
in 18.914
nm ph

```



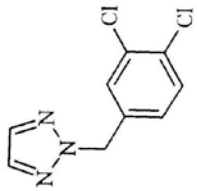
TAFEL 33



```

Bettine/Bruker1.2-37r:axel1
expt pulse sequence: sliddh
      SAMPLE          DEC. & UT
date    Aug 28 95   dfrq   289.942
solvent   CDCl3   dn      11
file      epr   dpr   36
ACQUISITION   daf   927.7
afrq   289.942   da   nnn
t1      91.941   da   c
t2      3.744   da   200
t3      23992   daq   undefined
np      4986.8   dres   undefined
sw      2208   homo   n
fb      8
bs      57
tpar   28.0
ps      3.0   while
di      5.000   proc   f1
tof     686.6   fn   not used
nt      32   math   f
ct      8
clock
gain   44   wexp
FLAGS
li      ab3
in      n   ent
dp      n
hs      m
DISPLAY
sp      2184.9
wp      214.4
v1      20784
sc      8
w1      200
harm
1.07
1.25
305.27
2495.2
2171.6
2171.6
10.914
na      ph

```

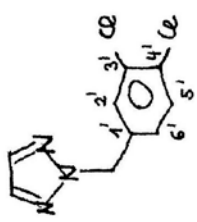


TAFEL 34

Betaine-¹³Br-¹,2,3-Triazolo[1,

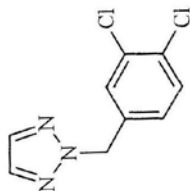
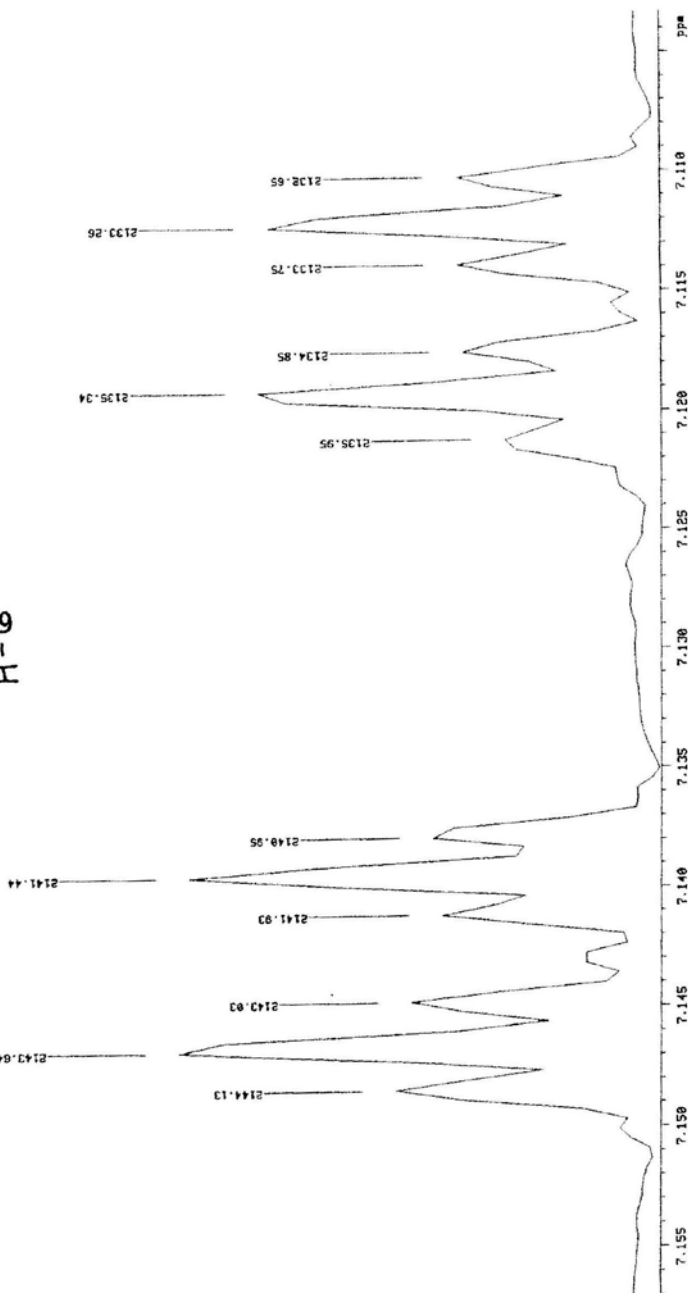
```

exp1 pulse sequence: st01h
      DEC. & UT
      Aug 28 95 dfrq 259.942
      solvent CDCl3 dn H1
      file      exp dpar
      ACQUISITION dof
      259.942 da nnn
      tn      H1 dae c
      st      3.744 dae 20b
      np      25952 daeq undefined
      sw      4666.0 drax undefined
      tb      2280 homo n
      ba      8 tsep n
      tpar      57
      ps      8.0 lb PROCESSING 28.0
      d1      5.000 g1 -0.95
      t0f      500.0 g1s 1.123
      nt      32 wtfle not used
      ct      8 proc ft
      alock      n fn 65536
      gain      44 math f
      Flags
      l1      n err
      ln      n wexp
      dp      n wbs
      hs      nn unt
      Display
      sp      2130.6
      ap      16.1
      us      337
      sc      6
      nc      20b
      hswm      6.48
      ls      395.87
      rfl      2495.2
      rfp      2171.6
      th      17
      ina      16.914
      nw      ph
  
```

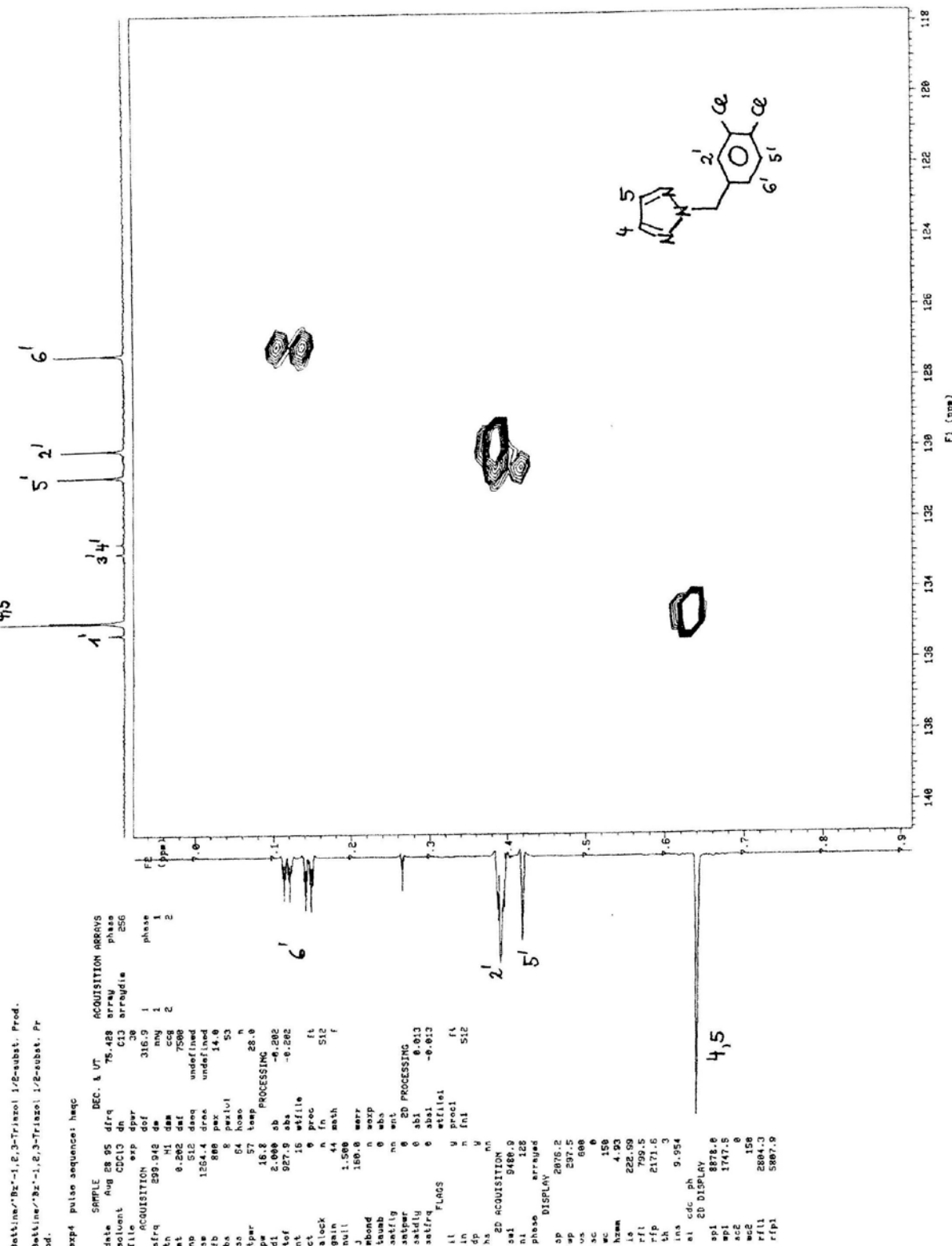


$$\delta_J(H-C', NCH_2) = 0.55 \text{ Hz}$$

H-C'



TAFEL 35

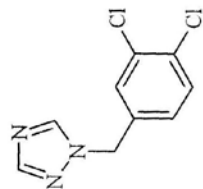
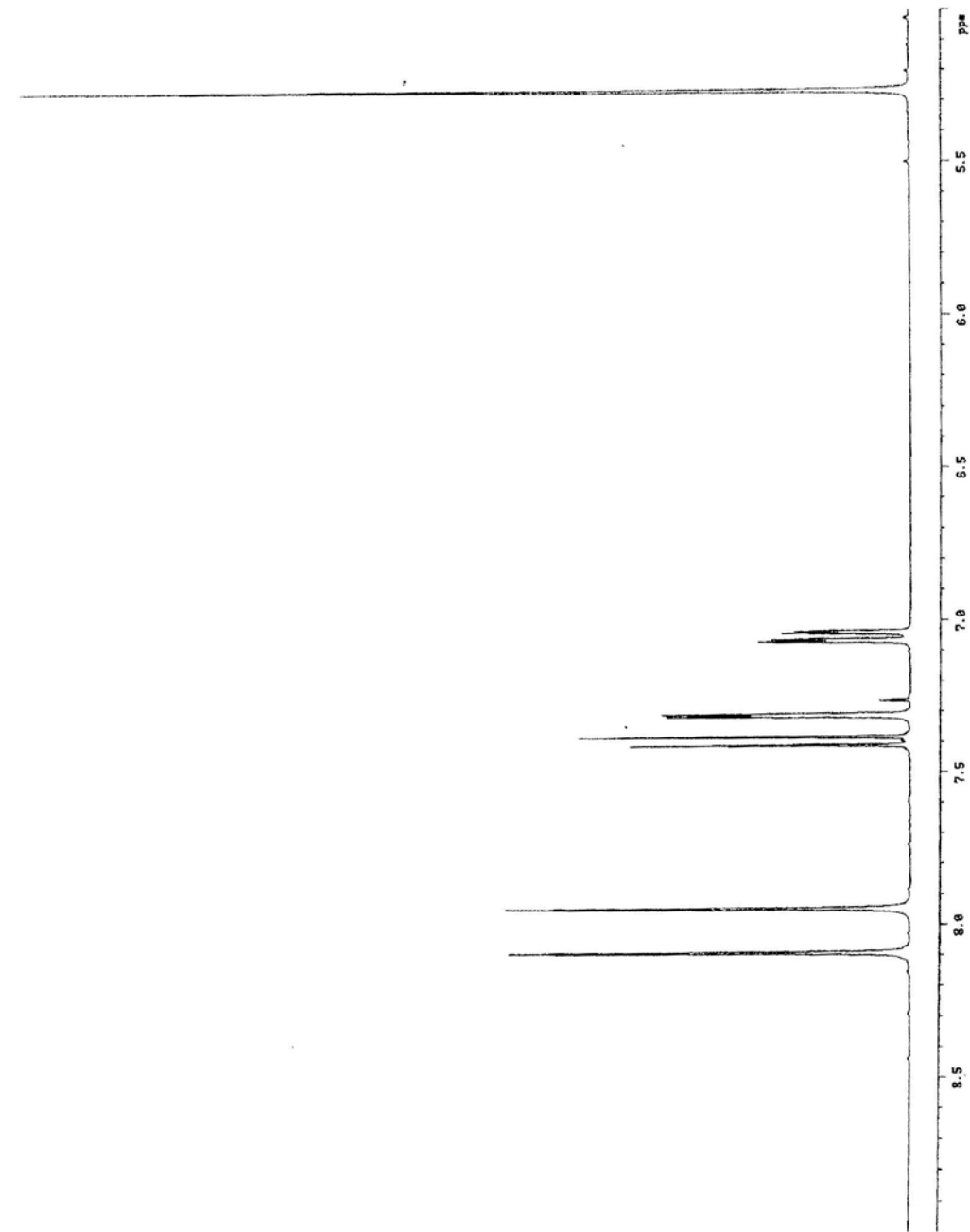


TAFEL 36

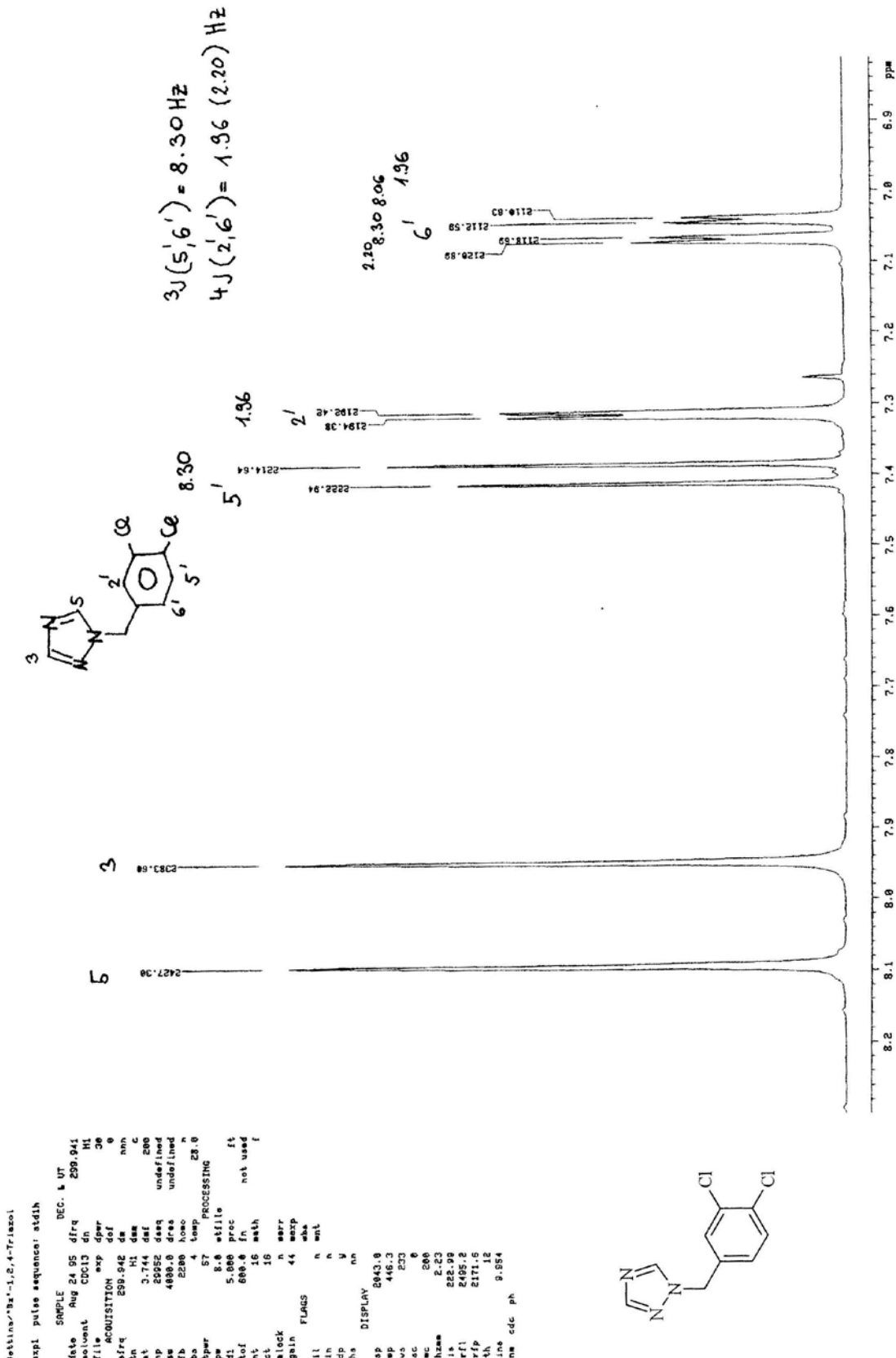
Bellona/Bu₂-1,2,4-Triaxol

exp1 pulse sequence: width

SAMPLE	Aug 24 95	dirq	DEC.	UT
solvent	CHCl ₃	dn	293.941	H1
file	exp	dpar		30
ACQUISITION	299.942	de		6
efrq		nnn		
th	H1	de		c
st	3.744	def		266
np	29952	datasq		undefined
es	4666.0	dras		undefined
fb	2288	hom		n
ba	4	temp		28.0
tper	57	PROCESSING		
pr	8.0	stfile		
di	5.888	proc		
tof	666.6	fn		ft
nt	16	math		not used
ct	16			f
clock				
gain	n	scorr		
gain	44	savp		
flucs		esa		
it	n	ent		
in	n			
dp	y			
ha	nn			
DISPLAY				
sp	1499.5			
wp	1199.5			
ca	144			
sc	6			
nc	266			
hwm	6.66			
ls	322.99			
rfl	2495.2			
rfp	2171.6			
th	12			
ins	9.054			
nc ddt ph				



TAFEL 37

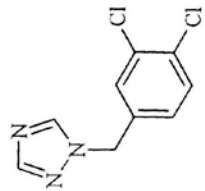
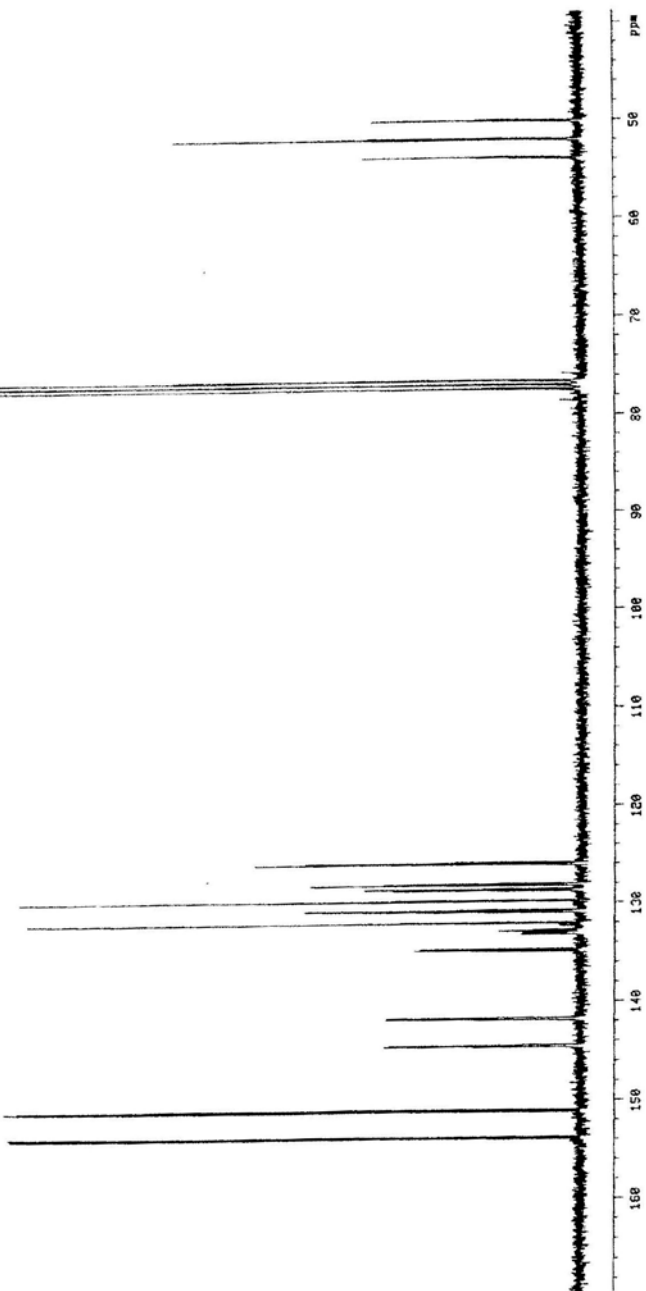
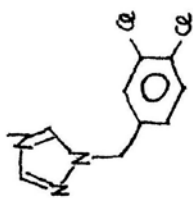


TAFEL 38

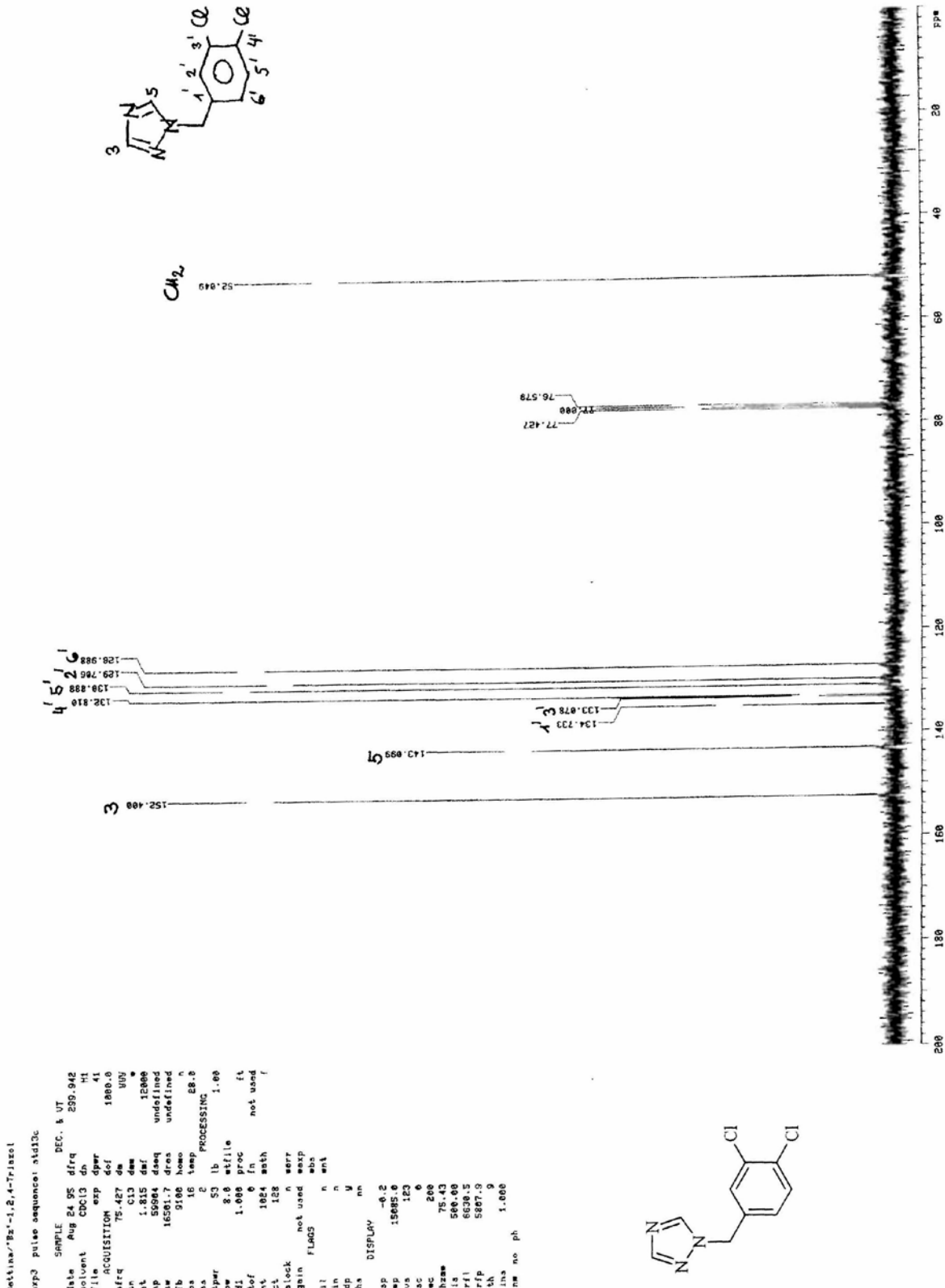
Battina, "9z'-1,2,4-Triazol

exp5 pulse sequence: std13c

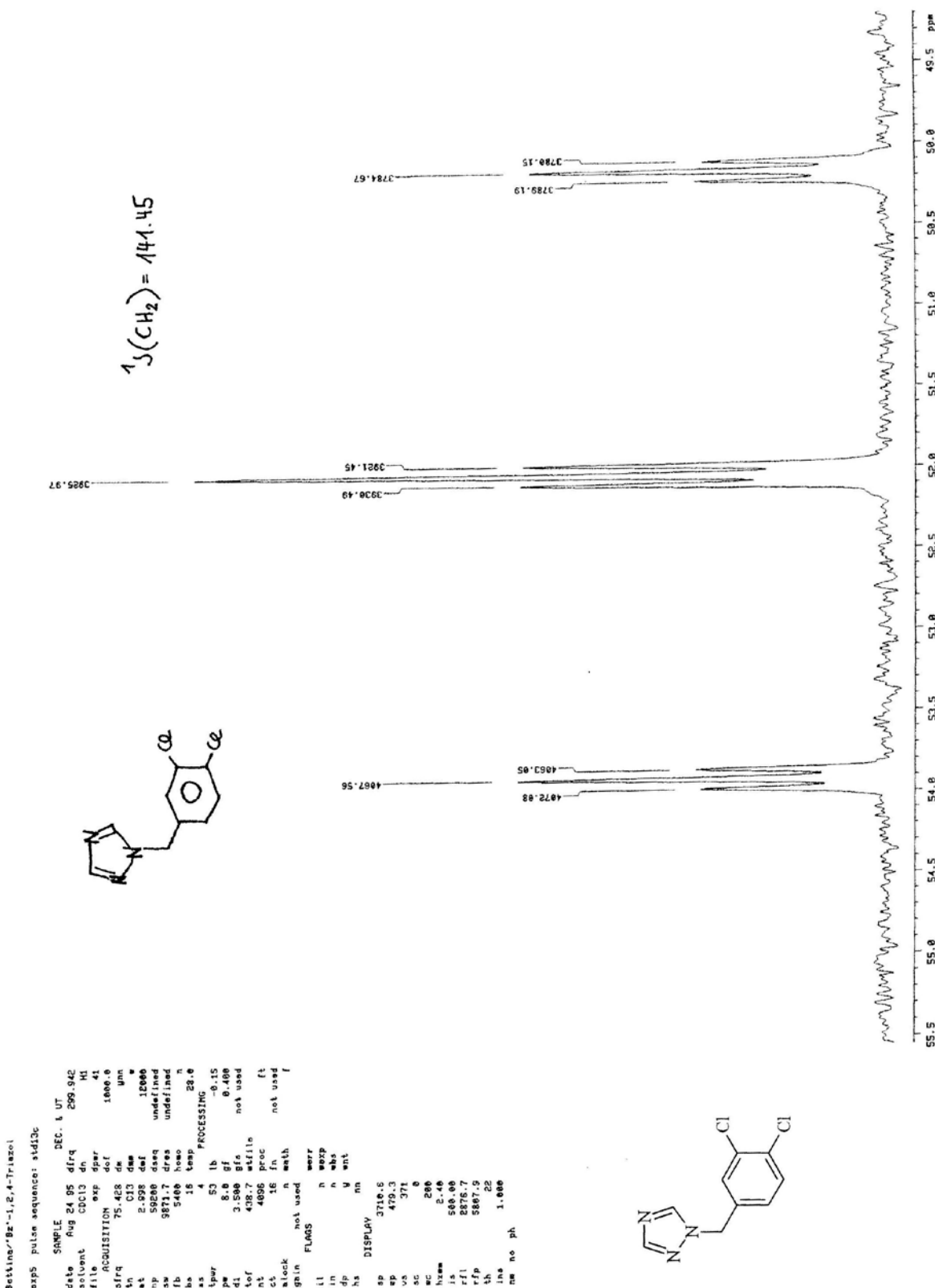
	SAMPLE	DEC.	DEC. %	UT
date	Aug 24 95	dfrq	259.942	H1
solvent	CDCl ₃	dh		
file		exp		dper
ACQUISITION		dof		41
stir	75,425	dof	1866.6	unr
tn	C13	diam		
et	Z,SB8	daf	12600	
np	50000	davq	undefined	
sw	3071.7	dras	undefined	
tb	5460	hevo	n	
bs	16	temp	28.6	
ss		PROCESSING		
spw	53	lb	-0.35	
pw	8.0	gf	0.400	
d1	3.500	gfa	not used	
tof	438.7	wfle		
nt	4096	prec	ft	
ct	16	fn	not used	
block	h	math		
grin	not used	over		f
FLACS		swsp		
ii	n	nabs		
in	n	abs		
dp	y	ent		
hs	nn			
DISPLAY				
sp	2591.2			
	9871.7			
vs	173			
sc	0			
ec	200			
hzw	45.36			
ls	500.00			
rfl	2876.7			
rfp	5807.9			
th	9			
trs	1.000			
nm	no ph			



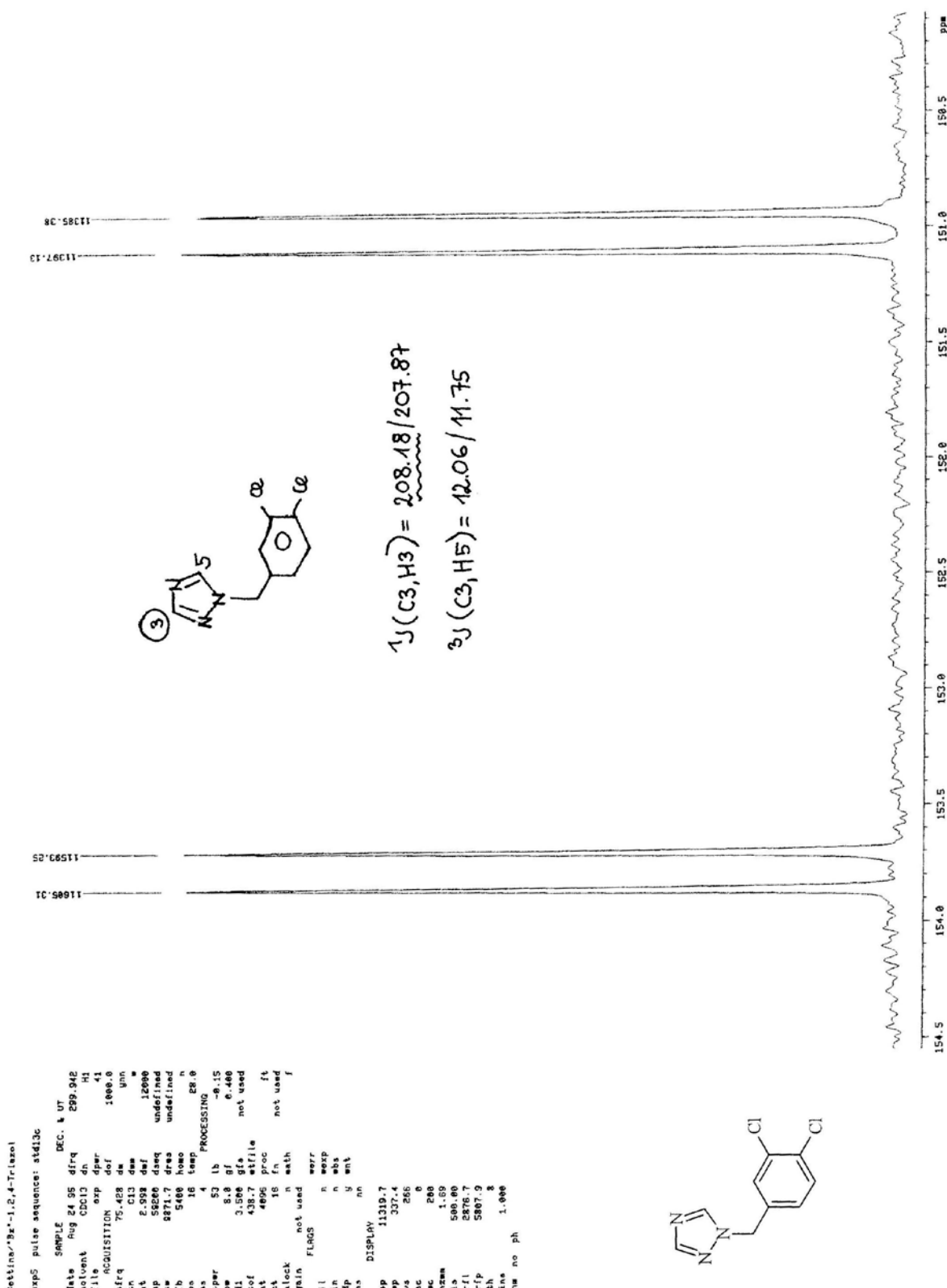
TAFEL 39



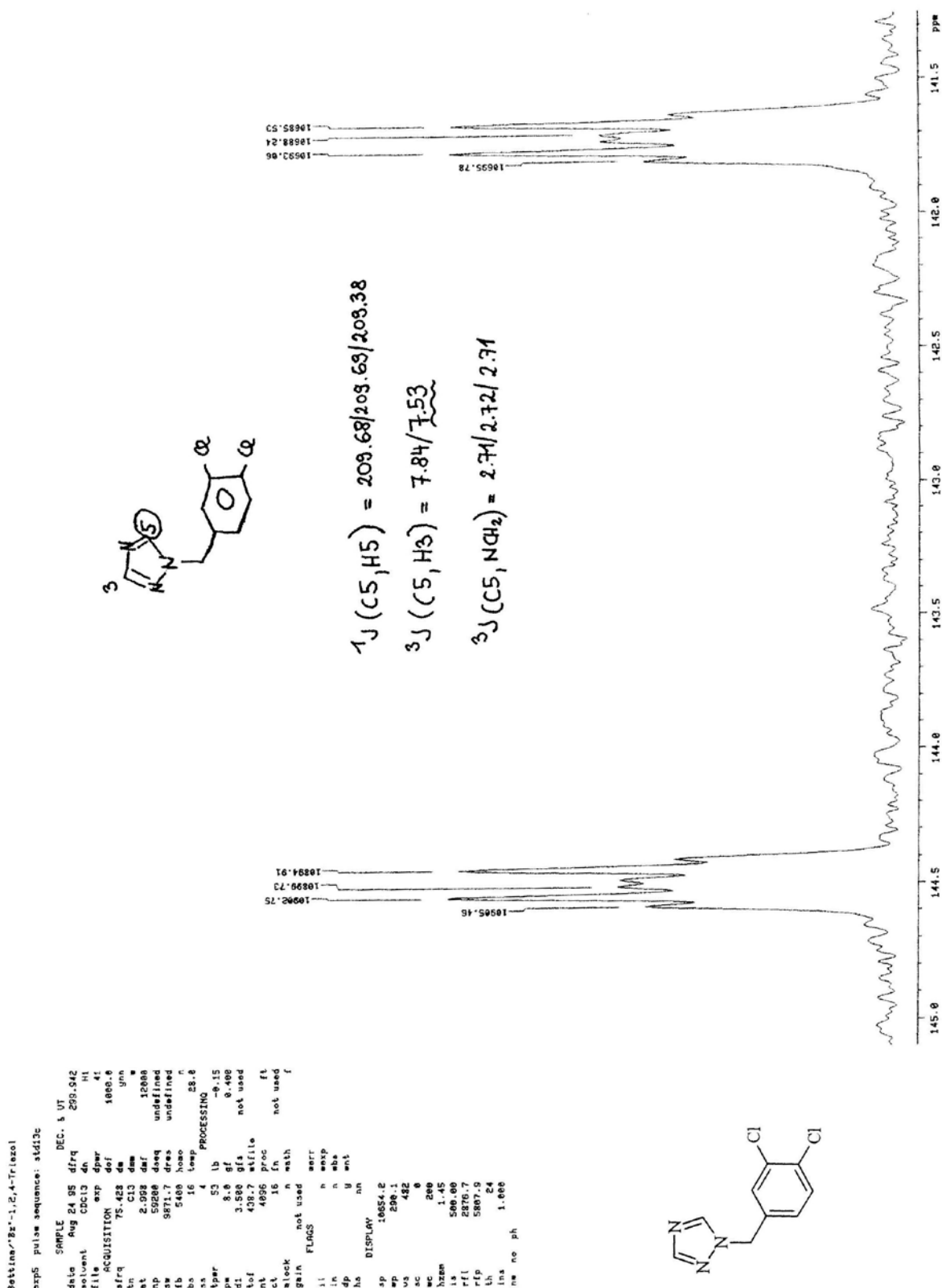
TAFEL 40



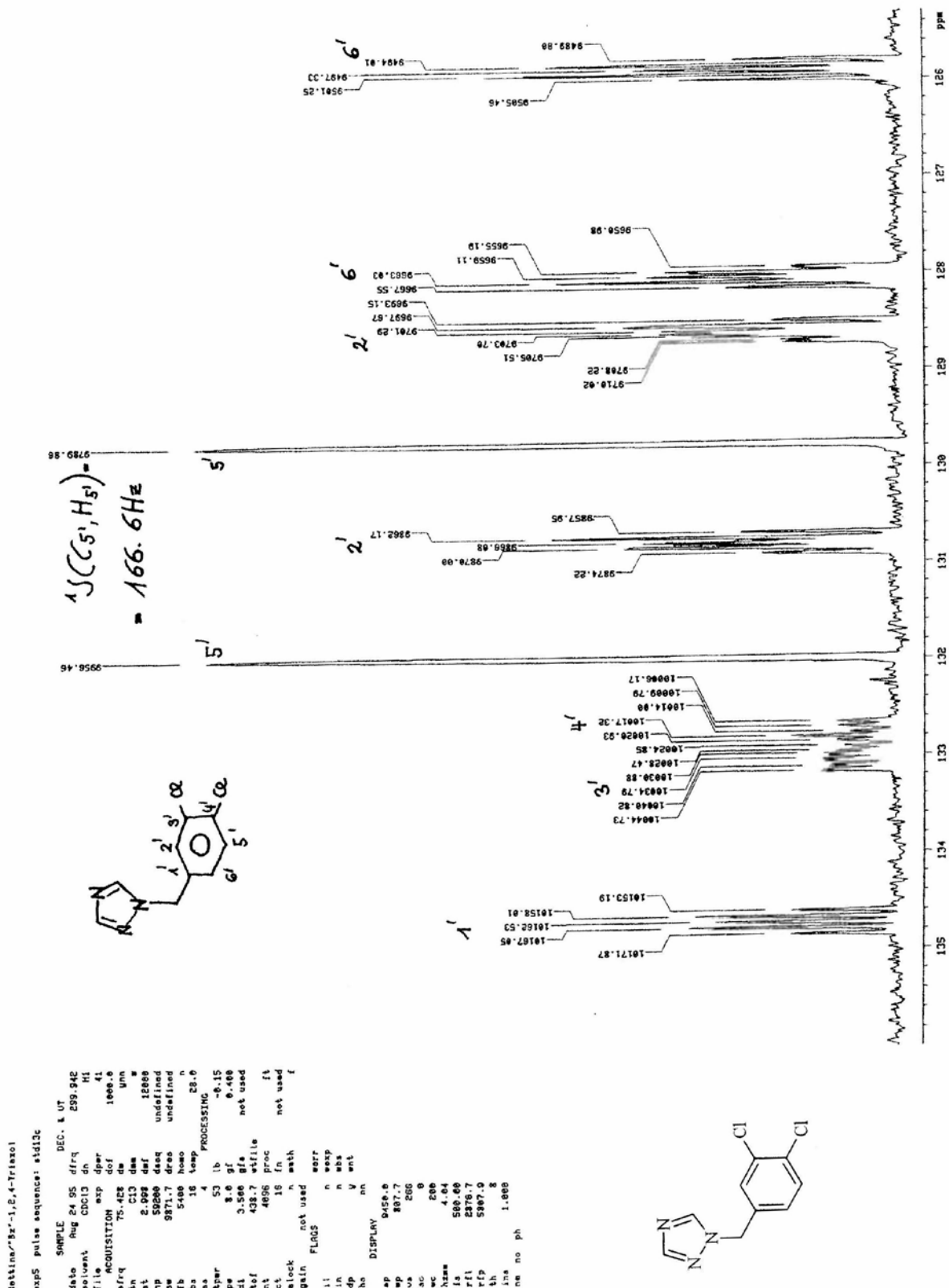
TAFEL 41



TAFEL 42



TAFEL 43

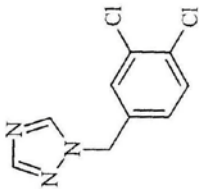
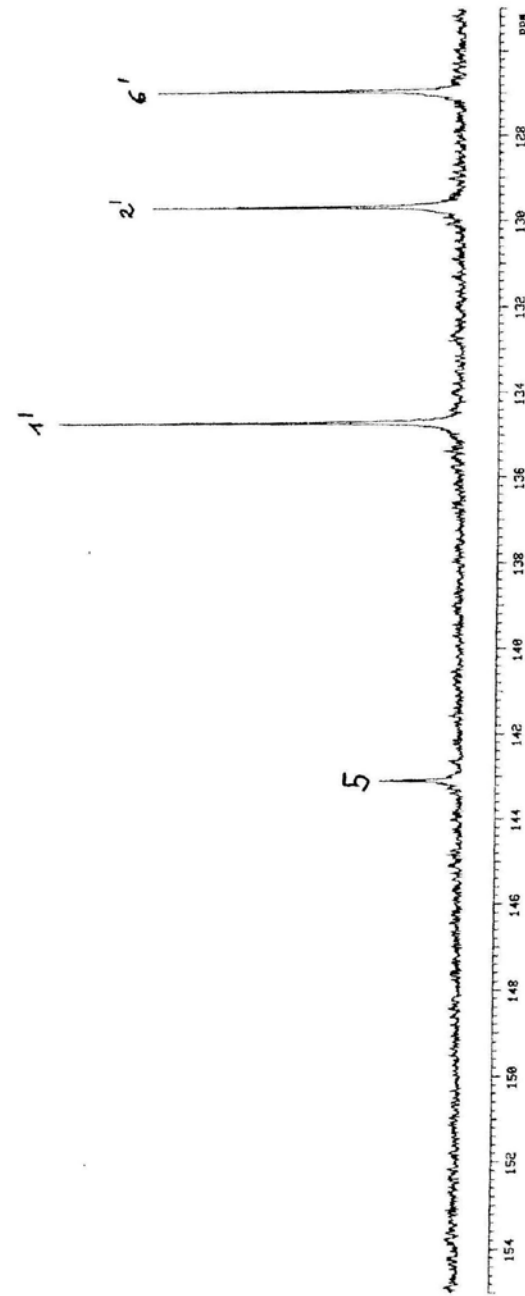
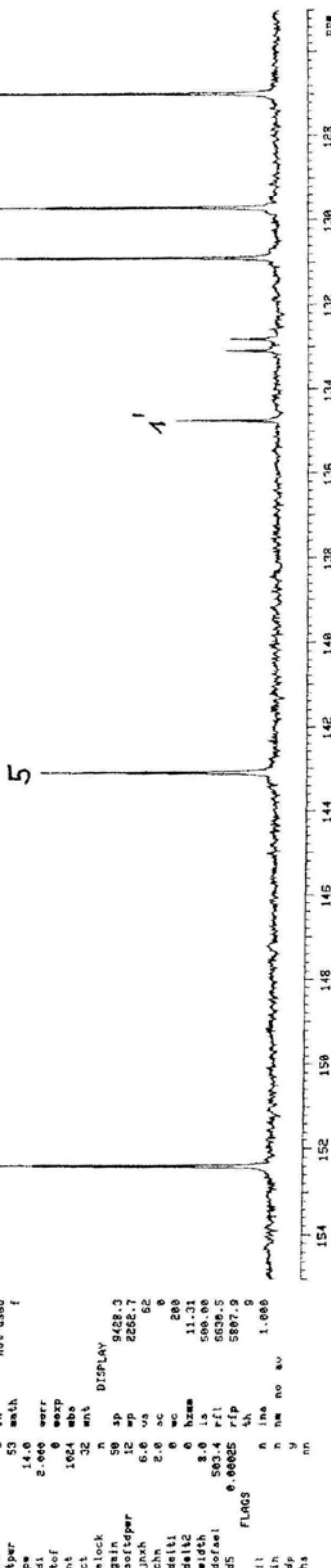


TAFEL 44

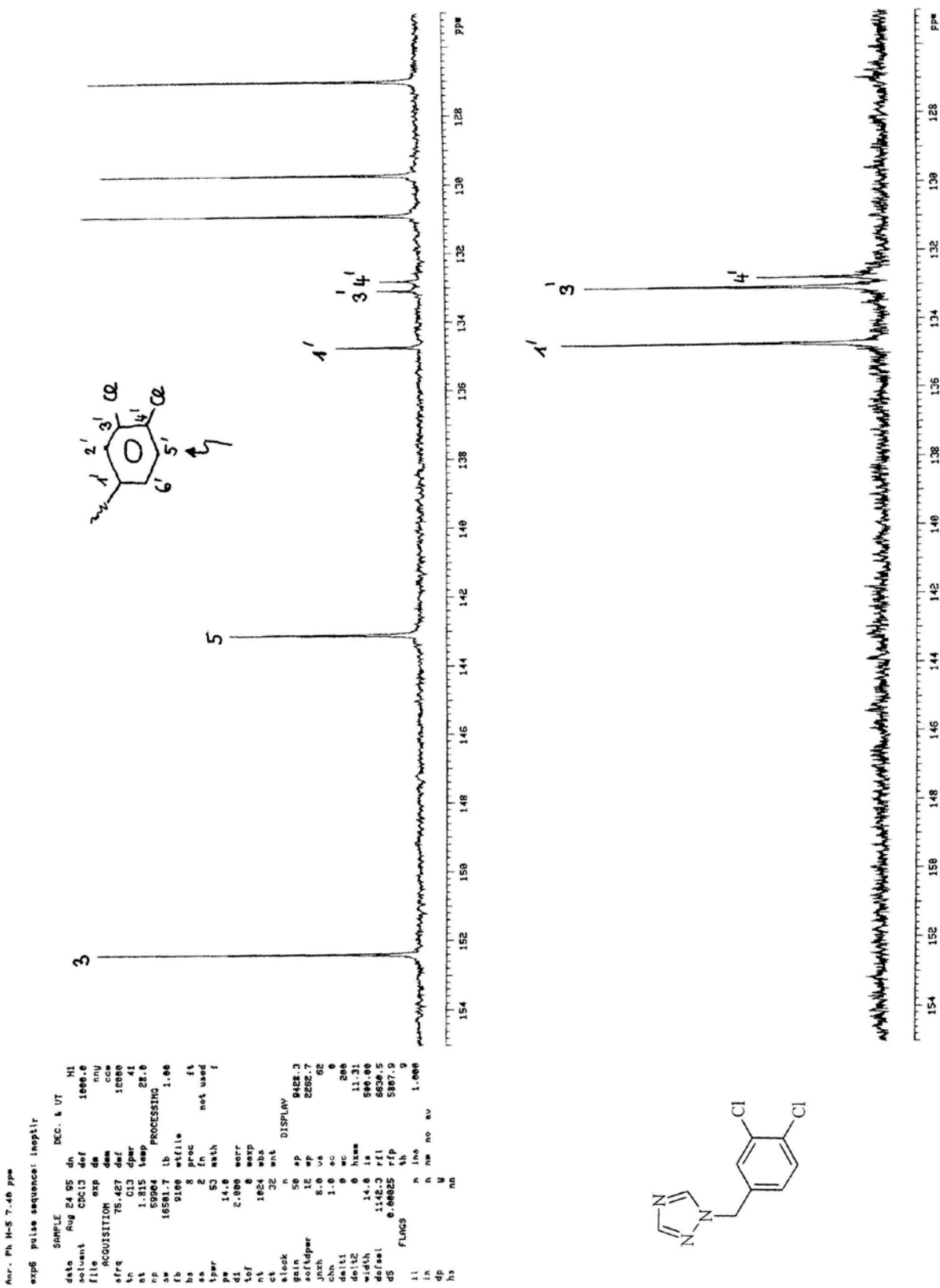
Anr. CHCl₃

exp6 Pulse sequence: linep1/r

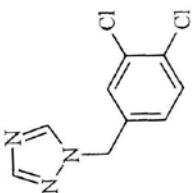
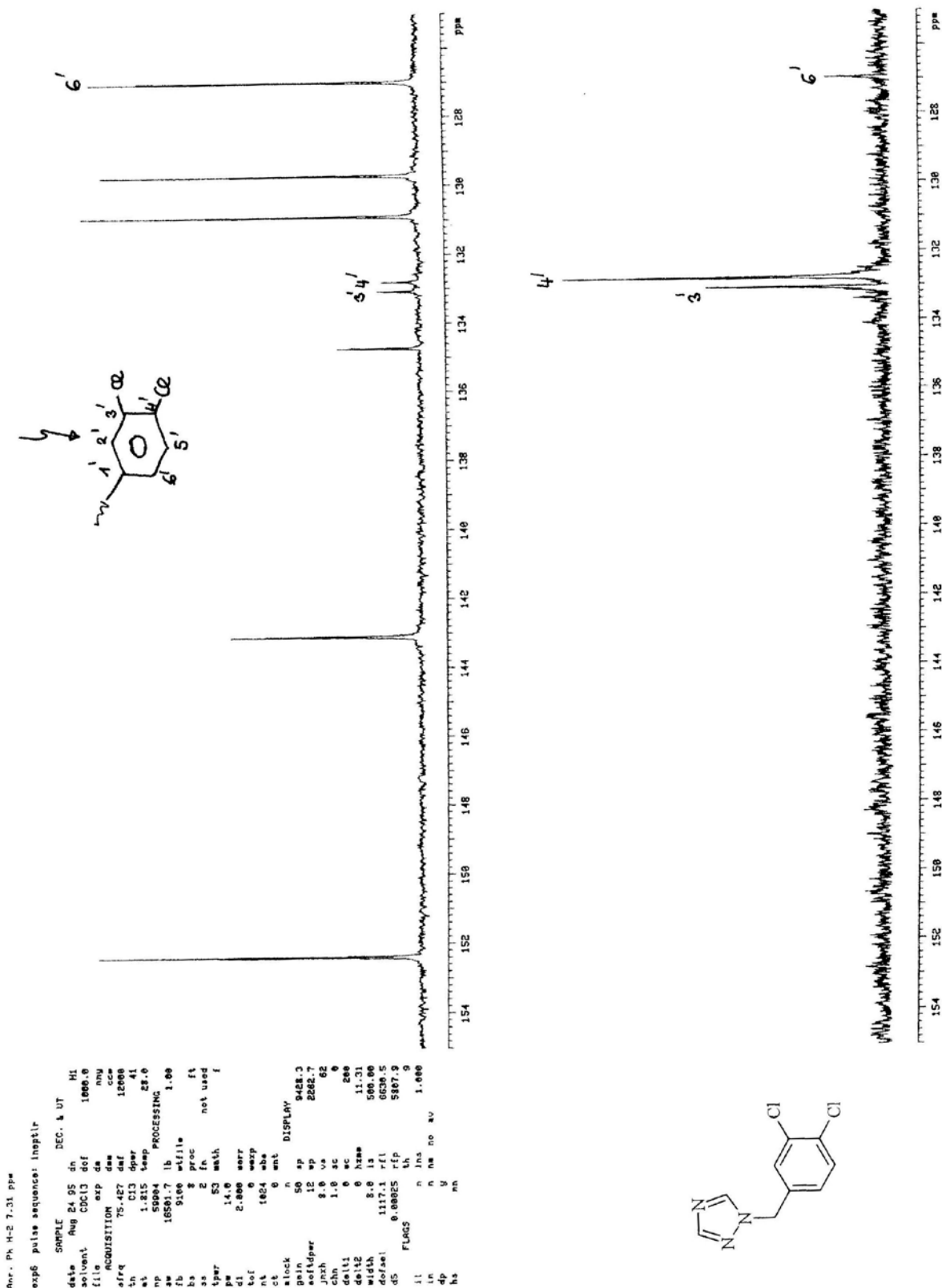
SAMPLE	DEC. & UT
date Aug 24 95	dh
solvent CDCl ₃	dif
file exp	1898.6
ACQUISITION	dh
time 75.487	dif
trq	12800
th	41
C13 dper	41
st	1.815
temp 59984	28.0
sw 16581.7	lb
fb 1.00	processINC
bs	9100
psc	1.00
2	pref
trw	not used
nm	1.0
d1	1.0
tf	2.000
nt	1024
sw	100.0
ct	32
stcok	1
gain	50 sp
softdper	9428.3
jnhxh	12 mp
chh	2.0 us
del1	0 ac
del12	0 wc
width	3.0 ls
dofsel	503.4 rfl
d5	0.00025 rfp
fl00s	th
l1	1.00 no av
lh	1.00 no av
dp	1.00000
tt	nn



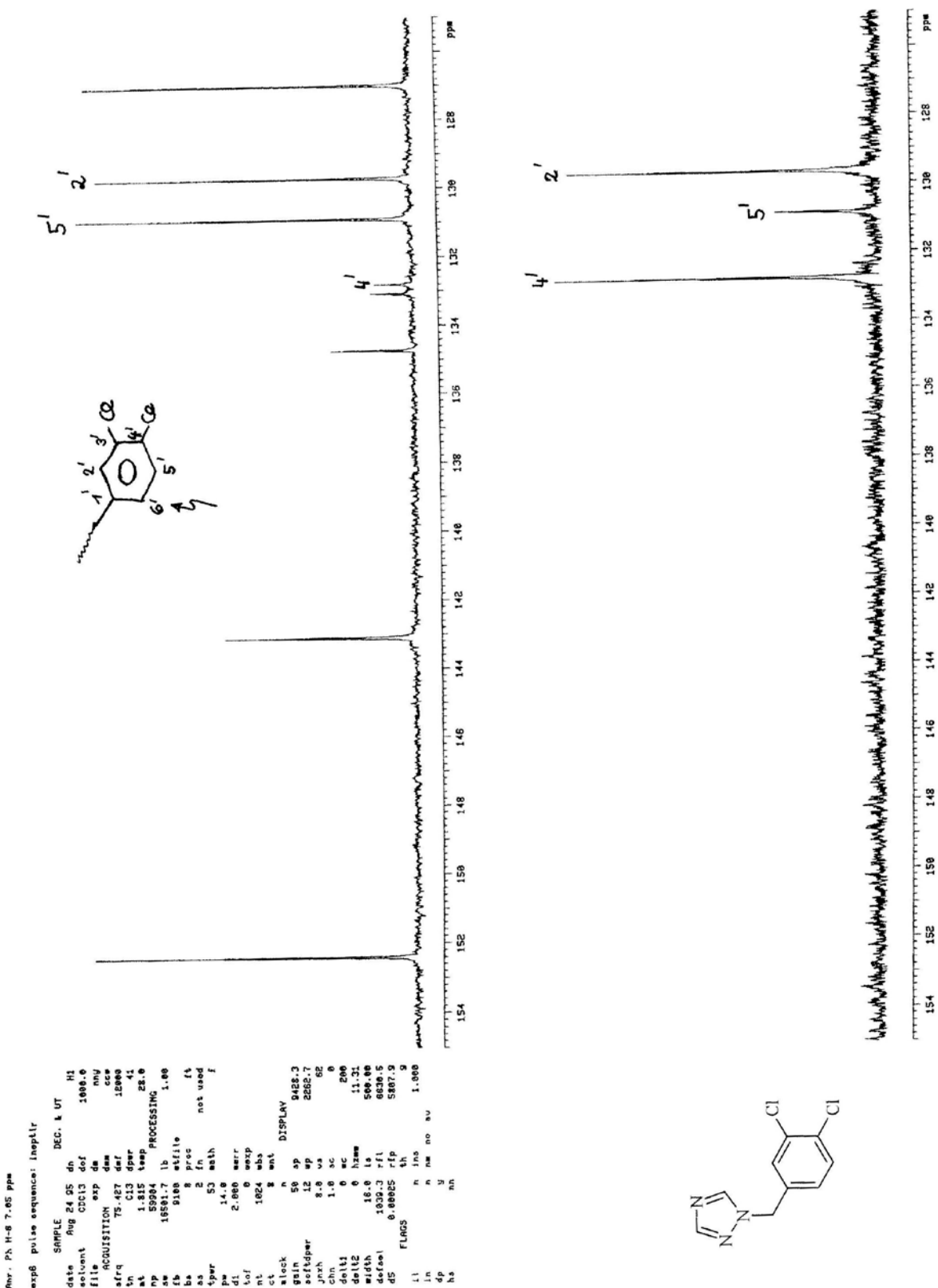
TAFEL 45



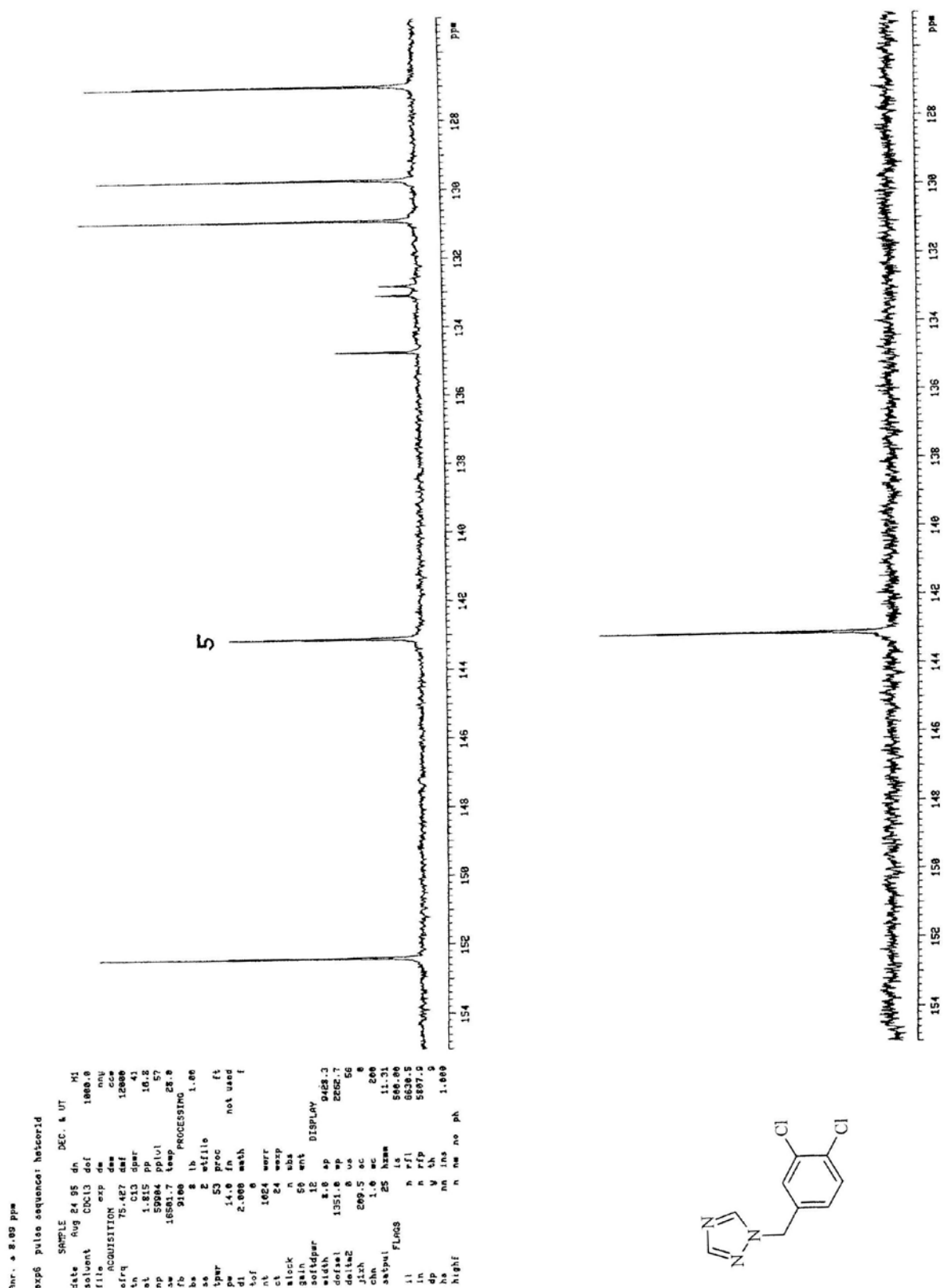
TAFEL 46



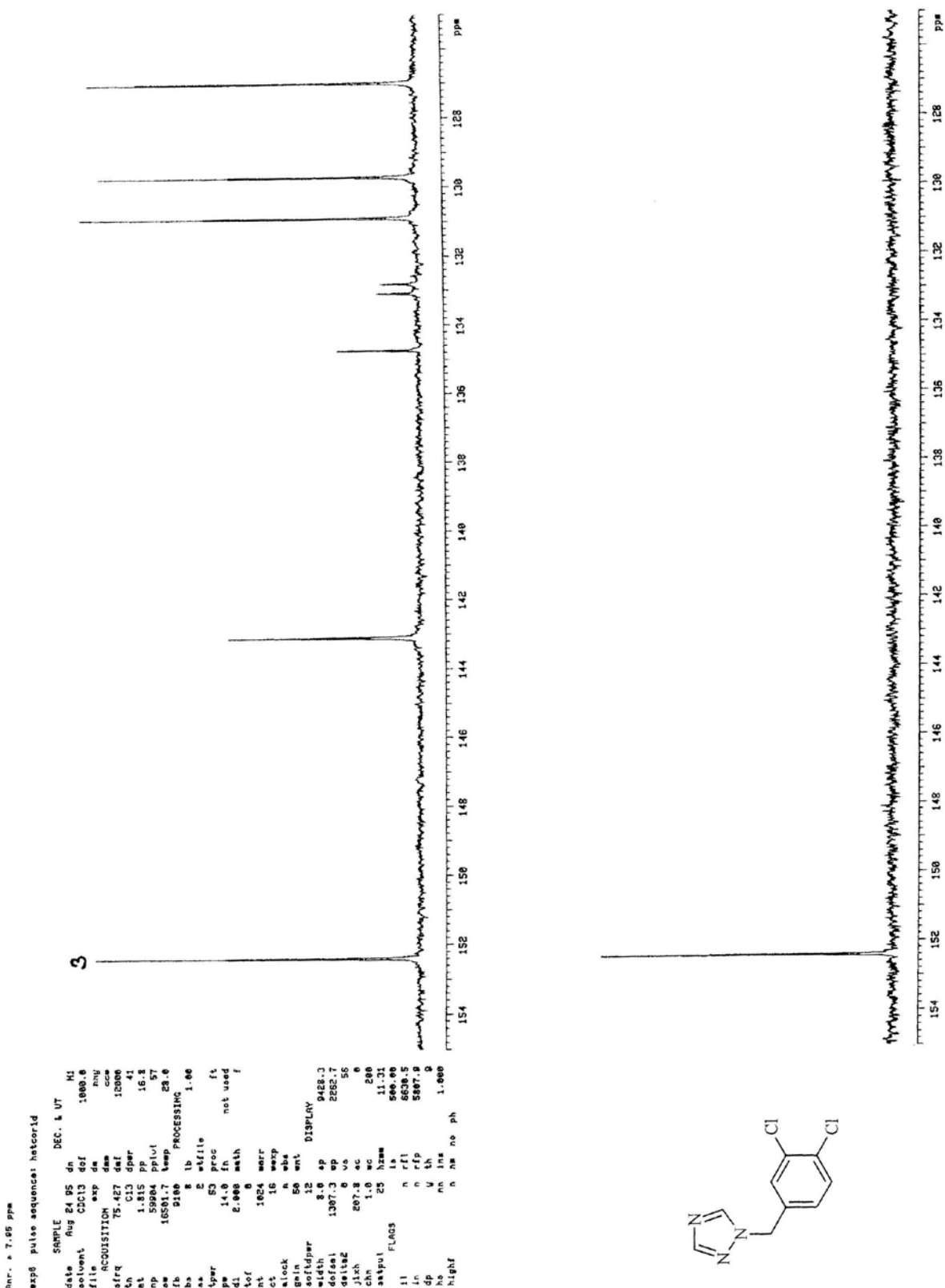
TAFEL 47



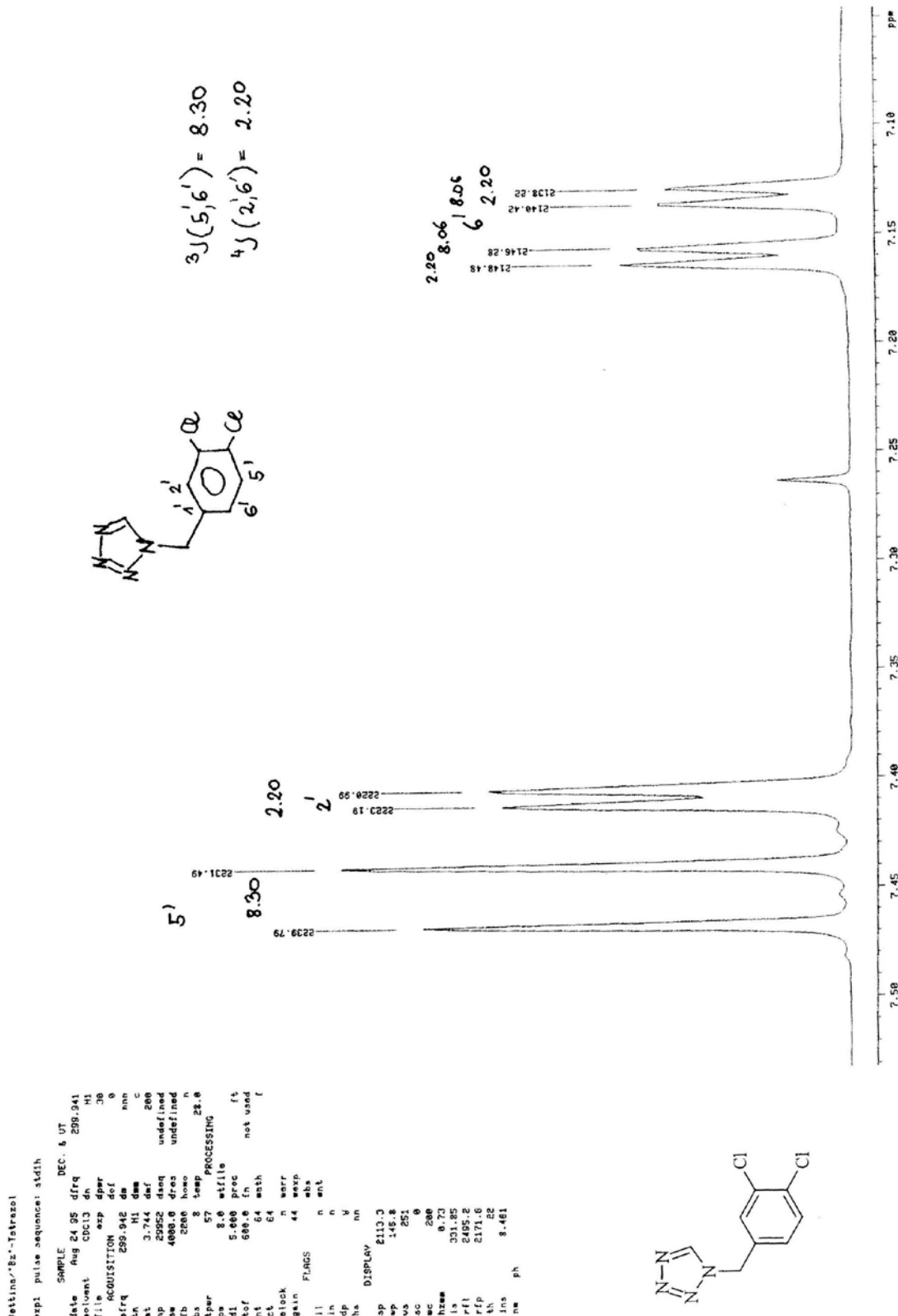
TAFEL 48



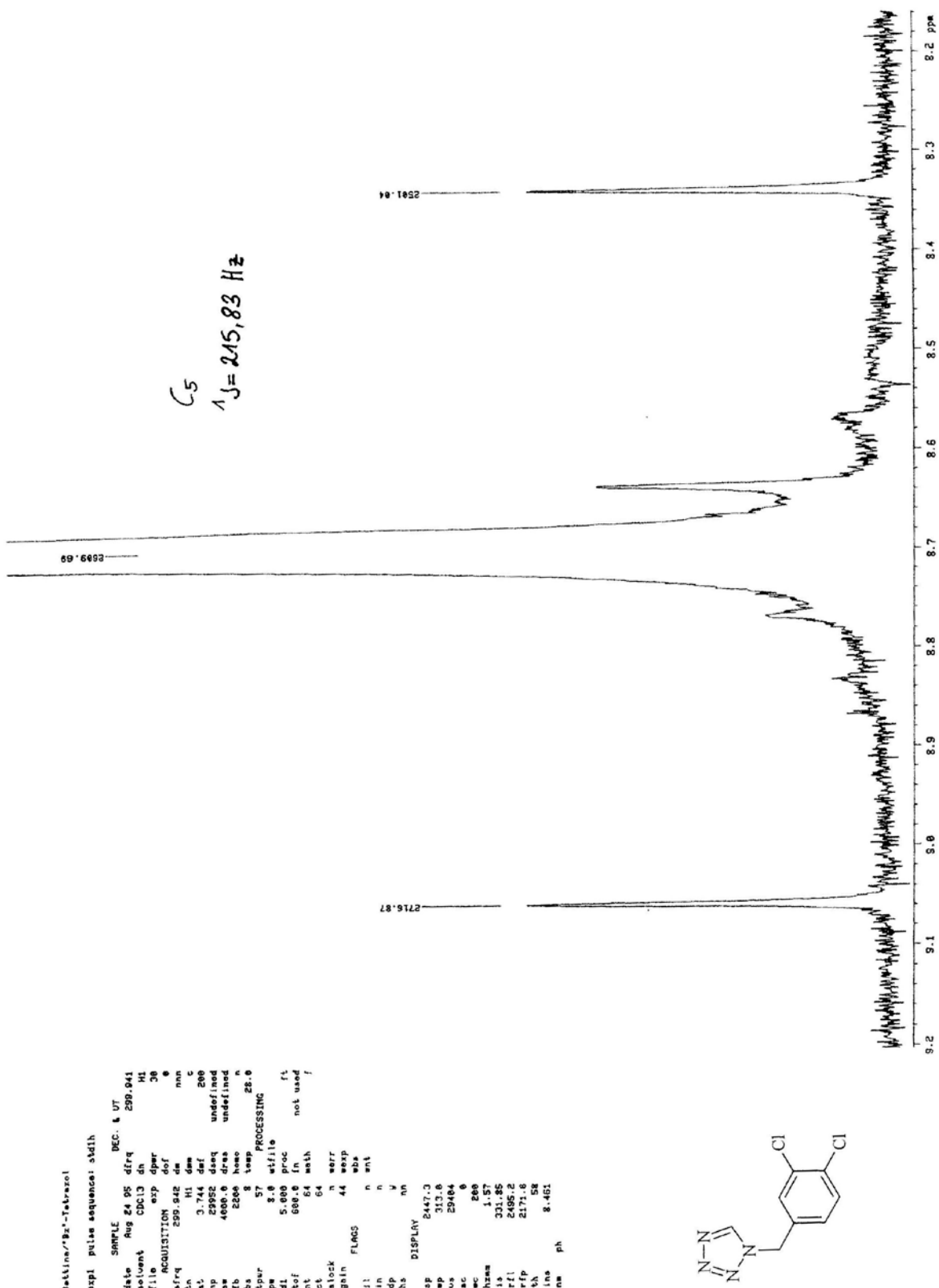
TAFEL 49



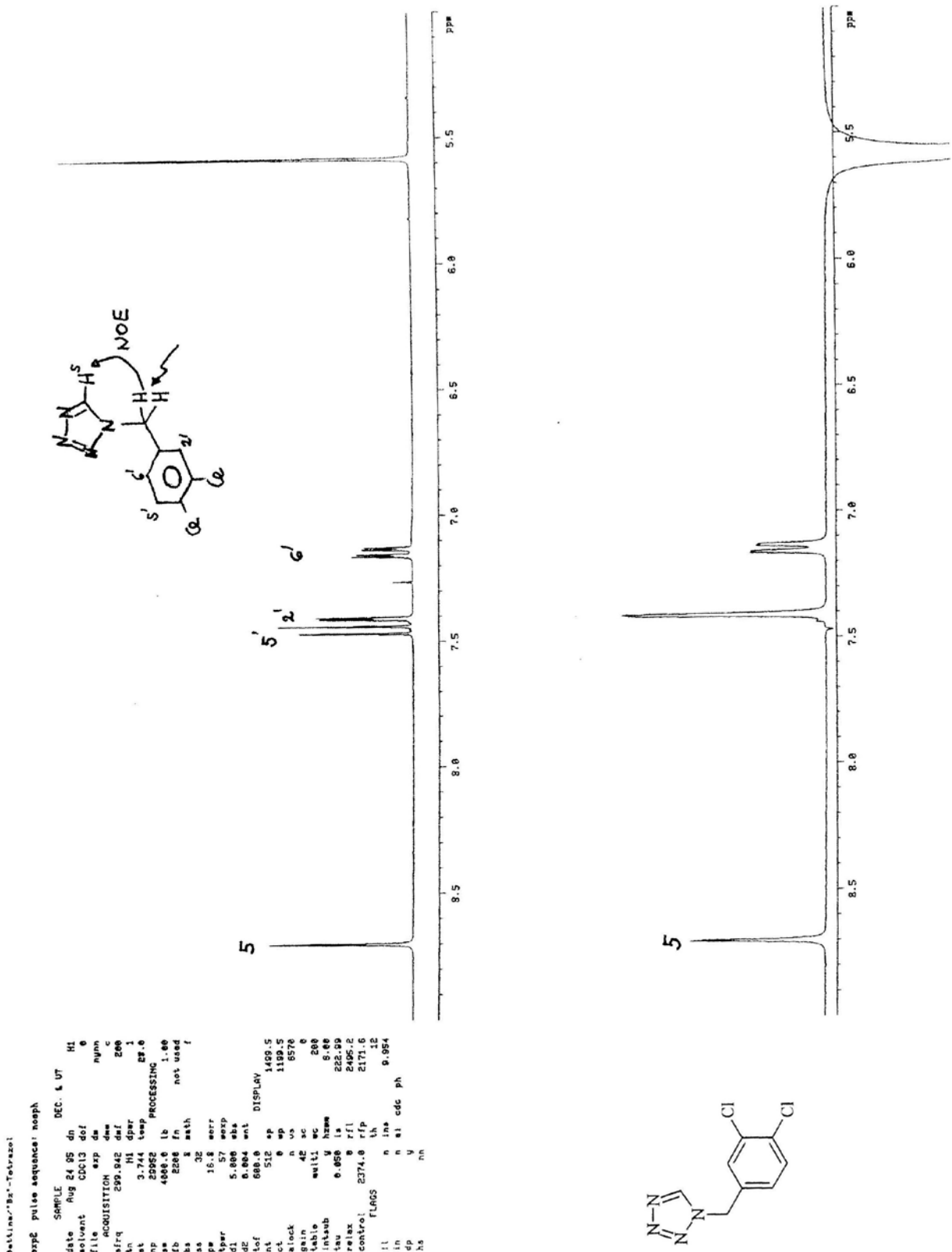
TAFEL 51



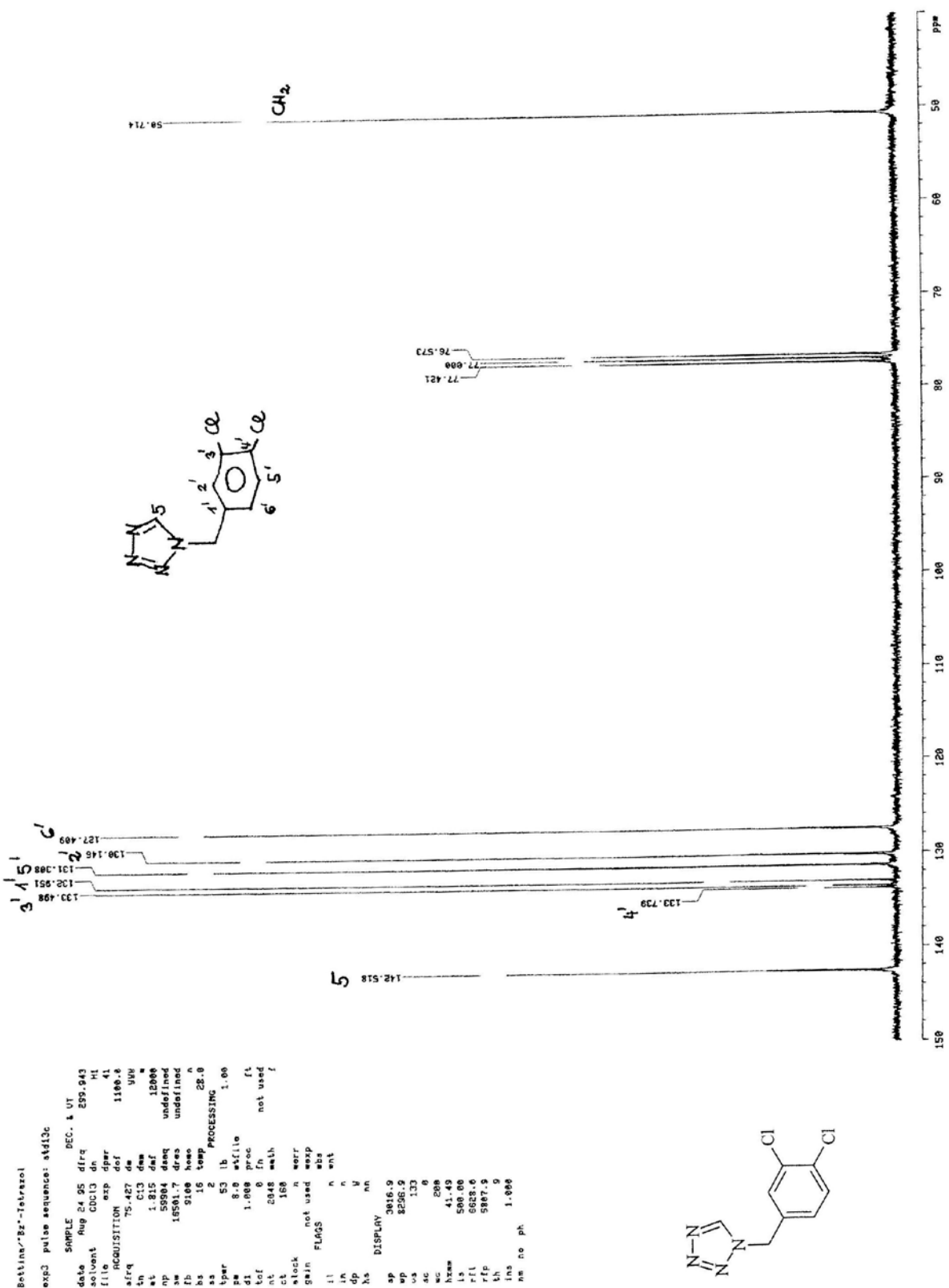
TAFEL 52



TAFEL 53



TAFEL 54

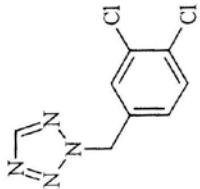
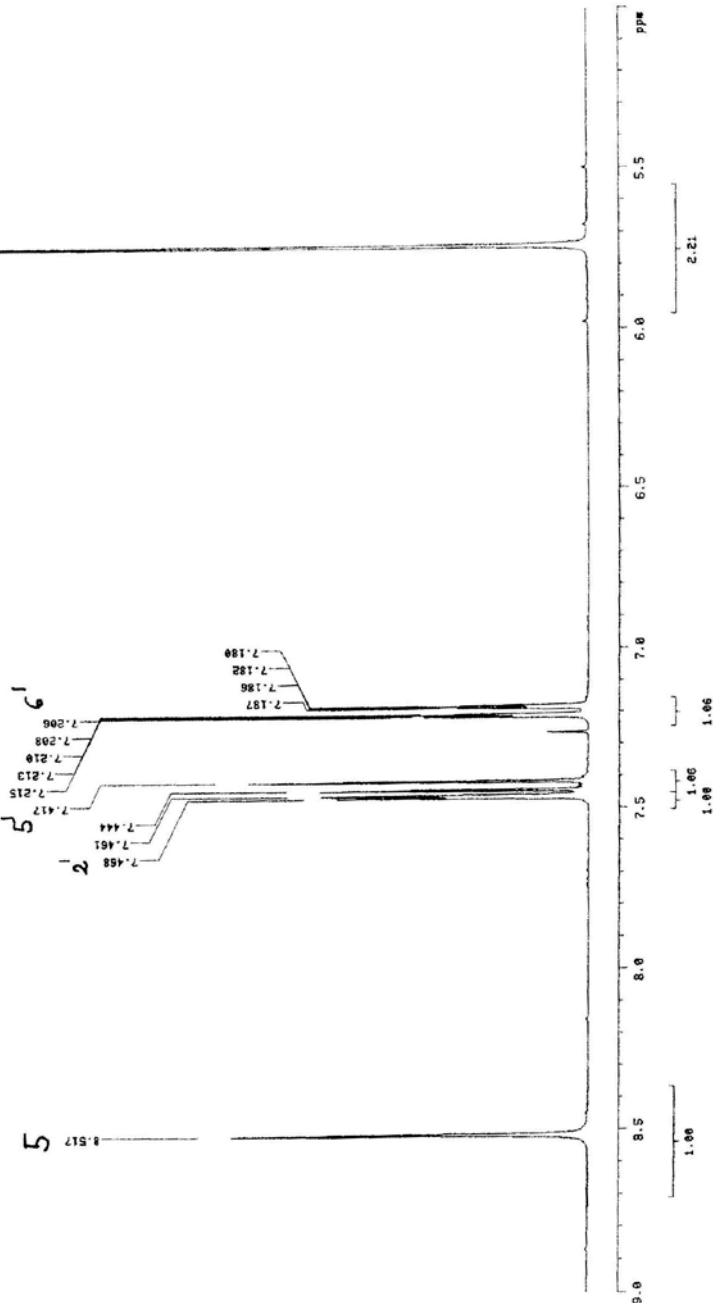
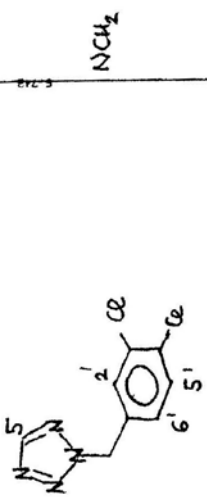


TAFEL 55

Bettina/Brz-Tetrazol 1/P-subst.

expt pulse sequence: stddh

SAMPLE	DEC. 1. UT
date	Sep 1. 95
solvent	CDCl ₃
title	d1
ACQUISITION	exp dpr
sfreq	299.942
th	dss
rt	H1
dt	3.744
np	20552
sw	4006.0
tb	2288
bs	hoso
trar	n
pw	8.0
d1	3.000 proc
lof	500.0 fn
nt	32 math
ct	f
clock	6
gain	44
FLQGS	wsp
lit	abs
in	n went
dp	n
hs	nn
DISPLAY	1499.7
sp	1199.7
vs	147
ec	6
wc	200
hmn	6.00
ls	300.47
r1f	2495.2
r1p	2171.6
th	8
nm	12.366
ph	



TAFEL 56

Setting: ¹H-NMR-Tetrazole 1/2-subst.

exp1 pulse sequence: siidh

DEC. 4 UT
date Sep 1 95 dfrq 299.942

solvent CDCl₃ dn H1

file exp dper

ACQUISITION daf

dfrq 299.942 dm

t1r1 H1 dm

at 3.744 daf

np 20952 dasq undefined

sw 4888.6 dasq undefined

tb 2000 hosc n

bs 2.8 tsep

spw 5.7 PROCESSING

pw 8.0 stilis

ds 5.000 proc ft

tof 600.0 fn 65526

nt 32 math f

ct 0

clock 0 corr

gain 4.4 wexp

li 1 flons who

In n ent

dp n y

ha mn

DISPLAY

sp 2095.1

ep 182.5

vs 307

sc 8

sc 200

hosc 6.51

ts 368.67

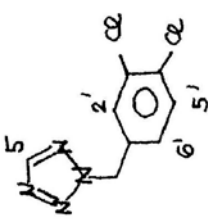
r1 2095.2

rfp 2171.6

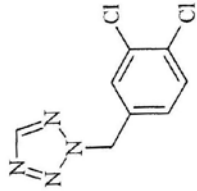
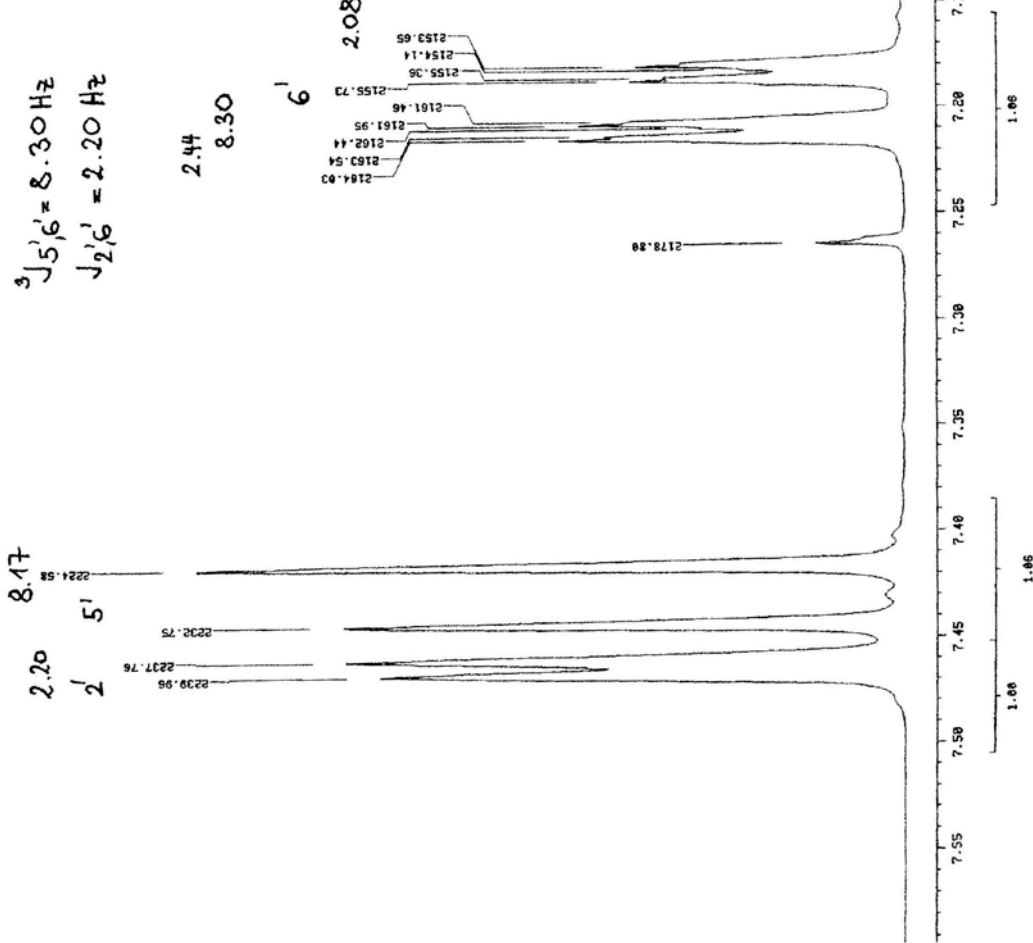
th 8

ins 12.866

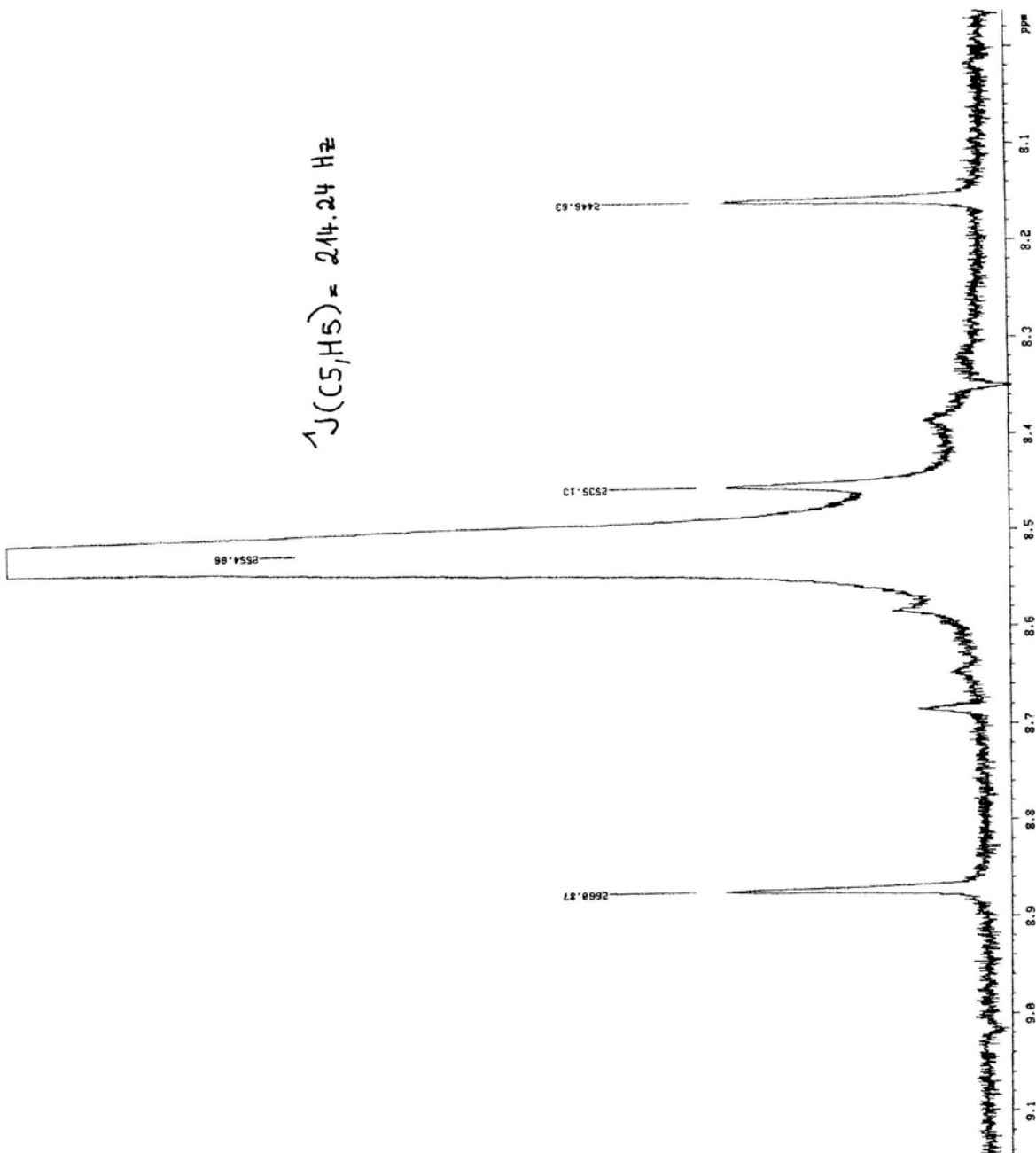
hw ph



$$\begin{aligned} \text{J}_{5',6'} &= 8.30 \text{ Hz} \\ \text{J}_{2',6'} &= 2.20 \text{ Hz} \end{aligned}$$



TAFEL 57

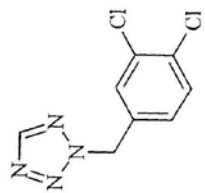


Bekking,-Ba-Tetrasol 1/2-audat.

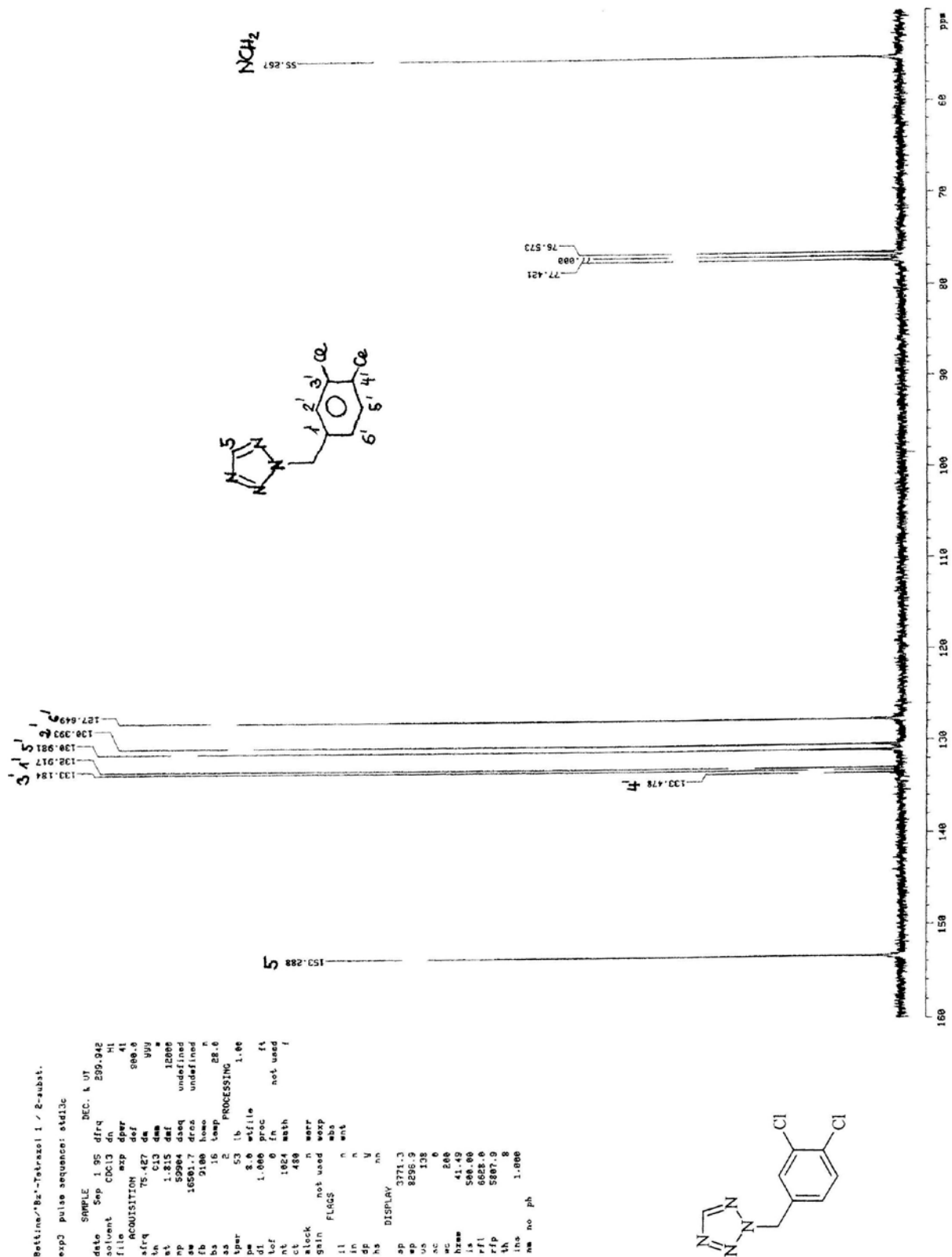
```

expt pulse sequence: stth
SAMPLE      DEC. & UT
date        Sep 1, 95 dfrq   259.942
solvent     CDCl3 dn      H1
file        exp      dpr
           def      927.7
acquisition
           def      nam
           def      c
           259.942 da
th          H1      dam
at          3.744 daf    200
np          20002 daeq   undefined
se          4000.0 drss   undefined
fb          22000 head   n
bs          8      keep    28.0
tper         57      PROCESSING
ps          8.0      wfile
d1          5.000 Proc   ft
tof         600.6 fn    65536
nt          20      math   f
ct          0
clock       n      user
gain        44      exp
p1mcs
ii          n      ant
in          n
dp          u
hs          nn
DISPLAY
ap          21388.3
wp          354.5
v1          21485
sc          0
uc          200
hsize      1.77
is          368.67
rf1        2405.2
rf2        2171.6
rf3        1E.4E0
th          32
ins        1E.4E0
nm        ph

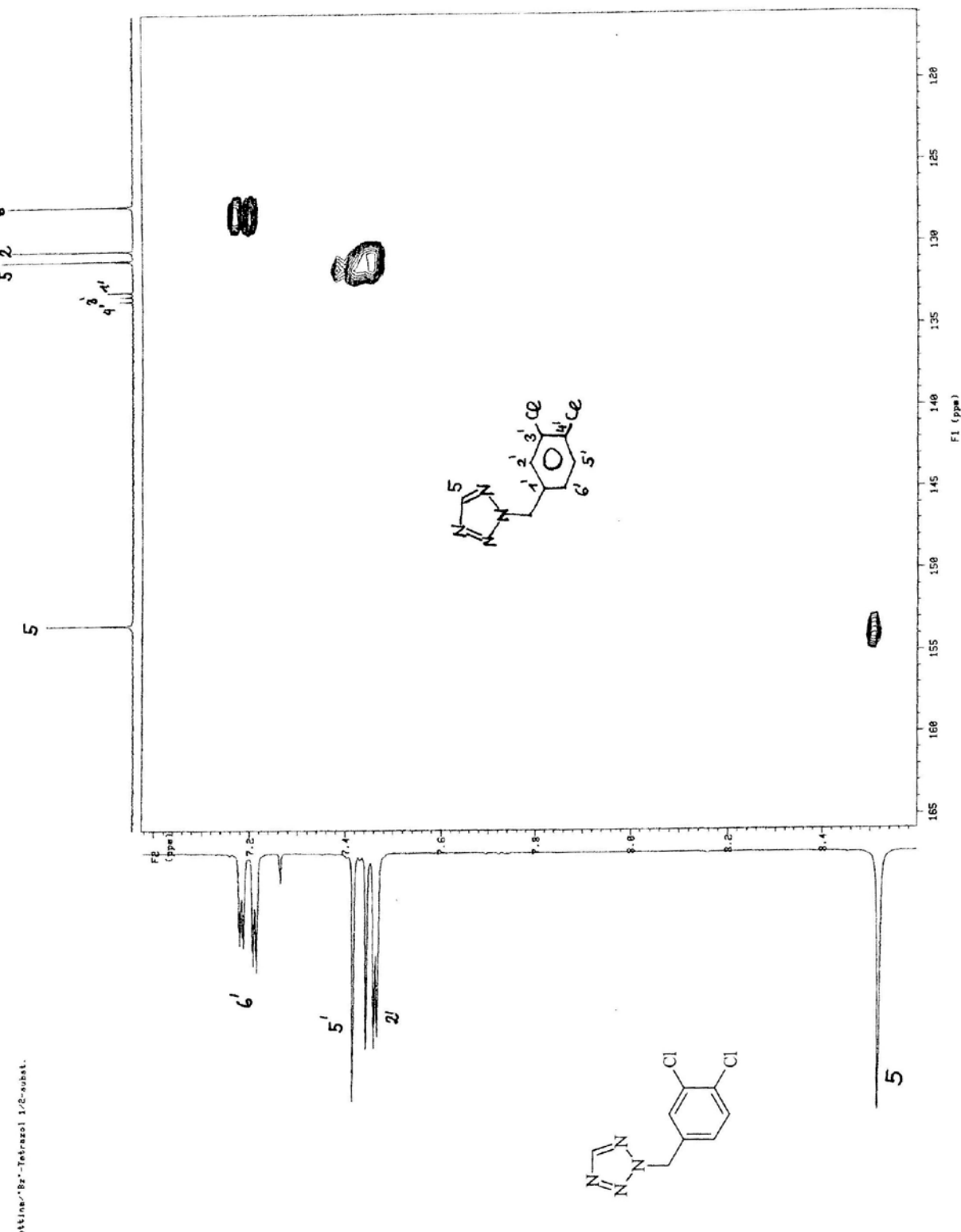
```



TAFEL 58



TAFEL 59



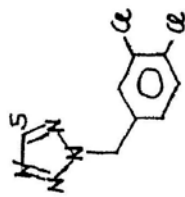
TAFEL 60

Bott., 2'-Fur'-Tetrazol 1/-2'-subst.

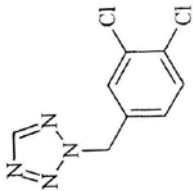
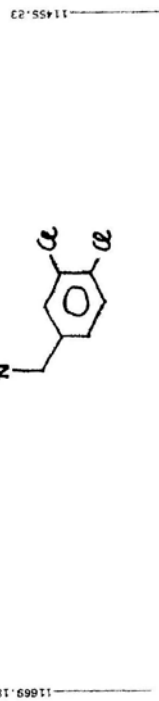
expS pulse sequence: std3c

SAMPLE DEC. & UT 259-S43

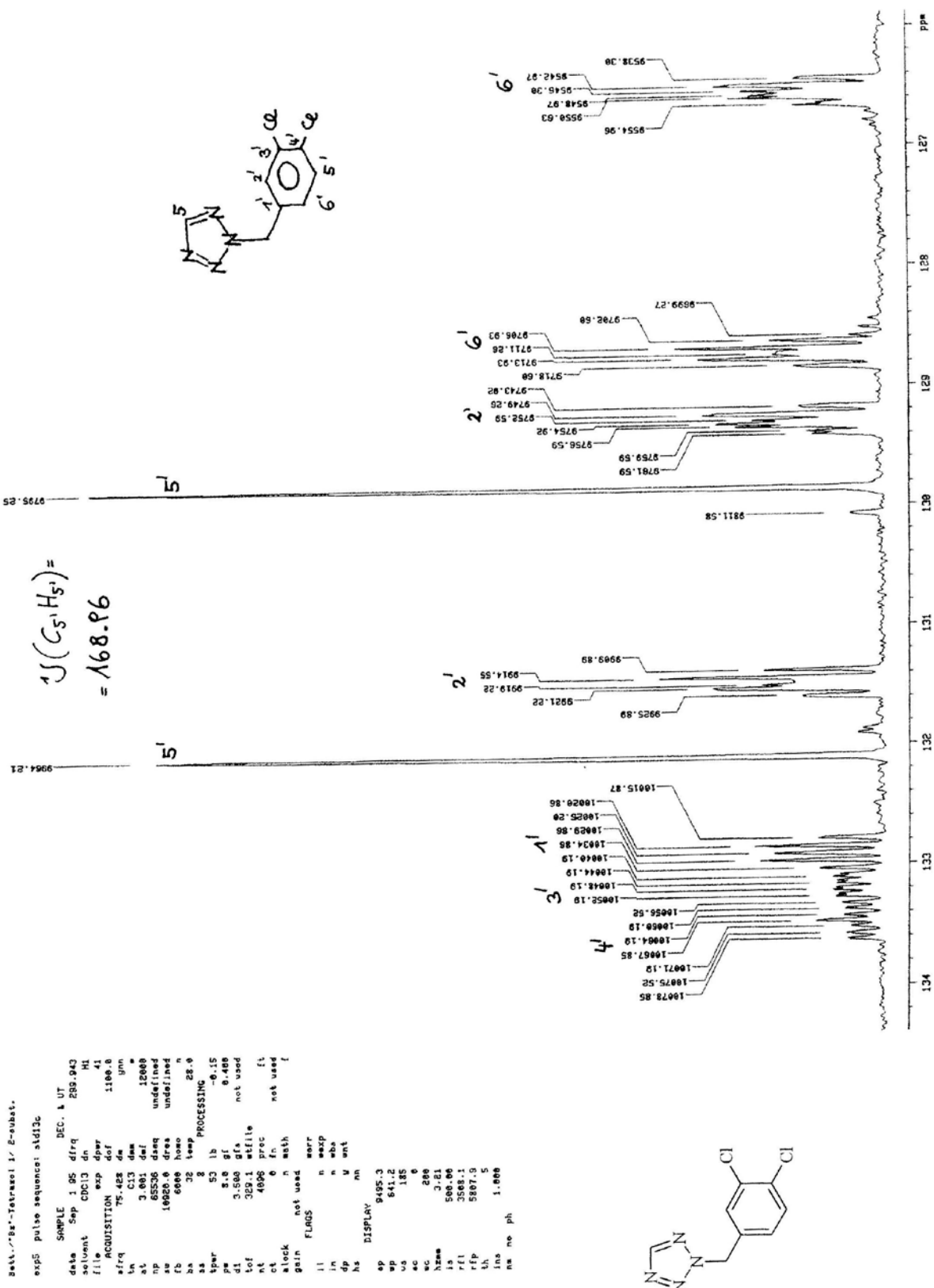
date	Sep 1 95	dirfq	dn	H1
solvent	CDCl ₃	dpr		
file		dpr-	41	
ACQUISITION	exp	dpr-		
sfreq	75.420	dof	1100.0	
th	C13	ymn		
st	3.081	dat	12000	
np	65526	daq	undefined	
sw	10920.0	dress	undefined	
fb	6000	hnoe	n	
bs	32	temp	22.0	
ss	8	PROCESSING		
tpar	5.3	lb	-0.15	
pw	8.0	gf	6.460	
di	3.580	gfs	not used	
t0f	359.1	width		
nt	4096	proc	ft	
ct	0	fn	not used	
clock		n		
gain	not used	math		
FLQDS		corr		
1:		n		
in		espp		
ep		n		
hs		y	ent	
DISPLAY		mn		
sp	11378.6			
ep	492.9			
vs	117			
sc	9			
oc	200			
hsep	2.01			
is	500.00			
rfl	3508.1			
rfp	5897.9			
th	5			
lms	1.000			
nm	no	ph		



$$\delta(C_5, H_5) = 213.95 \text{ Hz}$$



TAFEL 61

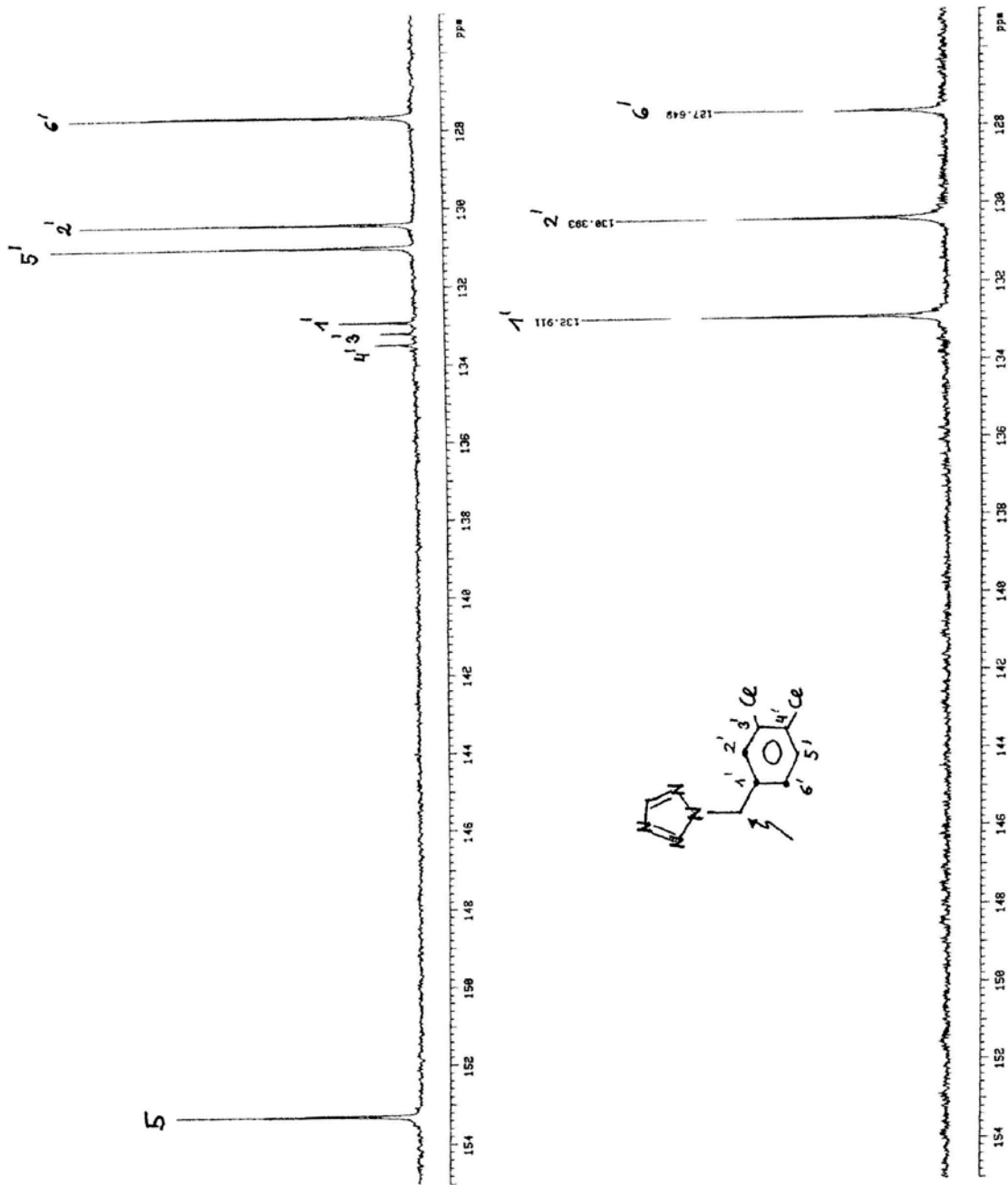


TAFEL 62

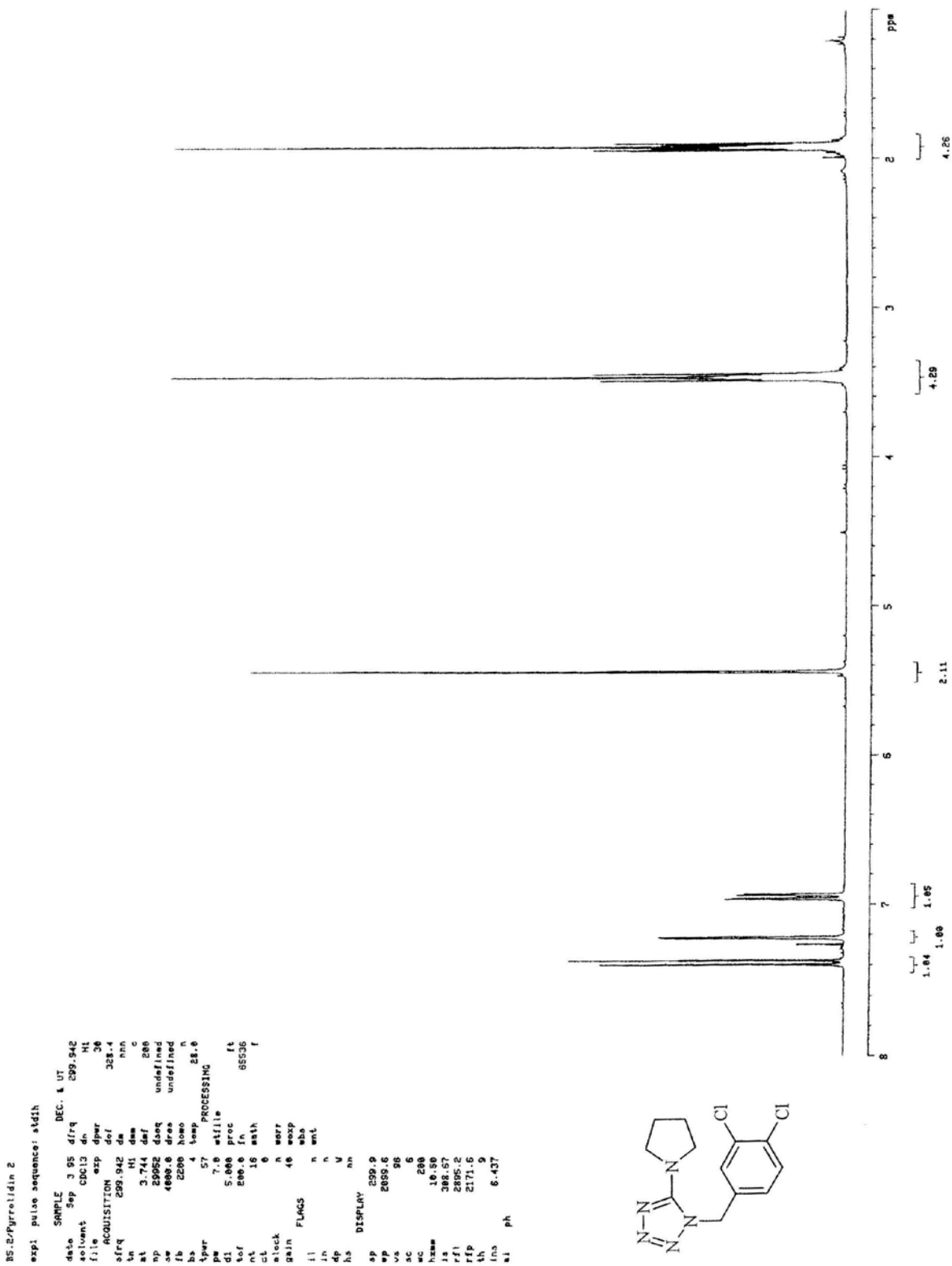
RHF = 5.74 Fps/ CH2

exp6 pulse sequence: inputtr

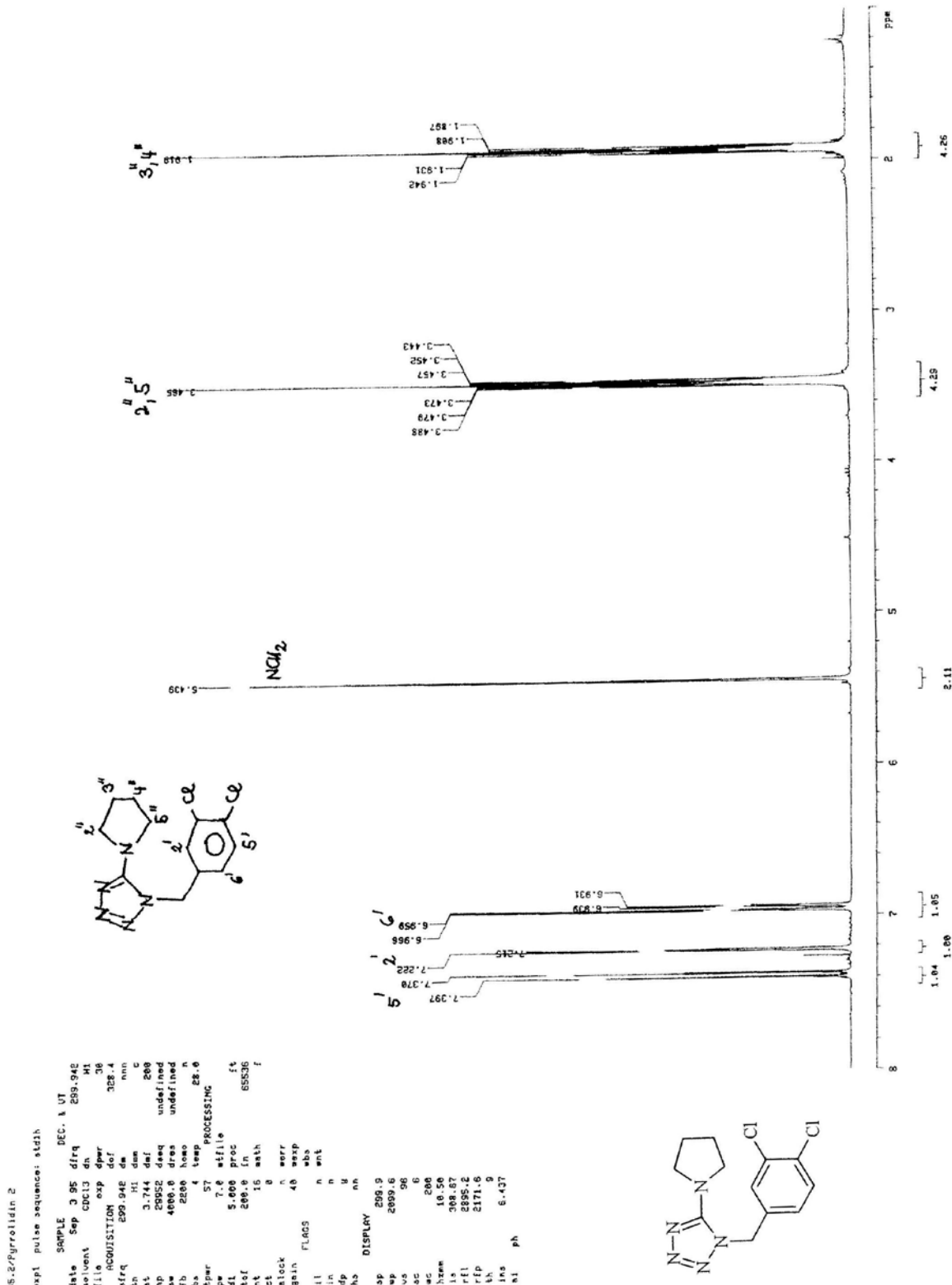
SAMPLE	Sp	1.95	dh	DEC. & UT	H1
date	SpC	CNC13	dof	900.0	
solvent	de	de	nmv		
file	exp	de	cce		
ACQUISITION	exp	de	12000		
sfrq	75.427	dar	12000		
tn	C13	dpar	41		
at	1.815	temp	28.0		
np	50004	PROCESSING			
sw	18501.7	lb	1.00		
fb	5166	whitie			
bs	8	proc			
ss	0	in	not used		
tspc	53	asnh			
fw	14.0		f		
d1	0.000	scsr			
tof	0	scsr			
nt	1024	eha			
ct	16	ent			
slack	n	DISPLAY			
gain	50	sp	0.020.3		
soltemp	12	ep	2255.7		
jchh	5.0	us	42		
chn	2.0	sc	0		
delta	0	sc	280		
del12	0	hama	11.31		
width	8.0	le	500.00		
dsatz	645.4	rfl	6025.0		
d5	0.00025	rtp	5887.9		
FlgsS	n	th	3		
L1	n	lns	1.000		
dp	n	nm	av		
hs	nm				



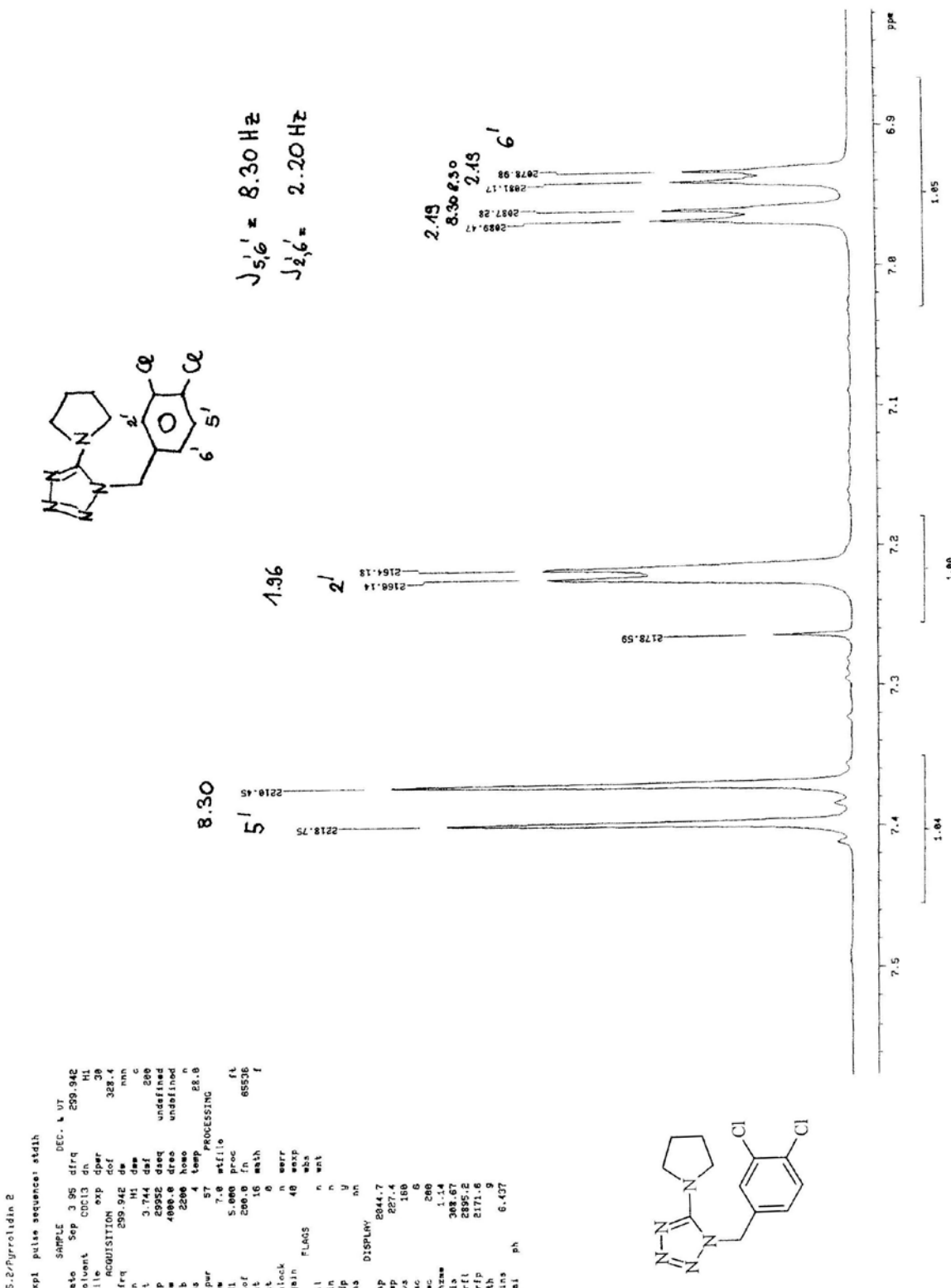
TAFEL 63



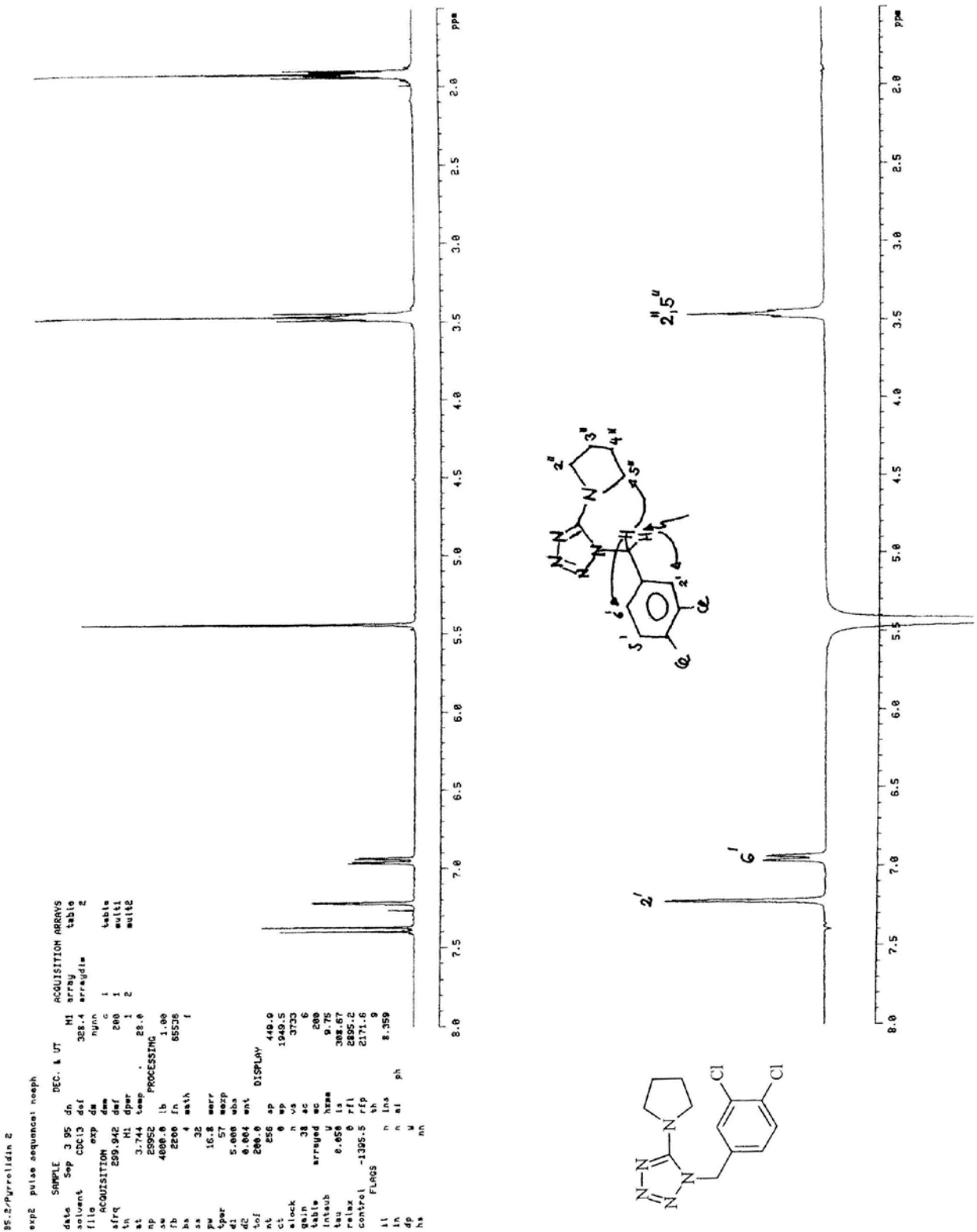
TAFEL 64



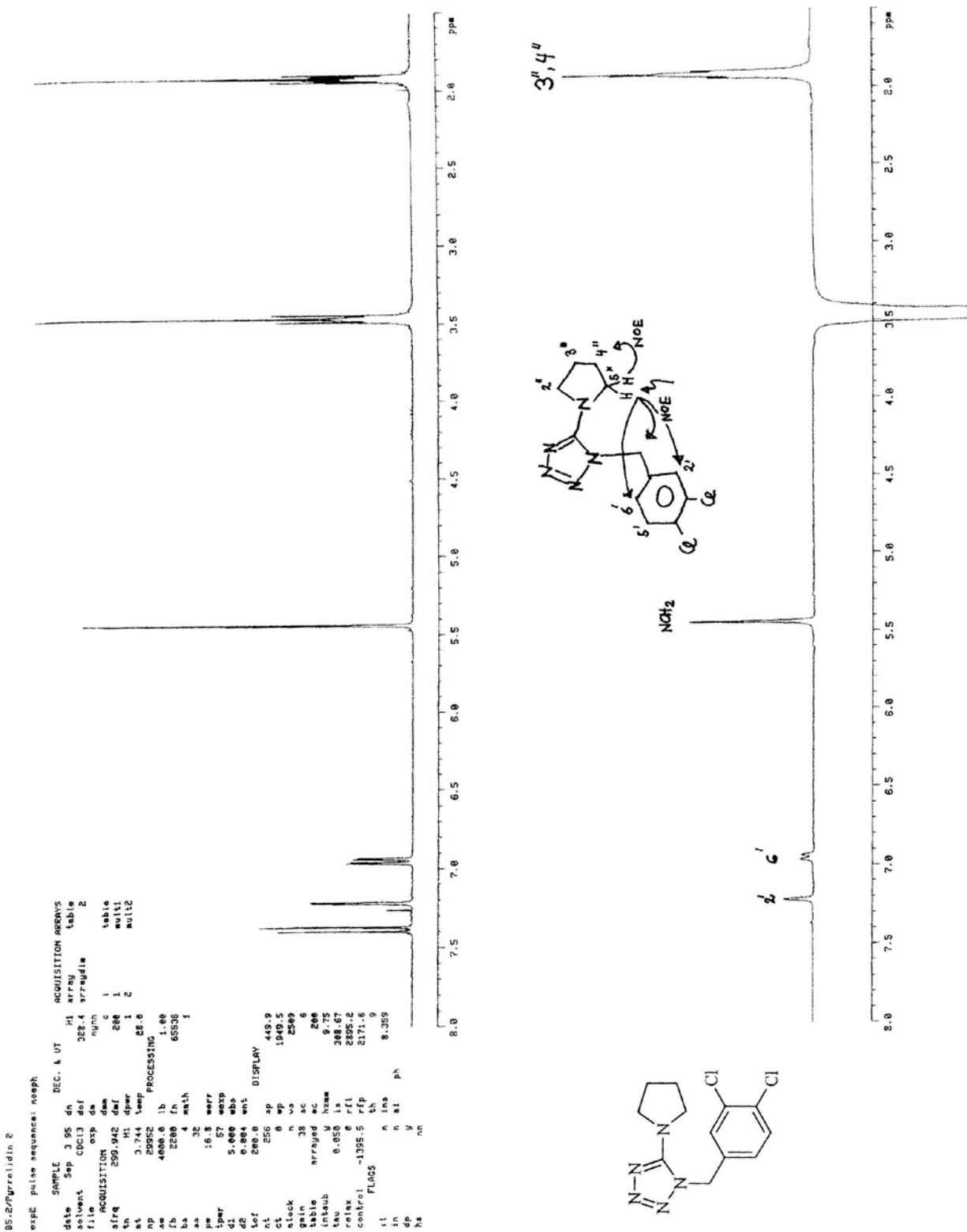
TAFEL 65



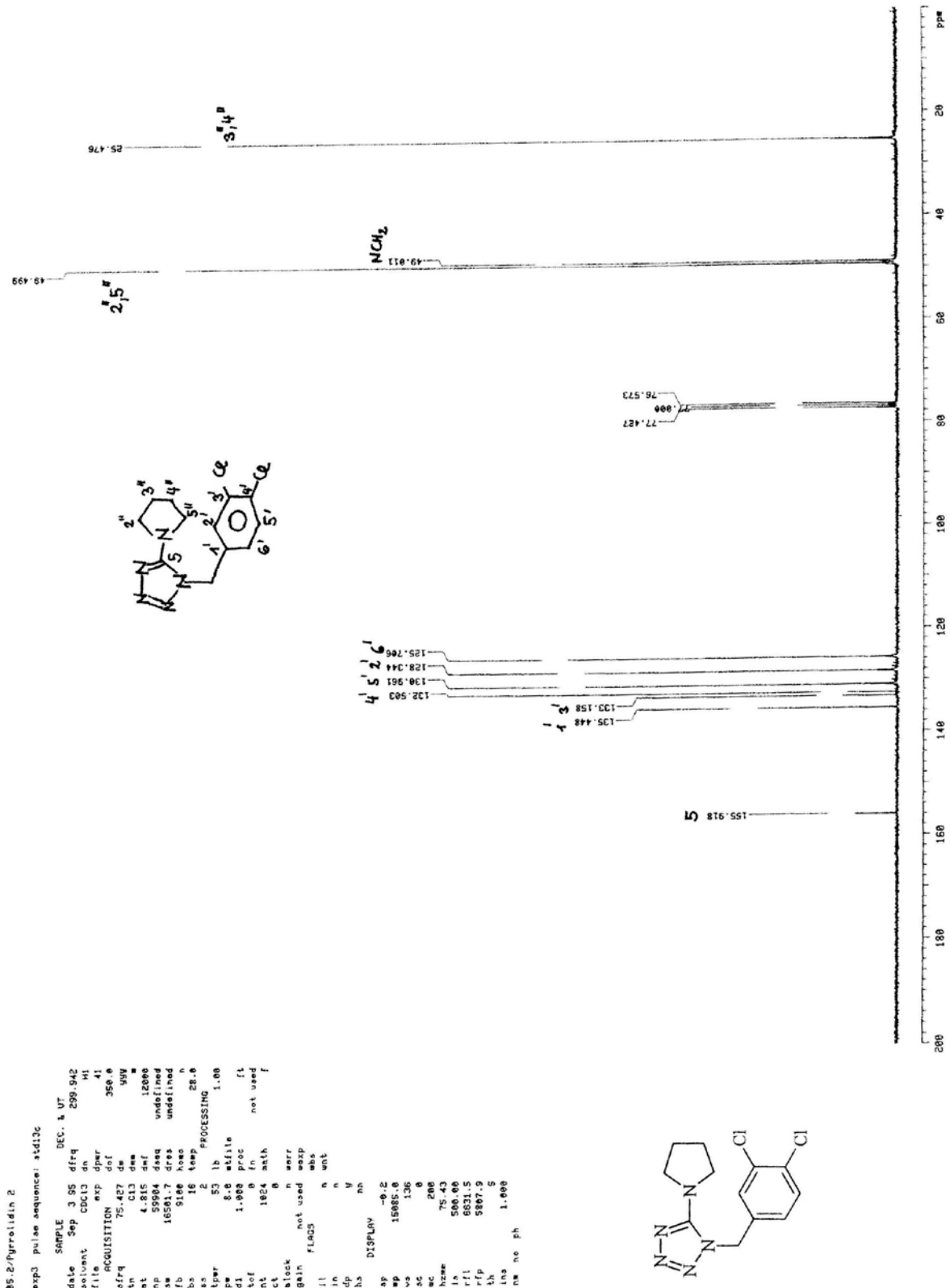
TAFEL 66



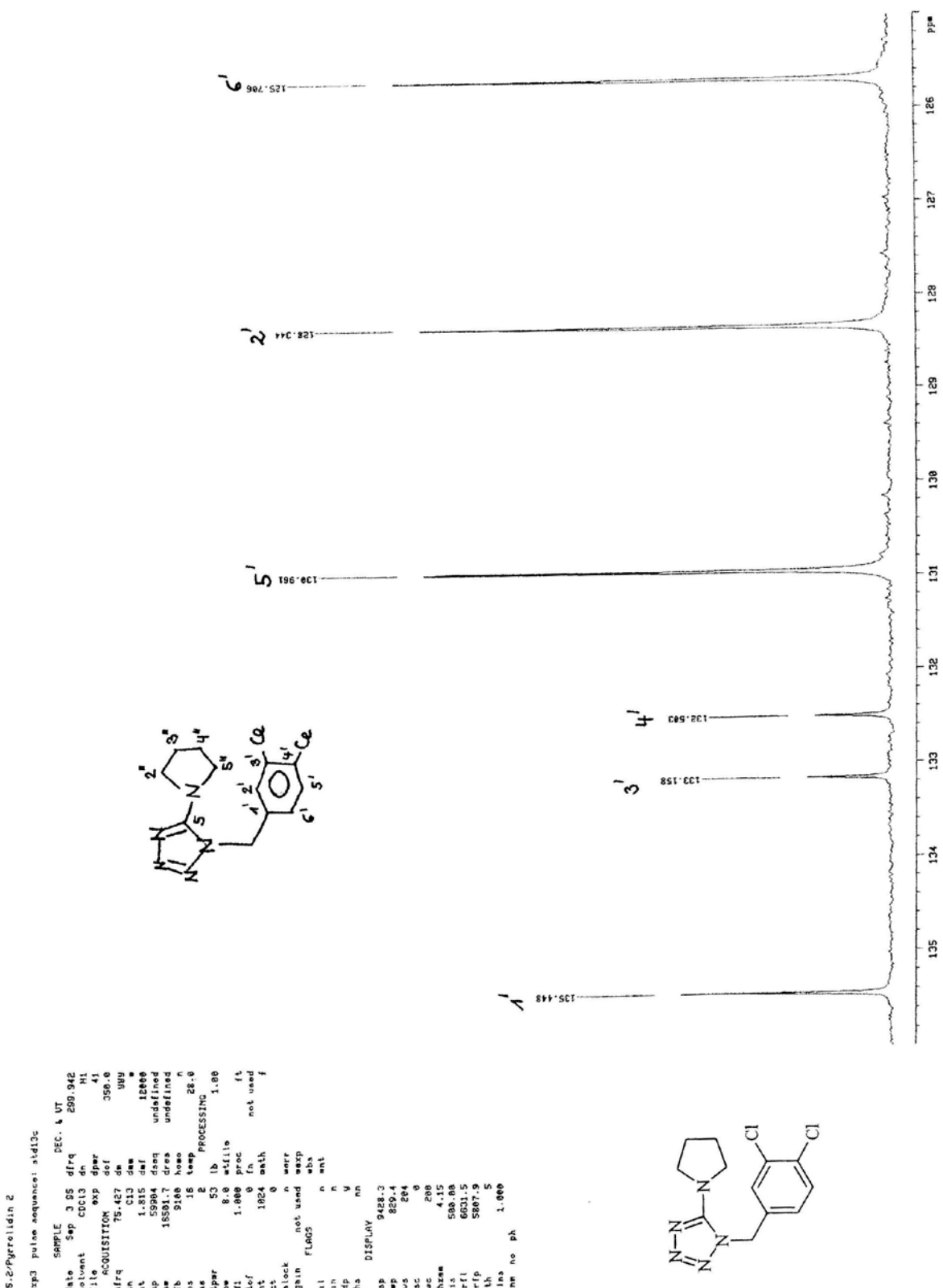
TAFEL 67



TAFEL 68



TAFEL 69



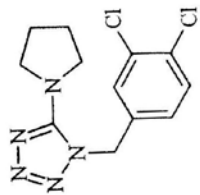
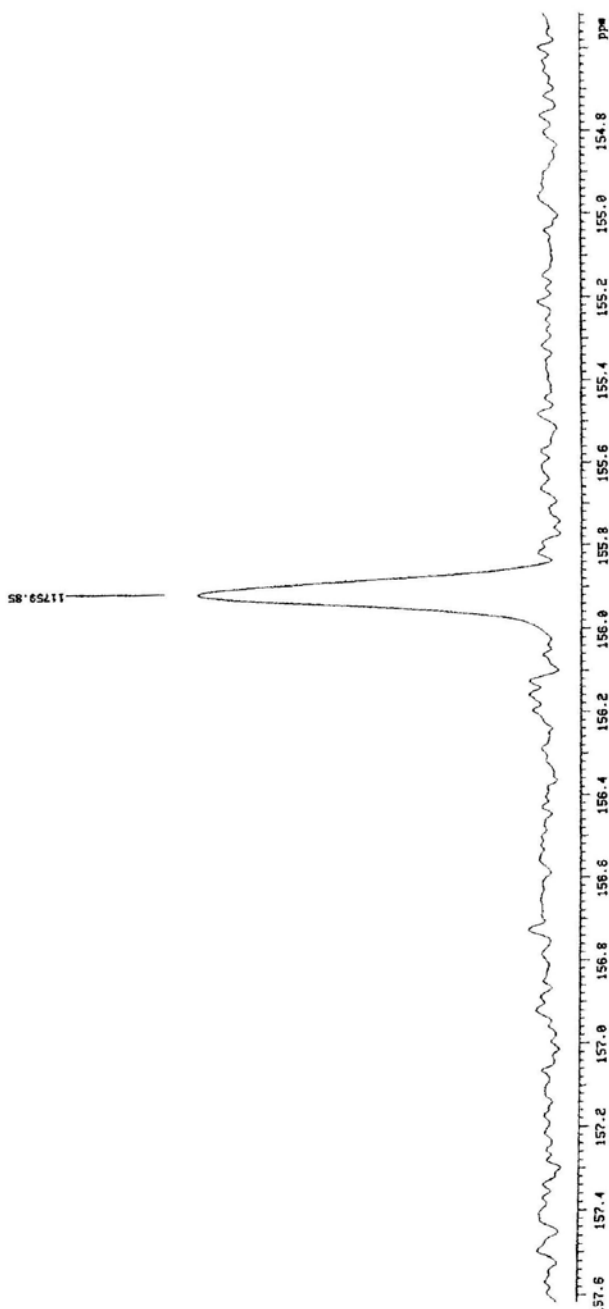
TAFEL 70

```

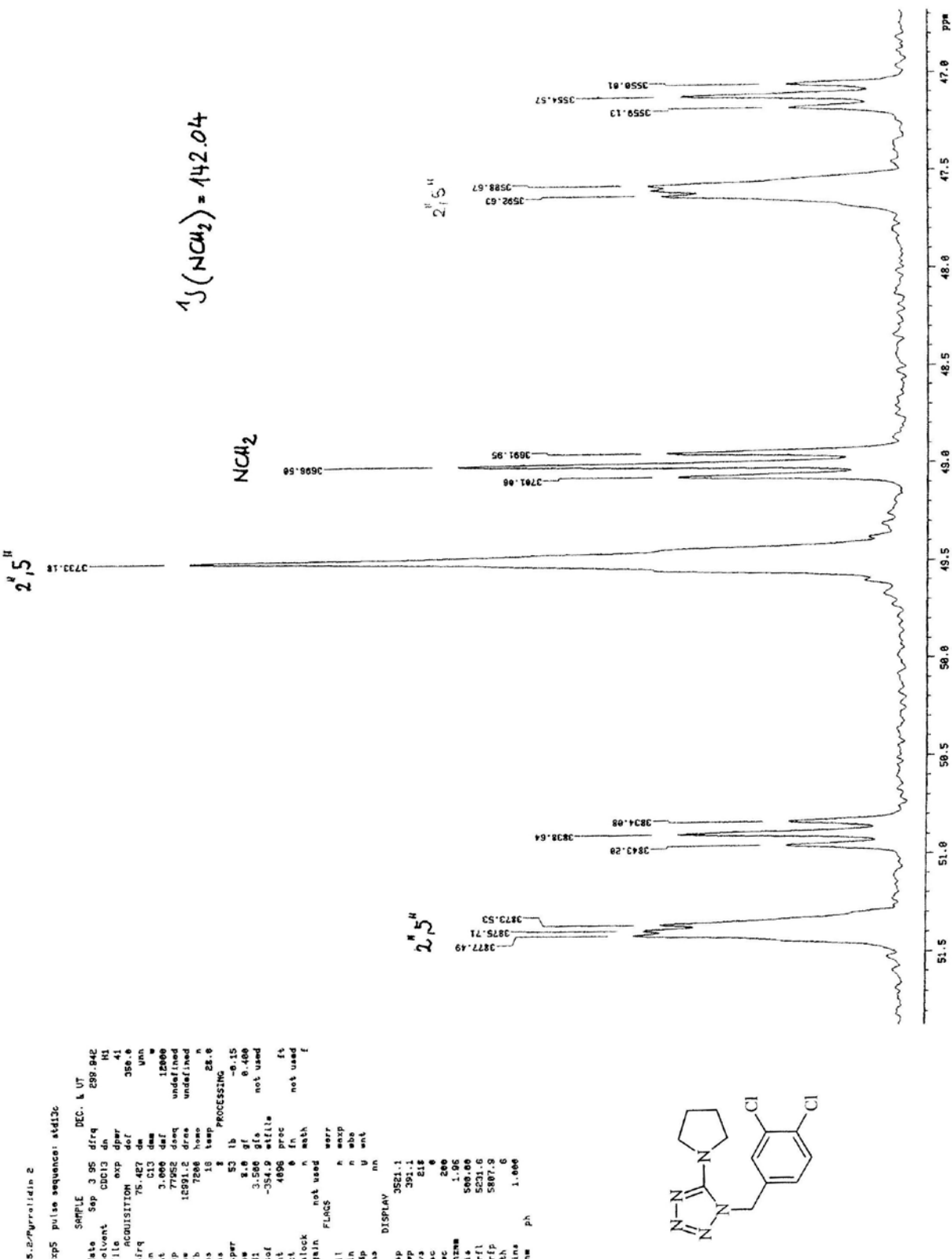
15-E-Pyrazolidin-2
exps pulse sequence: std03c
      DEC. & UT    299.942
SAMPLE          Sep 3 95 dirq   299.942
solvent        CDCl3 dn      H1
file           exp dpar   41
ACQUISITION    exp dof    350.6
aftq          75.427 dm     un
Ln             C13 dm     12669
st             3.000 daf   undefined
rp             77952 dmc   undefined
ns             12981.2 drw  undefined
fb             72860 hoso  h
te             16 temp   28.0
as             8
         53 lb      PROCESSING -6.15
tper            8.0 g1      0.068
pe             3.560 g1+    not used
di             -354.9 stfile
tof            4896 proc    ft
nt             6 fn      not used
ct              n
block          n
gain           not used
f               f
f1obs          errr
l1             n
in             n
dp             n
hs             n
        DISPLAY
        op      11954.6
        up      233.9
        us      342
        sc      6
        nc      260
        hzme   1.17
        ls      500.00
        rfi    5023.6
        rfp    5087.2
        th      23
        lns    1.000
        nw      ph

```

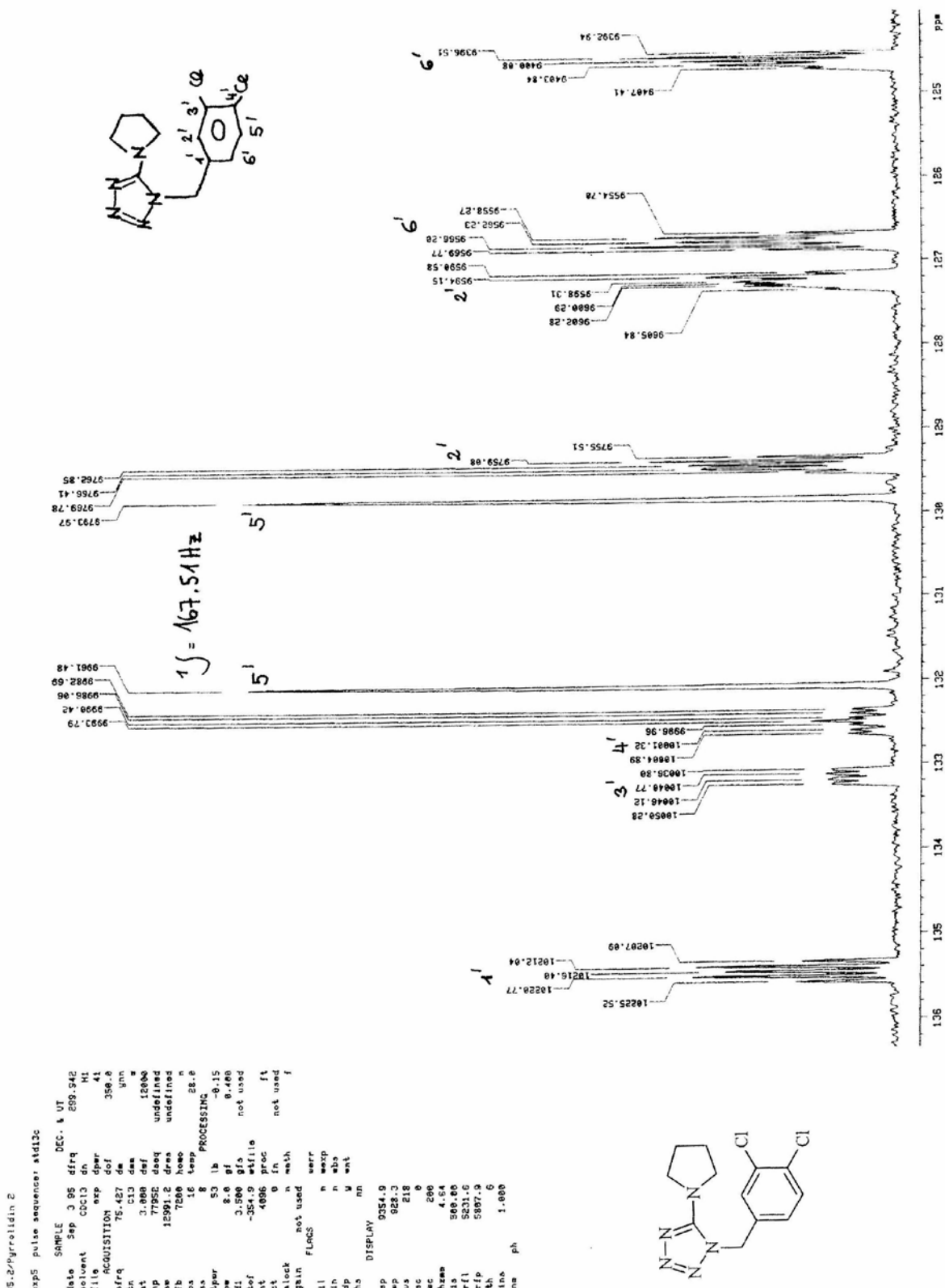
5



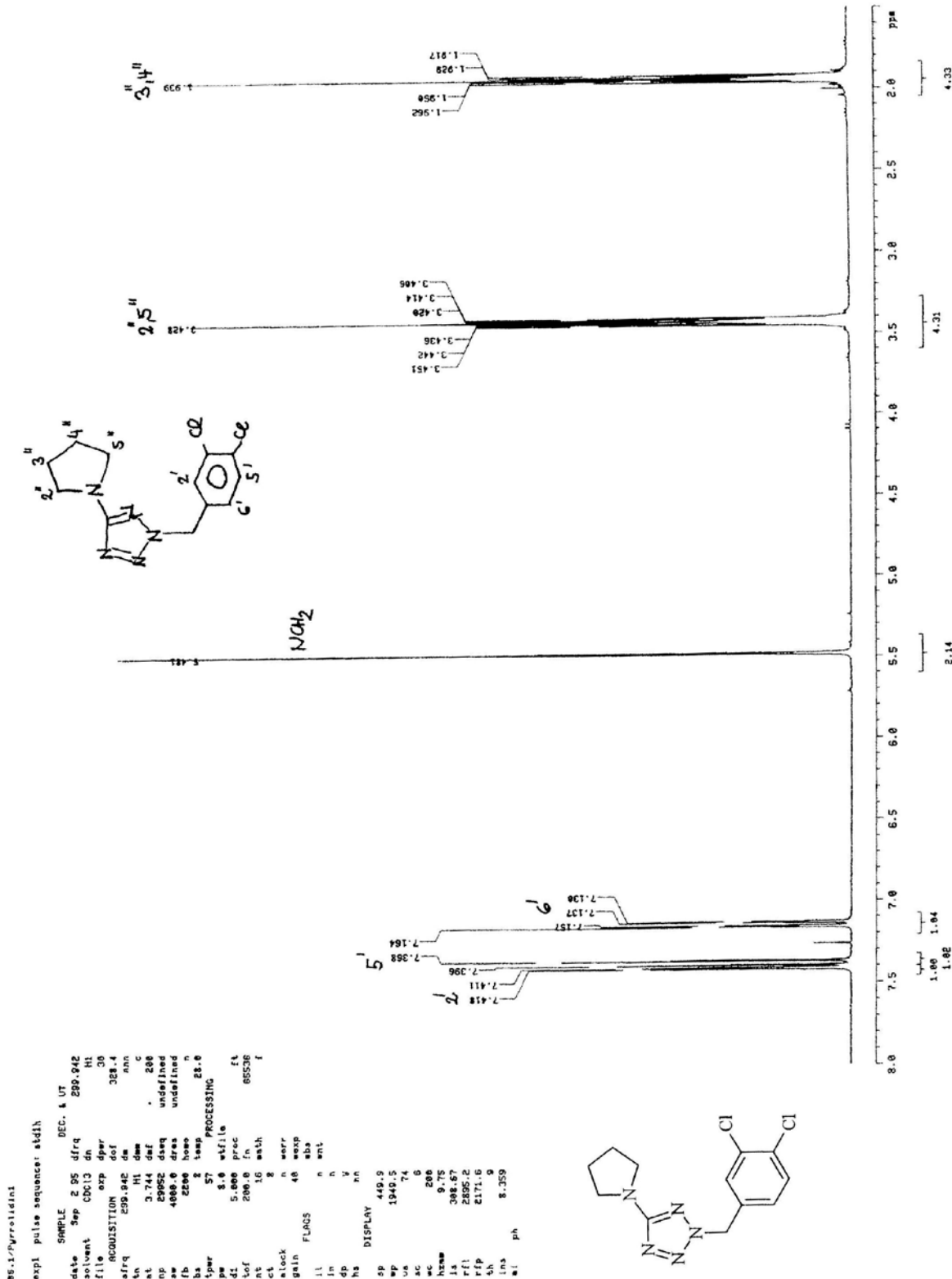
TAFEL 71



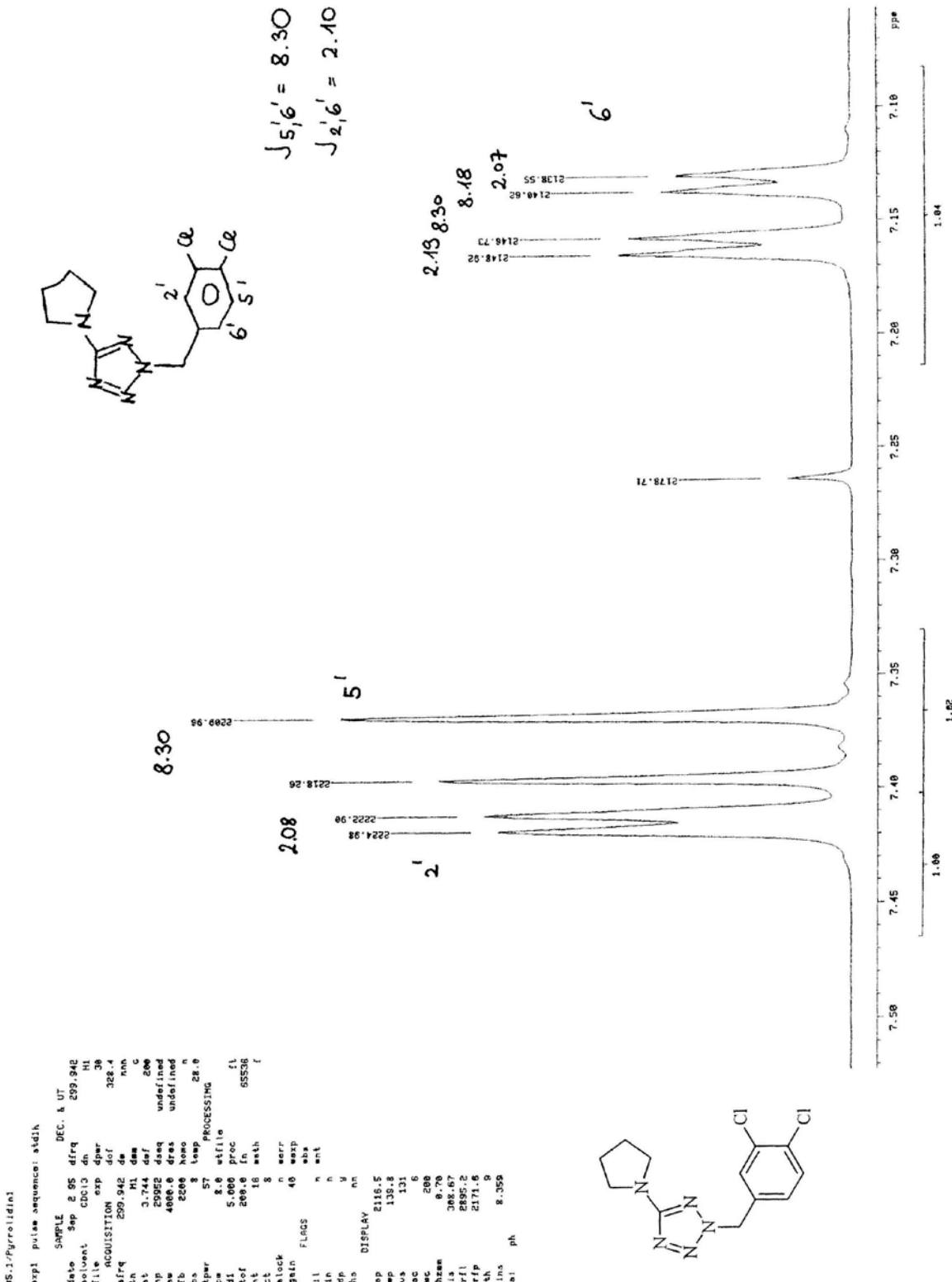
TAFEL 72



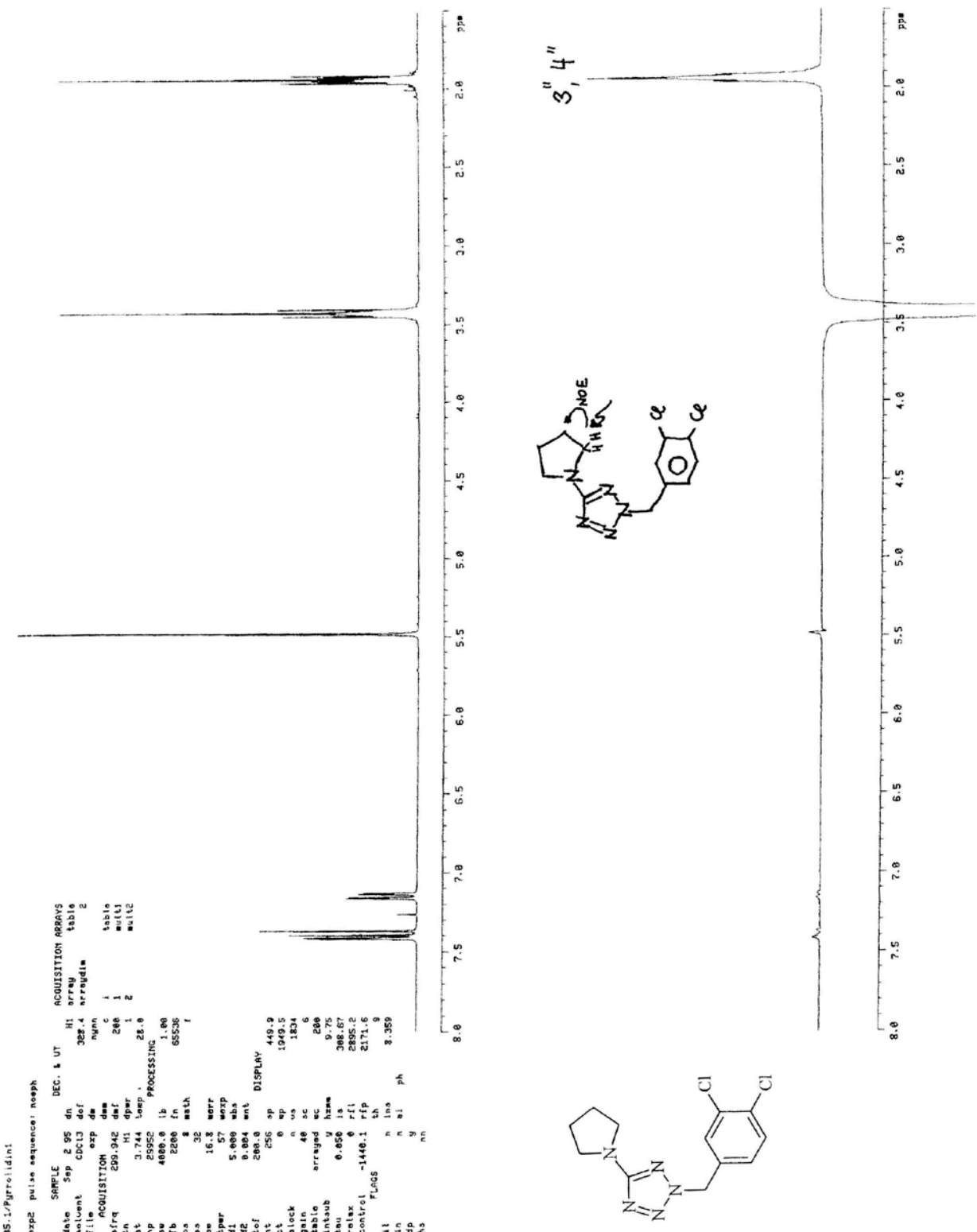
TAFEL 74



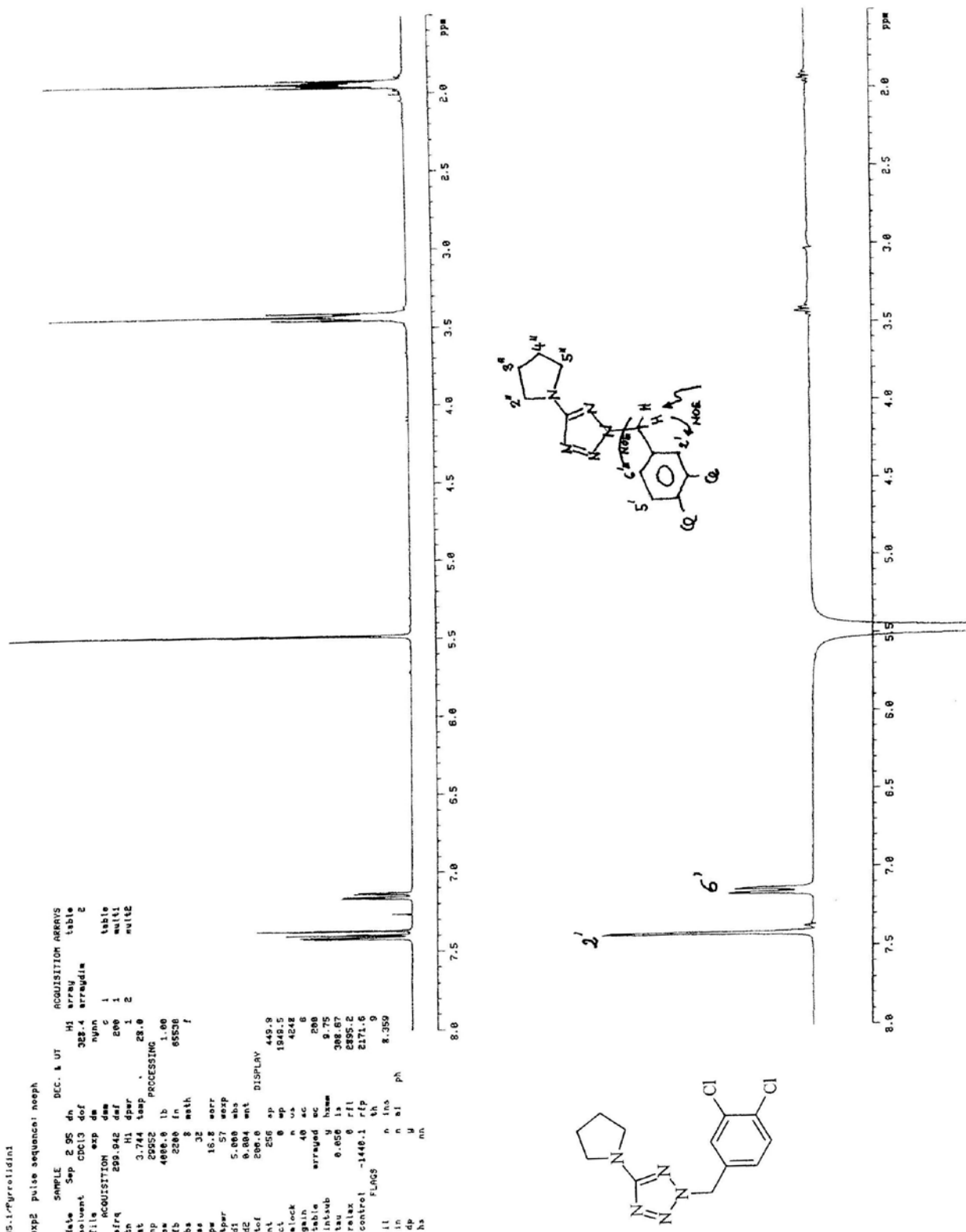
TAFEL 75



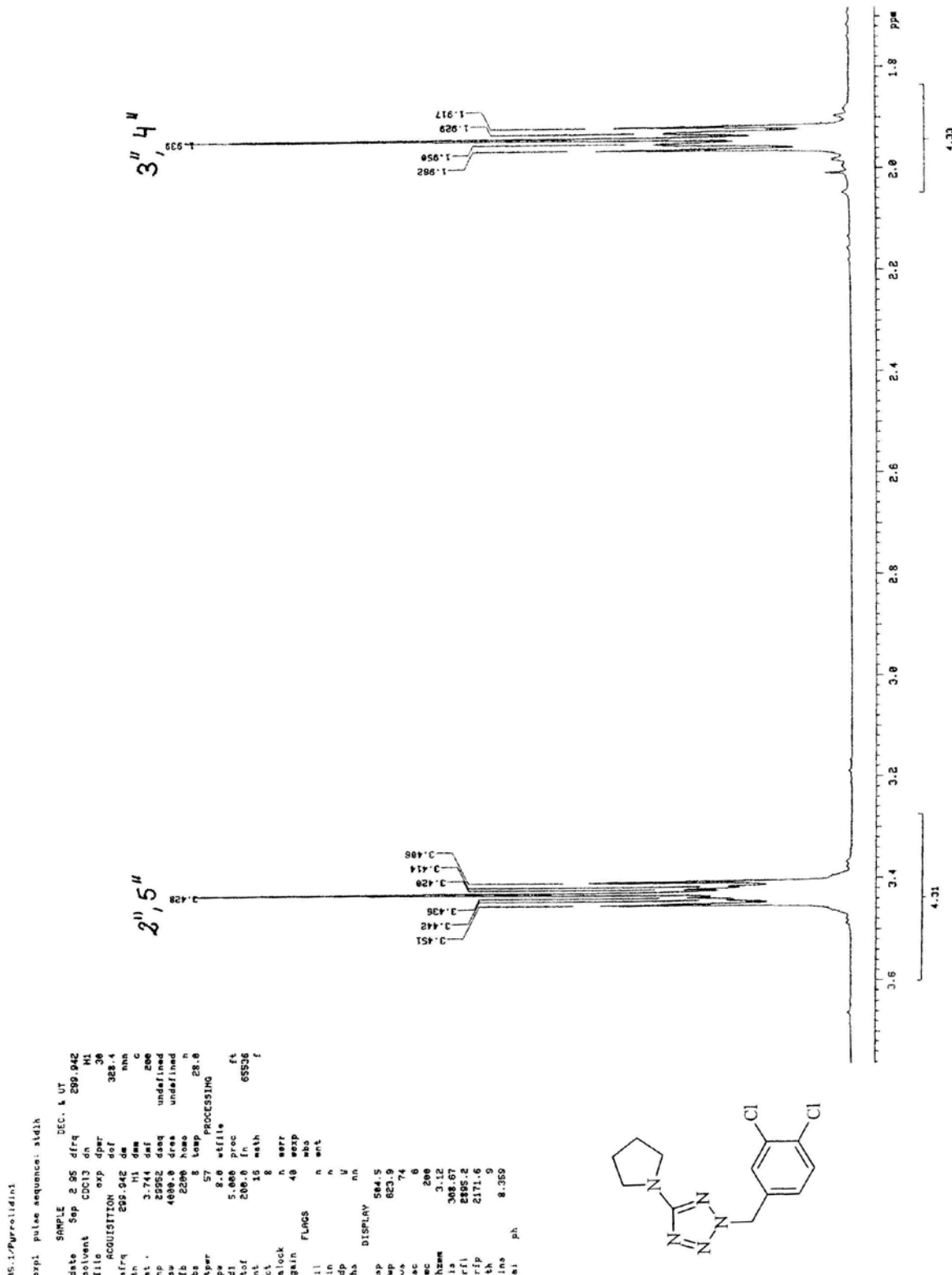
TAFEL 76



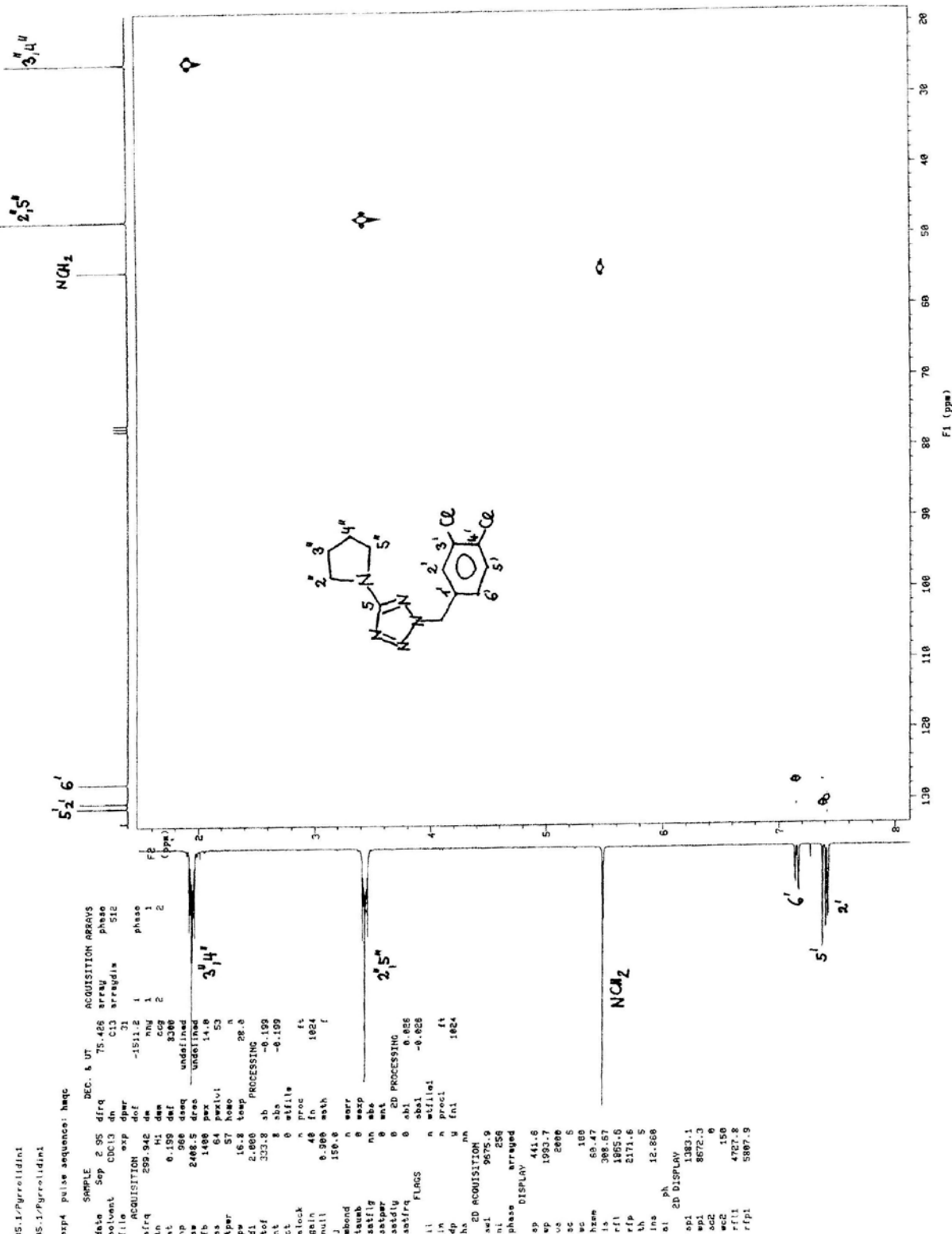
TAFEL 77



TAFEL 78



TAFEL 79

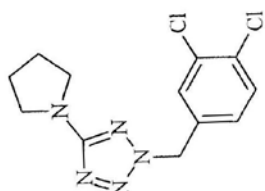
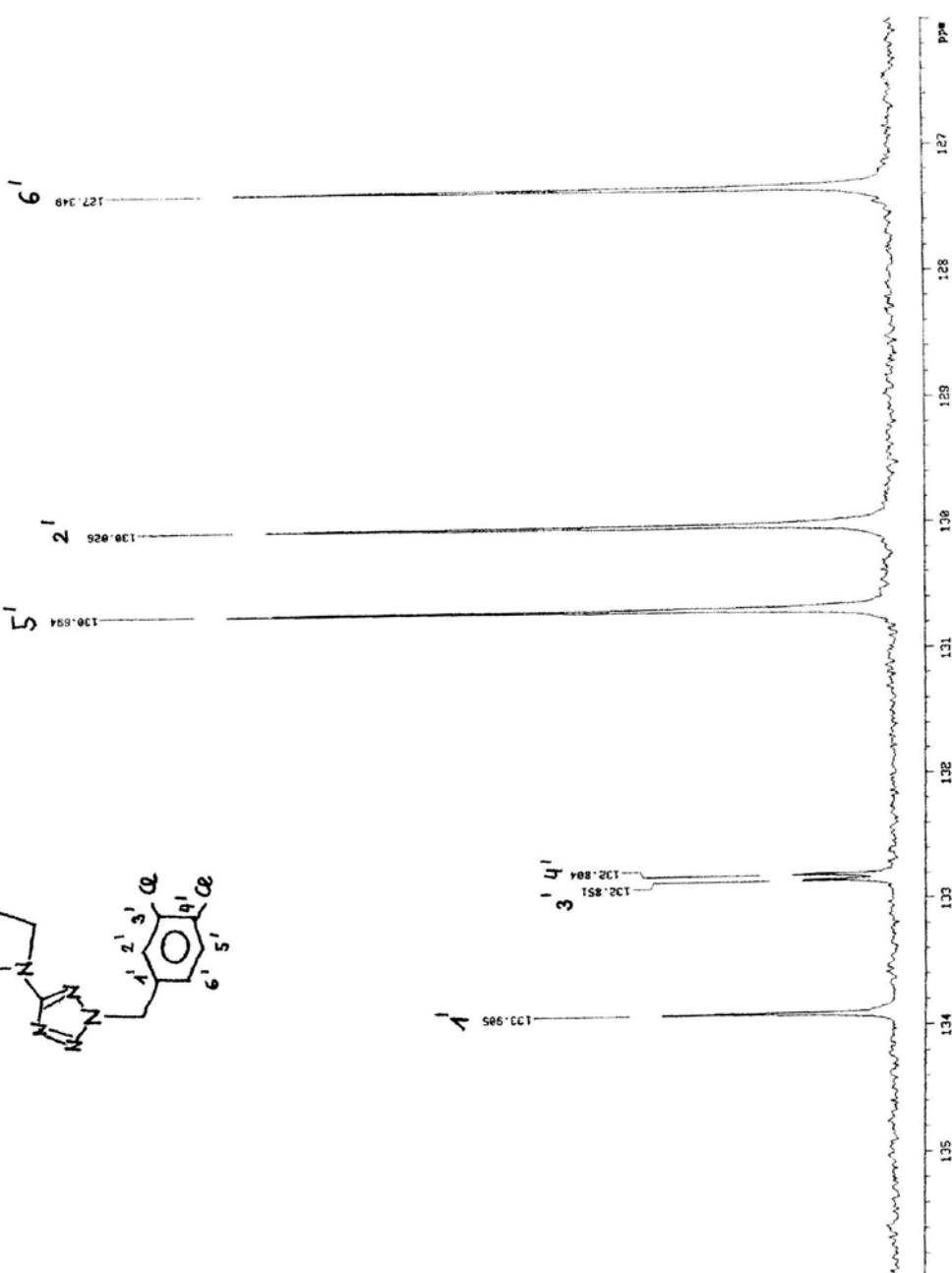
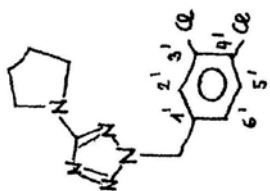


TAFEL 80

B5-1/*P*-pyrrolidin-1'-2'-subst.

expD pulse sequence: std3Dc

SAMPLE	DEC.	UT
date	Sep 2 95	dirq
solvent	CDCl ₃	dn
file	exp	dpr
ACQUISITION	dof	
sfreq	75.427	da
tr	C13	da
n1	1.815	da
n2	590.4	dmn
sw	16581.7	dmn
tb	9.00	dmn
bs	16	hwsp
ss	2	PROCESSING
tspw	53	lb
pw	8.0	width
d1	1.000	proc
tof	0	fn
nt	1824	math
ct	336	
block	not used	corr
gain	not used	exp
FLAMES	abs	
l1	n	wrt
ln	n	
dp	n	
hs	nn	
DISPLAY	nn	
sp	9603.4	
sp	753.0	
vs	267	
sc	0	
ec	200	
hswm	3.77	
ls	500.00	
r1	8825.5	
rlip	5887.5	
th	5	
trw	1.000	
nm	no	ph

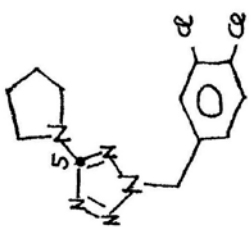


TAFEL 81

85.1/Purralidin!

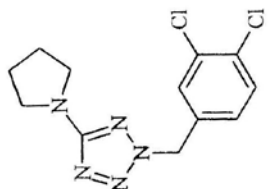
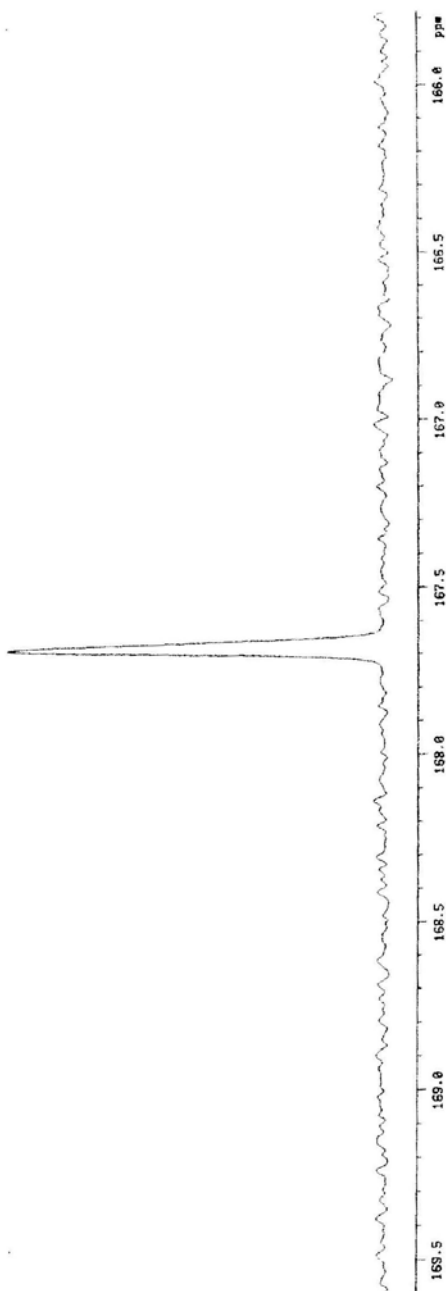
ops5 pulse sequence: std12c

SAMPLE	DEC.	% UT
date	Sep 2 95	dirq
solvent	CDC13	dh
file	exp	dpar
sfreq	75.427	dof
th	C13	daw
st	3.088	def
np	77952	dawq
sw	12891.2	ddres
fb	7288	heee
bs	16	temp
ss	3	n
spur	53	lb
pw	8.8	g1
sl	3.566	g1s
tef	-354.9	wtfile
nt	48986	proc
ct	6	fn
block	n	match
gain	not used	f
FLRGS	werr	
l1	n	exp
ln	n	wbs
dp	y	wnt
hs	nn	
DISPLAY	12584.3	
sp	288.0	
us	237	
sc	8	
wc	206	
hexan	1.44	
is	508.90	
rfl	5229.1	
rfp	5887.9	
th	6	
ina	1.000	
ra	no ph	

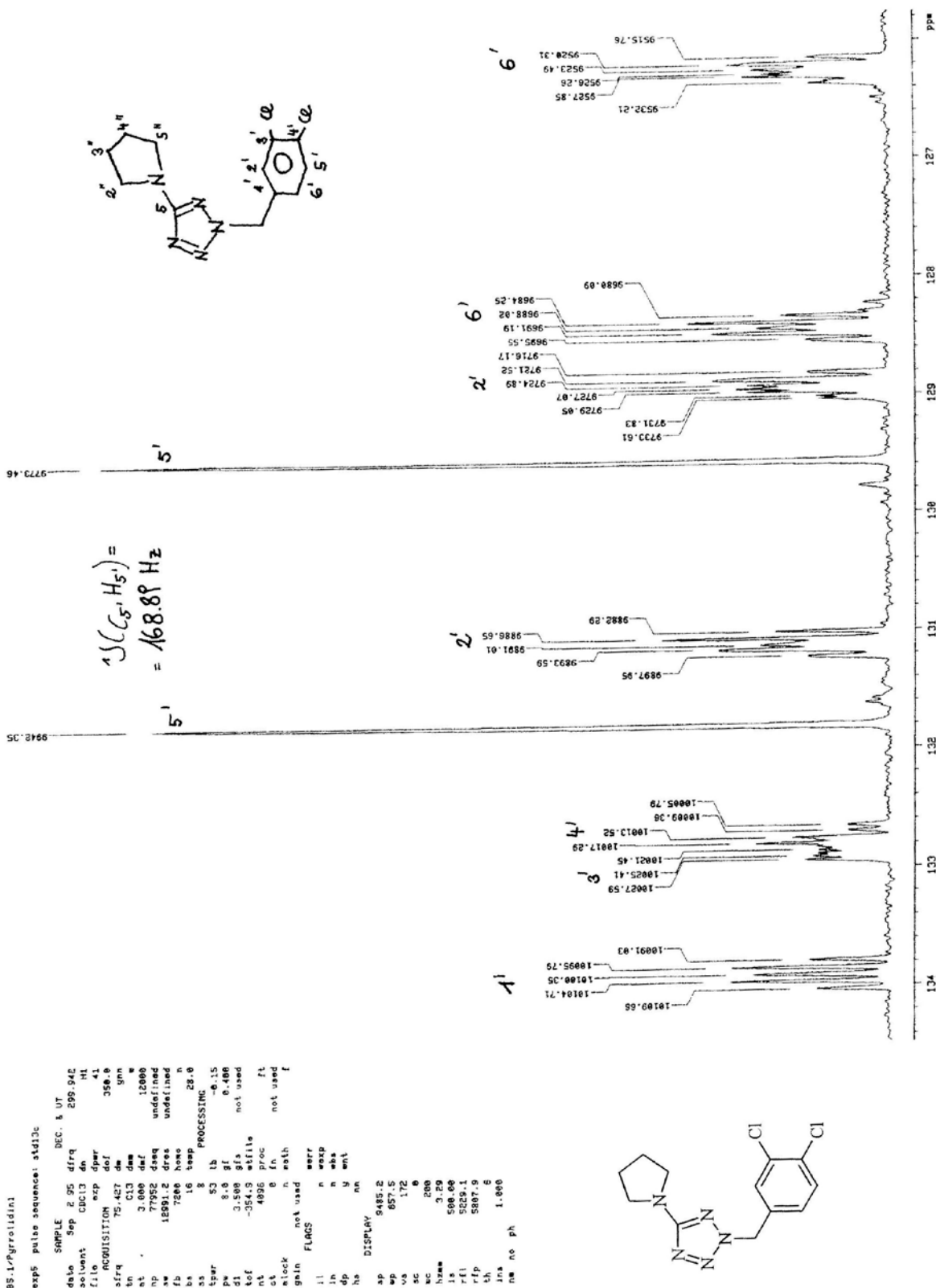


5

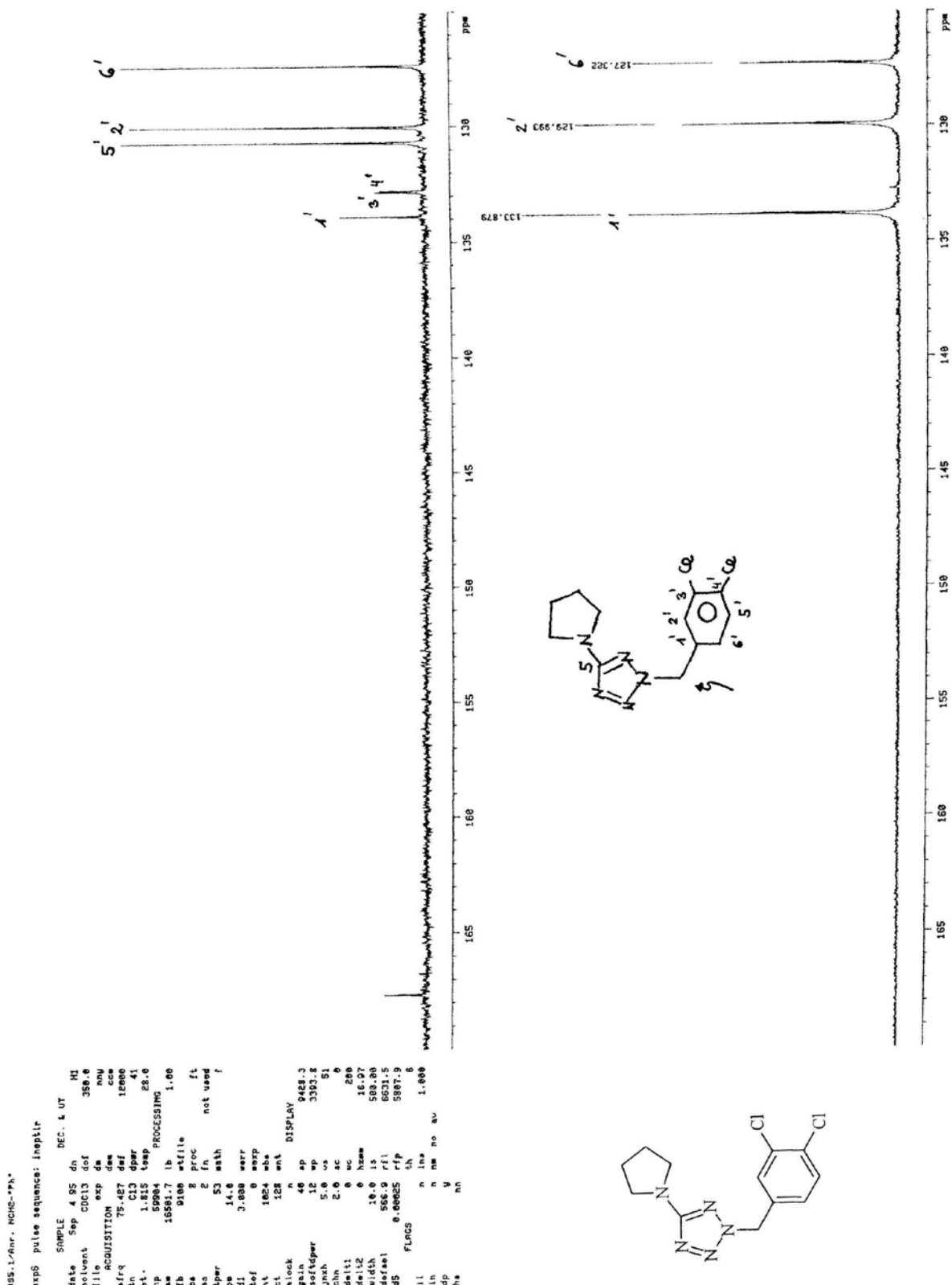
12547.65



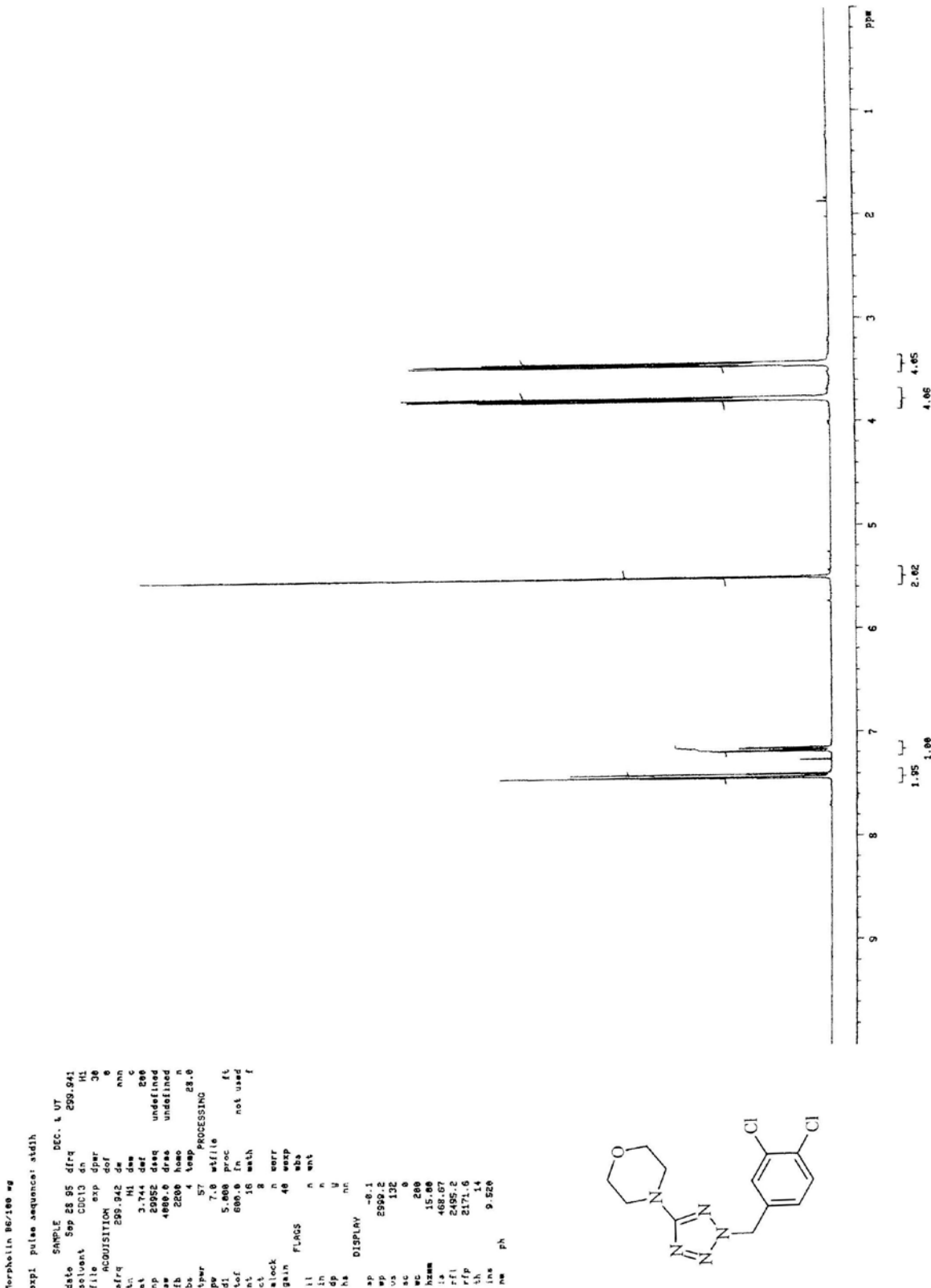
TAFEL 82



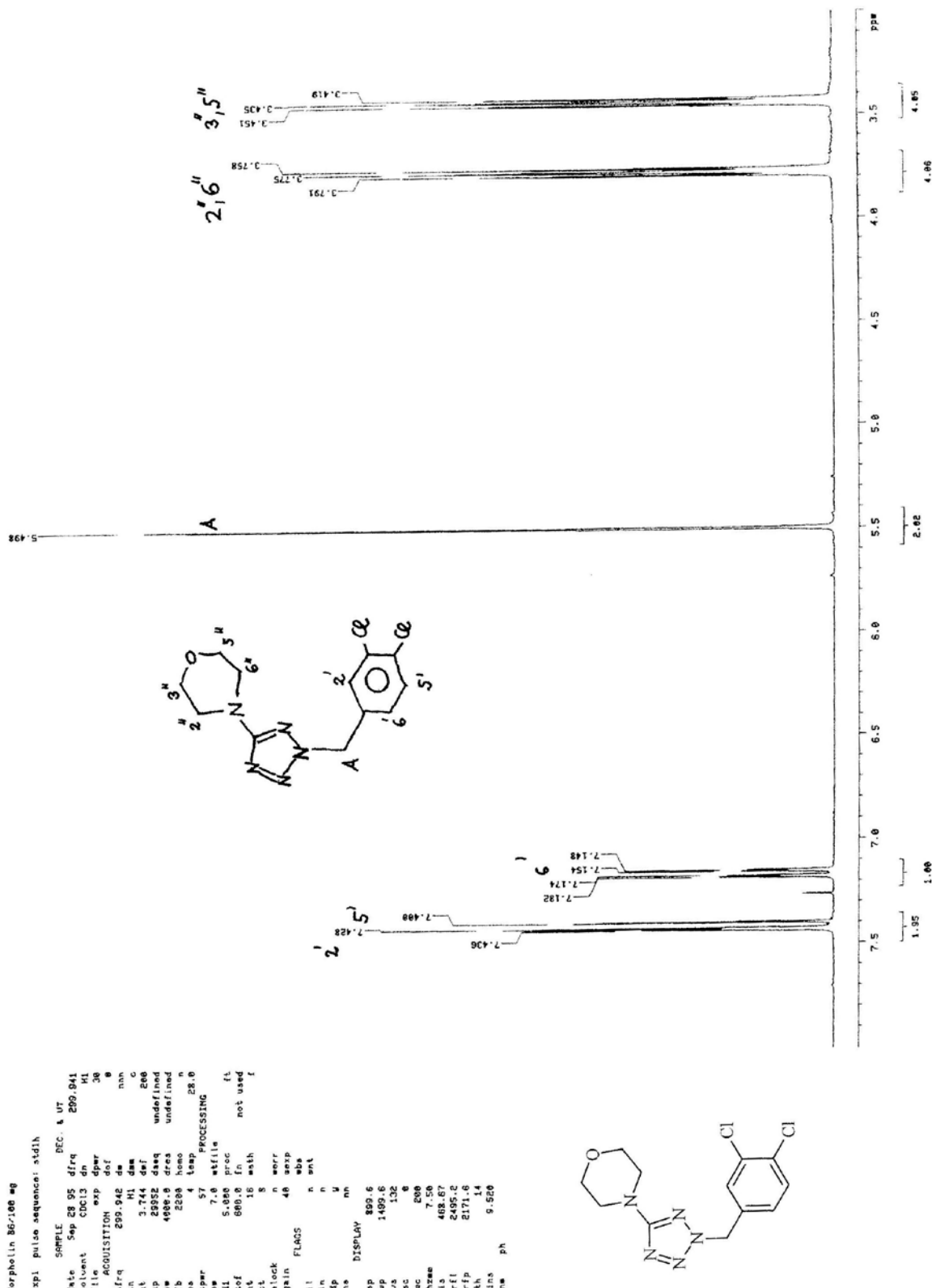
TAFEL 83



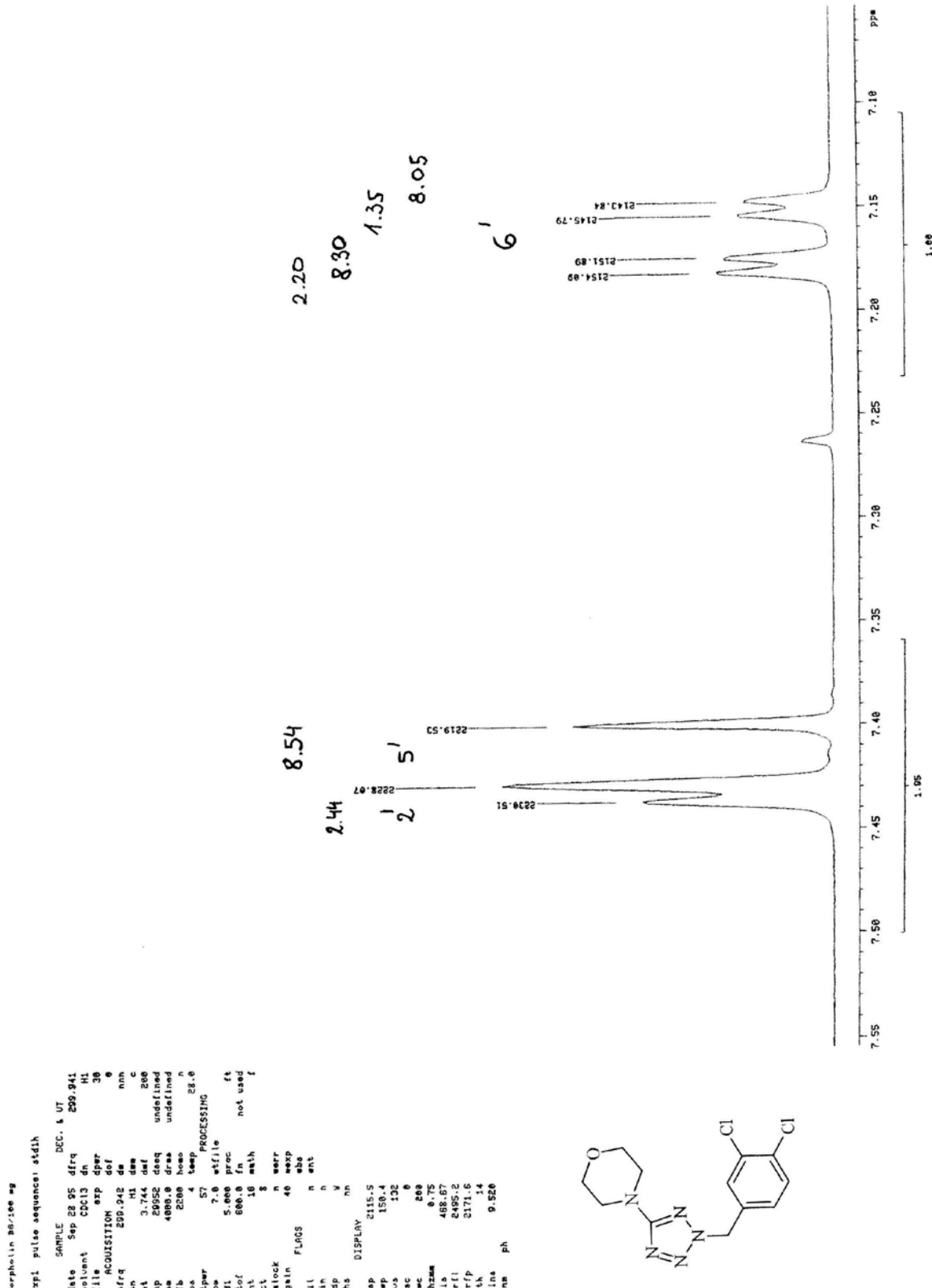
TAFEL 84



TAFEL 85



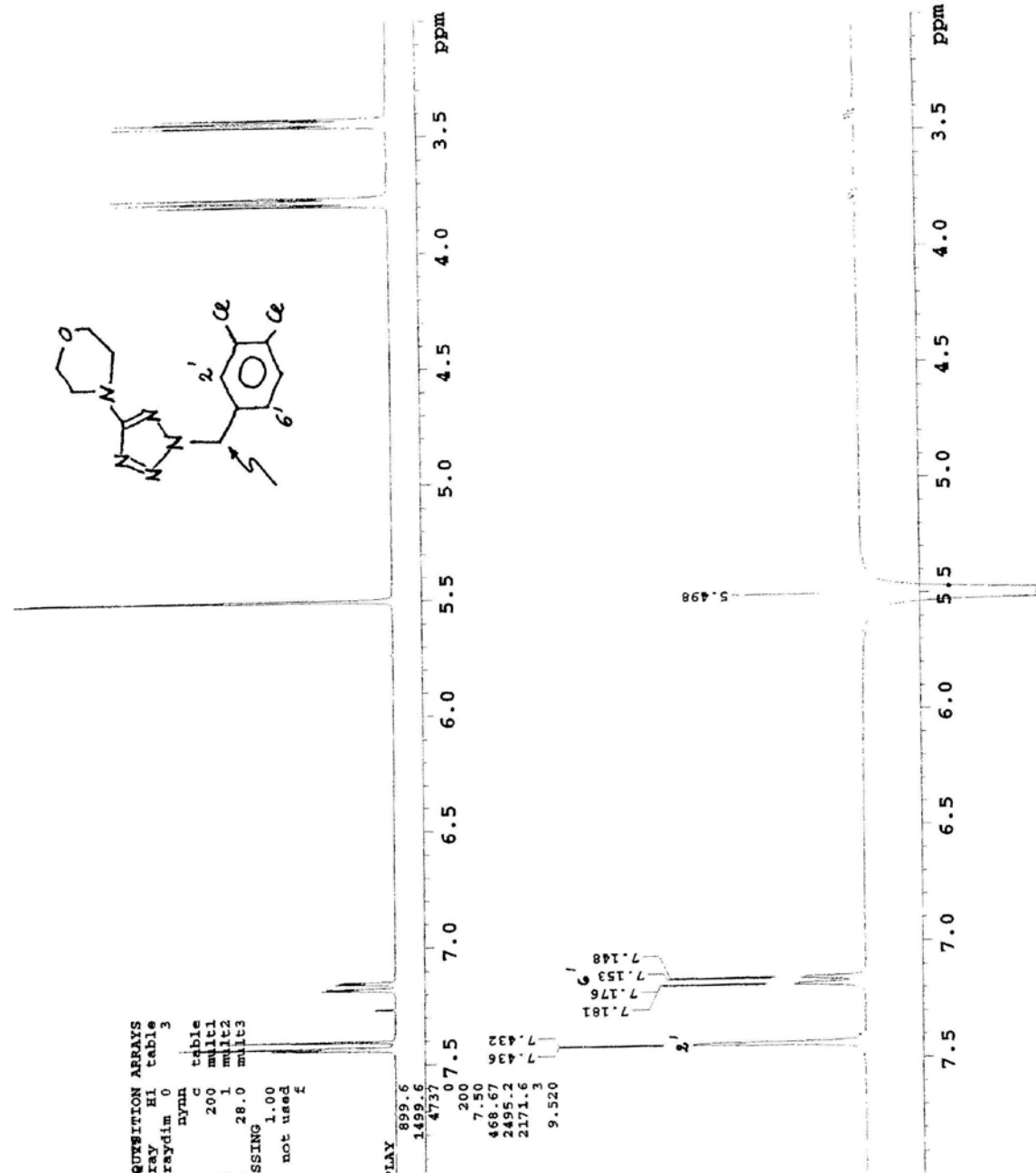
TAFEL 86



TAFEL 87

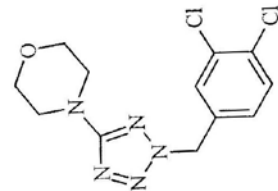
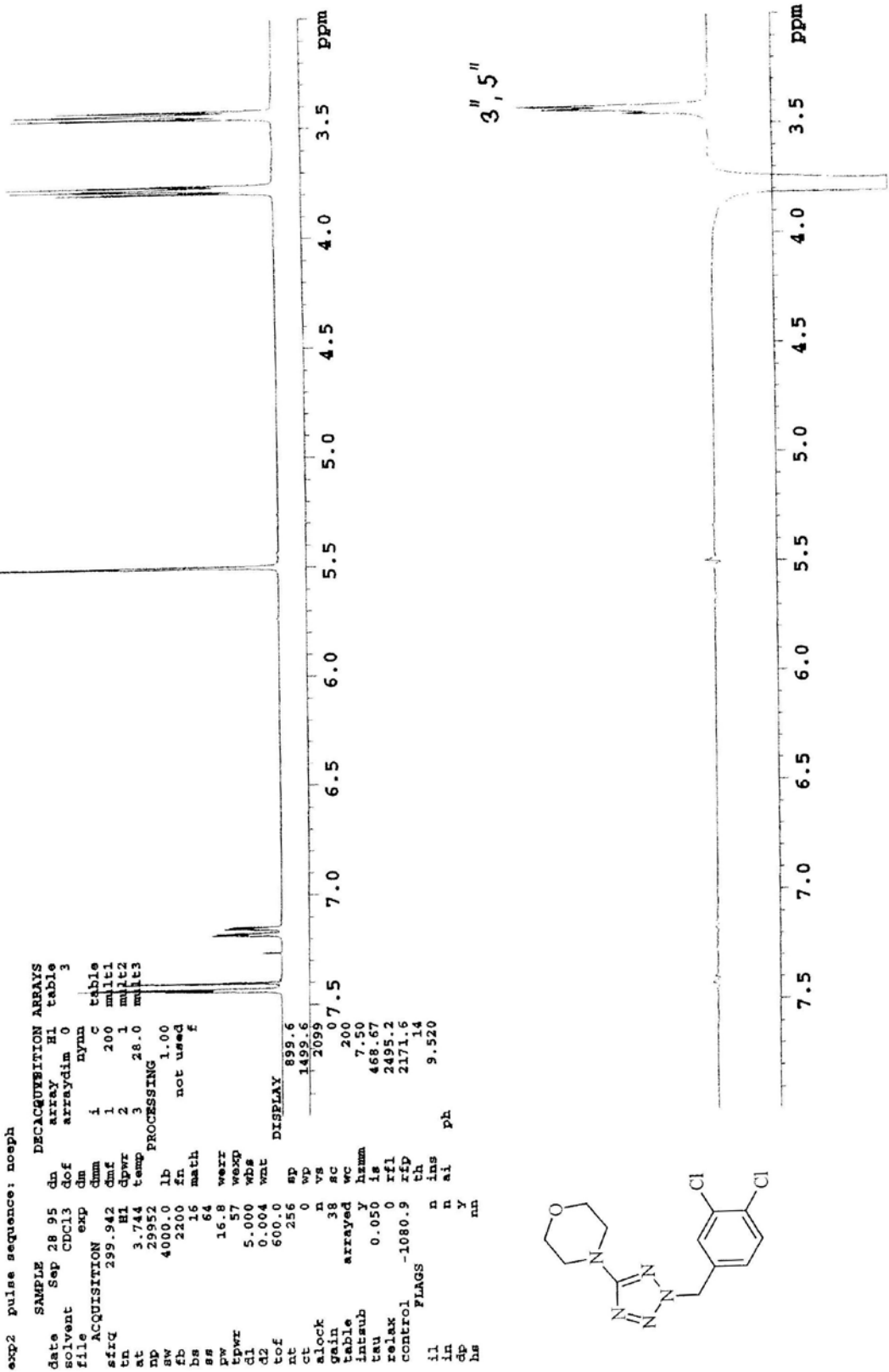
Morpholin B6/100 mg
 exp2 pulse sequence: noeph

	SAMPLE	SEP	28.95	dn	DECAQUARTION ARRAYS
date				array	H1
solvent	CDC13	dof		arraydim	0
file	exp			hydm	table
ACQUISITION		dmn	1	c	
sfrq	299.942	dmf	200	mult1	
tn		dpwr	2	mult2	
at	3.744	temp	3	mult3	
np	29952		28.0		
sw	4000.0	lb	1.00		
fb	2200	fn	not used		
hs		16	math		
ss	64				
pw	16.8	warr			
tpwr	5.57	wexp			
d1	5.000	wbs			
d2	0.004	wnt			
tof	600.0				
nt	256	sp	899.6	DISPLAY	
ct	0	wp	1499.6		
alock	n	vs	473.7		
gain	38	sc	0.7.5		
table	arrayed	wc	7.0		
intsub		y	6.5		
tau	0.050	hzmm	6.0		
relax		is	5.5		
control	-1080.0	rtf	4.36		
FLAGS		rtp	2495.2		
i1	n	th	2171.6		
in	n	ins	3		
dp	y	ai	7.168		
hs		ph	7.176		

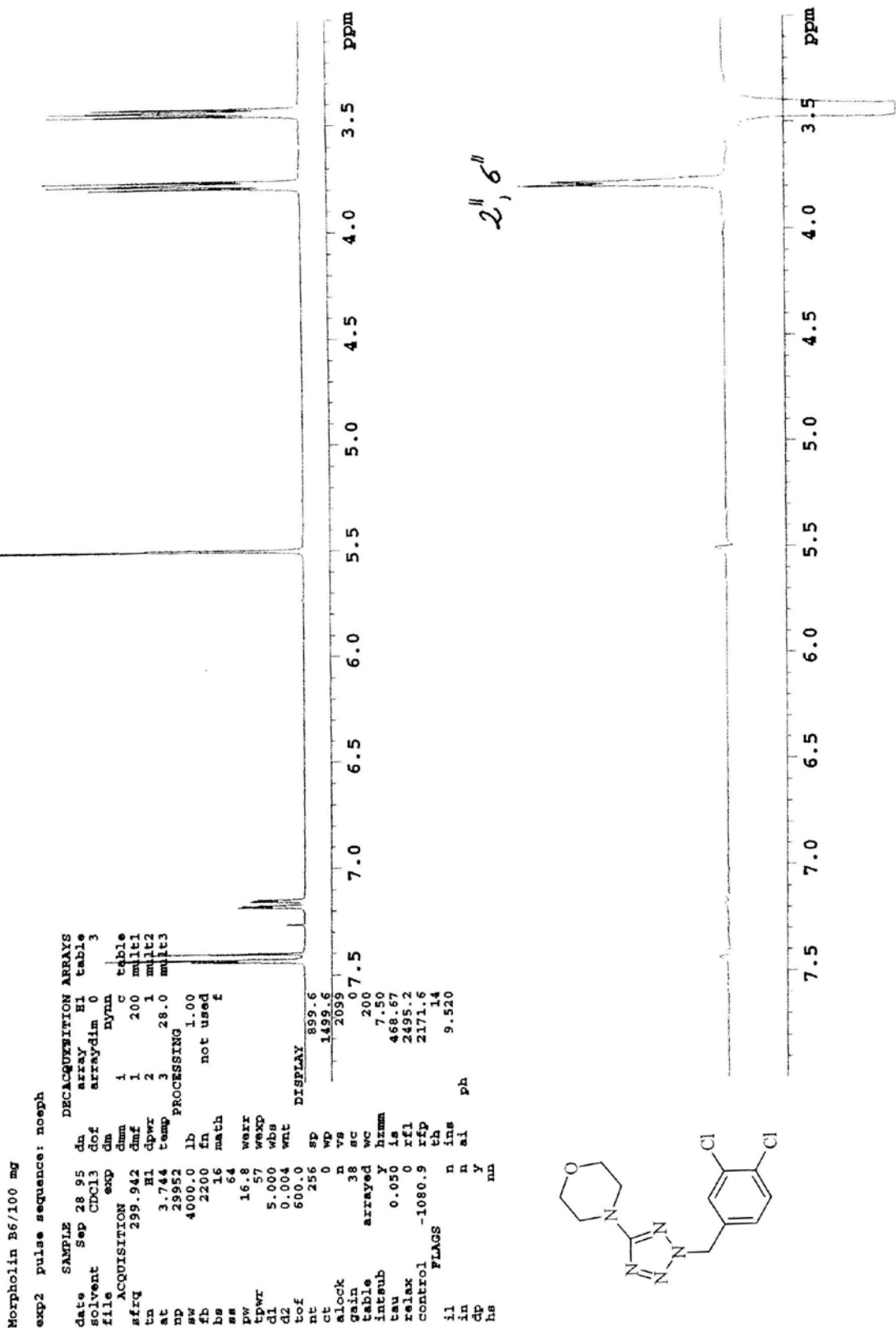


TAFEL 88

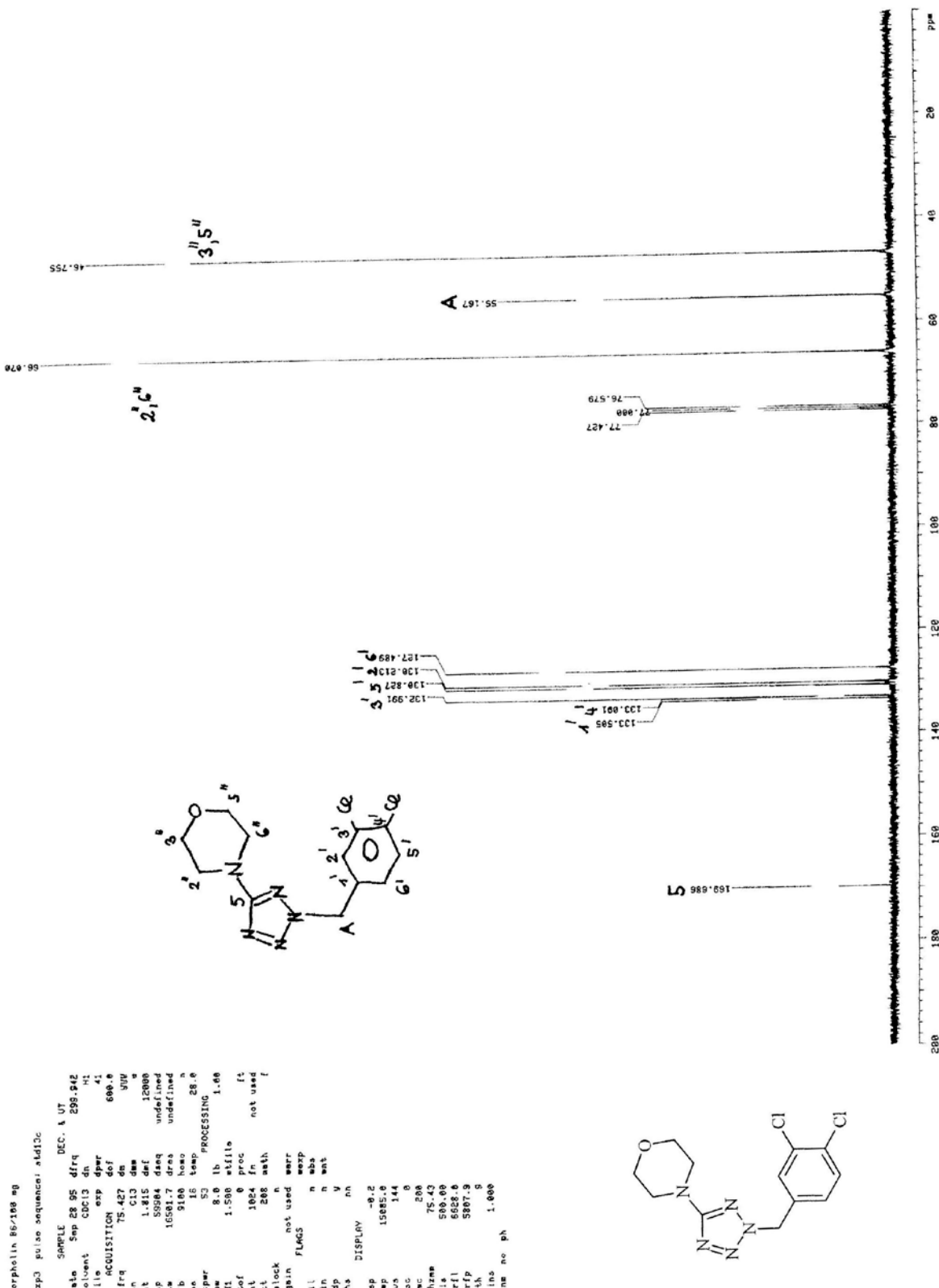
Morpholin B6/100 mg



TAFEL 89



TAFEL 90



TAFEL 91

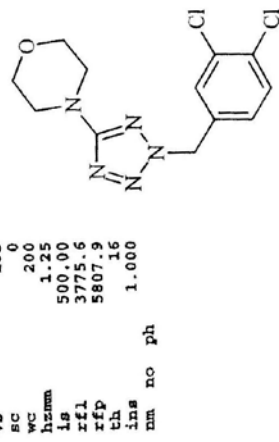
Morpholin B6/100 mg

exp5 pulse sequence: std13c

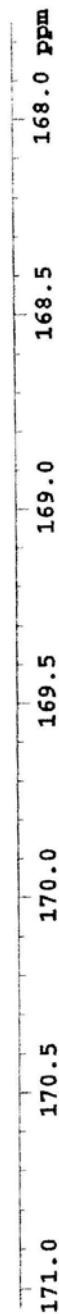
SAMPLE	date	Sep 28 95	DEC.	& VT
solvent	CDC13	dfrq	299.942	H1
file	exp	dprv		41
ACQUISITION		dof	600.0	
stirq	75.428	dmn		yrnn
tn	C13	dnn		w
at	3.001	dmf	12000	
np	71232	dseq	undefined	
sw	11869.4	drss	undefined	
fb	6600	homo	n	
bs	16	temp	28.0	
ss	2	PROCESSING		
tpwr	53	lb	-0.15	
pw	8.0	gf	0.400	
d1	3.500	gfs	not used	
tof	536.2	wtfile		
nt	5600	proc	ft	
ct	0	tn	not used	
clock	n	math	n	
gain	not used	math		
il	FLAGS	VERR		
in	n	WEXP		
dp	n	WBS		
hs	Y	WNT		
	nn			

DISPLAY

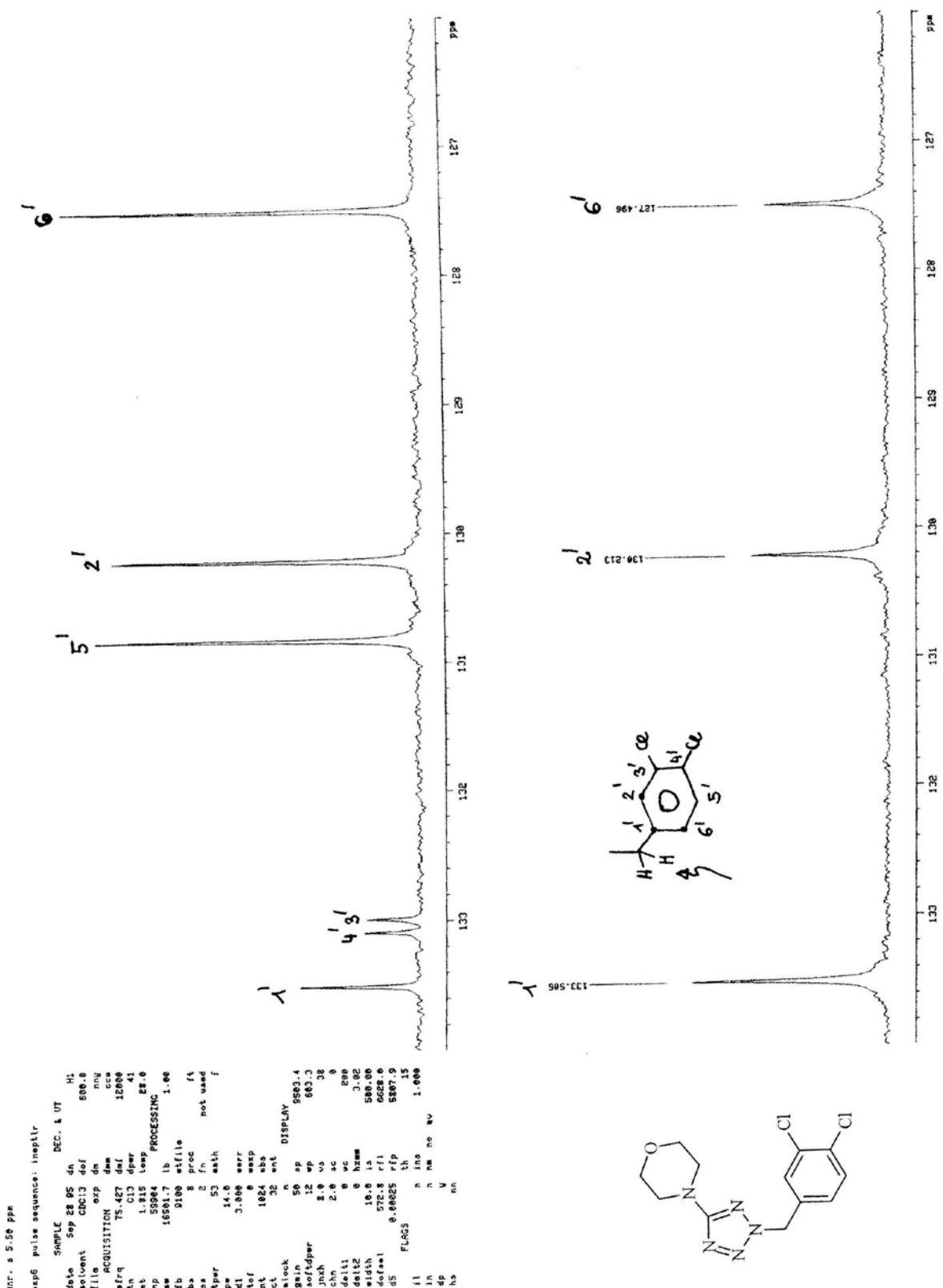
SD	12652.2			
WP	249.8			
VS	185			
SC	0			
WC	200			
hzmm	1.25			
is	500.00			
rfl	3775.6			
rfp	5807.9			
th	16			
ins	1.000			
nm	no	ph		



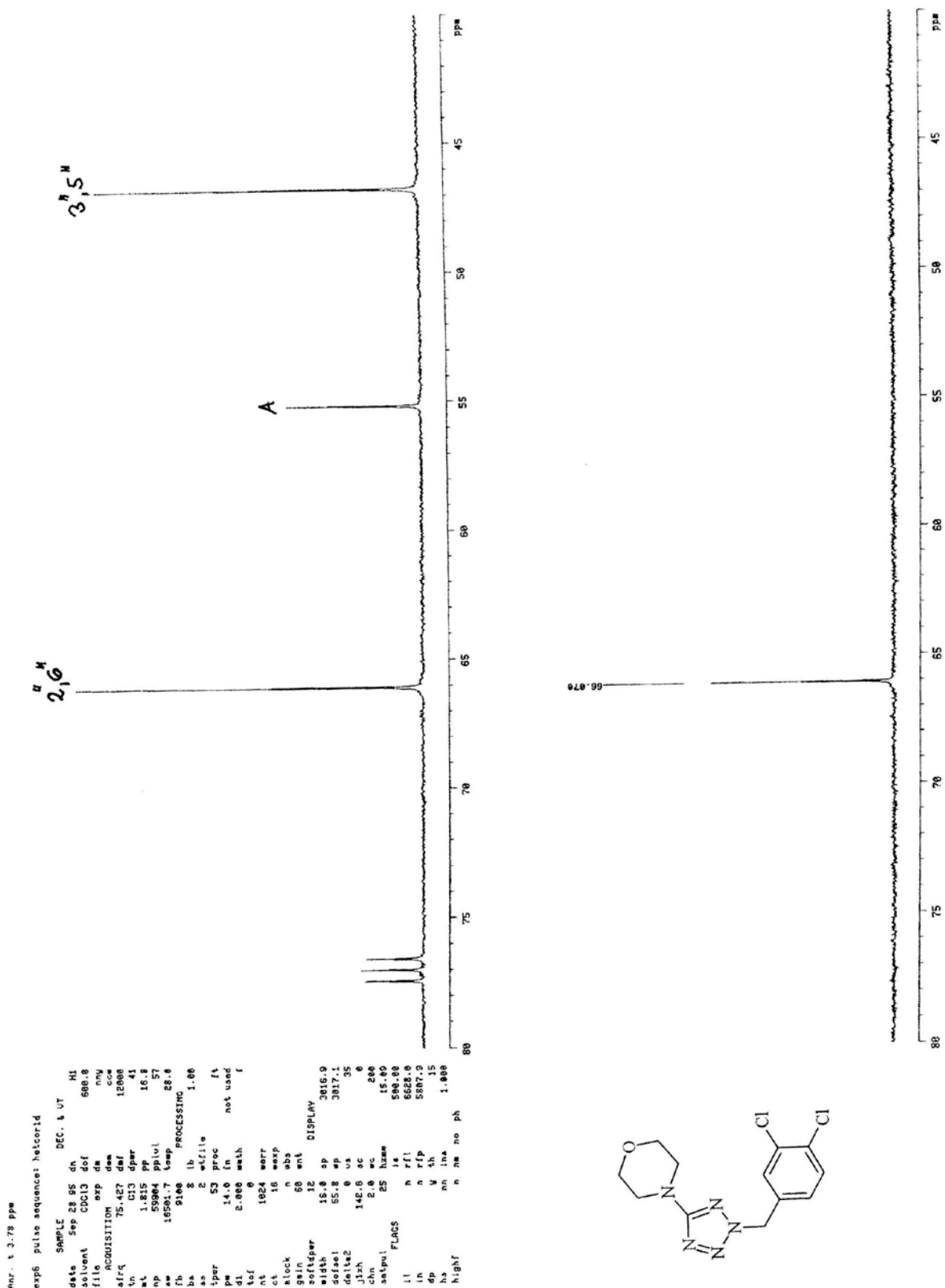
C-5



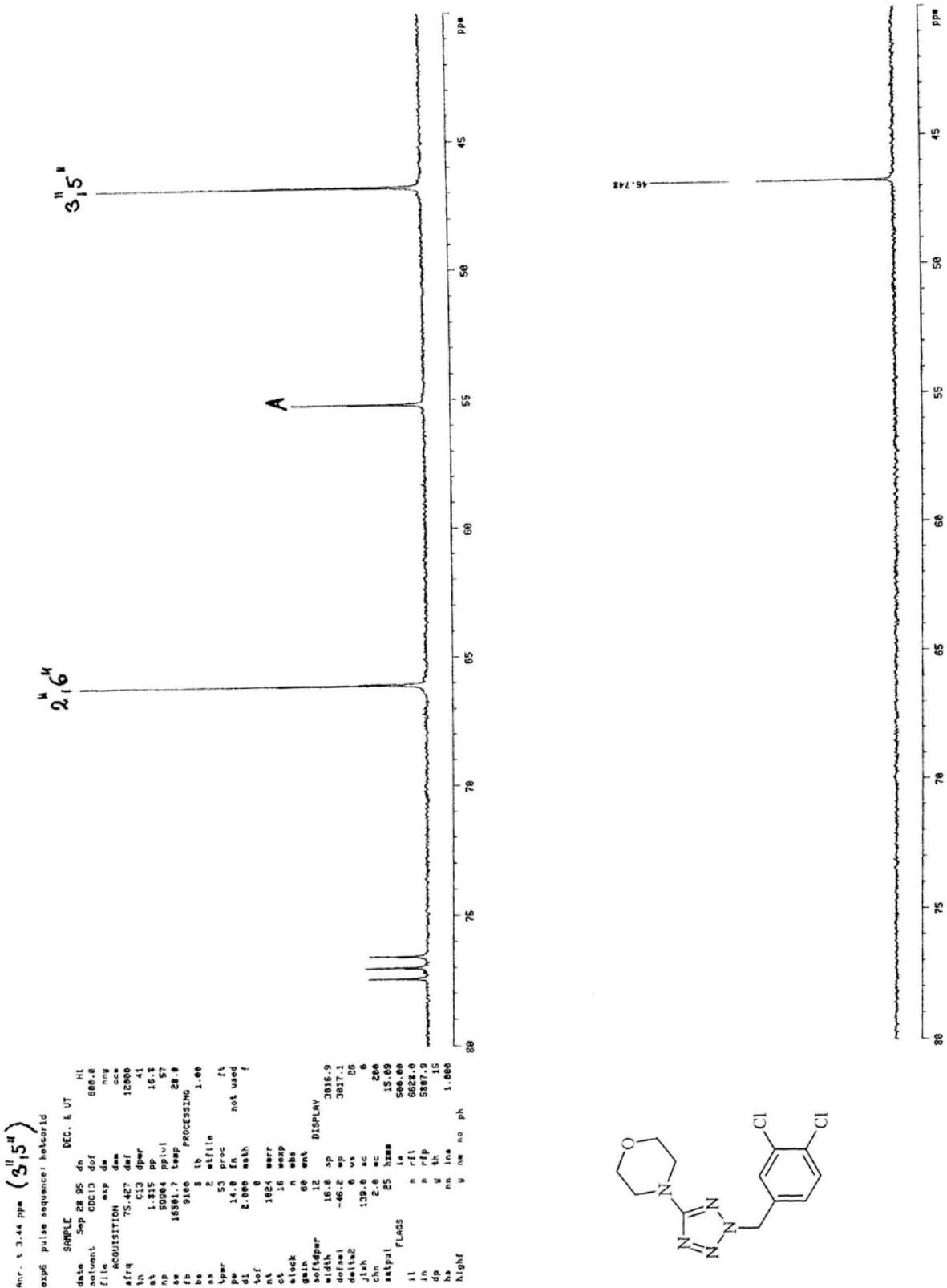
TAFEL 92



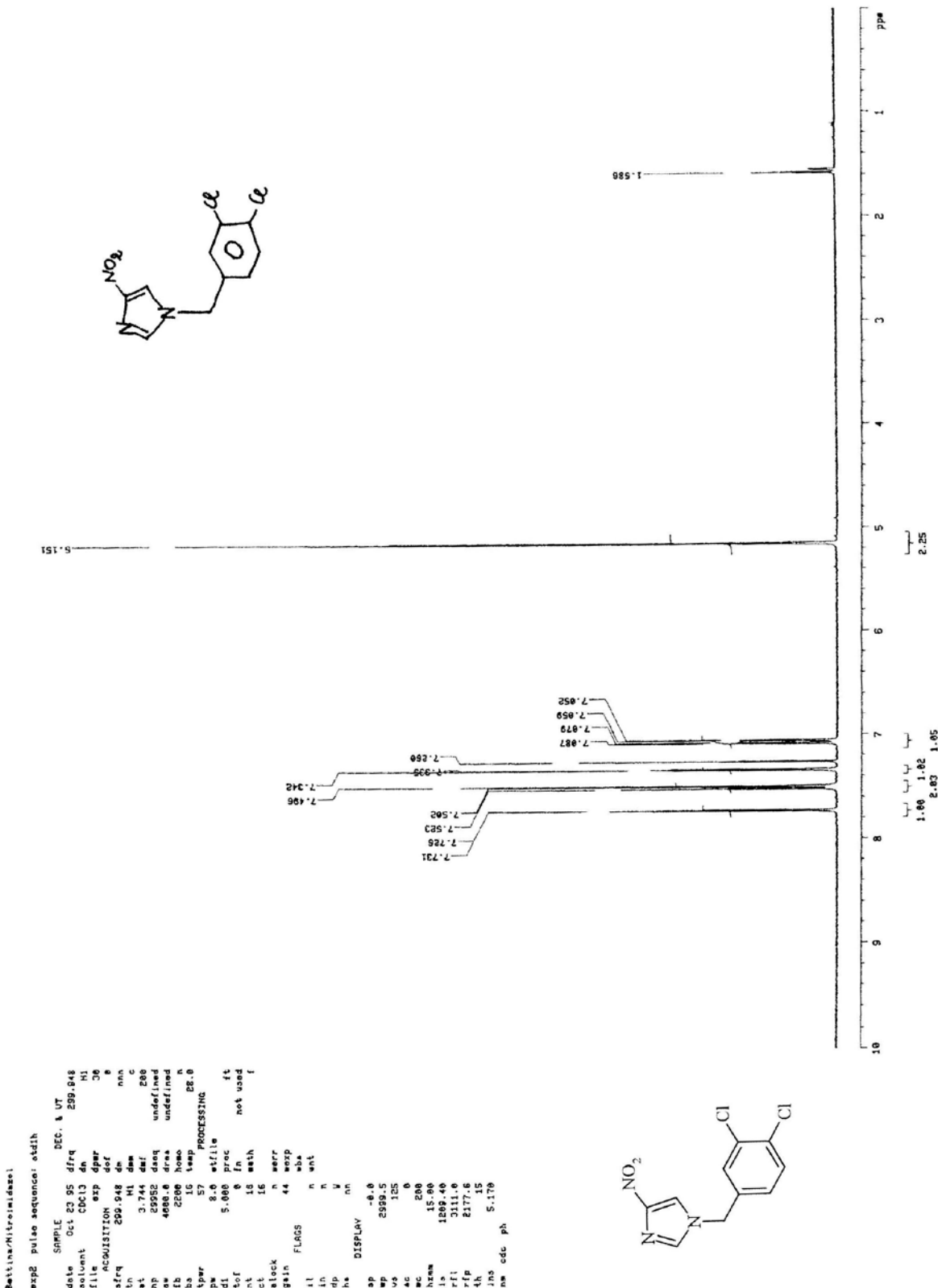
TAFEL 93



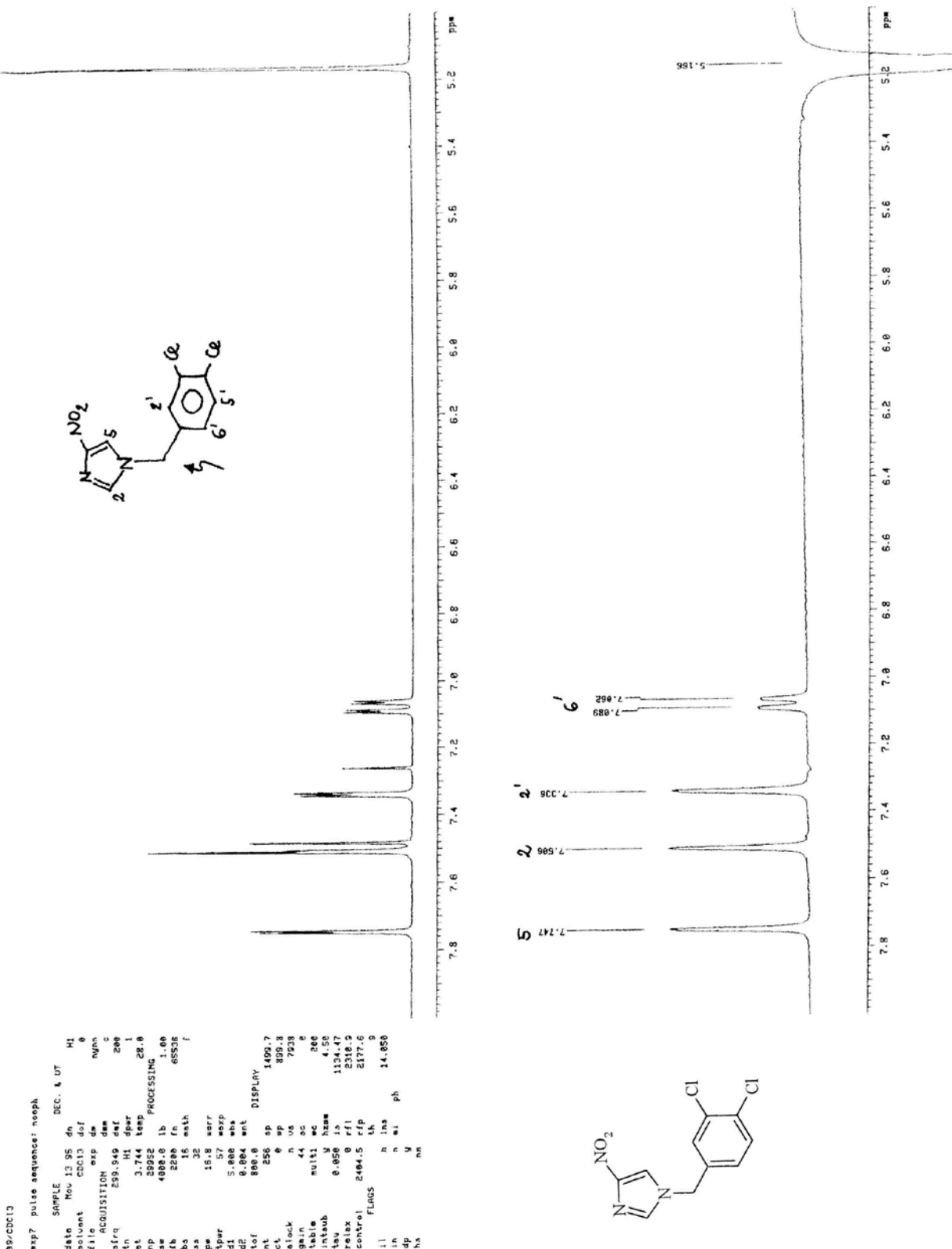
TAFEL 94



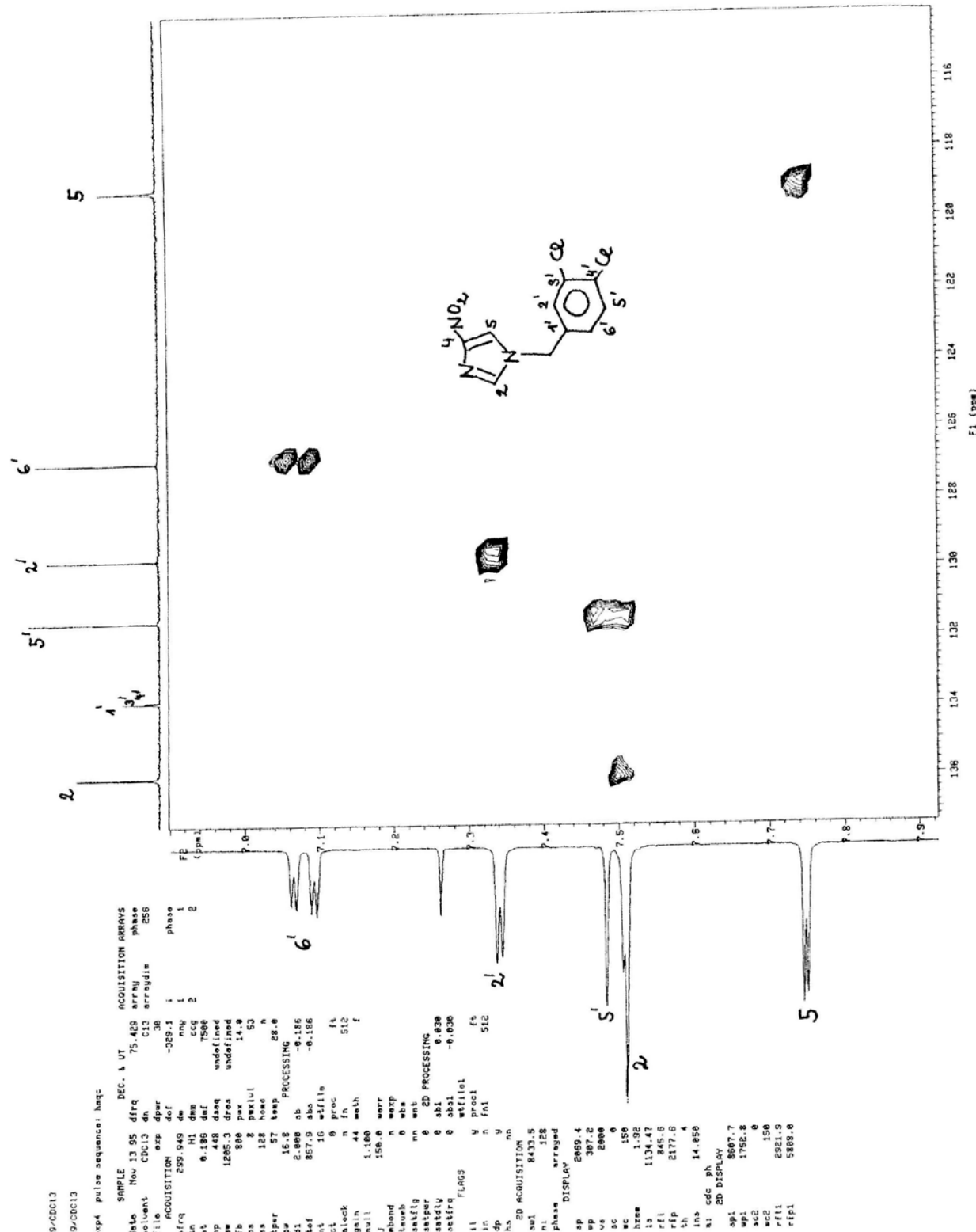
TAFEL 95



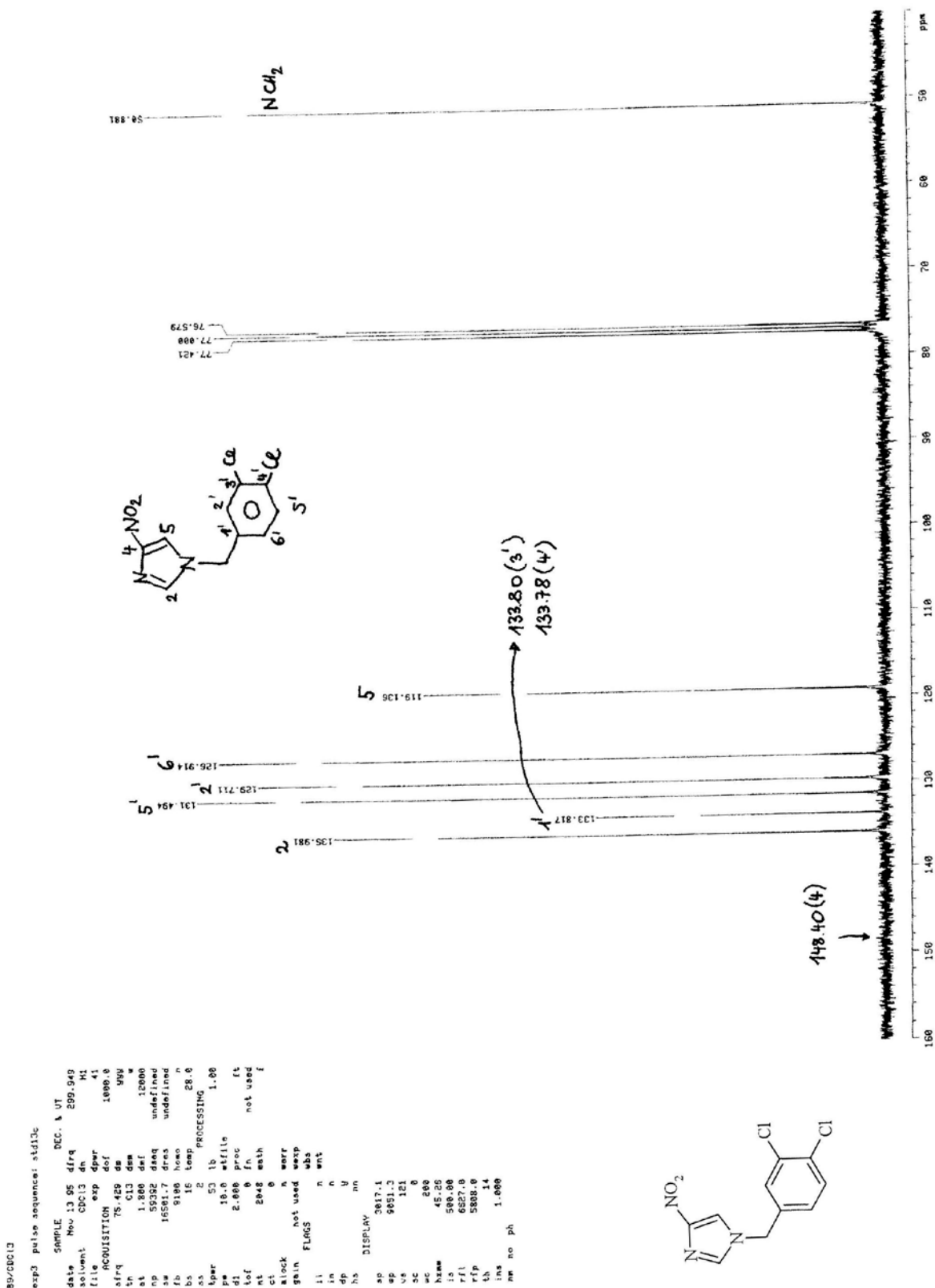
TAFEL 96



TAFEL 97



TAFEL 98



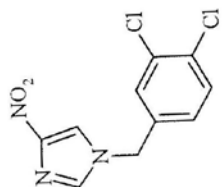
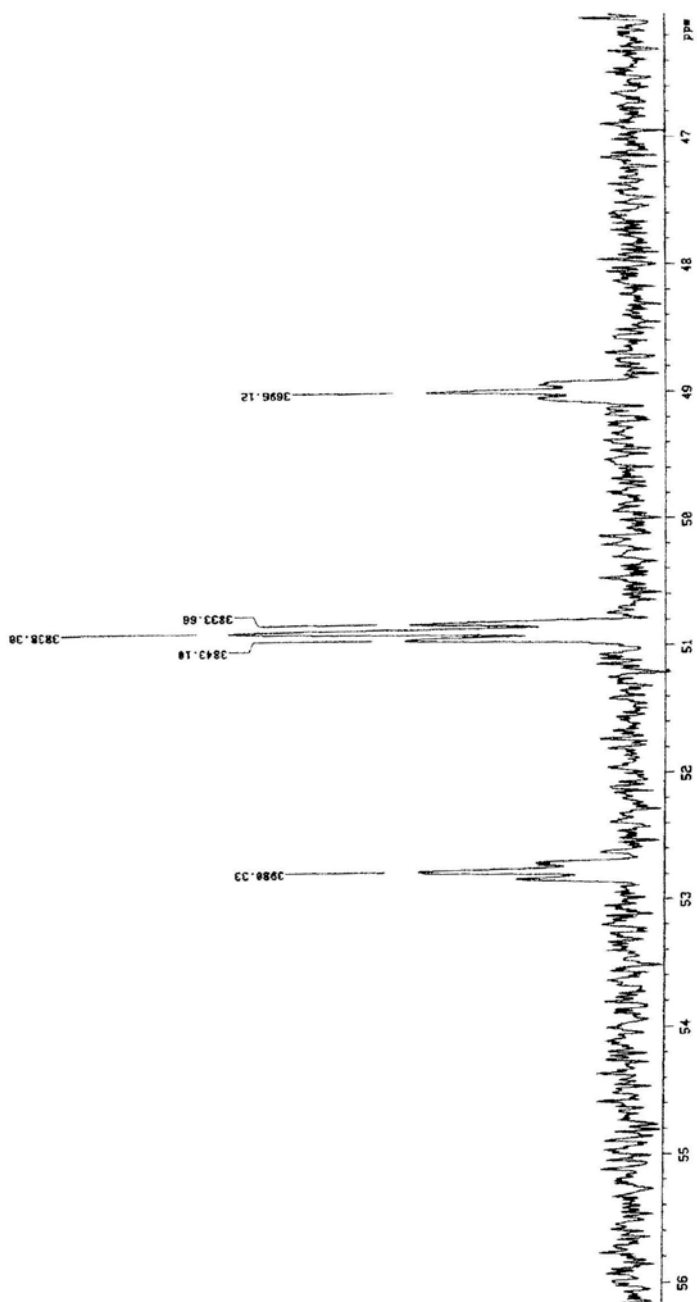
TAFEL 99

B9/CDCl₃

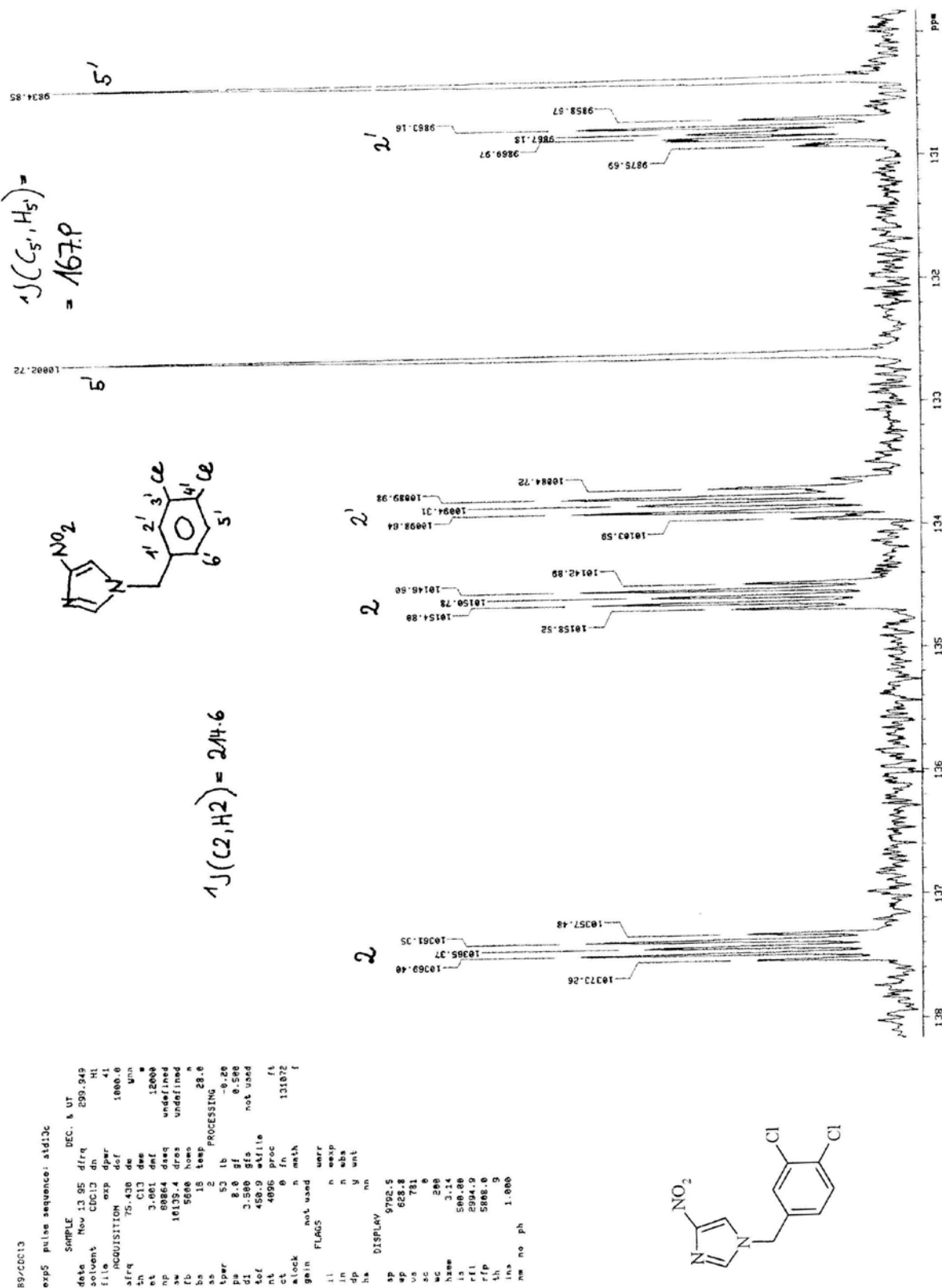
exps pulse sequence: std13c.

SAMPLE	DEC. & UT
date Nov 13 55	298.949
solvent CDCl ₃	dm
file	41
ACQUISITION	exp dswr
sfreq	def
tn	1000.0
C13 dswr	dm
st	unn
3.681	def
16139.4	dswr
16139.4	dswr
5668	hswr
16	temp
2	Processing
53	lb
8.0	gf
3.589	gfs
489.9	whlie
4896	proc
ct	ft
0	fn
block	n
gain	math
Fl400S	not used
1:	math
in	n
dp	n
hs	abs
DisplayW	ent
op	nn
sp	3472.1
up	763.7
vs	781
sc	0
ec	200
hswr	3.82
la	500.00
rfl	2024.2
r1p	5000.0
th	0
lns	1.000
ns	no ph

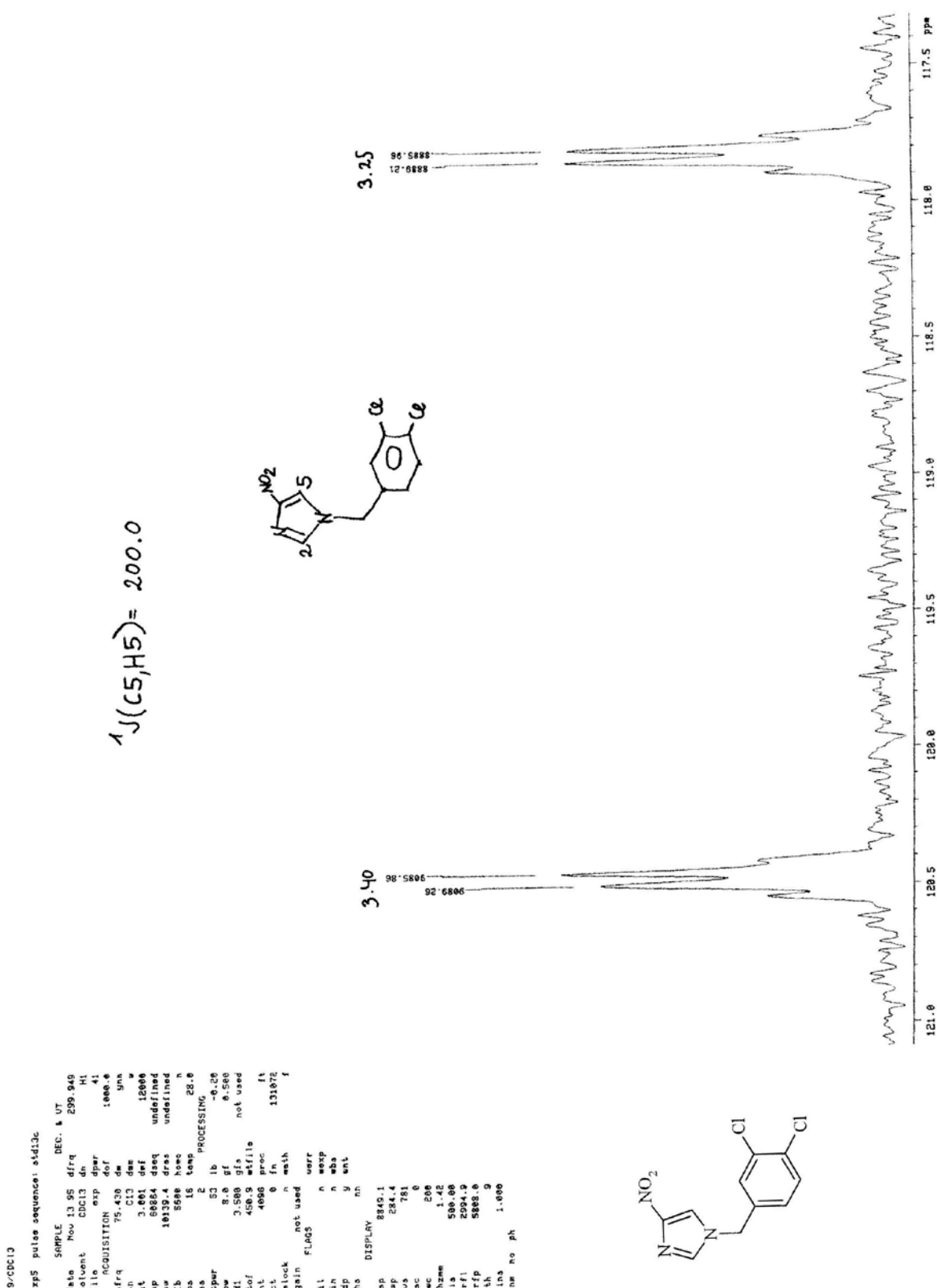
$$^1J(\text{NCH}_2) = 142.1$$



TAFEL 100



TAFEL 101



TAFEL 102

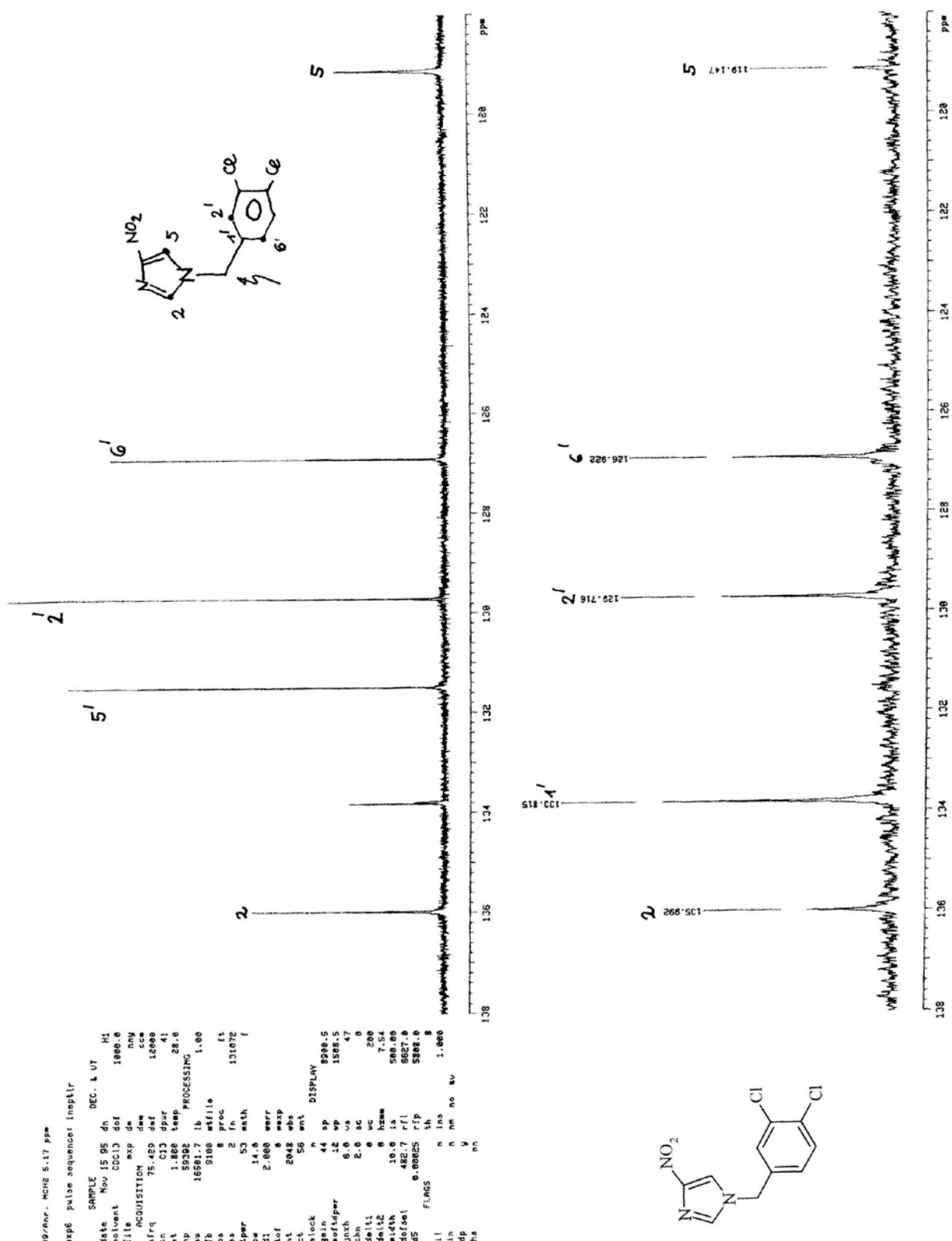
39/ANR - HCHS 5.17 pps

```

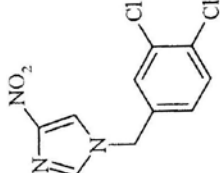
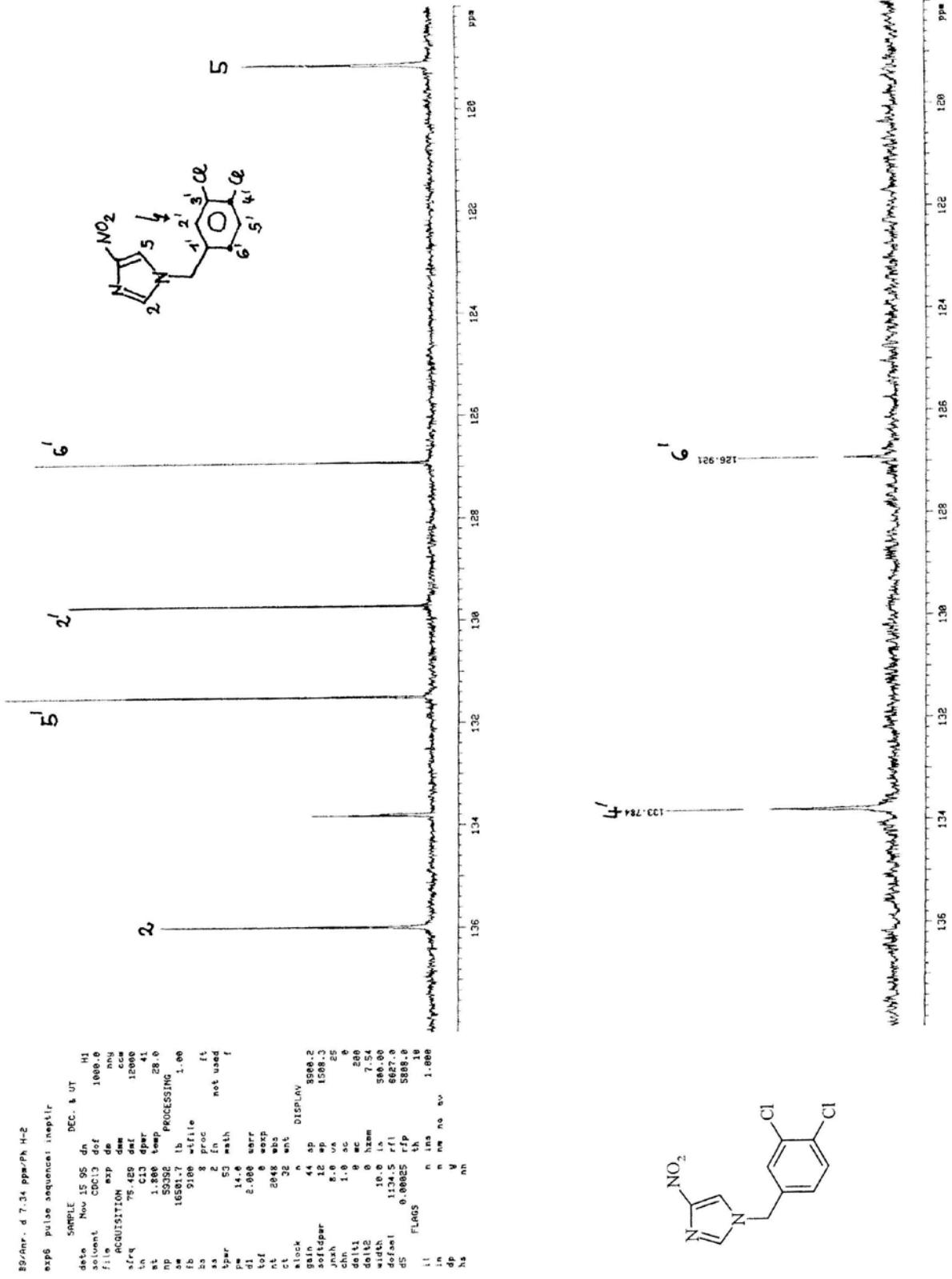
pulse sequence: inst1r

      SAMPLE    DEC. 4
      date: May 15 95 dh
      solvent: CCl4 dol
      exp: daw
      de: daw
      acquisition: daw
      presat: 75-429 dat
      G1: dpar
      T1: 1.886 temp
      55924 PROCESS
      16587 lb
      9186 stffile
      8 proc
      2 fh
      1 s

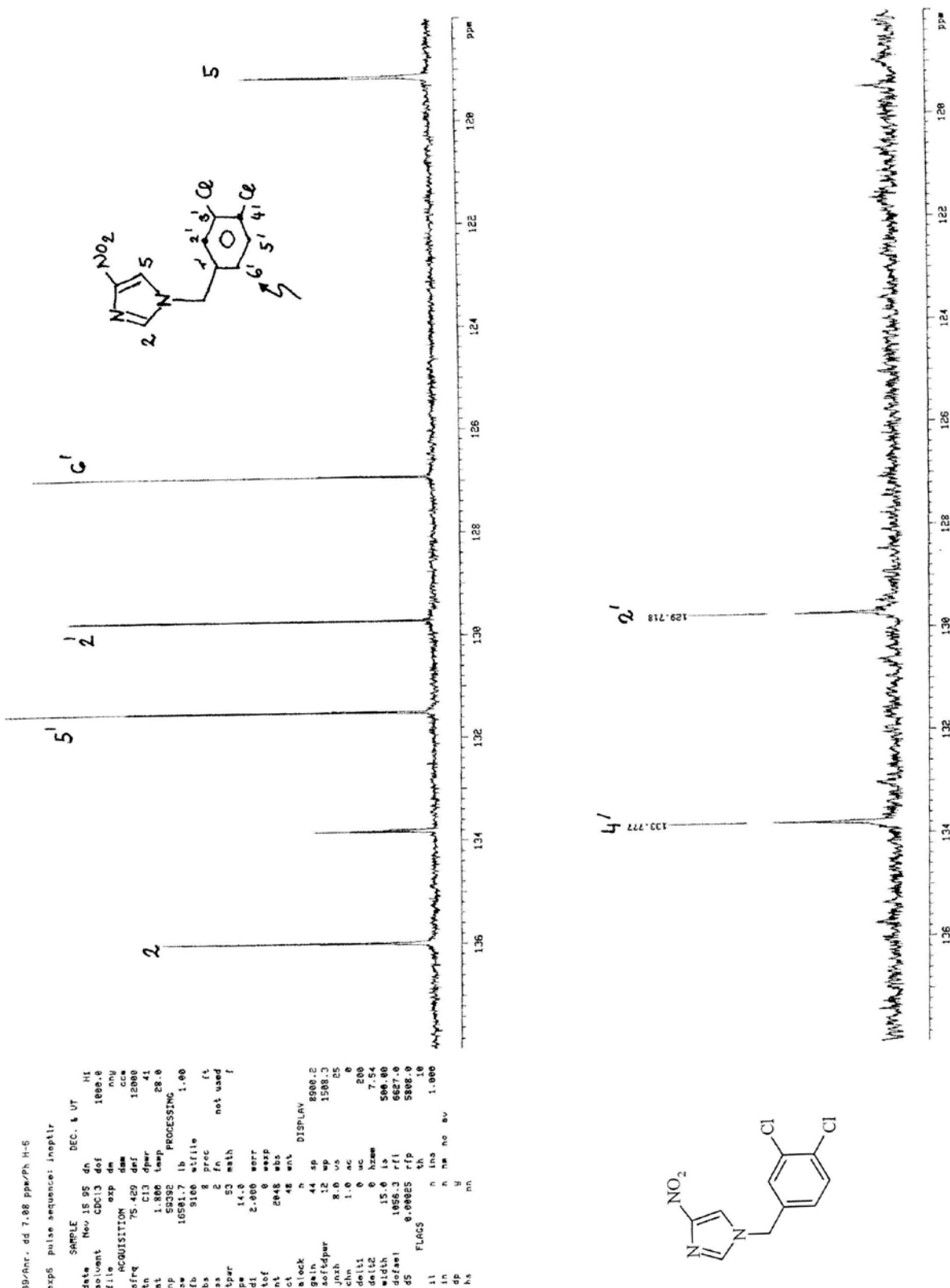
```



TAFEL 103



TAFEL 105



ZUSAMMENFASSUNG

Im Rahmen der vorliegenden Diplomarbeit wurden eine Reihe neuer N-(3,4-Dichlorbenzyl)azole als potentielle Sigmazeptor-Liganden hergestellt. Die Synthese der Zielverbindungen erfolgte jeweils durch Umsetzung der Natriumsalze der entsprechenden Azol-Grundkörper (Pyrazol, Imidazol, 1,2,3-Triazol, 1,2,4-Triazol, Tetrazol) mit 3,4-Dichlorbenzylchlorid. Regioisomere Reaktionsprodukte wurden getrennt und *via* ^{13}C -NMR und NOE-Differenzspektroskopie eindeutig zugeordnet. Alle neuen Verbindungen wurden mittels spektroskopischer Methoden (^1H -NMR, ^{13}C -NMR, MS, IR) eingehend charakterisiert und ihre Elementarzusammensetzung mittels CHN-Analyse bestätigt.

Die Affinitäten der hergestellten Verbindungen gegenüber dem sigma-1 und dem sigma-2 Rezeptor wurden in entsprechenden Rezeptorbindungsassays bestimmt.

SUMMARY

In the course of the present diploma thesis new potential sigma-receptor ligands with N-(3,4-dichloro)benzylazole structure were prepared. Syntheses were carried out by reaction of the sodium salts of the appropriate azoles (pyrazole, imidazole, 1,2,3-triazole, 1,2,4-triazole, tetrazole) with 3,4-dichlorobenzylchloride. Regioisomeric products were discriminated and unambiguously assigned employing ^{13}C -NMR and NOE-difference spectroscopy. All novel compounds were fully characterized by combined application of spectrsocopic methods (^1H -NMR, ^{13}C -NMR, IR, MS) and elemental analysis (CHN).

The affinities of the compounds prepared towards sigma-1 and sigma-2 receptors were determined by appropriate receptor binding assays.

4.3 Lebenslauf

Angaben zur Person:

Name	Brandstätter Bettina
Wohnort	1230 WIEN
Staatsangehörigkeit	Österreich
Geburtsdatum	5.12.1970, in Wien
Geschlecht	weiblich

Schul- und Berufsausbildung:

1981-1989	Neusprachliches Gymnasium (Matura)
1989-1991	Teilstudium der Biochemie
1991-2010	Studium der Pharmazie